

MINISTERUL EDUCATIEI SI INVATAMINTULUI  
INSTITUTUL POLITEHNIC "TRAIAN VUIA" TIMISOARA

FACULTATEA DE ELECTROTEHNICA

ing. DORU-ADRIAN NICOLA

TEZA DE DOCTORAT

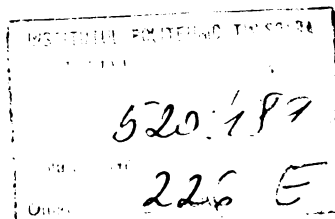
CONTRIBUTII LA STUDIUL MASINII DE INDUCTIE BIFAZATE  
NESIMETRICE CU REFERIRI LA MOTOARELE ASINCRONE MONOFAZATE

BIBLIOTECA CENTRALĂ  
UNIVERSITATEA "POLITEHNICA"  
TIMIȘOARA

CONDUCATOR ȘTIINȚIFIC,

Prof. Dr. Ing. IOAN NOVAC

TIMISOARA 1987





# C U P R I N S

	Pag.
INTRODUCERE.....	1
Cap.1 <u>STADIUL ACTUAL AL PROBLEMEI. LIMITELE METODEI COMPONENTELOR SIMETRICE UTILIZATE IN PREZENT LA ANALIZA MASINILOR DE INDUCTIE CU INFASURARI BIFAZATE, GENERAL NESIMETRICE, PE STATOR.</u>	
1.1 Definiții și precizări.....	5
1.2 Stadiul actual al construcției și teoriei motoarelor asincrone cu înfășurări bifazate nesimetrice pe stator.....	6
1.3 Limitele metodei componentelor simetrice utilizate în prezent la analiza mașinilor de inducție cu înfășurări bifazate, general nesimetrice, pe stator.....	10
1.3.1 Limitările și analiza expresiilor propuse pentru componentele simetrice ale curenților și/sau tensiunilor de fază.....	10
1.3.2 Analiza schemelor electrice echivalente și/sau a expresiilor propuse pentru impedanțele directe și inverse.....	12
Cap.2 <u>CONTRIBUTII LA STABILIREA TEORIEI COMPONENTELOR SIMETRICE -FAZORIALE SI INSTANTANEE- CORESPUNZATOARE ANALIZEI MASINILOR DE INDUCTIE ECHIPATE CU INFASURARI BIFAZATE, GENERAL NESIMETRICE, PE STATOR.</u>	
2.1 Considerații generale.....	16
2.2 Regimul permanent sinusoidal. Metoda componentelor simetrice naturale fazoriale.....	17
2.2.1 Componentele simetrice naturale ale curenților.....	19
2.2.2 Componentele simetrice naturale ale tensiunilor.....	21
2.2.3 Impedanțele echivalente.....	23

2.2.3.1 Regimul staționar simetric direct; impedanțele directe.....	26
2.2.3.2 Regimul staționar simetric invers; impedanțele inverse.....	27
2.2.3.3 Regimul staționar simetric de secvență nulă; impedanțele omopolare.....	28
2.2.4 Momentul electromagnetic în regim permanent sinusoidal.....	29
2.3 Regimul tranzitoriu electromecanic. Metoda componentelor simetrice instantanee +,-,0.....	30
2.3.1 Modelul matematic al mașinii trifazate nesimetrice.....	31
2.3.2 Transformarea A,B,C - d,q,0.....	33
2.3.2.1 Ecuațiile de transformare a mărimilor statorice.....	35
2.3.2.2 Ecuațiile de transformare a mărimilor rotorice.....	37
2.3.2.3 Fluxurile mașinii echivalente.....	37
2.3.2.4 Momentul electromagnetic.....	38
2.3.2.5 Ecuațiile electromecanice în coordonate d,q,0 generalizate.....	39
2.3.2.6 Determinarea factorilor de scară.....	39
2.3.3 Transformarea d,q,0 - +,-,0.....	41
2.3.4 Transformarea A,B,C - +,-,0 generalizată.....	41
2.3.4.1 Ecuațiile în coordonate +,-,0 generalizate.....	43
2.3.4.2 Componentele +,-,0 normate. Ecuațiile mașinii trifazate nesimetrice "model matematic" în c.s.i. normate.....	44
2.3.4.3 Componentele +,-,0 naturale. Ecuațiile mașinii trifazate nesimetrice "model matematic" în c.s.i. naturale.....	46
2.3.5 Impedanțele echivalente operaționale.....	48
2.4 Aplicarea teoriei componentelor simetrice la analiza mașinilor de inducție bifazate cu înfășurări general nesimetrice pe stator. Simetrizarea înfășurărilor statorice.....	50
 <b>Cap.3 <u>CONTRIBUTII LA ANALIZA MOTOARELOR DE INDUCȚIE MONOFAZATE CU INFĂȘURAREA AUXILIARĂ SAU DE PORNIRE, NESIMETRICA, ÎN NECUADRATURA ELECTRICĂ.</u></b>	
3.1 Prezentarea problematicii.....	52
3.2 Metoda componentelor simetrice.....	54
3.3 Separarea nesimetriei unghiulare.....	56
3.4 Regimul de pornire.....	58



3.5 Motoare de inducție monofazate cu înfășurare de pornire general nesimetrică.....	59
3.5.1 Motoare de inducție monofazate cu fază capacitivă de pornire.....	60
3.5.1.1 Curentul de pornire.....	62
3.5.1.2 Momentul de pornire.....	63
3.5.1.3 Raportul dintre momentul electromagnetic și curent, la pornire.....	67
3.5.1.4 Raportul dintre momentul electromagnetic și pierderile din înfășurările statorului, la pornire.....	68
3.5.1.5 Raportul dintre puterea aparentă a condensatorului și puterea aparentă a motorului, la pornire.....	69
3.5.2 Motoare de inducție monofazate cu fază rezistivă de pornire.....	71
3.5.2.1 Curentul de pornire.....	71
3.5.2.2 Momentul de pornire.....	74
3.5.2.3 Raportul dintre momentul electromagnetic și curent, la pornire.....	76
3.5.2.4 Raportul dintre momentul electromagnetic și pierderile din înfășurările statorului, la pornire.....	77
3.5.3 Motoare de inducție monofazate cu fază de pornire de tip complex.....	78
3.5.3.1 Factorii de nesimetrie.....	79
3.5.3.2 Curenții la pornire.....	82
3.5.3.3 Momentul de pornire.....	84
3.5.4 Incercări experimentale.....	89
3.6 Motoare de inducție monofazate cu înfășurare auxiliară (capacitivă) în necuadratură electrică. Caracteristicile de funcționare.....	90

**Cap.4 CONTRIBUTII LA STUDIUL MOTOARELOR DE INDUCTIE MONOFAZATE  
FARA INFASURARE DE PORNIRE.**

4.1 Introducere.....	93
4.2 Motoare de inducție monofazate fără înfășurare de pornire dar cu condensatori de pornire.....	93
4.2.1 Metoda componentelor simetrice.....	96
4.2.2 Separarea nesimetriei unghiulare.....	98
4.2.3 Performanțele la pornire.....	99
4.2.3.1 Curenții la pornire. Gradul de disimetrie al curenților statorici la pornire.....	104
4.2.3.2 Momentul de pornire.....	108

4.2.3.3 Raportul dintre momentul electromagnetic și curent, la pornire.....	113
4.2.3.4 Raportul dintre momentul electromagnetic și pierderile din înfășurările statorului, la pornire.....	114
4.2.3.5 Tensiunea la bornele condensatorului de pornire.....	116
4.2.4 Incercări experimentale.....	116
4.3 Motoare de inducție monofazate fără înfășurare de pornire, de tip hibrid.....	121
4.3.1 Metoda componentelor simetrice.....	122
4.3.2 Performanțele la pornire.....	124
4.3.2.1 Curenții statorici la pornire. Gradul de disimetrie al curenților la pornire.....	125
4.3.2.2 Momentul de pornire.....	127
4.3.2.3 Raportul dintre momentul electromagnetic și curent, la pornire.....	128
4.3.2.4 Raportul dintre momentul electromagnetic și pierderile din înfășurările statorului, la pornire.....	129
4.3.3 Incercări experimentale.....	130
4.4 Caracteristicile de funcționare ale motoarelor asincrone monofazate fără înfășurare de pornire.....	131
4.4.1 Schema echivalentă.....	132
4.4.2 Momentul electromagnetic.....	134
4.4.3 Momentul electromagnetic maxim și viteza (alunecarea) critică.....	135
4.4.4 Curentul, factorul de putere și randamentul.....	136
4.4.5 Considerarea armonicilor spațiale.....	137
<b>Cap.5 <u>CONTRIBUTII LA ANALIZA REGIMURILOR TRANZITORII ELECTROMECHANICE</u></b>	
<b><u>ALE MASINII DE INDUCȚIE BIFAZATE, GENERAL NESIMETRICE PE STATOR,</u></b>	
<b><u>CU REFERIRI LA MOTOARELE ASINCRONE MONOFAZATE.</u></b>	
5.1 Introducere.....	140
5.2 Componentele simetrice instantanee și circuitele echivalente operaționale.....	141
5.3 Ecuațiile regimurilor tranzitorii electromecanice ale mașinii de inducție echipată cu o înfășurare bifazată, general nesimetrică, pe stator.....	145
5.4 Ecuațiile regimurilor tranzitorii electromecanice ale motoarelor de inducție monofazate cu fază de	

pornire (general nesimetrică) de tip rezistiv.....	147
5.5 Ecuațiile regimurilor tranzitorii electromecanice ale motoarelor de inducție monofazate cu fază de pornire (general nesimetrică) de tip capacitiv.....	149
5.6 Ecuațiile regimurilor tranzitorii electromecanice ale motoarelor de inducție monofazate fără înfășurare de pornire dar cu condensator de pornire.....	152
5.7 Ecuațiile regimurilor tranzitorii electromecanice ale motoarelor de inducție monofazate fără înfășurare de pornire, de tip hibrid.....	156
5.8 Simularea pe calculatorul electronic numeric a proceselor tranzitorii electromecanice corespunzătoare pornirii motoarelor asincrone monofazate.....	158
5.8.1 Exemplu numeric.....	159
Cap.6 <u>CONCLUZII FINALE SI CONTRIBUTII ORIGINALE.</u>	
6.1 Concluzii finale.....	165
6.2 Contribuții originale.....	167
 <u>Anexa I DEMONSTRAREA COMPATIBILITATII TEORIEI COMPONENTELOR SIMETRICE -STABILITA IN CAPITOLUL 2- CU CELELALTE TEORII ALE MAGINII DE INDUCTIE CIT SI CU VARIANTELE CLASICE ALE EI.</u>	
I.1 Teoria câmpului transversal.....	171
I.2 Teoria câmpurilor magnetice circulare învîrtitoare.....	173
I.3 Teoria componentelor simetrice.....	174
I.3.1 Compatibilitatea teoriei componentelor simetrice cu teoria câmpului transversal.....	176
I.3.2 Compatibilitatea teoriei componentelor simetrice cu teoria câmpurilor magnetice circulare învîrtitoare.....	179
I.3.3 Compatibilitatea teoriei componentelor simetrice -stabilită în Capitolul 2- cu variantele clasice ale ei.....	180
I.3.3.1 Compatibilitatea cu teoria componentelor simetrice trifazate.....	182
I.3.3.2 Compatibilitatea cu teoria componentelor simetrice bifazate.....	182

## VI

I.3.3.3 Asupra impedanțelor echivalente.....	183
Anexa II Transformarea A,B,C - d,q,O NORMALA .....	184
Anexa III Transformarea A,B,C - d,q,O NORMATA .....	185
Anexa IV Transformarea A,B,C - d,q,O NATURALA .....	186
BIBLIOGRAFIE .....	187

## I N T R O D U C E R E

Dezvoltarea impetuoasă a mecanizării și automatizării în toate domeniile (industrie, agricultură, transporturi, medicină, unități economice și comerciale, unități culturale, aparatură de uz casnic etc.) a determinat o creștere fără precedent a producției de echipamente electrice și electronice în rândul cărora mașinile electrice ocupă o pondere însemnată.

Devenită una din marii consumatori de energie și materii prime, industria constructoare de mașini electrice este confruntată în prezent cu problemele spinoase ale crizei de energie și materii prime (materialele electrotehnice fiind de mult deficitare) astfel încât activitatea de re-proiectare și modernizare a producției aproape că a devenit tradițională /186/.

Aceste probleme, de ordin general, au devenit specifice producției de masă de motoare electrice de mică putere. Dintre acestea, motoarele asincrone bifazate alimentate de la rețeaua monofazată de j.t. (și utilizate pe scară largă în acționarea mașinilor unelte mici, în aparatura medicală, automate comerciale, uz casnic etc.) au cea mai mare pondere.

În acest cadru s-au dezvoltat teoria și construcția de motoare asincrone bifazate, denumite impropriu monofazate, cu condensatori cît și cele cu fază rezistivă sau capacitivă de pornire, motoare în care înfășurările statorice de fază sînt în cuadratură electrică.

O dată cu creșterea indicelui de utilizare a energiei electrice, preocuparea cercetătorilor și constructorilor de mașini electrice din toată lumea de a realiza motoare mai economice și mai eficiente apare ca o tendință firească. Se avansează ideea măririi decalajului spațial dintre axele fazelor statorice ale motoarelor monofazate cu fază capacitivă de pornire /12/, /49/, /56/, /83/, /112/, /166/, /167/, /168/, /169/, respectiv a realizării de motoare asincrone monofazate fără înfășurare de pornire /1/, /2/, /3/, /4/, /6/ etc.

Astfel se nasc motoarele de inducție cu înfășurări bifazate general nesimetrice pe stator.

Însă, din nefericire, cercetarea teoretică a acestor tipuri de motoare asincrone prezintă mari lacune (determinate de abordarea simplistă și pe alocuri chiar eronată a lor). Rezultă că particularitățile și posibilitățile lor sînt încă incomplet cunoscute deși în anumite aplicații practice utilizarea lor ar conduce la însemnate economii de materiale active.

În plus, extrapolarea concluziilor și a relațiilor de calcul de la motoarele cu fazele statorice în cuadratură electrică cît și a expresiilor empirice la dimensionarea elementelor motoarelor asincrone bifazate cu înfășurări general nesimetrice pe stator poate conduce la rezultate eronate.

Pe baza unei detaliate analize teoretico-experimentale, în cadrul lucrării de față se fundamentează metoda componentelor simetrice stabilindu-se totodată o serie de relații de calcul și diagrame care evidențiază în întregime posibilitățile motoarelor asincrone monofazate realizate cu înfășurări bifazate general nesimetrice pe stator. Aceasta va ajuta proiectanților și constructorilor de mașini electrice de mică putere să decidă, când este cazul, să opteze pentru o astfel de variantă constructivă.

Teza de doctorat este structurată în 6 capitole și 4 anexe.

În Capitolul 1, după o serie de definiții și precizări, se prezintă stadiul actual al cercetărilor privind mașinile de inducție cu înfășurări bifazate general nesimetrice pe stator. Tot aici sînt punctate și limitările metodelor componentelor simetrice utilizate în prezent la studiul acestor mașini electrice.

Capitolul 2 conține teoria originală a componentelor simetrice, elaborată de autor, în vederea analizei mașinilor de inducție echipate cu înfășurări bifazate general nesimetrice pe stator.

Precizarea "modelului matematic" al mașinii trifazate nesimetrice, echivalente, a permis stabilirea expresiilor componentelor simetrice fazoriale ale curenților și tensiunilor de fază cît și definirea impedanțelor echivalente simetrice. Componentele simetrice instantanee  $+, -, 0$  sînt stabilite în urma efectuării a două schimbări de coordonate. Transformarea  $A, B, C - d, q, 0$  este realizată pe baza adoptării unui model energetic de mașină echivalentă. Definirea componentelor  $d, q, 0$  generalizate precum și determinarea factorilor de scară au evidențiat originea fizică comună a celor trei variante (naturală, normală și normată) ale transformărilor  $d, q, 0$  utilizate și în teoria modernă a mașinilor electrice simetrice. În continuare este efectuată transformarea  $d, q, 0 - +, -, 0$  generalizată. Sînt stabilite componentele simetrice instantanee (c.s.i.) naturale și normate cît și ecuațiile mașinii trifazate nesimetrice "model matematic" în c.s.i.  $(+, -, 0)$  naturale și respectiv normate. Pentru analize de regimuri tranzitorii sînt stabilite și impedanțele echivalente operaționale  $z_+, z_-$  și  $z_0$ . În ultima parte este precizat conceptul de "simetrizare a înfășurărilor statorice" pe baza căruia, pentru orice mașină de inducție cu înfășurări bifazate general nesimetrice pe stator, poate fi reconstituită mașina trifazată nesimetrică "model matematic" alimentată dezechilibrat. În felul acesta, utilizînd relațiile stabilite în interiorul capitolului, poate fi analizat orice regim (staționar sau dinamic) pentru orice mașină de inducție echipată cu înfășurări bifazate general nesimetrice pe stator indiferent de modul de conectare și alimentare a înfășurărilor de fază.

Capitolul 3 cuprinde analiza motoarelor de inducție monofazate cu înfășurare auxiliară sau de pornire, nesimetrică, în necuadratura electrică. Studiul este efectuat pe baza teoriei componentelor simetrice stabilită în Capitolul 2. Este analizat cu precădere regimul de pornire al motoarelor asincrone monofa-

zate cu fază de pornire capacitivă, rezistivă și de tip complex prin prisma principalelor indicatori de pornire. Sînt stabilite relații de dimensionare (a reactanței capacitive, a raportului  $k$ , a unghiului  $\theta$  etc.) din condiții de optim. Incercările experimentale confirmă pe deplin previziunile teoretice. În final se prezintă influența asimetriei unghiulare și asupra principalelor indicatori de funcționare ai motoarelor asincrone monofazate cu condensatori.

În Capitolul 4 sînt prezentate și analizate motoarele de inducție monofazate fără înfășurare de pornire. Pentru motorul asincron monofazat fără înfășurare de pornire dar cu condensator de pornire sînt stabilite (pe baza metodei componentelor simetrice stabilite în Capitolul 2) performanțele la pornire. În plus, se prezintă diagrame și se deduc o serie de relații de calcul (necesare dimensionării) din condiții de optim.

Este propus și analizat motorul asincron monofazat fără înfășurare de pornire, de tip "hibrid". Pe baza rezultatelor teoretico-experimentale, pentru acest tip de motor sînt prezentate toate elementele specifice necesare fabricației. În ultima parte se stabilește schema electrică echivalentă corespunzătoare regimului de funcționare al motoarelor de inducție monofazate fără înfășurare de pornire. Se obțin expresii analitice exacte atât pentru  $s_k$ ,  $M_k$  cît și pentru ceilalți parametri de funcționare întocmai ca la mașinile asincrone polifazate simetrice.

Capitolul 5 conține modalitatea de obținere sistematică a ecuațiilor de analiză a regimurilor tranzitorii electromecanice corespunzătoare motoarelor asincrone monofazate echipate cu înfășurări bifazate general nesimetrice pe stator. În acest scop este utilizată teoria componentelor simetrice instantanee +, -, 0 stabilită în Capitolul 2. După sistematizarea conceptelor de bază și precizarea parametrilor "modelului matematic" sînt stabilite (în formă finală, imediat utilizabilă în cadrul metodelor numerice de calcul) ecuațiile de analiză a regimurilor dinamice ale tuturor motoarelor asincrone monofazate prezentate în capitolele 3 și 4 ale tezei. Ca exemplu, sînt prezentate rezultatele modelării numerice a procesului tranzitoriu de pornire al unui motor asincron monofazat cu condensatori de pornire și funcționare în cazul dispunerii înfășurării auxiliare la  $90^\circ$  și respectiv  $120^\circ$  el.

Capitolul 6 conține o serie de concluzii finale precum și o parte din contribuțiile originale ale autorului.

În Anexa I este demonstrată compatibilitatea teoriei componentelor simetrice stabilită în Capitolul 2 cu celelalte teorii ale mașinii de inducție cît și cu variantele clasice ale ei. Se verifică pe de o parte generalitatea teoriei componentelor simetrice iar pe de altă parte este demonstrat caracterul unitar al metodei componentelor simetrice trifazate și bifazate, deși în literatură cele două variante au apărut și s-au dezvoltat ca metode independente.

Capitolele 2,3,4,5 cît și Anexa I sînt în întregime originale.

Lucrarea reprezintă rodul activității desfășurate de doctorand sub îndrumarea atentă, plină de înțelegere și deosebit de competentă a tov. Prof. dr.ing. Ioan Novac. Autorul îi exprimă și pe această cale mulțumirile sale cele mai sincere și îi rămâne profund îndatorat pentru sfaturile și îndrumările primite pe parcursul întregii perioade de pregătire a doctoratului.

Deosebite mulțumiri aduce autorul tov. Prof.dr.doc.ing. Toma Dordea, ale cărui îndemnuri repetate (din perioada susținerii referatelor) de a căuta și componentele omopolare, l-au condus pe doctorand să reconsidere întreaga teorie a componentelor simetrice utilizabilă la analiza mașinilor de inducție echipate cu înfășurări bifazate general nesimetrice pe stator.

Sincere mulțumiri se cuvin și tov. Prof.dr.ing. Aurel Câmpeanu de la Universitatea din Craiova pentru numeroasele discuții purtate de-a lungul anilor, discuții care l-au ajutat pe autor la cristalizarea multor probleme confuze.

Pentru partea experimentală, autorul este recunoscător Conducerii I.M. E. Pitești și în mod special tov. ing. Al.Gheorghe, ing. M.Zamfirescu și ing. D.Vrînceanu pentru bunăvoința de a-i pune la dispoziție o parte din reperele necesare realizărilor experimentale.

De asemenea, autorul este recunoscător tov. ing. Orșă Adrian și sing. Munteanu Vasile de la I.E.P. Săcele pentru interesul manifestat privind motorul de inducție monofazat fără înfășurare de pornire, de tip "hibrid". (Pe baza documentației puse la dispoziție de autor, la I.E.P.S. s-au efectuat deja încercările de omologare a trei motoare de acest tip, motoare ce vor echipa polizoarele  $\phi 125$ ,  $\phi 150$  și  $\phi 200$  destinate exportului.)

Autorul adresează și pe această cale mulțumirile sale deosebite Conducerii Facultății de Electrotehnică de la Universitatea din Craiova, colegilor de la disciplina de Mașini electrice din catedra de Electrotehnică și în mod special, șefului de catedră, tov. Prof.dr.ing. Silviu Pușcașu pentru bunăvoința și înțelegerea manifestată pe toată perioada de finalizare a Tezii de doctorat.



## C A P I T O L U L 1.

### STADIUL ACTUAL AL PROBLEMEI. LIMITELE METODEI COMPONENTELOR SIMETRICE UTILIZATE ÎN PREZENT LA ANALIZA MASINILOR DE INDUCTIE CU ÎNFĂȘURARI BIFAZATE GENERAL NESIMETRICE PE STATOR.

#### 1.1 Definiții și precizări.

Cu scopul delimitării și localizării tematicii tezei de doctorat, în continuare sînt formulate o serie de definiții și precizări:

Definiția 1. O mașină de inducție bifazată cu rotor simetric, în scurt-circuit, se spune că este simetrică dacă este echipată și pe stator cu o înfășurare bifazată simetrică.

Definiția 2. O înfășurare bifazată este simetrică dacă cele două înfășurări de fază, A și B, îndeplinesc următoarele condiții:

- a/ sînt decalate spațial la  $90^\circ$  el.;
- b/ au același număr efectiv de spire ( $w_A = w_B$  și  $k_{wA} = k_{wB}$ );
- c/ sînt repartizate în același număr de creștături ( $N_{zA} = N_{zB}$ );
- d/ sînt realizate din același conductor ( $\phi_{dA} = \phi_{dB}$ );
- e/ au aceeași parametrii electrice ( $Z_A = Z_B$ ,  $R_A = R_B$ ,  $X_A = X_B$ ).

Definiția 3. Orice înfășurare bifazată care nu îndeplinește cel puțin o condiție din cele precizate la Definiția 2 se spune că este nesimetrică.

Definiția 4. O înfășurare bifazată care nu îndeplinește nici una din condițiile precizate în Definiția 2 se spune că este general nesimetrică.

Definiția 5. Orice mașină de inducție, cu rotor în scurtcircuit, echipată pe stator cu o înfășurare bifazată nesimetrică se numește mașină de inducție bifazată nesimetrică.

Mașinile de inducție bifazate, simetrice sau nesimetrice, sînt frecvent utilizate ca elemente de execuție în sistemele automate (ca servomotoare asincrone bifazate /10/, /25/, /28/, /47/, /48/, /69/, /76/, /104/, /110/, /121/, /127/, /200/ etc.) sau în teletenică (în construcția ansamblului selsin-motor/202/).

Însă, în cele mai frecvente utilizări, înfășurările bifazate nesimetrice sînt conectate prin intermediul unor elemente pasive de circuit (condensatori, rezistori sau chiar inductanțe) la rețeaua monofazată. Așa se întîmplă în cazul motoarelor asincrone monofazate la care, cel puțin pe durata pornirii, înfășurarea statorică este bifazată.

Aceasta este domeniul de aplicații cel mai răspîndit și în consecință, în teză, mașina de inducție cu înfășurare bifazată general nesimetrică pe stator va fi analizată numai din punctul de vedere al utilizării ei ca motor

asincron monofazat.

1.2 Stadiul actual al construcției și teoriei motoarelor asincrone cu înfășurări bifazate nesimetrice pe stator.

Teoria mașinilor asincrone nesimetrice a început să se dezvolte o dată cu dezvoltarea și diversificarea construcției de micromașini. Această ramură a electrotehnicii a căpătat o importanță deosebită e dată cu automatizarea proceselor industriale, a aparaturii medicale, cu apariția automatelor comerciale, cu diversificarea utilizărilor în transporturi, agricultură și uz casnic. În consecință, s-au diversificat și schemele motoarelor asincrone monofazate.

Clasificarea motoarelor asincrone monofazate.

Indiferent de conexiunea concretă a înfășurărilor de fază, în motoarele asincrone monofazate se urmărește obținerea sistemului bifazat de curenți în stator (cel puțin pe durata pornirii) și pe această bază crearea cîmpului magnetic învîrtitor.

Practic, înfășurările statorice de fază pot fi conectate în derivație (ca în fig.1.1) sau în serie (ca în fig.1.2) la rețeaua monofazată.

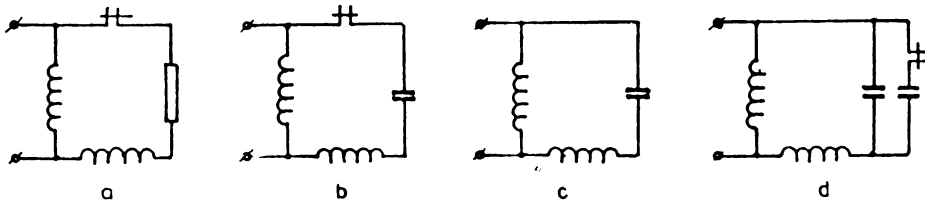


Fig.1.1

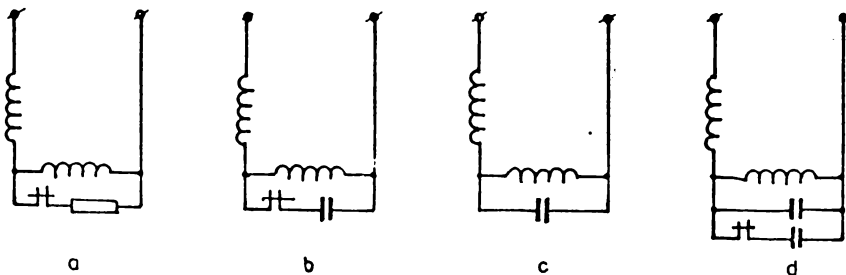


Fig.1.2

În motoarele cu rezistență mărită de pornire ca și în cele cu condensatori de pornire, defazajul curenților statorice este obținut ca urmare a valorilor diferite ale raportului  $X/R$  corespunzător celor două faze statorice. Atît dimensionarea fazei auxiliare cît și stabilirea valorilor elementelor de defazare se corelează cu datele și parametrii înfășurării principale /17/,/21/,/58/,/62/,/79/,/113/,/119/,/120/,/153/. Decuplarea fazei auxiliare sau a elementului de defazare la pornire este realizată, la aceste motoare, de către întreruptoare cen-

trifugale sau relee de curent.

Motoarele asincrone monofazate cu fază rezistivă de pornire cît și cele cu rezistență de pornire au performanțe relativ modeste la pornire ( $M_p/M_n = \max 0,9 - 1,1$  pentru  $I_p/I_n = 7 - 9$ ). Limitarea curentului de pornire este însoțită de diminuarea considerabilă a momentului de pornire.

Pentru ameliorarea caracteristicilor de pornire, în circuitul înfășurării auxiliare se conectează de regulă condensatori. Aceștia permit fie reducerea (pînă la jumătate) a curentului de pornire, fie obținerea valorii dorite a momentului de pornire.

Motoarele monofazate cu un singur condensator au parametri de pornire relativ reduși. Utilizarea condensatorilor de valori diferite (la pornire și respectiv în funcționare) poate conduce la creșterea puterii pe gabarit pînă la max. 94% din puterea motorului trifazat simetric (din același gabarit) /2/,/6/.

Obs. Motoarele asincrone monofazate cu fazele statorice inseriate și condensatori în derivație (v.fig.1.2 b,c,d) multă vreme nu și-au găsit o utilizare practică. Principalul motiv îl constituia capacitatea relativ mare a condensatoarelor necesare. Însă o dată cu dezvoltarea noilor condensatoare cu pelicule metalizate (cu oxid de aluminiu sau, mai recent, cu oxid de tantal) care sînt foarte economice în special în domeniul tensiunilor joase, se impune cu necesitate reconsiderarea acestor tipuri de motoare monofazate.

Indiferent de schema de conexiuni, motoarele asincrone monofazate cu înfășurări statorice bifazate, nesimetrice, dar în cuadratură electrică sînt studiate în cadrul teoriilor clasice de analiză a mașinilor electrice:

- i/Teoria cîmpurilor circulare învîrtitoare /15/,/84/,/111/,/151/,/187/,/189/.
- ii/Teoria cîmpului transversal /55/,/57/,/82/,/100/,/109/,/148/,/157/,/158/.
- iii/Teoria componentelor simetrice bifazate /1/,/2/,/6/,/10/,/16/,/19/,/96/,/102/,/104/,/110/,/120/,/142/,/143/,/153/,/172/,/177/,/200/ etc.

Sînt astfel analizate atît regimurile dinamice cît și regimurile staționare de funcționare (cu dimensionarea corespunzătoare a înfășurării auxiliare și a elementelor de defazare).

x x x

Pot fi realizate motoare de inducție monofazate și cu înfășurări bifazate general nesimetrice pe stator. La acestea, înfășurările de fază statorice sînt dispuse de regulă sub unghiuri  $\theta$  mai mari de  $90^\circ$  el.

Schemele corespunzătoare ale acestora sînt prezentate în fig.1.3 și în fig.1.4.

Disponerea înfășurării de pornire sub unghiul  $\theta = 110^\circ - 120^\circ$  el., cît în fig.1.3, conduce la creșterea momentului de pornire dacă celelalte elemente rămîn neschimbate /83/,/112/,/138/,/168/,/169/. Această creștere este însoțită însă și de majorarea curentului de pornire /138/.

Schemele din fig.1.4 corespund motoarelor asincrone monofazate fără

înfășurare de pornire. Acestea sînt comentate în lucrările lui Adamenko /2/,

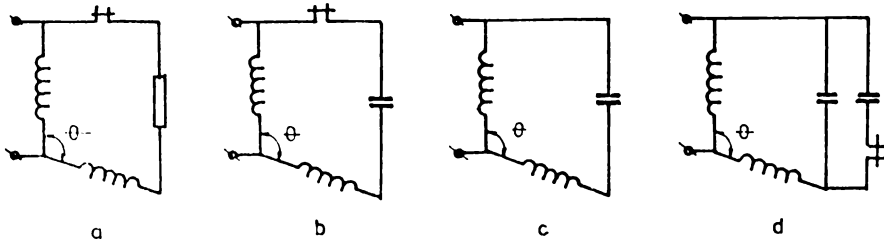


Fig.1.3

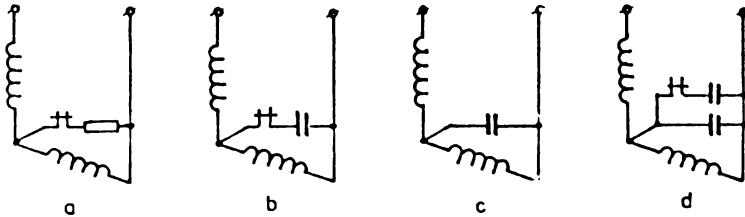


Fig.1.4

/3/,/6/ și ale colaboratorilor săi /4/,/8/. Surprinzătoare sînt efectele economice obținute la motoarele asincrone monofazate fără înfășurare de pornire dar cu condensatori de pornire (fig.1.4,b).

Particularitatea de bază constă în despărțirea înfășurării monofazate în două faze, legate în opoziție și decalate spațial cu unghiuri  $\theta$  mai mari de  $90^\circ$  el. Eliminarea înfășurării de pornire este înscrită de reducerea considerabilă a consumului de cupru iar utilizarea condensatorilor actuali de j.t. cu oxizi de tantal le poate face competitive în raport cu celelalte tipuri de motoare asincrone monofazate.

Din nefericire, posibilitățile motoarelor asincrone monofazate cu înfășurări bifazate general nesimetrice pe stator sînt încă incomplet cunoscute și foarte puțin folosite.

Din punct de vedere teoretic, decalarea înfășurărilor de fază statorice sub unghiul  $\theta \neq 90^\circ$  el. a creat serioase "probleme" cercetătorilor.

1. O parte din aceștia au adoptat un model intuitiv de mașină echivalentă prin descompunerea artificială a unei înfășurări de fază (de ex.B) în două componente: una, notată cu  $B_d$  (cu  $w_B \cos\theta$  spire), coaxială cu cealaltă înfășurare și alta,  $B_q$  (cu  $w_B \sin\theta$  spire), în cuadratură electrică cu prima, exact ca în fig.1.5. Nicăieri nu s-a justificat echivalența energetică a celor două mașini.

Pe astfel de modele își dezvoltă studiile Dunfield și Barton /38/, B.S. Guru /54/,/56/, Hershberger și Oldenkamp /70/, Leung și Szeto /10'//, Tang și Cosgriff /183/ etc.

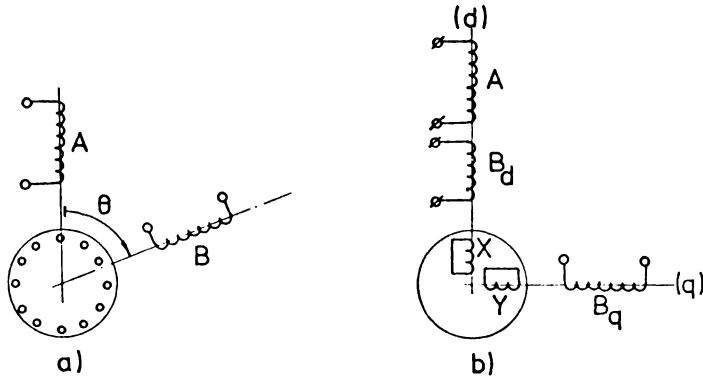


Fig.1.5

Leung și Choy /106/ prezintă un circuit echivalent universal (stabilit în cadrul aceleiași idei) pe baza căruia modelează atât motoarele asincrone trifazate (simetrice și nesimetrice) cât și motoarele asincrone monofazate (cu faza auxiliară dispusă nesimetric, cu priză în bobinajul statoric, cu poli ecranati etc.).

Chang /26/, Wallace și Butler /197/ stabilesc o serie de echivalențe între motoarele asincrone cu înfășurări statorice în necuadratură electrică și cele cu înfășurări statorice în cuadratură electrică pe baza aceleiași descompunerii artificiale a înfășurărilor statorice de fază.

V.Artemiuk /8/ formulează și aplică o transformare matriceală motorului asincron cu o înfășurare bifazată general nesimetrică pe stator, transformarea obținută în urma aceleiași descompunerii formale a unei înfășurări de fază.

Observație: În baza demonstrației din Capitolul 2 al tezei se poate constata că modelul energetic din teoria celor două axe (fig.2.12, p.34) al mașinii de inducție cu înfășurări bifazate general nesimetrice pe stator este mult mai complex decât imaginea intuitivă prezentată mai sus.

2. Studii mult mai complete sînt cele bazate pe teoria cîmpurilor magnetice circulare învîrtitoare: /12/, /13/, /32/, /42/, /49/, /60/, /83/, /85/, /112/, /130/, /151/, /166/, /184/, /185/, /189/, /198/, /201/.

Deși conduce mult mai rapid la expresiile finale ale ecuațiilor de funcționare (cu sau fără influența armonicilor spațiale), metoda cîmpurilor magnetice circulare învîrtitoare nu permite rezolvarea anumitor probleme specifice motoarelor de inducție monofazate.

3. Metoda componentelor simetrice, deși conduce la expresii intermediare mai complicate, permite obținerea de relații necesare optimizării proiectării motoarelor asincrone monofazate. Din acest motiv ea este tot mai mult agreată de cercetători fiind tot mai răspîndită în literatura de dată recentă /2/, /3/, /6/, /29/, /41/, /64/, /65/, /113/, /114/, /75/, /116/, /78/, /80/, /81/, /90/, /143/, /167/, /190/, /192/, /195/, /202/.

Cu toate acestea, în forma actuală de utilizare, metoda componentelor simetrice specifică analizei mașinilor de inducție cu înfășurări bifazate general nesimetrice pe stator conține o serie de deficiențe de fond care o reduc în fapt la metoda cîmpurilor magnetice circulare învîrtitoare. Acestea sînt punctate în paragraful imediat următor al lucrării.

4. În afara teoriilor clasice, la studiul mașinii de inducție cu înfășurări bifazate general nesimetrice pe stator s-au mai propus și alte metode. Acestea fie că sînt elaborate "ad-hoc" precum metoda interdicției /9/, fie că se bazează de fapt pe teoria cîmpurilor magnetice circulare învîrtitoare (ca metoda sumei amper-spirelor complexe /2/, /3/). Din fericire ele nu prezintă o importanță teoretică deosebită.

### 1.3 Limitele metodei componentelor simetrice utilizate în prezent la analiza mașinilor de inducție cu înfășurări bifazate general nesimetrice pe stator.

În urma cercetării bibliografice a metodei componentelor simetrice corespunzătoare analizei mașinilor de inducție cu înfășurări bifazate, general nesimetrice pe stator, s-au extras:

- toate propunerile de descompunere în componente simetrice a curenților și tensiunilor de fază;
- toate expresiile propuse pentru calculul componentelor simetrice ale curenților și/sau tensiunilor de fază;
- toate schemele echivalente și/sau expresiile propuse pentru impedanțele echivalente directe și respectiv inverse.

Cu acestea s-au întocmit Tab.1.1 și Tab.1.2.

Totodată se precizează că notațiile, diagramele mașinilor de referință, schemele echivalente cît și expresiile reproduse sînt întocmai ca în referințele bibliografice specificate.

#### 1.3.1 Limitările și analiza expresiilor propuse pentru componentele simetrice ale curenților și/sau tensiunilor de fază.

Din studierea lucrărilor care abordează metoda componentelor simetrice pentru mașinile asincrone cu înfășurări bifazate general nesimetrice pe stator cît și din Tab.1.1 se desprind următoarele concluzii:

1. S-au propus, în exclusivitate, numai descompuneri aditive ale curenților și/sau tensiunilor de fază în componente simetrice directe și respectiv inverse.

2. Componentele simetrice ale curenților de fază sînt determinate din condițiile obținerii cîmpurilor magnetice circulare învîrtitoare direct și respectiv invers (în întrefier), întocmai ca în teoria cîmpurilor magnetice circulare învîrtitoare. (De fapt și expresiile stabilite pentru  $I_{A1}$  și  $I_{A2}$  reproduc -pînă la nivelul unei constante multiplicative- curenții  $I_f$  și  $I_b$ ).

Tab. 11.

Nr. crt.	AUTORUL	MAȘINA DE REFERINȚĂ	EXPRESII PROPUSE PENTRU COMPONENTELE SIMETRICE	OBS.
1	ADAMENKO A.I. 121, 131, 161 KISLENKO V.I. 141		$I_1 = I_{11} + I_{12} ; I_2 = I_{11} \frac{1}{\xi} e^{-jk\alpha} + I_{12} \frac{1}{\xi} e^{jk\alpha}$ $I_{11} = \frac{I_1 e^{jk\alpha} - I_2 \xi}{e^{jk\alpha} - e^{-jk\alpha}} ; I_{12} = \frac{I_1 e^{-jk\alpha} - I_2 \xi}{e^{-jk\alpha} - e^{jk\alpha}}$	$\xi = \frac{w_2 k_{w2}}{w_1 k_{w1}}$ $\alpha = \pi - \theta_2$ $k' = \frac{\gamma'}{p}$
2	DINOV V.R. 1291		$I_{A1\gamma} = \frac{I_A e^{j\gamma\theta} + k_{\gamma} I_B}{e^{j\gamma\theta} - e^{-j\gamma\theta}} ; I_{A2} = \frac{I_A e^{-j\gamma\theta} + k_{\gamma} I_B}{e^{j\gamma\theta} - e^{-j\gamma\theta}}$ $I_{B1\gamma} = -\frac{1}{k_{\gamma}} I_{A1\gamma} e^{-j\gamma\theta} ; I_{B2\gamma} = -\frac{1}{k_{\gamma}} I_{A2\gamma} e^{j\gamma\theta}$	$k_{\gamma} = \frac{w_B \cdot k_{wB\gamma}}{w_A \cdot k_{wA\gamma}}$
3	EFIMENKO E.I. 1411		$I_{A1} = -j \frac{I_A e^{j\theta} + K I_B}{2 \sin \theta} ; I_{A2} = j \frac{I_A e^{-j\theta} + K I_B}{2 \sin \theta}$ $I_{B1} = \frac{1}{K} I_{A1} e^{j(\pi-\theta)} ; I_{B2} = \frac{1}{K} I_{A2} e^{-j(\pi-\theta)}$	$K = \frac{w_B \cdot k_{wB}}{w_A \cdot k_{wA}}$
4	PUSTOLA J. SLIWINSKI I.T. 11431 GIERAS J. 1641, 1651		$I_{a1} = \frac{I_a + k I_b e^{-j\alpha}}{2} ; I_{a2} = \frac{I_a + k I_b e^{j\alpha}}{2}$	
5	IUFEROV F.M. 1751, 1761 OSIN I.L. 1741		$I_{A1\gamma} = \frac{I_A + k_{\gamma} I_B e^{j\gamma\theta}}{2 \sin \gamma\theta} e^{-j(\frac{\gamma}{2}\theta - \gamma\theta)} ; I_{A2\gamma} = \frac{I_A + k_{\gamma} I_B e^{j\gamma\theta}}{2 \sin \gamma\theta} e^{j(\frac{\gamma}{2}\theta - \gamma\theta)}$ $I_{B1\gamma} = -\frac{I_{A1\gamma}}{k_{\gamma}} e^{-j\gamma\theta} ; I_{B2\gamma} = -\frac{I_{A2\gamma}}{k_{\gamma}} e^{j\gamma\theta}$	$k_{\gamma} = \frac{w_B \cdot k_{wB\gamma}}{w_A \cdot k_{wA\gamma}}$
6	IVANOVA G.T. 1781 IVANOVA N.V. 1801, 1811		$I_{3f} = \frac{I_3 e^{-j\gamma} - j k I_1}{2 \cos \gamma} ; I_{3b} = \frac{I_3 e^{j\gamma} + j k I_1}{2 \cos \gamma}$ $I_{1f} = \frac{1}{k} I_{3f} e^{j(\pi-\alpha)} ; I_{1b} = \frac{1}{k} I_{3b} e^{-j(\pi-\alpha)}$	$k = \frac{w_1 \cdot k_{w1}}{w_3 \cdot k_{w3}}$ $\gamma = \frac{\pi}{2} - \alpha$
7	KELIM Iu.M. KARPOVA V.M. 1901 SVECIARNIK DV 1202, p.3291		$I_{A1} = \frac{I_A e^{j(\pi+\theta)} - \frac{1}{k} I_B}{e^{j(\pi+\theta)} - e^{j(\pi-\theta)}} ; I_{A2} = \frac{I_A e^{j(\pi-\theta)} - \frac{1}{k} I_B}{e^{j(\pi-\theta)} - e^{j(\pi+\theta)}}$ $I_{B1} = k I_{A1} e^{j(\pi-\theta)} ; I_{B2} = k I_{A2} e^{j(\pi+\theta)}$	$k = \frac{w_A \cdot k_{wA}}{w_B \cdot k_{wB}}$
8	SAVIUC V.D. LUCANU M.T. 11671		$I_{A1} = \frac{-j(I_A e^{j\theta} + k I_B)}{2 \sin \theta} ; I_{B1} = \frac{I_{A1}}{k} e^{-j\theta} ; U_{A1} = \frac{j(U_A e^{-j\theta} - \frac{1}{k} U_B)}{2 \sin \theta} ; U_{B1} = k U_{A1} e^{j\theta}$ $I_{A2} = \frac{j(I_A e^{-j\theta} + k I_B)}{2 \sin \theta} ; I_{B2} = \frac{I_{A2}}{k} e^{j\theta} ; U_{A2} = -j(U_A e^{j\theta} - \frac{1}{k} U_B) ; U_{B2} = k U_{A2} e^{-j\theta}$	
9	VASKE P. 11951		$U_a = U_1 + U_2$ $U_b = -U_1 e^{-j\theta} - U_2 e^{j\theta}$	
10	VAS P. 11901, 11921		$C_{3m} = \begin{bmatrix} 1 & 1 \\ e^{-j\alpha_1} & e^{j\alpha_1} \end{bmatrix}$	

3. Corespunzător diverselor structuri geometrice ale mașinii bifazate de referință, formal au rezultat o mulțime de expresii pentru componentele simetrice ale curenților. Eliminând deosebiri cauzate de utilizarea notațiilor diferite se constată că toate relațiile propuse sînt echivalente între ele (și în același timp echivalente cu  $I_f$  și respectiv cu  $I_b$ ).

4. Nu se menționează nimic despre componentele omopolare ale curenților de fază deși în literatură /34/ se precizează clar că acestea sînt nule numai dacă înfășurările statorice sînt în cuadratură electrică.

5. Majoritatea autorilor /41/, /75/, /76/, /78/, /80/, /81/, /90/, /202/ au stabilit componentele simetrice ale curenților de fază cu unicul scop de a calcula momentul electromagnetic. (Date fiind componentele simetrice ale curenților, momentul electromagnetic se calculează ca în teoria cîmpurilor magnetice circulare învîrtitoare).

6. Componentele simetrice ale tensiunilor de fază, atunci cînd sînt stabilite, diferă de componentele simetrice ale curenților. Numai P.Vas /190/, /192/ propune aceleași expresii pentru componentele simetrice ale curenților și tensiunilor de fază.

7. De regulă /167/, /195/, componentele simetrice ale tensiunilor s-au ales identice (ca formă) cu expresiile t.e.m. induse în cele două înfășurări statorice de fază pe către cîmpurile magnetice circulare învîrtitoare direct și respectiv invers.

8. Nu se menționează nimic despre componentele omopolare ale tensiunilor statorice de fază.

9. Nu se menționează nimic despre componentele simetrice instantanee +, -, 0 ale mărimilor de fază. (În toată bibliografia consultată s-au întîlnit numai componente simetrice fazoriale ale curenților și tensiunilor de fază.)

10. Particularizate pentru  $\theta = 90^\circ$  el. atît expresiile componentelor simetrice ale curenților cît și cele ale tensiunilor devin identice cu cele cunoscute din teoria componentelor simetrice bifazate.

11. Particularizate pentru  $\theta = 120^\circ$  el., rezultatele obținute diferă în totalitate de relațiile cunoscute din teoria componentelor simetrice trifazate.

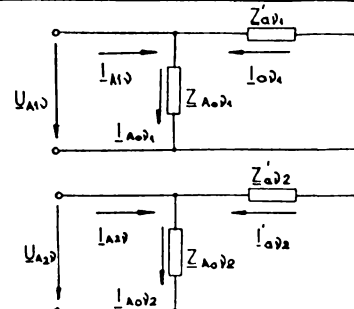
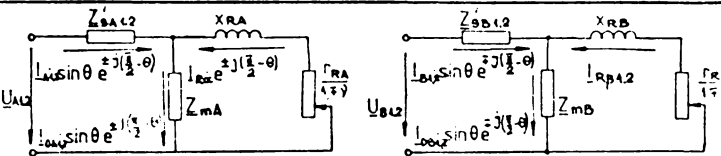
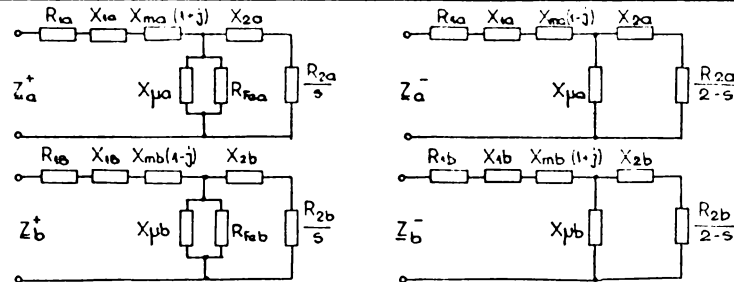
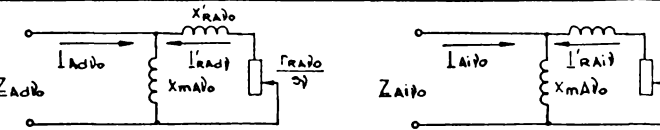
12. Nici una dintre formele propuse de descompunere în componente simetrice (atît pentru curenți cît și pentru tensiuni) nu îndeplinește condiția de conservare a puterii. (Se reamintește că invarianța puterii este o condiție obligatorie la efectuarea oricărei transformări de coordonate în teoria modernă a mașinilor electrice: /24/, /47/, /98/, /122/, /124/, /139/, /181/, /200/).

### 1.3.2 Analiza schemelor electrice echivalente și/sau a expresiilor propuse pentru impedanțele directe și inverse.

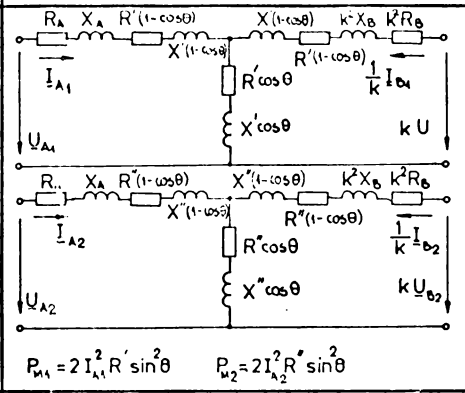
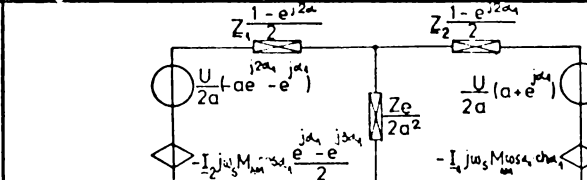
Schemele electrice sau expresiile impedanțelor echivalente, directe și inverse, așa cum sînt precizate și utilizate în literatură sînt prezentate în Tab.1.2.



Tab.12.

Nr. crt	AUTORUL	SCHEME ELECTRICE ECHIVALENTE ȘI / SAU EXPRESII PROPUSE PENTRU IMPEDANȚELE DIRECTE ȘI INVERSE
0	1	2
1	ADAMENKO A.I. 121, 131, 161 KISLENKO VI 141	$U_1 = I_{11} Z_{11} + I_{12} Z_{12} \quad ; \quad U_2 = I_{21} Z_{21} + I_{22} Z_{22} \quad , \quad \text{în care:}$ $Z_{11} = Z_{s1} + Z'_{d1} \sin \theta_2 e^{j(\theta_2 - \frac{\pi}{2})} \quad ; \quad Z_{12} = Z_{s12} + Z'_{111} \sin \theta_2 e^{-j(\theta_2 - \frac{\pi}{2})}$ $Z_{21} = Z_{s21} + Z_{2d1} \sin \theta_2 e^{-j(\theta_2 - \frac{\pi}{2})} \quad ; \quad Z_{22} = Z_{s22} + Z_{211} \sin \theta_2 e^{j(\theta_2 - \frac{\pi}{2})}$
2	DINOV V.R. 1291	$U_A = U_{A5} + \sum_{j=1}^m U_{A1j} + \sum_{j=1}^m U_{A2j}$ $Z_{A01} = jX_{MA0} (1 - \cos \theta) e^{-j\theta}$ $Z_{A02} = jX_{MA0} (1 - \cos \theta) e^{j\theta}$ $Z'_{A1j} = j \frac{2W_A^2 K_{WA0} \sin \theta e^{-j\theta}}{m_2 W_2^2 K_{W20}} \left( \frac{r_{2j}}{s_{1j}} + jx_{2j} \right)$ $Z'_{A2j} = j \frac{2W_A^2 K_{WA0} \sin \theta e^{j\theta}}{m_2 W_2^2 K_{W20}} \left( \frac{r_{2j}}{s_{2j}} + jx_{2j} \right)$ 
3	EFIMENKO EI. 1411	 $Z'_{BA12} = (r_{BA} \pm x_{BA0} \operatorname{ctg} \theta) + j(x_{BAR} \mp r_{BA} \operatorname{ctg} \theta); \quad Z'_{BB12} = (r_{BB} \mp x_{BAB} \operatorname{ctg} \theta) + j(x_{BBB} \pm r_{BB} \operatorname{ctg} \theta)$
4	PUSTOLA J. SLIWINSKI T. 1143/ GIERAS J. 164/165	
5	IUFEROV FM. 175/176/ OSIN I.L. 1741	 $Z_{A10} = Z_{Ad10} \sin \theta e^{j(\frac{\pi}{2} - \theta)}$ $Z_{B10} = Z_{Bd10} \sin \theta e^{-j(\frac{\pi}{2} - \theta)}$ $Z_{A10} = Z_{A10} \sin \theta e^{-j(\frac{\pi}{2} - \theta)}$ $Z_{B10} = Z_{B10} \sin \theta e^{j(\frac{\pi}{2} - \theta)}$
6	IVANOVA G.V. 178/ IVANOVA N.V. 1801, 1811	$Z_{1f} = r_1 + jx_{1f} + \frac{jx_{\mu 1} Z'_{2f}}{jx_{\mu 1} + Z'_{2f}} e^{-j\delta} \cos \delta$ $Z_{1b} = r_1 + jx_{1b} + \frac{jx_{\mu 1} Z'_{2b}}{jx_{\mu 1} + Z'_{2b}} e^{j\delta} \cos \delta$ $Z_{2f} = r_2 + jx_{2f} + \frac{1}{k^2} \frac{jx_{\mu 2} Z'_{2f}}{jx_{\mu 2} + Z'_{2f}} e^{j\delta} \cos \delta$ $Z_{2b} = r_2 + jx_{2b} + \frac{1}{k^2} \frac{jx_{\mu 2} Z'_{2b}}{jx_{\mu 2} + Z'_{2b}} e^{-j\delta} \cos \delta$

Tab 1.2. (continuare)

0	1	2
7	KELIM Iu M KARPOVA VM 1901 SVECIARNIK D.V 1202 p 330/	 $P_{M1} = 2 I_{A1}^2 R' \sin^2 \theta \quad P_{M2} = 2 I_{A2}^2 R'' \sin^2 \theta$
8	SAVIUC V.D. LUCANU M.T. 11671	$U_A - \frac{1}{k} U_B e^{-j\theta} = I_{A1} (Z_{A11} + 2Z_{12} \sin^2 \theta) + I_{A2} Z_{A12}$ $U_A - \frac{1}{k} U_B e^{-j\theta} = I_{A1} Z_{A21} + I_{A2} (Z_{A22} + 2Z_{21} \sin^2 \theta)$ $Z_{A11} = Z_A + \frac{1}{k^2} Z_B - j \frac{2}{k} X_{AB} \cos \theta$ $Z_{A12} = Z_A + \frac{1}{k^2} Z_B e^{j2\theta} - j \frac{2}{k} X_{AB} e^{j\theta} \quad ; \quad Z_{12} = \frac{Z_m \cdot Z_{r1}}{Z_m + Z_{r1}}$ $Z_{A21} = Z_A + \frac{1}{k^2} Z_B e^{-j2\theta} - j \frac{2}{k} X_{AB} e^{-j\theta} \quad ; \quad Z_{21} = \frac{Z_m \cdot Z_{r2}}{Z_m + Z_{r2}}$
9	VASKE P. 1195/	
10	VAS P. 1190/, 1192/	 $\frac{U}{2a} (ae^{j2\alpha_1} - e^{-j2\alpha_1}) = Z_1 I_1 \frac{1 - e^{j2\alpha_1}}{2} + I_2 j\omega_s M_{AM} \cos \alpha_1 \frac{e^{j\alpha_1} - e^{-j\alpha_1}}{2} + \frac{Z_e}{2a} (I_1 + I_2 e^{j2\alpha_1})$ $\frac{U}{2a} (a + e^{j\alpha_1}) = Z_2 I_2 \frac{1 - e^{j2\alpha_1}}{2} + I_1 j\omega_s M_{AM} \cos \alpha_1 \frac{e^{j\alpha_1} - e^{-j\alpha_1}}{2} - \frac{Z_e}{2a} (I_1 + I_2 e^{j2\alpha_1})$

Din analiza lor se pot desprinde următoarele aspecte:

1. Sînt descrise -analitic sau grafic- numai impedanțele corespunzătoare regimurilor simetrice direct și respectiv invers.

2. Despre impedanțele omopolare nu se menționează nimic.

3. Impedanțele echivalente pe fază (ale mașinii de inducție bifazate cu înfășurări general nesimetrice pe stator) corespunzătoare succesiunilor directe și inverse nu sînt riguros definite de nici unul dintre autorii citați în Tab.1.2. (Impedanțele echivalente diferă de la autor la autor în funcție de componentele simetrice utilizate).

4. Formal, majoritatea autorilor au preluat structura impedanțelor echivalente din teoria clasică a mașinilor electrice simetrice.

5. În descrierea analitică sau în reprezentarea grafică a impedanțelor echivalente (care ar trebui să fie asemenea schemelor electrice ale mașinii de inducție corespunzătoare regimurilor staționare simetrice de funcționare), parametrii înfășurărilor își pierd sensul fizic. Astfel, prin multiplicarea cu exponențiale complexe apar impedanțe care conțin reactanțe în partea reală și rezistențe în partea imaginară. (De altfel, la acest capitol, cercetătorii și-au dat frâu liber fanteziei propunând tot felul de circuite electrice - unele chiar cu surse imprimare de curent și respectiv de tensiune. Și toate pentru mașina de inducție bifazată, nesimetrică.)

x x x

Semnalaarea acestor deficiențe sub aspect teoretic, necesită reconsiderarea în totalitate a metodei componentelor simetrice utilizată în prezent la analiza mașinilor de inducție cu înfășurări bifazate general nesimetrice pe stator.

Totodată se impune și reconsiderarea tuturor rezultatelor obținute pînă acum în literatură (referitoare la motoarele asincrone monofazate echipate cu înfășurări bifazate general nesimetrice pe stator) și bazate pe metoda componentelor simetrice.

Din acest punct de vedere, prin soluționarea problemelor de mai sus, rezultă caracterul în întregime original al tezei de doctorat.

## C A P I T O L U L 2.

### CONTRIBUTII LA STABILIREA TEORIEI COMPONENTELOR SIMETRICE -FAZORIALE SI INSTANTANEE- CORESPUNZATOARE ANALIZEI MASINILOR DE INDUCTIE ECHIPATE CU INFASURARI BIFAZATE GENERAL NESIMETRICE PE STATOR.

#### 2.1 Considerații generale.

Literatura de specialitate /3/,/29/,/41/,/64/,/76/,/81/,/90/,/167/, /190/,/192/,/195/ etc. indică -de regulă- în cadrul metodei componentelor simetrice referitoare la mașinile de inducție cu înfășurări statorice bifazate, general nesimetrice, numai componentele simetrice ale curenților. Ele sînt stabilite pe baza condițiilor de obținere a cîmpurilor magnetice circulare învîrtitoare direct și respectiv invers. Componentele simetrice ale tensiunilor, atunci cînd sînt precizate, se consideră identice (ca formă) cu t.e.m. induse în cele două înfășurări statorice de către cîmpurile învîrtitoare direct și invers. Despre componentele omopolare nu se menționează nimic.

Mai mult, în prezentarea impedanțelor echivalente -prin scheme electrice sau relații- parametrii mașinii își pierde chiar și semnificația fizică.

Deși expresiile propuse concordă în totalitate cu teoria clasică pentru configurații de înfășurări în cuadratură electrică, totuși această concordanță dispăre în cazurile -controlabile, de altfel- în care înfășurările statorice sînt dispuse la  $60^\circ$  sau la  $120^\circ$  el.

Avîndu-se în vedere aceste situații cît și concluziile desprinse din capitolul precedent, în capitolul de față va fi elaborată o teorie originală și totodată unitară a metodei componentelor simetrice, teorie compatibilă în totalitate atît cu variantele clasice ale ei cît și cu celelalte teorii.

Relațiile stabilite sînt generale și pot fi utilizate la analiza oricărui tip de mașină asincronă echipată cu o înfășurare bifazată, general nesimetrică pe stator (cu orice decalaj spațial între axele înfășurărilor statorice de fază și orice raport al numerelor efective de spire).

Ideea originală /136/,/139/,/140/ care a stat la baza dezvoltării întregii teorii poate fi formulată în următoarea propoziție: "Structura de mașină bifazată, general nesimetrică pe stator, provine din regimul dezechilibrat al unei mașini trifazate (nesimetrice, echivalente), la întreruperea sau nealimentarea unei înfășurări de fază statorice."

Pentru ilustrarea ei, în fig.2.1 a), s-a reprezentat ca exemplu /141/ un motor de inducție monofazat, cu faza auxiliară B general nesimetrică (dispusă sub unghiul  $\theta \neq 90^\circ$  el. și cu un număr oarecare de spire).

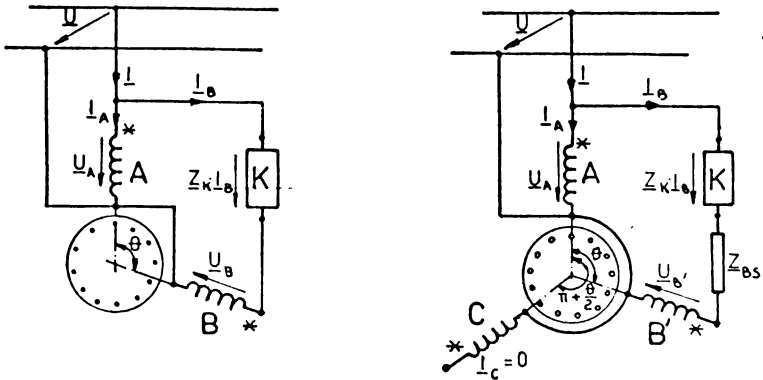


Fig.2.1 a) Motorul de inducție monofazat cu faza auxiliară general nesimetrică; b) Idem, ca provenind din regimul dezechilibrat al unei mașini de inducție trifazate, nesimetrice.

În vederea folosirii metodei componentelor simetrice pentru analiza performanțelor acestui motor, în fig.2.1 b) s-a indicat motorul trifazat echivalent, nesimetric, alimentat dezechilibrat de la aceeași rețea monofazată. Ecuațiile funcționale corespunzătoare modului de alimentare și de conectare a înfășurărilor statorice pot fi rapid soluționate prin utilizarea unor substituții (componentele simetrice ale mărimilor de fază) adecvate.

Modul de descompunere în componente simetrice, expresiile acestora cât și impedanțele echivalente vor fi stabilite atât pentru regimul staționar cât și pentru regimul dinamic. În primul caz vor fi utilizate conceptele teoriei cîmpurilor magnetice circulare învîrtitoare [14], [49], [59], [60], [85], [112], [136], [139], [140], [189] și se va stabili teoria componentelor simetrice fazoriale (c.s.f.). În al doilea caz vor fi efectuate două transformări de coordonate și se va stabili teoria componentelor simetrice instantanee (c.s.i.).

2.2 Regimul permanent sinusoidal. Metoda componentelor simetrice naturale fazoriale.

Așa cum a fost subliniat în paragraful 2.1 și exemplificat în figura 2.1 b), analiza oricărei mașini de inducție echipată cu o înfășurare bifazată, general nesimetrică, pe stator impune - în cadrul metodei componentelor simetrice - precizarea mașinii trifazate nesimetrice, echivalente.

O vom denumi "model matematic".

Se propune<sup>+</sup> pentru mașina trifazată nesimetrică "model matematic" structura reprezentată în fig.2.2 cu următoarele precizări suplimentare:

1. Înfășurările statorice A și B sînt identice cu cele ale mașinii bi-

<sup>+</sup>) Justificarea riguroasă atât a structurii mașinii trifazate "model matematic" cât și a relațiilor (2.1) va fi prezentată în § 2.3.1, la pg.31.

fazate general nesimetrice (același unghi de decalaj spațial  $\theta$ ; aceleași numere de spire  $w_A, w_B$ ; același  $k_y, k_q$  etc). Infășurarea statorică de fază C, cu  $w_C$  spire, este dispusă spațial sub unghiul  $\pi + \frac{1}{2}\theta$  față de infășurarea A.

2. Rezistențele și inductanțele proprii de dispersie ale celor trei infășurări de fază statorice satisfac relațiile:

$$R_B = k_B^2 \cdot R_A ; \quad l_{B\sigma} = k_B^2 \cdot l_{A\sigma} \quad \text{a)}$$

$$R_C = \frac{k_C^2}{2\cos(\pi - \theta)} \cdot R_A \quad (2.1)$$

$$l_{C\sigma} = \frac{k_C^2}{2\cos(\pi - \theta)} \cdot l_{A\sigma} \quad \text{b)}$$

în care:  $k_B = \frac{w_B k_{qB} k_{yB}}{w_A k_{qA} k_{yA}}$  și  $k_C = \frac{w_C k_{qC} k_{yC}}{w_A k_{qA} k_{yA}} \quad (2.2)$

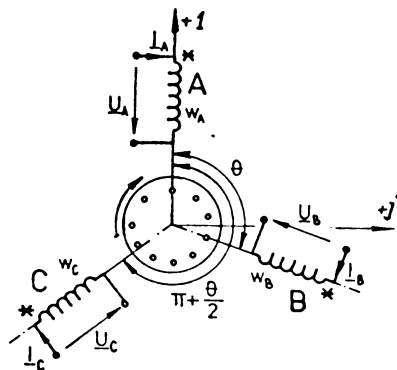


Fig.2.2 Mașina trifazată nesimetrică "model matematic".

3. Rotorul simetric, de regulă în colivie, este același cu cel al motorului bifazat analizat iar întrefierul -presupus uniform- se consideră neschimbat.

Ipoteze de calcul.

Conform procedurii uzuale infășurările statorice sînt presupuse repartizate sinusoidal. Inițial, pierderile în fier, mecanice și de ventilație vor fi neglijate. Ulterior, pierderile în fier vor fi considerate în schemele echivalente corespunzătoare regimurilor simetrice urmînd calea clasică iar pierderile mecanice și de ventilație vor fi considerate ca simple sarcini mecanice la arborele motorului.

Totodată sînt admise toate ipotezele simplificatoare care asigură valabilitatea principiului superpoziției. În plus, inductanțele de dispersie ale infășurărilor statorice de fază se iau în considerație atît prin inductanțele proprii de dispersie:  $l_{A\sigma}, l_{B\sigma}, l_{C\sigma}$  cît și prin inductanțele mutuale de dispersie:  $L_{AA\sigma}, L_{AB\sigma}, L_{AC\sigma} \dots$  întocmai ca în /33/, /34/, /35/ și /36/.

x x x

Potrivit conceptelor fizice ale metodei componentelor simetrice /14/, /23/ /25/, /28/, /41/, /69/, /71/, /98/, /104/, /126/, /127/, /128/, /162/ etc., orice regim staționar de funcționare al mașinii trifazate nesimetrice "model matematic" poate fi obținut (sau descompus) din (sau în) trei regimuri staționare simetrice, în corelație cu cîmpurile magnetice din întrefierul mașinii.

În acest context, pentru dezvoltările matematice viitoare, vom atașa fig.2.2 planul complex (+1, +j) cu axa reală suprapusă axei fazei statorice A.

S-a precizat astfel implicit sensul orar pentru măsurarea pozitivă a unghiurilor. Totodată înfășurarea statorică A va fi considerată ca înfășurare de referință.

### 2.2.1 Componentele simetrice naturale ale curenților.

Să considerăm că înfășurările statorice de fază A, B și C ale mașinii trifazate nesimetrice "model matematic" (v.fig.2.2) sînt parcurse de sistemul trifazat de curenți:

$$\begin{aligned} i_A &= \sqrt{2} \cdot I_A \cos \omega_1 t \\ i_B &= \sqrt{2} \cdot I_B \cos(\omega_1 t - \varepsilon_B) \\ i_C &= \sqrt{2} \cdot I_C \cos(\omega_1 t - \varepsilon_C) \end{aligned} \quad (2.3)$$

cu succesiunea în timp precizată de :  $|\varepsilon_B| < |\varepsilon_C|$ .

În referențialul statoric fix (cu  $x=0$  în axa fazei A și  $t=0$  în momentul trecerii prin maxim a curențului  $i_A$ ) expresiile tensiunilor magnetice (t.m.) excitate de solenatiile înfășurărilor statorice A, B și C într-un punct din întrefier, de coordonată  $x$ , la momentul  $t > 0$  sînt :

$$\begin{aligned} v_A(x,t) &= \frac{2\sqrt{2}}{\pi \cdot p} \cdot w_A k_{wA} I_A \cos \omega_1 t \cdot \cos \frac{\pi}{\tau} x \\ v_B(x,t) &= \frac{2\sqrt{2}}{\pi \cdot p} \cdot w_B k_{wB} I_B \cos(\omega_1 t - \varepsilon_B) \cos\left(\frac{\pi}{\tau} x - \theta\right) \\ v_C(x,t) &= \frac{2\sqrt{2}}{\pi \cdot p} \cdot w_C k_{wC} I_C \cos(\omega_1 t - \varepsilon_C) \cos\left[\frac{\pi}{\tau} x - (\pi + \frac{1}{2}\theta)\right] \end{aligned} \quad (2.4)$$

Prelucrînd relațiile (2.4) conform identității trigonometrice:  $\cos x \cdot \cos y = \frac{1}{2}(\cos(x-y) + \cos(x+y))$  și folosind apoi formula lui Euler  $\cos z = \frac{1}{2}(e^{jz} + e^{-jz})$ , expresia t.m. rezultante  $v(x,t) = v_A(x,t) + v_B(x,t) + v_C(x,t)$  poate fi pusă sub forma:

$$v(x,t) = \frac{1}{2}(\underline{v} + \underline{v}^*) \quad (2.5)$$

$$\begin{aligned} \text{în care: } \underline{v} &= \frac{\sqrt{2}}{\pi p} w_A k_{wA} \cdot \left[ (I_A + k_B I_B e^{j\theta} + k_C I_C e^{j(\pi + \frac{1}{2}\theta)}) e^{j(\omega_1 t - \frac{\pi}{\tau} x)} + \right. \\ &\quad \left. + (I_A + k_B I_B e^{-j\theta} + k_C I_C e^{-j(\pi + \frac{1}{2}\theta)}) e^{j(\omega_1 t + \frac{\pi}{\tau} x)} \right] \end{aligned} \quad (2.6)$$

iar asteriscul "\*" semnifică mărimea complex conjugată.

Analizînd expresia (2.6) se observă posibilitatea ca, pentru anumite valori ale curenților  $I_A$ ,  $I_B$  și  $I_C$ , t.m.  $v(x,t)$  și respectiv  $v^*(x,t)$  să capete semnificația unor sinori Fresnel /4/, /25/, /69/, /98/, /124/, /125/ de rotație pozitivă și respectiv negativă. În acest context vom descompune aditiv, în mod natural, ansamblul curenților statorici  $I_A$ ,  $I_B$  și  $I_C$  în trei sisteme de componente, după modelul de mai jos:

$$\begin{aligned} I_A &= I_{A1} + I_{A2} + I_{A0} \\ I_B &= I_{B1} + I_{B2} + I_{B0} \end{aligned} \quad (2.7)$$

$$\underline{I}_C = \underline{I}_{C1} + \underline{I}_{C2} + \underline{I}_{C0}$$

Componentele simetrice de succesiune directă ( $\underline{I}_{A1}, \underline{I}_{B1}, \underline{I}_{C1}$ ) vor stabili în întrefier un câmp magnetic circular, învîrtitor în sensul succesiunii fazelor, cu amplitudinea la  $t = 0$  orientată după axa înfașurării A, numai dacă:

$$\begin{aligned} \underline{I}_{A1} + k_B \underline{I}_{B1} e^{-j\theta} + k_C \underline{I}_{C1} e^{-j(\pi + \frac{1}{2}\theta)} &= 0 \\ \underline{I}_{A1} + k_B \underline{I}_{B1} e^{+j\theta} + k_C \underline{I}_{C1} e^{+j(\pi + \frac{1}{2}\theta)} &= m'_1 \underline{I}_{A1} \quad \text{cu } m'_1 \in \mathbb{R} \end{aligned} \quad (2.8)$$

Eliminînd curentul  $\underline{I}_{C1}$  din ecuațiile sistemului (2.8) obținem:

$$(1 - e^{j\theta}) + k_B \frac{\underline{I}_{B1}}{\underline{I}_{A1}} e^{j\theta} (1 - e^{-j\theta}) = m'_1 \quad (2.9)$$

În continuare se apelează la un artificiu de calcul: se formează expresia complex conjugată relației (2.9). Efectuînd diferența lor, după cîteva calcule intermediare, rezultă:

$$\text{Re} \left\{ (1 - e^{j\theta}) \left( k_B \frac{\underline{I}_{B1}}{\underline{I}_{A1}} e^{j\theta} - 1 \right) \right\} = 0 \quad (2.10)$$

Condiția (2.10) este matematic echivalentă sistemului (2.8). Ea este îndeplinită pentru orice valoare a unghiului  $\theta$ , dacă și numai dacă:

$$\underline{I}_{B1} = \frac{1}{k_B} \underline{I}_{A1} e^{-j\theta} \quad (2.11)$$

Avînd precizată valoarea lui  $\underline{I}_{B1}$ , din sistemul (2.8) obținem imediat:

$$\underline{I}_{C1} = \frac{2\cos(\pi - \theta)}{k_C} \underline{I}_{A1} e^{-j(\pi + \frac{1}{2}\theta)} \quad \text{și } m'_1 = 4\sin^2 \frac{1}{2}\theta \quad (2.12)$$

Componentele simetrice de succesiune inversă ( $\underline{I}_{A2}, \underline{I}_{B2}, \underline{I}_{C2}$ ) vor stabili în întrefier un câmp magnetic circular, învîrtitor în sens invers succesiunii fazelor, cu amplitudinea la  $t = 0$  orientată după axa înfașurării A, numai dacă:

$$\begin{aligned} \underline{I}_{A2} + k_B \underline{I}_{B2} e^{+j\theta} + k_C \underline{I}_{C2} e^{+j(\pi + \frac{1}{2}\theta)} &= 0 \\ \underline{I}_{A2} + k_B \underline{I}_{B2} e^{-j\theta} + k_C \underline{I}_{C2} e^{-j(\pi + \frac{1}{2}\theta)} &= m''_1 \underline{I}_{A2} \quad \text{cu } m''_1 \in \mathbb{R} \end{aligned} \quad (2.13)$$

Prelucrînd similar și ecuațiile (2.13), în final vom obține:

$$\underline{I}_{B2} = \frac{1}{k_B} \underline{I}_{A2} e^{j\theta}; \quad \underline{I}_{C2} = \frac{2\cos(\pi - \theta)}{k_C} \underline{I}_{A2} e^{j(\pi + \frac{1}{2}\theta)}; \quad m''_1 = 4\sin^2 \frac{1}{2}\theta \quad (2.14)$$

Componentele simetrice de succesiune nulă ( $\underline{I}_{A0}, \underline{I}_{B0}, \underline{I}_{C0}$ ) vor stabili în întrefier un câmp magnetic rezultat nul, în orice punct x și la orice moment  $t > 0$ , numai dacă:

$$\begin{aligned} \underline{I}_{A0} + k_B \underline{I}_{B0} e^{+j\theta} + k_C \underline{I}_{C0} e^{+j(\pi + \frac{1}{2}\theta)} &= 0 \\ \underline{I}_{A0} + k_B \underline{I}_{B0} e^{-j\theta} + k_C \underline{I}_{C0} e^{-j(\pi + \frac{1}{2}\theta)} &= 0 \end{aligned} \quad (2.15)$$



Condițiile (2.15) sînt simultan îndeplinite, dacă și numai dacă:

$$\underline{I}_{BO} = \frac{1}{k_B} \cdot \underline{I}_{AO} \quad \text{și} \quad \underline{I}_{CO} = \frac{1}{k_C} \cdot 2\cos\frac{1}{2}\theta \cdot \underline{I}_{AO} \quad (2.16)$$

Reconsiderînd descompunerea (2.7) și înlocuind rezultatele obținute pînă acum, obținem forma definitivă de descompunere în componente simetrice a curenților statorici de fază:

$$\begin{aligned} \underline{I}_A &= \underline{I}_{A1} + \underline{I}_{A2} + \underline{I}_{AO} \\ \underline{I}_B &= \frac{1}{k_B} \cdot (\underline{I}_{A1} e^{-j\theta} + \underline{I}_{A2} e^{j\theta} + \underline{I}_{AO}) \\ \underline{I}_C &= \frac{1}{k_C} \cdot [2\cos(\pi-\theta)\underline{I}_{A1} e^{-j(\pi+\frac{1}{2}\theta)} + 2\cos(\pi-\theta)\underline{I}_{A2} e^{j(\pi+\frac{1}{2}\theta)} + 2\cos\frac{1}{2}\theta \cdot \underline{I}_{AO}] \end{aligned} \quad (2.17)$$

Expresiile componentelor simetrice, corespunzătoare descompunerii (2.17) și obținute ca soluție a acestui sistem sînt date mai jos, în forma finală:

$$\begin{aligned} \underline{I}_{A1} &= \frac{1}{4\sin^2\frac{1}{2}\theta} [\underline{I}_A + k_B \underline{I}_B e^{+j\theta} + k_C \underline{I}_C e^{+j(\pi+\frac{1}{2}\theta)}] \\ \underline{I}_{A2} &= \frac{1}{4\sin^2\frac{1}{2}\theta} [\underline{I}_A + k_B \underline{I}_B e^{-j\theta} + k_C \underline{I}_C e^{-j(\pi+\frac{1}{2}\theta)}] \\ \underline{I}_{AO} &= \frac{1}{4\sin^2\frac{1}{2}\theta} [2\cos(\pi-\theta)\underline{I}_A + 2\cos(\pi-\theta)k_B \underline{I}_B + 2\cos\frac{1}{2}\theta \cdot k_C \underline{I}_C] \end{aligned} \quad (2.18)$$

### 2.2.2 Componentele simetrice naturale ale tensiunilor.

Sistemul tensiunilor statorice de fază  $\underline{U}_A, \underline{U}_B$  și  $\underline{U}_C$  va fi descompus în mod natural, aditiv, în trei sisteme de componente: direct ( $\underline{U}_{A1}, \underline{U}_{B1}, \underline{U}_{C1}$ ), invers ( $\underline{U}_{A2}, \underline{U}_{B2}, \underline{U}_{C2}$ ) și de succesiune nulă ( $\underline{U}_{AO}, \underline{U}_{BO}, \underline{U}_{CO}$ ). Alimentînd mașina trifazată nesimetrică "model matematic", succesiv, cu cele trei sisteme simetrice de tensiuni, prin înfașurările statorice se vor stabili, pe rînd, cele trei sisteme simetrice de curenți. În acest fel se obțin regimurile simetrice de funcționare ale "modelului matematic".

Dacă alegem componentele tensiunii  $\underline{U}_A$  ca mărimi de bază, descompunerea tensiunilor de fază în componente simetrice poate fi realizată după următorul model:

$$\begin{aligned} \underline{U}_A &= \underline{U}_{A1} + \underline{U}_{A2} + \underline{U}_{AO} \\ \underline{U}_B &= b_1 \underline{U}_{A1} + b_2 \underline{U}_{A2} + b_0 \underline{U}_{AO} \\ \underline{U}_C &= c_1 \underline{U}_{A1} + c_2 \underline{U}_{A2} + c_0 \underline{U}_{AO} \end{aligned} \quad (2.19)$$

în care coeficienții transformării sînt, deocamdată, necunoscuți.

Condiția în baza căreia va fi determinată descompunerea (2.19) este cea de invarianță a puterii aparente complexe /24/, /47/, /98/, /122/, /124/, /139/, /181/, /200/etc.

Matematic, în formulare matriceală, această condiție se traduce prin relația:

$$\| \underline{U}_{A,B,C} \| \cdot \| \underline{I}_{A,B,C} \|^{*} = \| \underline{U}_{1,2,0} \| \cdot \| \underline{H} \| \cdot \| \underline{I}_{1,2,0} \|^{*} \quad (2.20)$$

în care:

$$\begin{aligned} \| \underline{U}_{A,B,C} \| &= \begin{bmatrix} \underline{U}_A & \underline{U}_B & \underline{U}_C \end{bmatrix}; \quad \| \underline{I}_{A,B,C} \| = \begin{bmatrix} \underline{I}_A & \underline{I}_B & \underline{I}_C \end{bmatrix}^T \\ \| \underline{U}_{1,2,0} \| &= \begin{bmatrix} \underline{U}_{A1} & \underline{U}_{A2} & \underline{U}_{AO} \end{bmatrix}; \quad \| \underline{I}_{1,2,0} \| = \begin{bmatrix} \underline{I}_{A1} & \underline{I}_{A2} & \underline{I}_{AO} \end{bmatrix}^T \end{aligned} \quad (2.21)$$

$$\|H\| = \text{diag.}(h_1, h_2, h_0)$$

$h_1, h_2$  și  $h_0$  fiind coeficienți numerici reali, nenuli, în general diferiți. Ei sînt egali ( $h_1=h_2=h_0=1$ ) numai în cazul transformărilor normale.

Dacă rescriem matriceal descompunerile (2.17) și (2.19):

$$\|I_{A,B,C}\| = \|C_I\| \|I_{1,2,0}\| ; \quad \|U_{A,B,C}\| = \|C_U\| \|U_{1,2,0}\| \quad (2.22)$$

din condiția de invarianță a puterii (2.20) obținem:

$$\|C_U\|^T \cdot \|C_I\|^* = \|H\| \quad (2.23)$$

Intrucît matricea  $\|C_U\|$  are structura cunoscută:

$$\|C_U\| = \begin{array}{|c|c|c|} \hline 1 & 1 & 1 \\ \hline b_1 & b_2 & b_0 \\ \hline c_1 & c_2 & c_0 \\ \hline \end{array} \quad (2.24)$$

iar matricea  $\|C_I\|$  este perfect determinată:

$$\|C_I\| = \begin{array}{|c|c|c|} \hline 1 & 1 & 1 \\ \hline \frac{1}{k_B} e^{-j\theta} & \frac{1}{k_B} e^{j\theta} & \frac{1}{k_B} \\ \hline \frac{2\cos(\pi-\theta)}{k_C} e^{-j(\pi+\frac{1}{2}\theta)} & \frac{2\cos(\pi-\theta)}{k_C} e^{j(\pi+\frac{1}{2}\theta)} & \frac{2\cos\frac{1}{2}\theta}{k_C} \\ \hline \end{array} \quad (2.25)$$

condiția de invarianță a puterii (2.23) a devenit echivalentă cu un sistem algebric de 9 ecuații liniare cu 9 necunoscute. Rezolvîndu-l obținem:

$$\begin{aligned} b_1 &= k_B e^{-j\theta} & ; & \quad b_2 = k_B e^{j\theta} & ; & \quad b_0 = k_B \\ c_1 &= k_C e^{-j(\pi+\frac{1}{2}\theta)} & ; & \quad c_2 = k_C e^{j(\pi+\frac{1}{2}\theta)} & ; & \quad c_0 = k_C \frac{\cos\frac{1}{2}\theta}{\cos(\pi-\theta)} \\ h_1 &= 4\sin^2\frac{1}{2}\theta & ; & \quad h_2 = 4\sin^2\frac{1}{2}\theta & ; & \quad h_0 = \frac{2\sin\frac{1}{2}\theta}{\cos(\pi-\theta)} \end{aligned} \quad (2.26)$$

În concluzie, a rezultat o descompunere unică a tensiunilor statorice de fază în componente simetrice. Forma definitivă a relațiilor de descompunere este:

$$\begin{aligned} U_A &= U_{A1} + U_{A2} + U_{A0} \\ U_B &= k_B ( U_{A1} e^{-j\theta} + U_{A2} e^{j\theta} + U_{A0} ) \\ U_C &= k_C [ U_{A1} e^{-j(\pi+\frac{1}{2}\theta)} + U_{A2} e^{j(\pi+\frac{1}{2}\theta)} + \frac{\cos\frac{1}{2}\theta}{\cos(\pi-\theta)} U_{A0} ] \end{aligned} \quad (2.27)$$

Expresiile componentelor simetrice ale tensiunilor de fază, obținute ca soluție a sistemului (2.27) sînt date mai jos, în forma finală:

$$\begin{aligned} U_{A1} &= \frac{1}{4\sin^2\frac{1}{2}\theta} \left[ U_A + \frac{1}{k_B} U_B e^{+j\theta} + \frac{2\cos(\pi-\theta)}{k_C} U_C e^{+j(\pi+\frac{1}{2}\theta)} \right] \\ U_{A2} &= \frac{1}{4\sin^2\frac{1}{2}\theta} \left[ U_A + \frac{1}{k_B} U_B e^{-j\theta} + \frac{2\cos(\pi-\theta)}{k_C} U_C e^{-j(\pi+\frac{1}{2}\theta)} \right] \\ U_{A0} &= \frac{2\cos(\pi-\theta)}{4\sin^2\frac{1}{2}\theta} \left[ U_A + \frac{1}{k_B} U_B + \frac{2\cos\frac{1}{2}\theta}{k_C} U_C \right] \end{aligned} \quad (2.28)$$

### 2.2.3 Impedanțele echivalente.

Analiza oricărui regim dezecilibrat al mașinii trifazate nesimetrice "model matematic" (v.fig.2.2) este realizată din punct de vedere fizic - în cadrul metodei componentelor simetrice- prin suprapunerea a trei regimuri staționare, simetrice.

Din punct de vedere matematic, această analiză este posibilă numai dacă se precizează în plus și ecuațiile "modelului matematic" în cele trei regimuri simetrice. Acestea sînt ecuații de forma:

$$\underline{U}_{A1} = \underline{Z}_{A1} \underline{I}_{A1} ; \quad \underline{U}_{A2} = \underline{Z}_{A2} \underline{I}_{A2} ; \quad \underline{U}_{A0} = \underline{Z}_{A0} \underline{I}_{A0} \quad (2.29)$$

Atît expresiile cît și schemele electrice echivalente corespunzătoare impedanțelor: directă  $\underline{Z}_{A1}$ , inversă  $\underline{Z}_{A2}$  și omopolară  $\underline{Z}_{A0}$  pot fi precizate numai după stabilirea ecuațiilor "modelului matematic". În acest scop vor fi utilizate conceptele teoriei cîmpurilor magnetice circulare învîrtitoare /49/, /60/, /85/, /112/, /189/ etc. în contextul ipotezelor simplificatoare admise în 2.1, considerîndu-se totodată înfășurarea statorică A drept înfășurare de referință.

x   x   x

În concordanță cu teorema de descompunere a cîmpului magnetic pulsatoriu în două cîmpuri magnetice circulare învîrtitoare, în sensuri opuse cu viteza de sincronism, orice motor de inducție monofazat poate fi reprezentat prin două circuite echivalente înseriate, unul corespunzător cîmpului direct iar celălalt cîmpului invers, întocmai ca în fig.2.3.

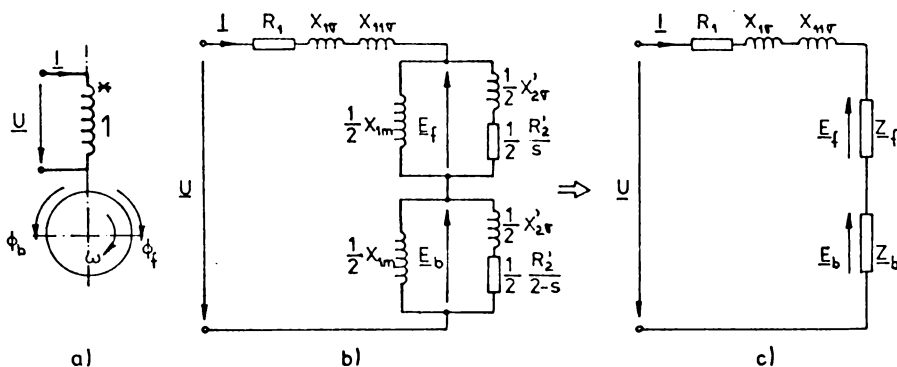


Fig.2.3 Motorul de inducție pur monofazat.

Tensiunile electromotoare induse de cîmpurile magnetice proprii: direct "f"(forward) și invers "b"(backward) s-au notat prin  $\underline{E}_f = -\underline{Z}_f \underline{I}$ , respectiv  $\underline{E}_b = -\underline{Z}_b \underline{I}$ . Impedanțele  $\underline{Z}_f$  și  $\underline{Z}_b$  asociate acestor cîmpuri magnetice sînt date de:

$$\underline{Z}_f = \frac{1}{2} \cdot \frac{jX_{1m} \left( \frac{R_2'}{s} + jX_{2v}' \right)}{R_2' / s + j(X_{2v}' + X_{1m})} ; \quad \underline{Z}_b = \frac{1}{2} \cdot \frac{jX_{1m} \left( \frac{R_2'}{2-s} + jX_{2v}' \right)}{R_2' / (2-s) + j(X_{2v}' + X_{1m})} \quad (2.30)$$

în care parametrii rotorici  $R_2'$  și  $X_{2v}'$  sînt reduși la numărul efectiv de spire

al înfășurării statorice 1.

Cu aceste precizări introductive, să analizăm inițial situația alimentării succesive a celor trei înfășurări de fază ale mașinii trifazate nesimetrice "model matematic". Cazurile obținute sînt reprezentate în fig.2.4 cu mențiunea că, de această dată, parametrii rotorici se consideră raportați la numărul efectiv de spire al înfășurării de referință A.

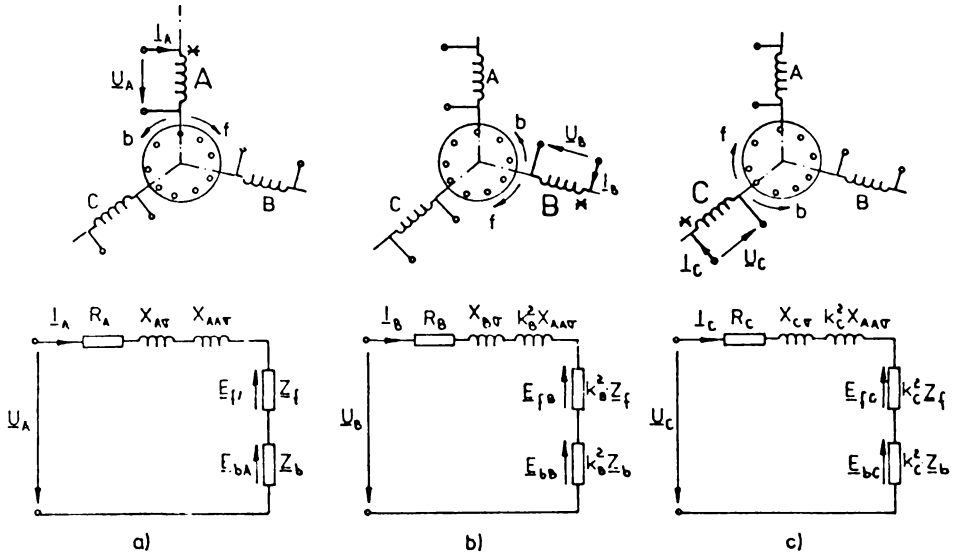


Fig.2.4 Circuitele echivalente la alimentarea monofazată, succesivă, a înfășurărilor "modelului matematic".

În circuitele electrice echivalente din fig.2.4 a, b, c, t.e.m. induse de cîmpurile magnetice proprii, directe și inverse, se determină cu:

$$\begin{aligned}
 E_{fA} &= -Z_f I_A ; & E_{bA} &= -Z_b I_A \\
 E_{fB} &= -k_B^2 \cdot Z_f I_B ; & E_{bB} &= -k_B^2 \cdot Z_b I_B \\
 E_{fC} &= -k_C^2 \cdot Z_f I_C ; & E_{bC} &= -k_C^2 \cdot Z_b I_C
 \end{aligned}
 \quad (2.31)$$

În plus, se observă că, la alimentarea unei singure înfășurări statorice de fază, cîmpurile sale învîrtitoare induc t.e.m. și în celelalte două înfășurări statorice, t.e.m. defazate temporar cu unghiuri egale cu unghiurile dintre axele înfășurărilor respective.

Pentru stabilirea ecuațiilor de tensiuni, vom analiza din punct de vedere fizic situația alimentării simultane a celor trei înfășurări statorice de fază ale "modelului matematic". În acest caz, în fiecare înfășurare statorică de fază se induc t.e.m. precizate de (2.31) și apar în plus:

1. T.e.m. de forma  $E_{fXY}$ , ca t.e.m. de rotație, induse în înfășurarea statorică X (X = A, B, C) de cîmpul magnetic direct "f", cîmp excitat de înfășu-

rarea statorică Y (Y ≠ X; Y = A, B, C).

2. T.e.m. de forma  $\underline{E}_{bXY}$ , ca t.e.m. de rotație, induse în înfășurarea statorică X (X = A, B, C) de câmpul magnetic invers "b", câmp excitat de înfășurarea statorică Y (Y ≠ X; Y = A, B, C).

3. T.e.m. de forma  $\underline{E}_{vXY}$ , ca t.e.m. transformatorice, induse în înfășurarea statorică X (X = A, B, C) de câmpul magnetic de dispersie mutuală al înfășurării statorice Y (Y ≠ X; Y = A, B, C).

Cu aceste precizări, în fig.2.5 s-au reprezentat circuitele electrice echivalente corespunzătoare fiecărei înfășurări statorice la alimentarea simultană a celor trei înfășurări de fază ale "modelului matematic".

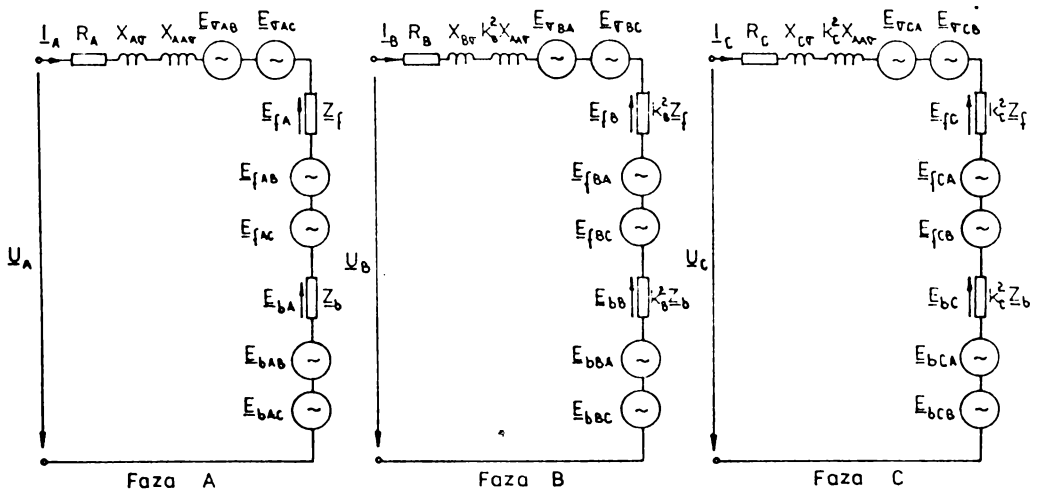


Fig.2.5 Circuitele echivalente la alimentarea simultană a înfășurărilor statorice ale mașinii trifazate "model matematic".

Expresiile t.e.m. transformatorice cît și de rotație induse de câmpurile magnetice de dispersie mutuală respectiv de câmpurile circulare învîrtitoare, altele decît cele proprii, sînt indicate (pentru fiecare înfășurare statorică de fază) în continuare:

i. T.e.m. induse în înfășurarea statorică A:

$$\begin{aligned} \underline{E}_{vAB} &= -jk_B X_{AA} \cos\theta \cdot \underline{I}_B & \underline{E}_{vAC} &= -jk_C X_{AA} \cos(\pi + \frac{1}{2}\theta) \cdot \underline{I}_C \\ \underline{E}_{fAB} &= -k_B Z_f e^{j\theta} \cdot \underline{I}_B & \underline{E}_{fAC} &= -k_C Z_f e^{j(\pi + \frac{1}{2}\theta)} \cdot \underline{I}_C \\ \underline{E}_{bAB} &= -k_B Z_b e^{-j\theta} \cdot \underline{I}_B & \underline{E}_{bAC} &= -k_C Z_b e^{-j(\pi + \frac{1}{2}\theta)} \cdot \underline{I}_C \end{aligned} \quad (2.32)$$

ii. T.e.m. induse în înfășurarea statorică B:

$$\begin{aligned} \underline{E}_{vBA} &= -jk_B X_{AA} \cos\theta \cdot \underline{I}_A & \underline{E}_{vBC} &= -jk_B k_C X_{AA} \cos(\pi - \frac{1}{2}\theta) \cdot \underline{I}_C \\ \underline{E}_{fBA} &= -k_B Z_f e^{-j\theta} \cdot \underline{I}_A & \underline{E}_{fBC} &= -k_B k_C Z_f e^{j(\pi - \frac{1}{2}\theta)} \cdot \underline{I}_C \\ \underline{E}_{bBA} &= -k_B Z_b e^{j\theta} \cdot \underline{I}_A & \underline{E}_{bBC} &= -k_B k_C Z_b e^{-j(\pi - \frac{1}{2}\theta)} \cdot \underline{I}_C \end{aligned} \quad (2.33)$$

iii. T.e.m. induse în înfășurarea statorică C:

$$\begin{aligned}
 \underline{E}_{vCA} &= -jk_C X_{AAv} \cos(\pi + \frac{1}{2}\theta) \cdot \underline{I}_A & \underline{E}_{rCB} &= -jk_B k_C X_{AAv} \cos(\pi - \frac{1}{2}\theta) \cdot \underline{I}_B \\
 \underline{E}_{fCA} &= -k_C \underline{Z}_f e^{-j(\pi + \frac{1}{2}\theta)} \underline{I}_A & \underline{E}_{rCB} &= -k_B k_C \underline{Z}_f e^{-j(\pi - \frac{1}{2}\theta)} \underline{I}_B \\
 \underline{E}_{bCA} &= -k_C \underline{Z}_b e^{j(\pi + \frac{1}{2}\theta)} \cdot \underline{I}_A & \underline{E}_{bCB} &= -k_B k_C \underline{Z}_b e^{j(\pi - \frac{1}{2}\theta)} \cdot \underline{I}_B
 \end{aligned} \quad (2.34)$$

Dispunind de toate elementele din circuitele echivalente (v.fig.2.5) a-cum sîntem în măsură să stabilim ecuațiile de tensiuni - în regim permanent sinusoidal- ale mașinii trifazate nesimetrice "model matematic". Forma finală, compactă a acestora, este prezentată mai jos:

$$\begin{aligned}
 \underline{U}_A &= \underline{Z}_{AA} \underline{I}_A + \underline{Z}_{AB} \underline{I}_B + \underline{Z}_{AC} \underline{I}_C \\
 \underline{U}_B &= \underline{Z}_{BA} \underline{I}_A + \underline{Z}_{BB} \underline{I}_B + \underline{Z}_{BC} \underline{I}_C \\
 \underline{U}_C &= \underline{Z}_{CA} \underline{I}_A + \underline{Z}_{CB} \underline{I}_B + \underline{Z}_{CC} \underline{I}_C
 \end{aligned} \quad (2.35)$$

La scrierea sistemului (2.35) s-au folosit notațiile:

$$\begin{aligned}
 \underline{Z}_{AA} &= R_A + j(X_{Av} + X_{AAv}) + \underline{Z}_f + \underline{Z}_b \\
 \underline{Z}_{AB} &= k_B (\underline{Z}_f e^{j\theta} + \underline{Z}_b e^{-j\theta} + jX_{AAv} \cos\theta) \\
 \underline{Z}_{AC} &= k_C [\underline{Z}_f e^{j(\pi + \frac{1}{2}\theta)} + \underline{Z}_b e^{-j(\pi + \frac{1}{2}\theta)} + jX_{AAv} \cos(\pi + \frac{1}{2}\theta)] \\
 \underline{Z}_{BA} &= k_B (\underline{Z}_f e^{-j\theta} + \underline{Z}_b e^{j\theta} + jX_{AAv} \cos\theta) \\
 \underline{Z}_{BB} &= R_B + jX_{Bv} + k_B^2 (jX_{AAv} + \underline{Z}_f + \underline{Z}_b) \\
 \underline{Z}_{BC} &= k_B k_C [\underline{Z}_f e^{j(\pi - \frac{1}{2}\theta)} + \underline{Z}_b e^{-j(\pi - \frac{1}{2}\theta)} + jX_{AAv} \cos(\pi - \frac{1}{2}\theta)] \\
 \underline{Z}_{CA} &= k_C [\underline{Z}_f e^{-j(\pi + \frac{1}{2}\theta)} + \underline{Z}_b e^{j(\pi + \frac{1}{2}\theta)} + jX_{AAv} \cos(\pi + \frac{1}{2}\theta)] \\
 \underline{Z}_{CB} &= k_B k_C [\underline{Z}_f e^{-j(\pi - \frac{1}{2}\theta)} + \underline{Z}_b e^{j(\pi - \frac{1}{2}\theta)} + jX_{AAv} \cos(\pi - \frac{1}{2}\theta)] \\
 \underline{Z}_{CC} &= R_C + jX_{Cv} + k_C^2 (jX_{AAv} + \underline{Z}_f + \underline{Z}_b)
 \end{aligned} \quad (2.36)$$

### 2.2.3.1 Regimul staționar simetric direct; impedanțele directe.

Mașina trifazată nesimetrică "model matematic" va funcționa în regim permanent simetric direct dacă -alimentată fiind cu un sistem trifazat de tensiuni de forma- :

$$\underline{U}_A = \underline{U} ; \quad \underline{U}_B = k_B \underline{U} e^{-j\theta} \quad \text{și} \quad \underline{U}_C = k_C \underline{U} e^{-j(\pi + \frac{1}{2}\theta)} \quad (2.37)$$

înfășurările statorice de fază vor fi parcurse de sistemul de curenți:

$$\underline{I}_A = \underline{I} ; \quad \underline{I}_B = \frac{1}{k_B} \underline{I} e^{-j\theta} \quad \text{și} \quad \underline{I}_C = \frac{2\cos(\pi - \theta)}{k_C} \underline{I} e^{-j(\pi + \frac{1}{2}\theta)} \quad (2.38)$$

Impedanțele echivalente ale fiecărei înfășurări de fază (corespunzătoare acestui regim) sînt, prin definiție, impedanțele directe. Deci:

$$\begin{aligned}
 \underline{Z}_{A1} &= \frac{\underline{U}_A}{\underline{I}_A} = \underline{Z}_{AA} + \frac{1}{k_B} \underline{Z}_{AB} e^{-j\theta} + \frac{2\cos(\pi - \theta)}{k_C} \underline{Z}_{AC} e^{-j(\pi + \frac{1}{2}\theta)} \\
 \underline{Z}_{B1} &= \frac{\underline{U}_B}{\underline{I}_B} = k_B \underline{Z}_{BA} e^{j\theta} + \underline{Z}_{BB} + \frac{2\cos(\pi - \theta)}{k_C} k_B \underline{Z}_{BC} e^{-j(\pi - \frac{1}{2}\theta)}
 \end{aligned} \quad (2.39)$$

$$\underline{Z}_{C1} = \frac{\underline{U}_C}{\underline{I}_C} = \frac{k_C}{2\cos(\pi-\theta)} \underline{Z}_{CA} e^{j(\pi+\frac{1}{2}\theta)} + \frac{k_C}{2\cos(\pi-\theta)} \frac{1}{k_B} \underline{Z}_{CB} e^{j(\pi-\frac{1}{2}\theta)} + \underline{Z}_{CC}$$

După înlocuirea relațiilor (2.36) în (2.39), expresiile impedanțelor echivalente devin:

$$\begin{aligned} \underline{Z}_{A1} &= R_A + j(X_{Ar} + 2\sin^2\frac{\theta}{2} \cdot X_{AAr}) + 4\sin^2\frac{\theta}{2} \cdot \underline{Z}_f \\ \underline{Z}_{B1} &= R_B + jX_{Br} + k_B^2(j2\sin^2\frac{\theta}{2} \cdot X_{AAr} + 4\sin^2\frac{\theta}{2} \cdot \underline{Z}_f) \\ \underline{Z}_{C1} &= R_C + jX_{Cr} + \frac{1}{2\cos(\pi-\theta)} \cdot k_C^2(j2\sin^2\frac{\theta}{2} \cdot X_{AAr} + 4\sin^2\frac{\theta}{2} \cdot \underline{Z}_f) \end{aligned} \quad (2.40)$$

Mai mult, dacă avem în vedere și condițiile (2.1) impuse mașinii trifazate nesimetrice "model matematic", vom obține:

$$\underline{Z}_{B1} = k_B^2 \cdot \underline{Z}_{A1} \quad \text{și} \quad \underline{Z}_{C1} = \frac{1}{2\cos(\pi-\theta)} \cdot k_C^2 \cdot \underline{Z}_{A1} \quad (2.41)$$

În fine, cu relația (2.30) a impedanței  $\underline{Z}_f$ , expresia de calcul a impedanței directe  $\underline{Z}_{A1}$  devine:

$$\underline{Z}_{A1} = R_A + j(X_{Ar} + 2\sin^2\frac{\theta}{2} \cdot X_{AAr}) + 2\sin^2\frac{\theta}{2} \cdot \frac{jX_{Am}(R_2/s + jX'_{2r})}{R_2/s + j(X'_{2r} + X_{Am})} \quad (2.42)$$

Corespunzător relației (2.42), în fig.2.6 s-a reprezentat schema electrică pentru impedanța directă  $\underline{Z}_{A1}$  a "modelului matematic".

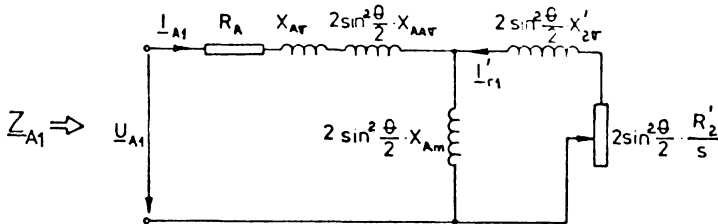


Fig.2.6 Impedanța echivalentă directă.

### 2.2.3.2 Regimul staționar simetric invers; impedanțele inverse.

Mașina trifazată nesimetrică "model matematic" va funcționa în regim permanent simetric invers dacă -alimentată fiind cu un sistem trifazat de tensiuni de forma- :

$$\underline{U}_A = \underline{U} ; \quad \underline{U}_B = k_B \underline{U} e^{j\theta} \quad \text{și} \quad \underline{U}_C = k_C \underline{U} e^{j(\pi+\frac{1}{2}\theta)} \quad (2.43)$$

înfășurările statorice de fază vor fi parcurse de sistemul de curenți:

$$\underline{I}_A = \underline{I} ; \quad \underline{I}_B = \frac{1}{k_B} \underline{I} e^{j\theta} \quad \text{și} \quad \underline{I}_C = \frac{2\cos(\pi-\theta)}{k_C} \cdot \underline{I} e^{j(\pi+\frac{1}{2}\theta)} \quad (2.44)$$

Impedanțele echivalente ale fiecărei infășurări de fază (corespunzătoare acestui regim) sînt prin definiție impedanțele inverse. Deci:

$$\begin{aligned} \underline{Z}_{A2} &= \frac{\underline{U}_A}{\underline{I}_A} = \underline{Z}_{AA} + \frac{1}{k_B} \underline{Z}_{AB} e^{j\theta} + 2\cos(\pi-\theta) \frac{1}{k_C} \underline{Z}_{AC} e^{j(\pi+\frac{1}{2}\theta)} \\ \underline{Z}_{B2} &= \frac{\underline{U}_B}{\underline{I}_B} = k_B \underline{Z}_{BA} e^{-j\theta} + \underline{Z}_{BB} + 2\cos(\pi-\theta) \frac{k_B}{k_C} \underline{Z}_{BC} e^{j(\pi-\frac{1}{2}\theta)} \end{aligned} \quad (2.45)$$

$$\underline{Z}_{C2} = \frac{\underline{U}_C}{\underline{I}_C} = \frac{1}{2\cos(\pi-\theta)} \cdot k_C \underline{Z}_{CA} e^{-j(\pi+\frac{1}{2}\theta)} + \frac{1}{2\cos(\pi-\theta)} \cdot \frac{k_C}{k_B} \underline{Z}_{CB} e^{-j(\pi-\frac{1}{2}\theta)} + \underline{Z}_{CC}$$

După înlocuirea relațiilor (2.36) în (2.45), expresiile impedanțelor echivalente devin:

$$\begin{aligned} \underline{Z}_{A2} &= R_A + j(X_{Av} + 2\sin^2\frac{\theta}{2} X_{AAv}) + 4\sin^2\frac{\theta}{2} \underline{Z}_b \\ \underline{Z}_{B2} &= R_B + jX_{Bv} + k_B^2(j2\sin^2\frac{\theta}{2} X_{AAv} + 4\sin^2\frac{\theta}{2} \underline{Z}_b) \\ \underline{Z}_{C2} &= R_C + jX_{Cv} + \frac{1}{2\cos(\pi-\theta)} \cdot k_C^2(j2\sin^2\frac{\theta}{2} X_{AAv} + 4\sin^2\frac{\theta}{2} \underline{Z}_b) \end{aligned} \quad (2.46)$$

Dacă avem în vedere și condițiile (2.1) impuse mașinii trifazate nesimetrice "model matematic" vom obține în plus:

$$\underline{Z}_{B2} = k_B^2 \underline{Z}_{A2} \quad \text{și} \quad \underline{Z}_{C2} = \frac{1}{2\cos(\pi-\theta)} k_C^2 \underline{Z}_{A2} \quad (2.47)$$

În fine, cu relația (2.30) a impedanței  $\underline{Z}_b$ , expresia de calcul a impedanței inverse  $\underline{Z}_{A2}$  devine:

$$\underline{Z}_{A2} = R_A + j(X_{Av} + 2\sin^2\frac{\theta}{2} X_{AAv}) + 2\sin^2\frac{\theta}{2} \cdot \frac{jX_{Am}(R_2'/(2-s) + jX_{2r}')}{R_2'/(2-s) + j(X_{2r}' + X_{Am}')} \quad (2.48)$$

Corespunzător relației (2.48), în fig.2.7 s-a reprezentat schema electrică pentru impedanța inversă  $\underline{Z}_{A2}$  a "modelului matematic".

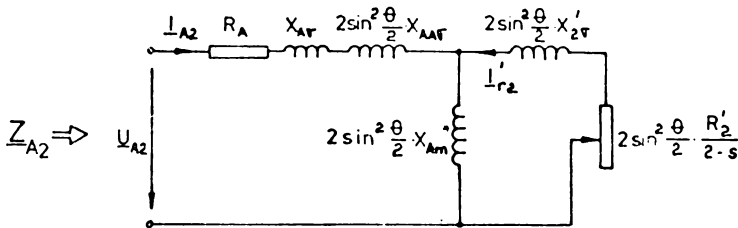


Fig.2.7 Impedanța echivalentă inversă.

### 2.2.3.3 Regimul staționar simetric de secvență nulă; impedanțele omopolare.

Mașina trifazată nesimetrică "model matematic" va funcționa în regim permanent simetric de secvență nulă dacă -alimentată fiind cu un sistem de tensiuni de forma- :

$$\underline{U}_A = \underline{U} ; \quad \underline{U}_B = k_B \underline{U} \quad \text{și} \quad \underline{U}_C = \frac{\cos\frac{\theta}{2}}{\cos(\pi-\theta)} \cdot k_C \underline{U} \quad (2.49)$$

Înfășurările statorice de fază vor fi parcurse de sistemul de curenți:

$$\underline{I}_A = \underline{I} ; \quad \underline{I}_B = \frac{1}{k_B} \underline{I} \quad \text{și} \quad \underline{I}_C = 2\cos\frac{\theta}{2} \frac{1}{k_C} \underline{I} \quad (2.50)$$

Impedanțele echivalente ale fiecărei înfășurări de fază (corespunzătoare acestui regim) sînt prin definiție impedanțele omopolare. Rezultă:

$$\begin{aligned} \underline{Z}_{A0} = \frac{\underline{U}_A}{\underline{I}_A} &= \underline{Z}_{AA} + \frac{1}{k_B} \underline{Z}_{AB} + 2\cos\frac{\theta}{2} \cdot \frac{1}{k_C} \underline{Z}_{AC} \\ \underline{Z}_{B0} = \frac{\underline{U}_B}{\underline{I}_B} &= k_B \underline{Z}_{BA} + \underline{Z}_{BB} + 2\cos\frac{\theta}{2} \cdot \frac{k_B}{k_C} \underline{Z}_{BC} \end{aligned} \quad (2.51)$$



$$\underline{Z}_{CO} = \frac{U_C}{I_C} = \frac{1}{2\cos\frac{\theta}{2}} k_C \underline{Z}_{CA} + \frac{1}{2\cos\frac{\theta}{2}} \cdot \frac{k_C}{k_B} \underline{Z}_{CB} + \underline{Z}_{CC}$$

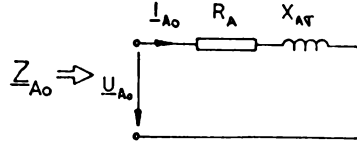
Prelucrând în mod similar și relațiile (2.51) obținem:

$$\underline{Z}_{AO} = R_A + jX_{AV}; \quad \underline{Z}_{BO} = R_B + jX_{BV} \quad \text{și} \quad \underline{Z}_{CO} = R_C + jX_{CV} \quad (2.52a)$$

Având în vedere și condițiile (2.1)

impuse "modelului matematic" obținem:

$$\begin{aligned} \underline{Z}_{BO} &= k_B^2 \cdot \underline{Z}_{AO} \\ \underline{Z}_{CO} &= \frac{1}{2\cos(\pi-\theta)} \cdot k_C^2 \cdot \underline{Z}_{AO} \end{aligned} \quad (2.52b)$$



Schema electrică corespunzătoare

impedanței  $\underline{Z}_{AO}$  este indicată în fig.2.8. Fig.2.8 Impedanța omopolară.

### 2.2.4 Momentul electromagnetic în regim permanent sinusoidal.

Potrivit conceptelor generale ale metodei componentelor simetrice /6/, /10/, /23/, /28/, /35/, /68/, /71/, /98/, /103/, /110/, /114/ momentul electromagnetic dezvoltat de mașina trifazată nesimetrică "model matematic" - în orice regim staționar dezecnilibrat- se determină ca rezultantă a momentelor (opuse) corespunzătoare celor două regimuri staționare simetrice. În raport cu sensul pozitiv de rotație al rotorului, rezultă:

$$M = M_1 - M_2 \quad (2.53)$$

Dar, în schemele electrice echivalente, mașina de inducție trifazată nesimetrică "model matematic" apare - în cele două regimuri staționare simetrice- cu  $m_1 = 4\sin^2\frac{\theta}{2}$  faze pe stator. În consecință:

$$M_1 = \frac{m_1 p}{2\pi f_1} \frac{2\sin^2\frac{\theta}{2} R_2'}{s} \cdot I_{r1}^2; \quad M_2 = \frac{m_1 p}{2\pi f_1} \frac{2\sin^2\frac{\theta}{2} R_2'}{2-s} \cdot I_{r2}^2 \quad (2.54)$$

În plus, dacă explicităm (din schemele electrice echivalente) și curenții rotorici  $I_{r1}'$ , respectiv  $I_{r2}'$ , obținem pentru momentul electromagnetic relația:

$$M = \frac{p}{2\pi f_1} 8\sin^4\frac{\theta}{2} \left[ \frac{\frac{R_2'}{s} X_{Am}^2}{\left(\frac{R_2'}{s}\right)^2 + (X_{2v}' + X_{Am})^2} \cdot I_{A1}^2 - \frac{\frac{R_2'}{2-s} X_{Am}^2}{\left(\frac{R_2'}{2-s}\right)^2 + (X_{2v}' + X_{Am})^2} \cdot I_{A2}^2 \right] \quad (2.55)$$

Cu ajutorul relațiilor stabilite în §2.2 poate fi soluționat regimul permanent sinusoidal al oricărei mașini de inducție cu două înfășurări general nesimetrice pe stator.

Eventualele diferențe privind îndeplinirea condiției (2.1) pot fi considerate printr-o impedanță exterioară inseriată, după caz, cu una din înfășurările

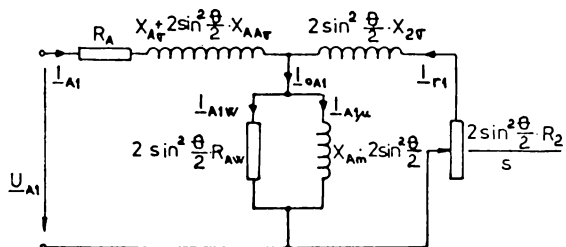


Fig.2.9a Impedanța echivalentă directă în teoria tehnică.

statorului.

În analizele tehnice, saturația este considerată prin modificarea corespunzătoare a parametrilor electrice ai mașinii, iar pierderile în fier vor fi considerate prin completarea schemelor echivalente (procedură uzual folosită) ca în figurile 2.9a și 2.9b.

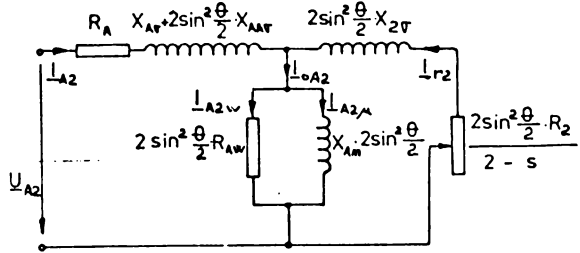


Fig.2.9b Impedanța echivalentă inversă în teoria tehnică.

În ansamblu, metoda descrisă este generală, se aplică întocmai ca la mașinile simetrice și în plus oferă avantajul probării rapide a rezultatelor obținute (în cazurile particulare cunoscute).

Compatibilitatea metodei componentelor simetrice stabilită în acest capitol cu celelalte teorii de analiză a mașinii de inducție (teoria câmpului transversal, teoria câmpurilor învârtitoare) cât și cu formele particulare (corespunzătoare mașinilor bifazate cu  $\theta = 90^\circ$  el. și respectiv trifazate cu  $\theta = 120^\circ$  el.) ale metodei componentelor simetrice este demonstrată în ANEXA I a lucrării.

2.3 Regimul tranzitoriu electromecanic. Metoda componentelor simetrice instantanee +, -, 0.

Analiza regimurilor tranzitorii ale mașinii de inducție simetrice, alimentată dezechilibrat de la rețeaua tri- sau monofazată este simțitor simplificată și totodată sistematizată dacă este transpusă în spațiul coordonatelor simetrice instantanee (c.s.i.) +, -, 0, /24/, /25/, /68/, /98/, /105/, /117/, /118/, /122/, /124/, /155/, /182/.

În acest context, având în vedere și ideea formulată la începutul paragrafului 2.1 se întrezărește și posibilitatea analizei regimurilor dinamice ale mașinii de inducție bifazate general nesimetrică pe stator. Numai că -în acest stadiu- nu avem precizată structura mașinii trifazate, nesimetrice, echivalente.

Totuși, două din cele trei înfășurări statorice de fază trebuie să fie identice cu cele ale mașinii bifazate nesimetrice (cu aceleași numere efective de spire și dispuse spațial sub același unghi  $\theta$ ). În plus, mașina trifazată echivalentă păstrează de la cea bifazată atât rotorul cât și întrefierul.

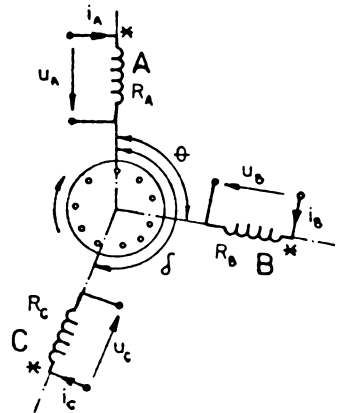


Fig.2.10 Mașina trifazată echivalentă, model intuitiv.

Să considerăm că a treia înfășurare de fază (fie aceasta C) ar fi dispusă spațial sub unghiul  $\delta \neq \theta$  și că ar avea  $w_C k_{wC}$  spire efective.

Acesta este modelul intuitiv al mașinii trifazate nesimetrice echivalente și este reprezentat în fig.2.10. Particularitățile și structura definitivă ale acestuia -stabilite prin calcule- conduc în final la un "model matematic" de mașină trifazată echivalentă.

O altă dificultate care va trebui depășită constă în faptul că în literatură nu există încă stabilite -pentru mașini trifazate cu asimetrie unghiulare- nici un fel de matrice de transformare din spațiul variabilelor de fază în spațiul coordonatelor simetrice instantanee sau invers.

Din acest motiv, transformarea A,B,C, - +,-,0 va fi stabilită indirect pe baza efectuării a două transformări succesive de coordonate: A,B,C - d, q,0 și respectiv d,q,0 - +,-,0.

În plus, prin introducerea noțiunii de "coordonată generalizată" a devenit posibil să obținem transformarea d,q,0 în cele trei forme cunoscute până acum: normală, naturală și normată. De asemenea, transformarea +,-,0 s-a obținut în formulele: naturală și normată.

Toate expresiile stabilite generalizează relațiile cunoscute din teoria modernă a mașinilor electrice simetrice.

### 2.3.1 "Modelul matematic" al mașinii trifazate nesimetrice.

Analizându-se posibilitatea extinderii teoriei celor două axe și la mașinile m-fazate nesimetrice, în /34/ sînt precizate două categorii de condiții restrictive și anume:

1. Condiția ca solenția curenților  $i_{0v}$  să fie nulă în orice punct de la periferia indusului (rel.4 din /34/):

$$\sum_{v=1}^m \xi_v = 2 ; \quad \sum_{v=1}^m \xi_v \sin 2\theta_v = 0 \quad \text{și} \quad \sum_{v=1}^m \xi_v \cos 2\theta_v = 0$$

2. Condiția ca toate mărimile mașinii să poată fi descompuse pentru fiecare înfășurare de fază (rel.18 din /34/):

$$\frac{\xi_{\lambda} R_{\lambda}}{w_{\lambda}^2} = \frac{\xi_{\nu} R_{\nu}}{w_{\nu}^2} ; \quad \frac{\xi_{\lambda} l_{\lambda v}}{w_{\lambda}^2} = \frac{\xi_{\nu} l_{\nu v}}{w_{\nu}^2} \quad \lambda, \nu \in \overline{1, m}$$

Impunînd condițiile 1 și 2 și mașinii trifazate nesimetrice "model intuitiv" din fig.2.10 (cu  $m = 3$ ,  $\theta_A = 0$ ,  $\theta_B = \theta$  și  $\theta_C = \delta$ ) obținem:

$$\begin{aligned} \xi_A + \xi_B + \xi_C &= 2 \\ \xi_B \sin 2\theta + \xi_C \sin 2\delta &= 0 \\ \xi_A + \xi_B \cos 2\theta + \xi_C \cos 2\delta &= 0 \end{aligned} \quad (2.56)$$

respectiv:

$$\frac{\xi_A R_A}{w_{efA}^2} = \frac{\xi_B R_B}{w_{efB}^2} = \frac{\xi_C R_C}{w_{efC}^2} ; \quad \frac{\xi_A l_{Av}}{w_{efA}^2} = \frac{\xi_B l_{Bv}}{w_{efB}^2} = \frac{\xi_C l_{Cv}}{w_{efC}^2} \quad (2.57)$$

Pentru  $\theta \neq 0$ ,  $\delta \neq 0$  și  $\delta \neq \theta$  sistemul (2.56) este compatibil, unic de-

terminat. Soluția lui este:

$$\xi_A = \frac{\cos(\delta - \theta)}{\sin\theta \cdot \sin\delta}; \quad \xi_B = \frac{\cos\delta}{\sin\theta \cdot \sin(\theta - \delta)}; \quad \xi_C = \frac{\cos\theta}{\sin\delta \cdot \sin(\delta - \theta)} \quad (2.58)$$

Inlocuind expresiile (2.58) în (2.57) vom stabili o serie de relații între parametri mașinii trifazate nesimetrice "model intuitiv":

$$R_B = \frac{\sin^2(\theta - \delta)}{\sin^2\delta} \cdot k_B^2 R_A; \quad l_{BV} = \frac{\sin^2(\theta - \delta)}{\sin^2\delta} k_B^2 l_{AV} \text{ cu } k_B = \frac{w_B k_{qB} k_{yB}}{w_A k_{qA} k_{yA}} \quad (2.59)$$

$$R_C = \frac{\sin^2(\delta - \theta)}{\sin^2\theta} \cdot k_C^2 R_A; \quad l_{CV} = \frac{\sin^2(\delta - \theta)}{\sin^2\theta} k_C^2 l_{AV} \text{ cu } k_C = \frac{w_C k_{qC} k_{yC}}{w_A k_{qA} k_{yA}}$$

Pentru stabilirea unghiului  $\delta$  vom impune o condiție suplimentară:

3. La întreruperea sau nealimentarea înfășurării statorice C, mașina trifazată nesimetrică "model intuitiv" să devină identică cu mașina bifazată general nesimetrică pe stator pentru orice valori ale unghiului  $\theta$ , respectiv ale raportului de transformare  $k_B$ . Prin urmare,  $R_B$  și  $l_{BV}$  (2.59a) trebuie să fie independenți de mărimea unghiului  $\delta$  (prin care se fixează faza C).

Deci:  $\sin^2(\theta - \delta) = \sin^2\delta \quad (2.60)$

adică:  $\delta = \frac{1}{2}(\theta + n\pi); \quad n \in \mathbb{Z} \quad (2.61)$

Din mulțimea soluțiilor (2.61) reținem numai valoarea:

$$\delta = \frac{1}{2}\theta + \pi \quad (2.62)$$

obținută pentru  $n = 2$ . Aceasta asigură dispunerea simetrică a înfășurării C în raport cu celelalte două înfășurări statorice de fază ale mașinii trifazate "model intuitiv" rezultând totodată și o structură ușor controlabilă pentru cazurile uzuale de simetrie unghiulară ( $\theta = 90^\circ$  și respectiv  $120^\circ$  el.).

Orice mașină trifazată nesimetrică care îndeplinește condițiile 1., 2. și 3. va fi denumită "model matematic".

Pe baza elementelor precizate pînă acum, în fig.2.11 s-a reprezentat mașina trifazată nesimetrică "model matematic".

În plus, față de specificațiile intuitive de pînă acum, rotorul (simetric, în colivie) este reprezentat printr-o înfășurare bifazată, simetrică, x-y în scurtcircuit.

Sensul de rotație al rotorului este cel orar (unghiul  $\gamma$  indică poziția momentană a lui) iar sensurile pozitive ale curenților și tensiunilor corespund regulii dipolului receptor.

Pentru mașina trifazată nesimetrică "model matematic" din fig.2.11 parametri precizați de (2.58) și (2.59) devin:

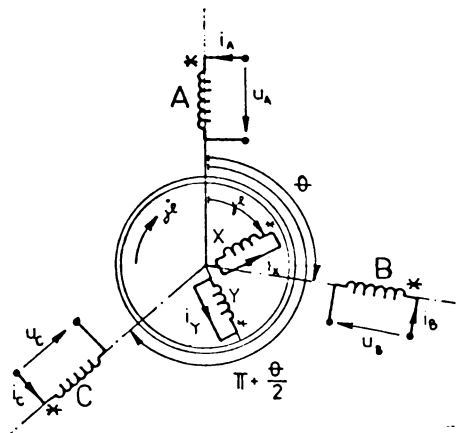


Fig.2.11 Mașina trifazată nesimetrică "model matematic".

$$\xi_A = \frac{1}{2\sin^2\frac{1}{2}\theta} ; \quad \xi_B = \frac{1}{2\sin^2\frac{1}{2}\theta} ; \quad \xi_C = \frac{\cos(\pi-\theta)}{\sin^2\frac{1}{2}\theta} \quad (2.63)$$

și respectiv:

$$\begin{aligned} R_B &= k_B^2 R_A & ; & & l_{Bv} &= k_B^2 l_{Av} \\ R_C &= \frac{1}{2\cos(\pi-\theta)} k_C^2 R_A & ; & & l_{Cv} &= \frac{1}{2\cos(\pi-\theta)} k_C^2 l_{Av} \end{aligned} \quad (2.64)$$

În ipoteza distribuției sinusoidale a înfășurărilor mașinii trifazate nesimetrice "model matematic" avem de asemenea:

$$\begin{aligned} L_A &= l_{Av} + L_{AAv} + L_{Ah} & L_B &= l_{Bv} + k_B^2 (L_{AAv} + L_{Ah}) & L_C &= l_{Cv} + k_C^2 (L_{AAv} + L_{Ah}) \\ L_{AB} &= k_B (L_{AAv} + L_{Ah}) \cos\theta & L_{BC} &= k_B k_C (L_{AAv} + L_{Ah}) \cos(\pi - \frac{1}{2}\theta) & L_{CA} &= k_C (L_{AAv} + L_{Ah}) \cos(\pi + \frac{1}{2}\theta) \\ L_{Ax} &= L_{Ah} \cos\gamma & L_{Bx} &= k_B L_{Ah} \cos(\gamma - \theta) & L_{Cx} &= k_C L_{Ah} \cos[\gamma - (\pi + \frac{1}{2}\theta)] \\ L_{Ay} &= -L_{Ah} \sin\gamma & L_{By} &= -k_B L_{Ah} \sin(\gamma - \theta) & L_{Cy} &= -k_C L_{Ah} \sin[\gamma - (\pi + \frac{1}{2}\theta)] \\ L_x &= L_y = L_r = L_{2v} + L_{Ah} & & & & \end{aligned} \quad (2.65)$$

Cu aceste elemente suplimentare, ecuațiile mașinii trifazate nesimetrice "model matematic" (în coordonate de fază) pot fi scrise sub forma:

$$\begin{aligned} \|u_f\| &= \|R_f\| \cdot \|i_f\| + \frac{d}{dt} \|L_f\| \cdot \|i_f\| \\ \frac{J \cdot d^2\gamma}{p \cdot dt^2} &= m - m_f - m_s \\ m &= p \left( \frac{\partial W_m}{\partial \gamma} \right)_{i=ct.} \\ W_m &= 0,5 \|i_f\|^T \|L_f\| \|i_f\| \end{aligned} \quad (2.66)$$

în care:  $\|u_f\| = \|u_A, u_B, u_C, 0, 0\|^T$ ;  $\|i_f\| = \|i_A, i_B, i_C, i_x, i_y\|^T$ ;  $\|L_f\|$  este matricea pătrată a inductanțelor,  $\|R_f\| = \text{diag}(R_A, R_B, R_C, R_2, R_2)$ ;  $p$  și  $J$  reprezintă numărul perechilor de poli, respectiv momentul axial total de rotație;  $m$ ,  $m_f$  și  $m_s$  sînt momentele: electromagnetice, corespunzătoare frecărilor și static;  $W_m$  - energia magnetică.

Sub forma (2.66), ecuațiile mașinii trifazate "model matematic" sînt practic inoperante la analiza regimurilor dezechilibrate. Aceasta este rațiunea transferării lor în spațiul coordonatelor simetrice +, -, 0.

Pentru obținerea ecuațiilor mașinii trifazate nesimetrice (cît și a relațiilor de transformare) în coordonate +, -, 0 vom stabili mai întîi transformarea A, B, C - d, q, 0.

### 2.3.2 Transformarea A, B, C - d, q, 0.

Datorită structurii nesimetrice a mașinii trifazate "model matematic", transformarea A, B, C, - d, q, 0 va fi efectuată pe baza adoptării unui model energetic de mașină echivalentă (v. fig. 2.12) întocmai ca în /33/ și /34/. Acesta se caracterizează prin:

1. Două înfășurări statorice  $d_s$  și  $q_s$ , repartizate sinusoidal, cu

$w_{eFA}$  spire fiecare, înfășurări înlănțuite cu câmpul magnetic principal;

ii. Două înfășurări rotorice fixe dr și qr, repartizate sinusoidal, cu  $w_{eFA}$  spire fiecare și înlănțuite cu câmpul magnetic principal;

iii. Trei înfășurări statorice fixe A,B,C, identice cu cele ale "modelului matematic" dar necuplate magnetic nici între ele și nici cu celelalte înfășurări. Ele nu produc câmp magnetic în întrefier.

(Echivalența dintre cele două mașini se consideră în sensul precizat de /33/ și /34/.)

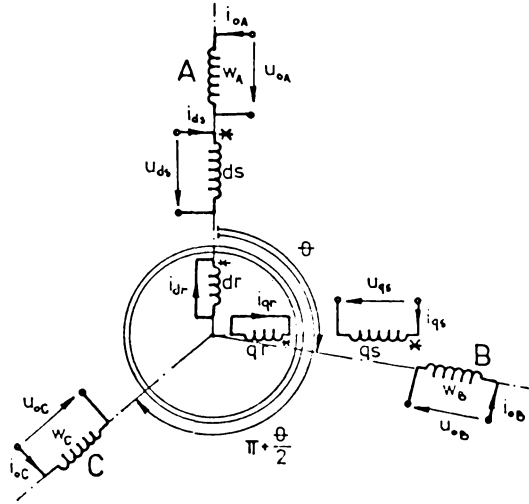


Fig.2.12 Mașina echivalentă energetic corespunzătoare transformării d,q,0.

În plus, convenim să introducem coordonatele d,q,0 generalizate, (mărimi marcate cu "'") pe baza următoarelor relații de definiție:

$$\begin{aligned}
 i'_{ds} &= c_{ds} \cdot i_{ds}; & i'_{qs} &= c_{qs} \cdot i_{qs}; & i'_{0A} &= c_{0A} \cdot i_{0A}; & i'_{0B} &= c_{0B} \cdot i_{0B}; & i'_{0C} &= c_{0C} \cdot i_{0C} \\
 i'_{dr} &= c_{dr} \cdot i_{dr}; & i'_{qr} &= c_{qr} \cdot i_{qr} \\
 u'_{ds} &= t_{ds} \cdot u_{ds}; & u'_{qs} &= t_{qs} \cdot u_{qs}; & u'_{0A} &= t_{0A} \cdot u_{0A}; & u'_{0B} &= t_{0B} \cdot u_{0B}; & u'_{0C} &= t_{0C} \cdot u_{0C} \quad (2.67) \\
 \Psi'_{ds} &= f_{ds} \cdot \Psi_{ds}; & \Psi'_{qs} &= f_{qs} \cdot \Psi_{qs}; & \Psi'_{0A} &= f_{0A} \cdot \Psi_{0A}; & \Psi'_{0B} &= f_{0B} \cdot \Psi_{0B}; & \Psi'_{0C} &= f_{0C} \cdot \Psi_{0C} \\
 \Psi'_{dr} &= f_{dr} \cdot \Psi_{dr}; & \Psi'_{qr} &= f_{qr} \cdot \Psi_{qr}
 \end{aligned}$$

în care prin c, t și f s-au desemnat factorii de scară, nenuli, pentru curenții, tensiunile și fluxurile corespunzătoare tuturor înfășurărilor mașinii echivalente energetic din fig.2.12.

Prin introducerea coordonatelor generalizate d,q,0, pe de o parte se pierde sensul fizic al transformării respective, dar pe de altă parte devine posibilă stabilirea unitară a celor trei forme cunoscute ale transformării d,q,0: normală sau fizică /33/,/34/; normată /23/,/24/,/71/,/98/,/100/,/122/,/154/,/182/ și naturală /25/,/28/,/38/,/39/,/40/,/41/,/68/,/76/,/121/,/124/,/125/,/155/,/181/etc.

În general se constată posibilitatea stabilirii unei infinități de forme ale transformării dq0. Dintre acestea numai cele menționate mai sus au căpătat răspundere practică.

În plus, a devenit de prisos căutarea de modele și justificări intuitive /2/,/38/,/40/,/101/,/183/,/185/,/197/,/199/ pentru diferitele forme particulare ale transformării dq0.

Din considerente de simetrie (dar și pentru simplificarea calculelor), fără a reduce din generalitatea ecuațiilor, în continuare vom adopta:

$$\begin{aligned} c_{ds} &= c_{qs} = c_s; & c_{dr} &= c_{qr} = c_r \\ t_{ds} &= t_{qs} = t_s; & t_{dr} &= t_{qr} = t_r \\ f_{ds} &= f_{qs} = f_s; & f_{dr} &= f_{qr} = f_r \end{aligned} \quad (2.68)$$

### 2.3.2.1 Ecuatiile de transformare a mărimilor statorice.

Ecuatiile de transformare a curenților se stabilesc pe baza condițiilor de invarianță a câmpurilor magnetice din întrefierurile egale ale celor două mașini.

În coordonate generalizate se obțin următoarele ecuații:

$$\begin{aligned} i'_{ds} &= c_s [i_A + k_B i_B \cos \theta + k_C i_C \cos(\pi + \frac{1}{2}\theta)] \\ i'_{qs} &= c_s [k_B i_B \sin \theta + k_C i_C \sin(\pi + \frac{1}{2}\theta)] \\ i'_{oA} &= c_o \cdot \frac{1}{2 \sin^2 \frac{1}{2}\theta} \cdot [i_A \cos(\pi - \theta) + k_B i_B \cos(\pi - \theta) + k_C i_C \cos \frac{1}{2}\theta] \\ i'_{oB} &= c_o \cdot \frac{1}{2 \sin^2 \frac{1}{2}\theta} \cdot \frac{1}{k_B} [i_A \cos(\pi - \theta) + k_B i_B \cos(\pi - \theta) + k_C i_C \cos \frac{1}{2}\theta] \\ i'_{oC} &= c_o \cdot \frac{2 \cos \frac{1}{2}\theta}{2 \sin^2 \frac{1}{2}\theta} \cdot \frac{1}{k_C} [i_A \cos(\pi - \theta) + k_B i_B \cos(\pi - \theta) + k_C i_C \cos \frac{1}{2}\theta] \end{aligned} \quad (2.69)$$

și respectiv:

$$\begin{aligned} i_A &= \frac{1}{c_s} \cdot \frac{1}{2 \sin^2 \frac{1}{2}\theta} \cdot i'_{ds} + \frac{1}{c_o} i'_{oA} \\ i_B &= \frac{1}{k_B} \cdot \frac{1}{c_s} \cdot \frac{1}{2 \sin^2 \frac{1}{2}\theta} \cdot [i'_{ds} \cos \theta + i'_{qs} \sin \theta] + \frac{1}{c_o} i'_{oB} \\ i_C &= \frac{1}{k_C} \cdot \frac{1}{c_s} \cdot \frac{2 \cos(\pi - \theta)}{2 \sin^2 \frac{1}{2}\theta} [i'_{ds} \cos(\pi + \frac{1}{2}\theta) + i'_{qs} \sin(\pi + \frac{1}{2}\theta)] + \frac{1}{c_o} i'_{oC} \end{aligned} \quad (2.70)$$

Ecuatiile de transformare a tensiunilor se obțin din condiția de conservare a puterilor instantanee la borne. În coordonate generalizate, condiția este:

$$\sum_{v=A,B,C} u_v i_v = \frac{1}{t_s} \cdot \frac{1}{c_s} (u'_{ds} i'_{ds} + u'_{qs} i'_{qs}) + \frac{1}{t_o} \cdot \frac{1}{c_o} \cdot \sum_{v=A,B,C} u'_{ov} i'_{ov} \quad (2.71)$$

iar ecuațiile de transformare obținute sînt:

$$\begin{aligned} u'_{ds} &= t_s \cdot \frac{1}{2 \sin^2 \frac{1}{2}\theta} \cdot [u_A + \frac{1}{k_B} u_B \cos \theta + \frac{1}{k_C} u_C 2 \cos(\pi - \theta) \cdot \cos(\pi + \frac{1}{2}\theta)] \\ u'_{qs} &= t_s \cdot \frac{1}{2 \sin^2 \frac{1}{2}\theta} \cdot [\frac{1}{k_B} u_B \sin \theta + \frac{1}{k_C} u_C 2 \cos(\pi - \theta) \cdot \sin(\pi + \frac{1}{2}\theta)] \\ u'_{oA} &= t_o \cdot \frac{\cos(\pi - \theta)}{2 \sin^2 \frac{1}{2}\theta} \cdot (u_A + \frac{1}{k_B} u_B + \frac{1}{k_C} u_C \cdot 2 \cos \frac{1}{2}\theta) \\ u'_{oB} &= t_o \cdot \frac{\cos(\pi - \theta)}{2 \sin^2 \frac{1}{2}\theta} k_B (u_A + \frac{1}{k_B} u_B + \frac{1}{k_C} u_C \cdot 2 \cos \frac{1}{2}\theta) \end{aligned} \quad (2.72)$$

$$u'_{oC} = t_o \cdot \frac{\cos \frac{1}{2}\theta}{2\sin^2 \frac{1}{2}\theta} k_C (u_A + \frac{1}{k_B} u_B + \frac{1}{k_C} u_C \cdot 2\cos \frac{1}{2}\theta)$$

și respectiv:

$$\begin{aligned} u'_A &= \frac{1}{t_s} \cdot u'_{ds} && + \frac{1}{t_o} u'_{oA} \\ u'_B &= k_B \frac{1}{t_s} (u'_{ds} \cos \theta + u'_{qs} \sin \theta) && + \frac{1}{t_o} u'_{oB} \\ u'_C &= k_C \frac{1}{t_s} [u'_{ds} \cos(\pi + \frac{1}{2}\theta) + u'_{qs} \sin(\pi + \frac{1}{2}\theta)] && + \frac{1}{t_o} u'_{oC} \end{aligned} \quad (2.73)$$

Ecuatiile de transformare a fluxurilor se obțin din condiția de conservare a energiei magnetice. Intrucît -în coordonate generalizate- condiția este formal identică cu relația (2.71), ecuațiile de transformare sînt:

$$\begin{aligned} \Psi'_{ds} &= f_s \cdot \frac{1}{2\sin^2 \frac{1}{2}\theta} [\Psi_A + \frac{1}{k_B} \Psi_B \cos \theta + \frac{1}{k_C} \Psi_C \cdot 2\cos(\pi - \theta) \cdot \cos(\pi + \frac{1}{2}\theta)] \\ \Psi'_{qs} &= f_s \cdot \frac{1}{2\sin^2 \frac{1}{2}\theta} [\frac{1}{k_B} \Psi_B \sin \theta + \frac{1}{k_C} \Psi_C \cdot 2\cos(\pi - \theta) \cdot \sin(\pi + \frac{1}{2}\theta)] \\ \Psi'_{oA} &= f_o \cdot \frac{\cos(\pi - \theta)}{2\sin^2 \frac{1}{2}\theta} \cdot (\Psi_A + \frac{1}{k_B} \Psi_B + \frac{1}{k_C} \Psi_C \cdot 2\cos \frac{1}{2}\theta) \\ \Psi'_{oB} &= f_o \cdot \frac{\cos(\pi - \theta)}{2\sin^2 \frac{1}{2}\theta} k_B (\Psi_A + \frac{1}{k_B} \Psi_B + \frac{1}{k_C} \Psi_C \cdot 2\cos \frac{1}{2}\theta) \\ \Psi'_{oC} &= f_o \cdot \frac{\cos \frac{1}{2}\theta}{2\sin^2 \frac{1}{2}\theta} k_C (\Psi_A + \frac{1}{k_B} \Psi_B + \frac{1}{k_C} \Psi_C \cdot 2\cos \frac{1}{2}\theta) \end{aligned} \quad (2.74)$$

și respectiv:

$$\begin{aligned} \Psi'_A &= \frac{1}{f_s} \cdot \Psi'_{ds} && + \frac{1}{f_o} \Psi'_{oA} \\ \Psi'_B &= k_B \frac{1}{f_s} (\Psi'_{ds} \cos \theta + \Psi'_{qs} \sin \theta) && + \frac{1}{f_o} \Psi'_{oB} \\ \Psi'_C &= k_C \frac{1}{f_s} [\Psi'_{ds} \cos(\pi + \frac{1}{2}\theta) + \Psi'_{qs} \sin(\pi + \frac{1}{2}\theta)] && + \frac{1}{f_o} \Psi'_{oC} \end{aligned} \quad (2.75)$$

Ecuatiile dintre tensiunile și curenții statorici generalizați ai mașinii echivalente energetic se deduc din ecuațiile "modelului matematic". Din condiția de invarianță a acestora în raport cu unghiul  $\theta$ , rezultă:

$$\begin{aligned} u'_{ds} &= \frac{t_s}{c_s} \frac{1}{2\sin^2 \frac{1}{2}\theta} R_A i'_{ds} + \frac{t_s}{f_s} \frac{d\Psi'_{ds}}{dt} \\ u'_{qs} &= \frac{t_s}{c_s} \frac{1}{2\sin^2 \frac{1}{2}\theta} R_A i'_{qs} + \frac{t_s}{f_s} \frac{d\Psi'_{qs}}{dt} \\ u'_{oA} &= \frac{t_o}{c_o} R_A i'_{oA} + \frac{t_o}{f_o} \frac{d\Psi'_{oA}}{dt} \\ u'_{oB} &= \frac{t_o}{c_o} R_B i'_{oB} + \frac{t_o}{f_o} \frac{d\Psi'_{oB}}{dt} \\ u'_{oC} &= \frac{t_o}{c_o} R_C i'_{oC} + \frac{t_o}{f_o} \frac{d\Psi'_{oC}}{dt} \end{aligned} \quad (2.76)$$



Cu notațiile:

$$R'_s = \frac{t_s}{c_s} \cdot \frac{1}{2 \sin^2 \frac{\gamma}{2}} \cdot R_A \text{ și } R'_{O\gamma} = \frac{t_o}{c_o} \cdot R_\gamma \quad \gamma = A, B, C \quad (2.77)$$

sistemul (2.76) poate fi pus sub forma canonică:

$$\begin{aligned} u'_{ds} &= R'_s i'_{ds} + \frac{d}{dt} \Psi'_{ds} \\ u'_{qs} &= R'_s i'_{qs} + \frac{d}{dt} \Psi'_{qs} \\ u'_{O\gamma} &= R'_{O\gamma} i'_{O\gamma} + \frac{d}{dt} \Psi'_{O\gamma} \quad ; \quad \gamma = A, B, C \end{aligned} \quad (2.78)$$

dacă și numai dacă este admisă următoarea egalitate:

$$t_s = f_s \quad \& \quad t_o = f_o \quad (2.79)$$

### 2.3.2.2 Ecuatiile de transformare a mărimilor rotorice.

Intrucît rotorul motorului "model matematic" s-a presupus bifazat simetric, în cadrul aceluiași condiții de conservare energetică se obțin ecuațiile unei banale transformări de rotație, de unghi  $-\gamma$ . În coordonate generalizate, ecuațiile de transformare sînt:

$$i'_{dr} = c_r (i_x \cos \gamma - i_y \sin \gamma) \quad i_x = \frac{1}{c_r} (i'_{dr} \cos \gamma + i'_{qr} \sin \gamma) \quad (2.80)$$

$$i'_{qr} = c_r (i_x \sin \gamma + i_y \cos \gamma) \quad i_y = \frac{1}{c_r} (-i'_{dr} \sin \gamma + i'_{qr} \cos \gamma)$$

$$u'_{dr} = t_r (u_x \cos \gamma - u_y \sin \gamma) \quad u_x = \frac{1}{t_r} (u'_{dr} \cos \gamma + u'_{qr} \sin \gamma) \quad (2.81)$$

$$u'_{qr} = t_r (u_x \sin \gamma + u_y \cos \gamma) \quad u_y = \frac{1}{t_r} (-u'_{dr} \sin \gamma + u'_{qr} \cos \gamma)$$

$$\Psi'_{dr} = f_r (\Psi_x \cos \gamma - \Psi_y \sin \gamma) \quad \Psi_x = \frac{1}{f_r} (\Psi'_{dr} \cos \gamma + \Psi'_{qr} \sin \gamma) \quad (2.82)$$

$$\Psi'_{qr} = f_r (\Psi_x \sin \gamma + \Psi_y \cos \gamma) \quad \Psi_y = \frac{1}{f_r} (-\Psi'_{dr} \sin \gamma + \Psi'_{qr} \cos \gamma)$$

Ecuatiile dintre tensiunile și curenții rotorici ai mașinii echivalente energetic se deduc din ecuațiile "modelului matematic". În coordonate generalizate rezultă:

$$0 = R'_r i'_{dr} + \frac{d}{dt} \Psi'_{dr} + \Psi'_{qr} \frac{d\gamma}{dt} \quad (2.83)$$

$$0 = R'_r i'_{qr} + \frac{d}{dt} \Psi'_{qr} - \Psi'_{dr} \frac{d\gamma}{dt}$$

în care: 
$$R'_r = \frac{f_r}{c_r} \cdot R_2 \quad (2.84)$$

### 2.3.2.3 Fluxurile mașinii echivalente.

Pentru mașina trifazată nesimetrică "model matematic", fluxul magnetic resultant al oricărei înfășurări de fază  $j$  ( $j = A, B, C, x, y$ ) se determină cu:

$$\Psi_j = L_j i_j + \sum_{k \neq j} L_{jk} i_k \quad (2.85)$$

Utilizînd ecuațiile de transformare a fluxurilor statorice (2.74) și

rotorice (2.82) în care se înlocuiesc fluxurile înfășurărilor de fază cu (2.85) și totodată expresiile inductivităților  $L_{jk}$  din (2.65) obținem (după o serie de calcule intermediare) următoarele relații - în coordonate generalizate - pentru fluxurile mașinii echivalente :

$$\begin{aligned} \Psi'_{ds} &= \frac{f}{c} \frac{1}{2\sin^2\frac{\theta}{2}} \left[ l_{Av} + 2\sin^2\frac{\theta}{2} \cdot (L_{AAv} + L_{Ah}) \right] \cdot i'_{ds} + \frac{f}{c} L_{Ah} i'_{dr} \\ \Psi'_{qs} &= \frac{f}{c} \frac{1}{2\sin^2\frac{\theta}{2}} \left[ l_{Av} + 2\sin^2\frac{\theta}{2} \cdot (L_{AAv} + L_{Ah}) \right] \cdot i'_{qs} + \frac{f}{c} L_{Ah} i'_{qr} \\ \Psi'_{dr} &= \frac{f}{c} L_{Ah} i'_{ds} + \frac{f}{c} (L_{2v} + L_{Ah}) i'_{dr} \\ \Psi'_{qr} &= \frac{f}{c} L_{Ah} i'_{qs} + \frac{f}{c} (L_{2v} + L_{Ah}) i'_{qr} \\ \Psi'_{oA} &= \frac{f_o}{c_o} l_{Av} i'_{oA} ; \quad \Psi'_{oB} = \frac{f_o}{c_o} l_{Bv} i'_{oB} ; \quad \Psi'_{oC} = \frac{f_o}{c_o} l_{Cv} i'_{oC} \end{aligned} \quad (2.86)$$

A fost posibilă această formulare canonică a fluxurilor dacă și numai dacă, în prealabil sînt admise egalitățile:

$$c = c_s = c_r \quad \& \quad f = f_s = f_r \quad (2.87)$$

#### 2.3.2.4 Momentul electromagnetic.

Pentru deducerea expresiei momentului electromagnetic vom apela la teorema forțelor generalizate în câmp magnetic:

$$m = p \left( \frac{\partial W_m}{\partial \delta} \right) \quad i = ct. \quad (2.88)$$

în care energia magnetică  $W_m$  (în coordonate  $d, q, 0$  generalizate) este:

$$W_m = \frac{1}{2} \left[ \frac{1}{c} (i'_{ds} \Psi'_{ds} + i'_{qs} \Psi'_{qs}) + \frac{1}{c_o f_o} \sum_{v=A,B,C} i'_{ov} \Psi'_{ov} + \frac{1}{c} (i'_{dr} \Psi'_{dr} + i'_{qr} \Psi'_{qr}) \right] \quad (2.89)$$

Efectuînd derivata energiei magnetice (2.89) și ținînd cont că:

$$\begin{aligned} \frac{\partial i'_{dr}}{\partial \delta} &= -i'_{qr} ; \quad \frac{\partial i'_{qr}}{\partial \delta} = i'_{dr} ; \quad \frac{\partial \Psi'_{ds}}{\partial \delta} = -\frac{f}{c} L_{Ah} i'_{qr} \\ \frac{\partial \Psi'_{qs}}{\partial \delta} &= \frac{f}{c} L_{Ah} i'_{dr} ; \quad \frac{\partial \Psi'_{dr}}{\partial \delta} = -\frac{f}{c} (L_{2v} + L_{Ah}) i'_{qr} ; \quad \frac{\partial \Psi'_{qr}}{\partial \delta} = \frac{f}{c} (L_{2v} + L_{Ah}) i'_{dr} \end{aligned} \quad (2.90)$$

expresia momentului electromagnetic poate fi scrisă sub una din următoarele forme echivalente:

$$m = \frac{1}{c} \cdot p \cdot L_{Ah} (i'_{dr} i'_{qs} - i'_{ds} i'_{qr}) \quad (2.91)$$

$$m = \frac{1}{c} \cdot \frac{1}{f} \cdot p (\Psi'_{ds} i'_{qs} - \Psi'_{qs} i'_{ds}) \quad (2.92)$$

$$m = \frac{1}{c} \cdot \frac{1}{f} \cdot p (\Psi'_{qr} i'_{dr} - \Psi'_{dr} i'_{qr})$$

utilizabile, după caz, în soluționarea problemelor de regim tranzitoriu.

### 2.3.2.5 Ecuatiile electromecanice in coordonate dq0 generalizate.

Ansamblul ecuatiilor de tensiuni și fluxuri:

$$\begin{aligned}
 u'_{ds} &= R'_s i'_{ds} + \frac{d}{dt} \Psi'_{ds} & \Psi'_{ds} &= L'_{ds} i'_{ds} + L'_{dsdr} i'_{dr} \\
 u'_{qs} &= R'_s i'_{qs} + \frac{d}{dt} \Psi'_{qs} & \Psi'_{qs} &= L'_{qs} i'_{qs} + L'_{qsqr} i'_{qr} \\
 u'_{ov} &= R'_{ov} i'_{ov} + \frac{d}{dt} \Psi'_{ov} & \Psi'_{ov} &= L'_{ov} i'_{ov} \\
 0 &= R'_r i'_{dr} + \frac{d}{dt} \Psi'_{dr} + \Psi'_{qr} \frac{d\gamma}{dt} & \Psi'_{dr} &= L'_{drds} i'_{ds} + L'_{dr} i'_{dr} \\
 0 &= R'_r i'_{qr} + \frac{d}{dt} \Psi'_{qr} - \Psi'_{dr} \frac{d\gamma}{dt} & \Psi'_{qr} &= L'_{qrqs} i'_{qs} + L'_{qr} i'_{qr}
 \end{aligned} \tag{2.93}$$

completat cu ecuația de mișcare a rotorului:

$$\frac{1}{c} \frac{1}{f} p (\Psi'_{ds} i'_{qs} - \Psi'_{qs} i'_{ds}) - m_f - m_s = \frac{J}{p} \frac{d^2 \gamma}{dt^2} \tag{2.94}$$

reprezintă ecuațiile electromecanice, în coordonate dq0 -generalizate, ale mașinii trifazate nesimetrice "model matematic".

La scrierea sistemului de ecuații de mai sus s-au introdus următoarele notații suplimentare:

$$L'_{ds} = L'_{qs} = \frac{f}{c} \frac{1}{2 \sin^2 \frac{1}{2} \theta} \left[ 1_{Av} + 2 \sin^2 \frac{1}{2} \theta \cdot (L_{AAr} + L_{Ah}) \right]$$

$$L'_{dsdr} = L'_{qsqr} = L'_{drds} = L'_{qrqs} = \frac{f}{c} \cdot L_{Ah}$$

$$L'_{dr} = L'_{qr} = \frac{f}{c} (L_{2v} + L_{Ah})$$

$$m_f = \frac{f m}{p} \frac{d\gamma}{dt} \text{ pentru momentul corespunzător frecărilor; }$$

$$m_s \text{ pentru momentul de sarcină (rezistent); }$$

$$J \text{ pentru momentul total de inerție redus la axul mașinii. }$$

### 2.3.2.6 Determinarea factorilor de scară.

În funcție de valorile numerice date factorilor de scară  $c$ ,  $t = f$ ,  $t_0 = f_0$ , în teoria modernă a mașinilor electrice se disting trei forme ale transformării dq0. Acestea sînt echivalente între ele, avînd în plus -conform demonstrației care urmează- și aceeași fundamentare din punct de vedere fizic. Cele trei forme sînt:

- i. Transformarea dq0 normală;
- ii. Transformarea dq0 normată;
- iii. Transformarea dq0 naturală.

1. Forma normală a transformării dq0 se obține dacă în ecuațiile de transformare a tensiunilor, curenților și fluxurilor toți factorii de scară se iau egali cu unitatea:

$$c = t = f = c_0 = t_0 = f_0 = 1 \tag{2.95}$$

În acest caz, mărimile fictive (cu ') se confundă cu mărimile determi-

nate direct din condițiile fizice de echivalență energetică. Pentru mașinile simetrice nu se pretează la tratare matriceală. Este folosită în /33/ și /34/.

2. Forma normată a transformării dq0 este foarte răspândită în special datorită facilităților pe care le prezintă în formulare matriceală. Pentru obținerea transformării normale să observăm mai întâi că mărimile omopolare din ecuațiile (2.69), (2.72) și (2.74) nu sînt independente. Dacă notăm:

$$i'_{0s} = i'_{0A} ; \quad u'_{0s} = u'_{0A} \quad \text{și} \quad \Psi'_{0s} = \Psi'_{0A}$$

atunci:

$$\begin{aligned} i'_{0B} &= \frac{1}{k_B} i'_{0s} & u'_{0B} &= k_B u'_{0s} & \Psi'_{0B} &= k_B \Psi'_{0s} & (2.96) \\ i'_{0C} &= \frac{2\cos\frac{\theta}{2}}{k_C} i'_{0s} & u'_{0C} &= \frac{\cos\frac{\theta}{2}}{\cos(\pi-\theta)} k_C u'_{0s} & \Psi'_{0C} &= \frac{\cos\frac{\theta}{2}}{\cos(\pi-\theta)} k_C \Psi'_{0s} \end{aligned}$$

Avînd în vedere și condițiile (2.64), ansamblul ecuațiilor de tensiuni omopolare din sistemul (2.93) este echivalent cu ecuația:

$$u'_{0s} = R'_{0s} i'_{0s} + \frac{d}{dt} \Psi'_{0s} \quad \text{cu} \quad R'_{0s} = \frac{t_0}{c_0} R_A \quad (2.97)$$

Astfel putem formula matriceal transformarea dq0 -generalizată:

$$\begin{bmatrix} i_A \\ i_B \\ i_C \\ i_x \\ i_y \end{bmatrix}^T = \parallel C_i \parallel \cdot \begin{bmatrix} i'_{ds} & i'_{qs} & i'_{0s} & i'_{dr} & i'_{qr} \end{bmatrix}^T \quad (2.98)$$

$$\begin{bmatrix} u_A \\ u_B \\ u_C \\ u_x \\ u_y \end{bmatrix}^T = \parallel C_u \parallel \cdot \begin{bmatrix} u'_{ds} & u'_{qs} & u'_{0s} & u'_{dr} & u'_{qr} \end{bmatrix}^T \quad (2.99)$$

Impunînd condiția generală de transformare normată /24/, /98/, /122/, /124/, /182/, /200/ etc. a rezultat:

$$\parallel C_i \parallel^{-1} = \parallel C_u \parallel^T \quad (2.100)$$

obținîndu-se în final:

$$\begin{aligned} c &= \frac{1}{\sqrt{2} \cdot \sin\frac{\theta}{2}} & t &= f = \sqrt{2} \cdot \sin\frac{\theta}{2} \\ c_0 &= 2 \cdot \sin\frac{\theta}{2} & t_0 &= f_0 = \frac{\sin\frac{\theta}{2}}{\cos(\pi-\theta)} \end{aligned} \quad (2.101)$$

Menționăm că pentru mașinile trifazate simetrice ( $k_B = k_C = 1$  și  $\theta = 120^\circ$ ) factorii precizați de (2.101) devin:  $c = \sqrt{2/3}$ ,  $t = \sqrt{3/2}$ ,  $c_0 = t_0 = \sqrt{3}$ , adică exact coeficienții numerici din ecuațiile transformării dq0 folosite în /23/, /24/, /71/, /98/, /100/, /122/, /154/, /182/, /200/.

3. Forma naturală a transformării dq0 se obține numai dacă coeficienții componentelor d, q și 0 ale curentului, tensiunii și fluxului corespunzător unei înfășurări statorice -numită și înfășurare de referință- se iau egali cu egali cu 1.

Considerînd înfășurarea statorică A drept înfășurare de referință obținem:

$$\begin{aligned} c &= \frac{1}{2\sin\frac{\theta}{2}} & t &= f = 1 \\ c_0 &= 1 & t_0 &= f_0 = 1 \end{aligned} \quad (2.102)$$

Și transformarea dq0 naturală se poate trata matriceal. În cazul mașinilor trifazate simetrice, factorii precizați de (2.102) devin:  $c = 2/3$ ,

$t = f = c_0 = t_0 = f_0 = 1$ , adică exact coeficienții numerici din ecuațiile transformării dq0 utilizate în /25/, /28/, /38/, /39/, /40/, /47/, /68/, /16/, /121/, /125/, /155/, /181/.

În acest stadiu se poate formula -pentru mașina trifazată nesimetrică "model matematic", fig.2.11- transformarea dq0 în cele trei forme precizate mai înainte. Ecuațiile de transformare, scrise atât pentru cazul general de model matematic cât și pentru cazurile particulare: 1. mașină trifazată nesimetrică dar cu  $\theta = 120^\circ$  și 2. mașină bifazată nesimetrică cu  $\theta = 90^\circ$  sînt particularizate în ANEXELE II, III și IV (corespunzător transformărilor dq0 normale, normate și naturale).

Dar o dată cu precizarea factorilor de scară  $c$ ,  $t$ ,  $f$ ,  $c_0$ ,  $t_0$  și  $f_0$  se modifică corespunzător și valorile parametrilor din sistemul de ecuații (2.93). În acest scop s-a întocmit tabelul 2.1 cu valorile parametrilor mașinii echivalente energetic corespunzătoare din punct de vedere matematic celor trei forme de transformări dq0.

### 2.3.3 Transformarea d,q,0 - +,-,0.

În conformitate cu teoria transformărilor de coordonate /25/, /68/, /69/, /98/, /122/, /124/, /182/, /200/ componentele +,-,0 sînt definite cu ajutorul componentelor d,q,0 după cum urmează:

$$\begin{aligned} \underline{x}_+ &= P(\underline{x}'_d + j\underline{x}'_q) & \underline{x}'_d &= \frac{1}{2F}(\underline{x}_+ + \underline{x}_-) \\ \underline{x}_- &= P(\underline{x}'_d - j\underline{x}'_q) & \underline{x}'_q &= \frac{1}{2F}(-j\underline{x}_+ + j\underline{x}_-) \\ \underline{x}_0 &= \underline{x}'_0 & \underline{x}'_0 &= \underline{x}_0 \end{aligned} \quad (2.103)$$

în care:

$$\begin{aligned} F &= \frac{1}{\sqrt{2}} \text{ pentru transformarea +,-,0 normată} \\ F &= \frac{1}{2} \text{ pentru transformarea +,-,0 naturală.} \end{aligned}$$

### 2.3.4 Transformarea A,B,C - +,-,0 generalizată.

Înlocuind expresiile coordonatelor d,q,0 generalizate în relațiile de definiție a componentelor simetrice instantanee (c.s.i.) vom obține pe rînd:

1. Ecuațiile de transformare a curenților:

$$\begin{aligned} \underline{i}_{s+} &= cF \left[ \underline{i}_A + k_B \underline{i}_B e^{j\theta} + k_C \underline{i}_C e^{j(\pi+\frac{1}{2}\theta)} \right] \\ \underline{i}_{s-} &= cF \left[ \underline{i}_A + k_B \underline{i}_B e^{-j\theta} + k_C \underline{i}_C e^{-j(\pi+\frac{1}{2}\theta)} \right] \\ \underline{i}_{s0} &= c_0 \cdot \frac{1}{2\sin^2 \frac{1}{2}\theta} \left[ \underline{i}_A \cos(\pi-\theta) + k_B \underline{i}_B \cos(\pi-\theta) + k_C \underline{i}_C \cos \frac{1}{2}\theta \right] \\ \underline{i}_{r+} &= cF(\underline{i}_x + j\underline{i}_y) e^{j\psi} \\ \underline{i}_{r-} &= cF(\underline{i}_x - j\underline{i}_y) e^{-j\psi} \end{aligned} \quad (2.104)$$

Tab. 2.1  
ECHIVALENTE CORESPUNZATOARE TRANSFORMARIILOR d<sub>90</sub>  
PARAMETRII MAȘINII

PARAMETRUL	EXPRESIE GENERALĂ	TRANSFORMAREA NORMALĂ		TRANSFORMAREA NORMALĂ		TRANSFORMAREA NATURALĂ	
		θ = 0	CAZURI PARTICULARE θ = π/2, φ = 0	θ = 0	CAZURI PARTICULARE θ = π/2, φ = 0	0 = 0	CAZURI PARTICULARE θ = π/2, φ = 0
	c	1	$\frac{1}{\sqrt{2}} \sin \frac{\theta}{2}$	1	$\frac{1}{\sqrt{2}} \sin \frac{\theta}{2}$	$\frac{2}{3}$	$\frac{1}{3}$
	t = f	1	$\frac{1}{\sqrt{2}} \sin \frac{\theta}{2}$	1	$\frac{1}{\sqrt{2}} \sin \frac{\theta}{2}$	1	1
	cos	1	$2 \sin \frac{\theta}{2}$	$\sqrt{2}$	$2 \sin \frac{\theta}{2}$	1	1
	cos = f cos	1	$\frac{\sin \theta/2}{\cos(\pi - \theta)}$	$\sqrt{3}$	$\frac{\sin \theta/2}{\cos(\pi - \theta)}$	1	1
R <sub>s</sub>	$\frac{1}{c} \frac{1}{2 \sin \theta/2} R_A$	$\frac{2}{3} R_A$	R <sub>A</sub>	R <sub>A</sub>	R <sub>A</sub>	R <sub>A</sub>	R <sub>A</sub>
R <sub>cy</sub>	$\frac{\cos \theta}{\cos} R_V$ φ = A, B, C	R <sub>V</sub> φ = A, B, C	$\frac{R_V}{2 \cos(\pi - \theta)}$	R <sub>V</sub> φ = A, B, C	—	R <sub>V</sub> φ = A, B, C	R <sub>V</sub> φ = A, B, C
R <sub>i</sub>	$\frac{f}{c} R_2$	R <sub>2</sub>	$2 \sin \frac{\theta}{2} R_2$	$\frac{3}{2} R_2$	R <sub>2</sub>	$\frac{3}{2} R_2$	R <sub>2</sub>
L <sub>gs</sub> = L <sub>qs</sub>	$\frac{f}{c} \frac{L_{A0} + \frac{1}{c} (L_{A0} + L_{A1})}{2 \sin \theta/2} \cos \theta$	$\frac{2}{3} (L_{A0} + L_{A1})$	$\frac{1}{2} (L_{A0} + L_{A1})$	$\frac{1}{2} (L_{A0} + L_{A1})$	$\frac{1}{2} (L_{A0} + L_{A1})$	$\frac{1}{2} (L_{A0} + L_{A1})$	$\frac{1}{2} (L_{A0} + L_{A1})$
L <sub>dr</sub> = L <sub>qr</sub>	$\frac{f}{c} (L_{A0} + L_{A1})$	L <sub>A0} + L_{A1}</sub>	$2 \sin \frac{\theta}{2} (L_{A0} + L_{A1})$	$\frac{3}{2} (L_{A0} + L_{A1})$	L <sub>A0} + L_{A1}</sub>	$\frac{3}{2} (L_{A0} + L_{A1})$	L <sub>A0} + L_{A1}</sub>
L <sub>ds,dr</sub>	$\frac{f}{c} L_{A1}$	L <sub>A1}</sub>	$2 \sin \frac{\theta}{2} L_{A1}$	$\frac{3}{2} L_{A1}$	L <sub>A1}</sub>	$\frac{3}{2} L_{A1}$	L <sub>A1}</sub>
L <sub>qf</sub>	$\frac{f}{c} \cos \theta$ φ = A, B, C	L <sub>φ} φ = A, B, C</sub>	$\frac{L_{\phi}}{2 \cos(\pi - \theta)}$	L <sub>φ} φ = A, B, C</sub>	—	L <sub>φ} φ = A, B, C</sub>	L <sub>φ} φ = A, B, C</sub>

și respectiv:

$$\begin{aligned}
 i_A &= \frac{1}{2cF} \frac{1}{2\sin^2 \frac{1}{2}\theta} (i_{s+} + i_{s-}) + \frac{1}{c_0} i_{so} \\
 i_B &= \frac{1}{2cF} \frac{1}{2\sin^2 \frac{1}{2}\theta} \frac{1}{k_B} (i_{s+} e^{-j\theta} + i_{s-} e^{j\theta}) + \frac{1}{c_0} \frac{1}{k_B} i_{so} \\
 i_C &= \frac{1}{2cF} \frac{\cos(\pi-\theta)}{\sin^2 \frac{1}{2}\theta} \cdot \frac{1}{k_C} \left[ i_{s+} e^{-j(\pi+\frac{1}{2}\theta)} + i_{s-} e^{j(\pi+\frac{1}{2}\theta)} \right] + \frac{1}{c_0} \frac{1}{k_C} i_{so} 2\cos \frac{1}{2}\theta \\
 i_x &= \frac{1}{2cF} \cdot (i_{r+} e^{-j\delta} + i_{r-} e^{j\delta}) \\
 i_y &= \frac{1}{2cF} \cdot (-j i_{r+} e^{-j\delta} + j i_{r-} e^{j\delta})
 \end{aligned} \tag{2.105}$$

2. Ecuatiile de transformare a tensiunilor.

$$\begin{aligned}
 u_{s+} &= tF \frac{1}{2\sin^2 \frac{1}{2}\theta} \left[ u_A + \frac{1}{k_B} u_B e^{j\theta} + \frac{2\cos(\pi-\theta)}{k_C} u_C e^{j(\pi+\frac{1}{2}\theta)} \right] \\
 u_{s-} &= tF \frac{1}{2\sin^2 \frac{1}{2}\theta} \left[ u_A + \frac{1}{k_B} u_B e^{-j\theta} + \frac{2\cos(\pi-\theta)}{k_C} u_C e^{-j(\pi+\frac{1}{2}\theta)} \right] \\
 u_{so} &= t_0 \frac{\cos(\pi-\theta)}{2\sin^2 \frac{1}{2}\theta} \left[ u_A + \frac{1}{k_B} u_B + \frac{2\cos \frac{1}{2}\theta}{k_C} u_C \right] \\
 u_{r+} &= tF \cdot (u_x + j u_y) e^{j\delta} \\
 u_{r-} &= tF \cdot (u_x - j u_y) e^{-j\delta}
 \end{aligned} \tag{2.106}$$

și respectiv:

$$\begin{aligned}
 u_A &= \frac{1}{2tF} \cdot (u_{s+} + u_{s-}) + \frac{1}{t_0} u_{so} \\
 u_B &= \frac{1}{2tF} \cdot (u_{s+} e^{-j\theta} + u_{s-} e^{j\theta}) k_B + \frac{1}{t_0} k_B u_{so} \\
 u_C &= \frac{1}{2tF} \left[ u_{s+} e^{-j(\pi+\frac{1}{2}\theta)} + u_{s-} e^{j(\pi+\frac{1}{2}\theta)} \right] \cdot k_C + \frac{1}{t_0} \cdot \frac{\cos \frac{1}{2}\theta}{\cos(\pi-\theta)} k_C u_{so} \\
 u_x &= \frac{1}{2tF} (u_{r+} e^{-j\delta} + u_{r-} e^{j\delta}) \\
 u_y &= \frac{1}{2tF} (-j u_{r+} e^{-j\delta} + j u_{r-} e^{j\delta})
 \end{aligned} \tag{2.107}$$

3. Ecuatiile de transformare a fluxurilor. Fluxurile mașinii trifazate nesimetrice "model matematic" pot fi descompuse în c.s.i. și invers după aceeași ecuații ca și tensiunile.

2.3.4.1 Ecuatiile electromecanice în coordonate +,-,0 generalizate.

Considerînd ansamblul ecuațiilor de tensiuni în coordonate dq0 generalizate (2.93) cit și relațiile de definiție a c.s.i. (2.103) și procedînd în mod similar, vom obține ecuațiile electromecanice ale mașinii trifazate nesimetrice "model matematic" în c.s.i. +,-,0. Forma finală a lor este dată

in continuare:

$$\begin{aligned}
 \underline{u}_{s+} &= R_s \underline{i}_{s+} + \frac{d}{dt} \Psi_{-s+} & \Psi_{-s+} &= L_s \underline{i}_{s+} + L_m \underline{i}_{r+} \\
 \underline{u}_{s-} &= R_s \underline{i}_{s-} + \frac{d}{dt} \Psi_{-s-} & \Psi_{-s-} &= L_s \underline{i}_{s-} + L_m \underline{i}_{r-} \\
 \underline{u}_{so} &= R_o \underline{i}_{so} + \frac{d}{dt} \Psi_{-so} & \Psi_{-so} &= L_o \underline{i}_{so} \\
 0 &= R_r \underline{i}_{r+} + \frac{d}{dt} \Psi_{-r+} - j \Psi_{-r+} \cdot \frac{d\theta}{dt} & \Psi_{-r+} &= L_m \underline{i}_{s+} + L_r \underline{i}_{r+} \\
 0 &= R_r \underline{i}_{r-} + \frac{d}{dt} \Psi_{-r-} + j \Psi_{-r-} \cdot \frac{d\theta}{dt} & \Psi_{-r-} &= L_m \underline{i}_{s-} + L_r \underline{i}_{r-}
 \end{aligned} \quad (2.108)$$

La scrierea sistemului (2.108) s-au introdus următoarele notații:

$$\begin{aligned}
 R_s &= \frac{t}{c} \frac{1}{2 \sin^2 \frac{\theta}{2}} \cdot R_A \\
 R_r &= \frac{f}{c} R_2 \\
 R_o &= \frac{t_o}{c_o} R_A ; \quad L_o = \frac{f_o}{c_o} l_{Av} \\
 L_s &= \frac{f}{c} \frac{1}{2 \sin^2 \frac{\theta}{2}} \left[ l_{Av} + 2 \sin^2 \frac{\theta}{2} \cdot (L_{AAv} + L_{Ah}) \right] \\
 L_r &= \frac{f}{c} (L_{2r} + L_{Ah}) ; \quad L_m = \frac{f}{c} L_{Ah}
 \end{aligned} \quad (2.109)$$

Ecuția de mișcare a rotorului este descrisă de (2.94) cu excepția momentului electromagnetic  $m$  care, în c.s.i. se calculează cu una din următoarele expresii:

$$\begin{aligned}
 m &= \frac{1}{c f P^2} \cdot p L_m \cdot \operatorname{Re} \left\{ j \underline{i}_{s-} \cdot \underline{i}_{r+} \right\} \\
 m &= \frac{1}{c f P^2} \cdot p \cdot \operatorname{Re} \left\{ j \Psi_{-s+} \cdot \underline{i}_{s-} \right\} ; \quad m = \frac{1}{c f P^2} \cdot p \cdot \operatorname{Re} \left\{ -j \Psi_{-r+} \cdot \underline{i}_{r-} \right\}
 \end{aligned} \quad (2.110)$$

#### 2.3.4.2 Componentele $+, -, 0$ normate. Ecuțiile mașinii trifazate nesimetrice "model matematic" în c.s.i. normate.

Dacă în ecuațiile generale (2.104), (2.105) . . . (2.110) se înlocuiesc factorii de scară  $c, t, f, c_o, t_o, f_o$  prin valorile:

$$\begin{aligned}
 c &= \frac{1}{\sqrt{2} \sin \frac{\theta}{2}} ; \quad t = f = \sqrt{2} \cdot \sin \frac{\theta}{2} \\
 c_o &= 2 \cdot \sin \frac{\theta}{2} ; \quad t_o = f_o = \frac{\sin \frac{\theta}{2}}{\cos(\pi - \theta)} \quad \text{și } P = \frac{1}{\sqrt{2}}
 \end{aligned} \quad (2.111)$$

se obțin atât c.s.i. cât și ecuațiile "modelului matematic" în c.s.i. normate. În continuare se prezintă, sistematizate, numai rezultatele finale.

#### 1. Ecuțiile de transformare normată a curenților:

$$\begin{aligned}
 \underline{i}_{s+} &= \frac{1}{2 \sin \frac{\theta}{2}} \left[ \underline{i}_A + k_B \underline{i}_B e^{+j\theta} + k_C \underline{i}_C e^{+j(\pi + \frac{\theta}{2})} \right] \\
 \underline{i}_{s-} &= \frac{1}{2 \sin \frac{\theta}{2}} \left[ \underline{i}_A + k_B \underline{i}_B e^{-j\theta} + k_C \underline{i}_C e^{-j(\pi + \frac{\theta}{2})} \right]
 \end{aligned}$$



$$\begin{aligned} i_{s0} &= \frac{1}{2\sin\frac{1}{2}\theta} \left[ i_A 2\cos(\pi-\theta) + k_B i_B 2\cos(\pi-\theta) + k_C i_C 2\cos\frac{1}{2}\theta \right] \\ i_{r+} &= \frac{1}{2\sin\frac{1}{2}\theta} (i_x + j i_y) e^{j\gamma} \\ i_{r-} &= \frac{1}{2\sin\frac{1}{2}\theta} (i_x - j i_y) e^{-j\gamma} \end{aligned} \quad (2.112)$$

și respectiv:

$$\begin{aligned} i_A &= \frac{1}{2\sin\frac{1}{2}\theta} (i_{s+} + i_{s-} + i_{s0}) \\ i_B &= \frac{1}{2\sin\frac{1}{2}\theta} \frac{1}{k_B} (i_{s+} e^{-j\theta} + i_{s-} e^{+j\theta} + i_{s0}) \\ i_C &= \frac{1}{2\sin\frac{1}{2}\theta} \frac{1}{k_C} \left[ 2\cos(\pi-\theta) \left[ i_{s+} e^{-j(\pi+\frac{1}{2}\theta)} + i_{s-} e^{+j(\pi+\frac{1}{2}\theta)} \right] + 2\cos\frac{1}{2}\theta i_{s0} \right] \\ i_x &= \sin\frac{1}{2}\theta (i_{r+} e^{-j\gamma} + i_{r-} e^{j\gamma}) \\ i_y &= \sin\frac{1}{2}\theta (-j i_{r+} e^{-j\gamma} + j i_{r-} e^{j\gamma}) \end{aligned} \quad (2.113)$$

2. Ecuațiile de transformare normalată a tensiunilor:

$$\begin{aligned} u_{s+} &= \frac{1}{2\sin\frac{1}{2}\theta} \left[ u_A + \frac{1}{k_B} u_B e^{+j\theta} + \frac{2\cos(\pi-\theta)}{k_C} u_C e^{+j(\pi+\frac{1}{2}\theta)} \right] \\ u_{s-} &= \frac{1}{2\sin\frac{1}{2}\theta} \left[ u_A + \frac{1}{k_B} u_B e^{-j\theta} + \frac{2\cos(\pi-\theta)}{k_C} u_C e^{-j(\pi+\frac{1}{2}\theta)} \right] \\ u_{s0} &= \frac{1}{2\sin\frac{1}{2}\theta} \left[ u_A + \frac{1}{k_B} u_B + \frac{2\cos\frac{1}{2}\theta}{k_C} u_C \right] \\ u_{r+} &= \sin\frac{1}{2}\theta (u_x + j u_y) e^{j\gamma} \\ u_{r-} &= \sin\frac{1}{2}\theta (u_x - j u_y) e^{-j\gamma} \end{aligned} \quad (2.114)$$

și respectiv:

$$\begin{aligned} u_A &= \frac{1}{2\sin\frac{1}{2}\theta} \left[ u_{s+} + u_{s-} + u_{s0} 2\cos(\pi-\theta) \right] \\ u_B &= \frac{1}{2\sin\frac{1}{2}\theta} k_B \left[ u_{s+} e^{-j\theta} + u_{s-} e^{+j\theta} + u_{s0} 2\cos(\pi-\theta) \right] \\ u_C &= \frac{1}{2\sin\frac{1}{2}\theta} k_C \left[ u_{s+} e^{-j(\pi+\frac{1}{2}\theta)} + u_{s-} e^{+j(\pi+\frac{1}{2}\theta)} + u_{s0} 2\cos\frac{1}{2}\theta \right] \\ u_x &= \frac{1}{2\sin\frac{1}{2}\theta} (u_{r+} e^{-j\gamma} + u_{r-} e^{j\gamma}) \\ u_y &= \frac{1}{2\sin\frac{1}{2}\theta} (-j u_{r+} e^{-j\gamma} + j u_{r-} e^{j\gamma}) \end{aligned} \quad (2.115)$$

Parametrii (2.109) corespunzătorii valorilor (2.111) ale factorilor de scară, devin:

$$\begin{aligned} R_s &= R_A; \quad R_r = 2\sin^2\frac{1}{2}\theta \cdot R_2; \quad R_o = \frac{1}{2\cos(\pi-\theta)} \cdot R_A; \quad L_o = \frac{1}{2\cos(\pi-\theta)} \cdot l_{AV} \\ L_s &= l_{AV} + 2\sin^2\frac{1}{2}\theta \cdot (L_{AAV} + L_{An}); \quad L_r = 2\sin^2\frac{1}{2}\theta \cdot (L_{2r} + L_{Ah}); \quad L_m = 2\sin^2\frac{1}{2}\theta \cdot L_{Ah} \end{aligned} \quad (2.116)$$

Cu aceste precizări, sistemul (2.108) este complet determinat. Forma finală a acestuia este prezentată în continuare.

3. Ecuațiile mașinii trifazate nesimetrice "model matematic" în coordonate +,-,0 normale.

$$\begin{aligned} \underline{u}_{s+} &= \left[ R_A + (1_{Av} + 2\sin^2 \frac{1}{2}\theta \cdot L_{AAv}) \frac{d}{dt} + 2\sin^2 \frac{1}{2}\theta \cdot L_{Ah} \frac{d}{dt} \right] \underline{i}_{s+} + 2\sin^2 \frac{1}{2}\theta \cdot L_{Ah} \frac{d}{dt} \underline{i}_{r+} \\ \underline{u}_{s-} &= \left[ R_A + (1_{Av} + 2\sin^2 \frac{1}{2}\theta \cdot L_{AAv}) \frac{d}{dt} + 2\sin^2 \frac{1}{2}\theta \cdot L_{Ah} \frac{d}{dt} \right] \underline{i}_{s-} + 2\sin^2 \frac{1}{2}\theta \cdot L_{Ah} \frac{d}{dt} \underline{i}_{r-} \\ \underline{u}_{so} &= \frac{1}{2\cos(\pi-\theta)} R_A \underline{i}_{so} + \frac{1}{2\cos(\pi-\theta)} 1_{Av} \frac{d}{dt} \underline{i}_{so} \\ 0 &= \left[ 2\sin^2 \frac{1}{2}\theta \cdot R_2 + (2\sin^2 \frac{1}{2}\theta \cdot L_{2v} + 2\sin^2 \frac{1}{2}\theta \cdot L_{Ah}) \left( \frac{d}{dt} - j \frac{d\psi}{dt} \right) \right] \underline{i}_{r+} + \\ &\quad + 2\sin^2 \frac{1}{2}\theta \cdot L_{Ah} \cdot \left( \frac{d}{dt} - j \frac{d\psi}{dt} \right) \underline{i}_{s+} \\ 0 &= \left[ 2\sin^2 \frac{1}{2}\theta \cdot R_2 + (2\sin^2 \frac{1}{2}\theta \cdot L_{2v} + 2\sin^2 \frac{1}{2}\theta \cdot L_{Ah}) \left( \frac{d}{dt} + j \frac{d\psi}{dt} \right) \right] \underline{i}_{r-} + \\ &\quad + 2\sin^2 \frac{1}{2}\theta \cdot L_{Ah} \cdot \left( \frac{d}{dt} + j \frac{d\psi}{dt} \right) \underline{i}_{s-} \end{aligned} \quad (2.117)$$

4. Momentul electromagnetic în c.s.i. normale.

$$\begin{aligned} m &= 4\sin^2 \frac{1}{2}\theta \cdot p L_{Ah} \cdot \operatorname{Re} \left\{ j \underline{i}_{s-} \cdot \underline{i}_{r+} \right\} \\ m &= 2p \cdot \operatorname{Re} \left\{ j \underline{\Psi}_{s+} \cdot \underline{i}_{s-} \right\} ; \quad m = 2p \cdot \operatorname{Re} \left\{ -j \underline{\Psi}_{r+} \cdot \underline{i}_{r-} \right\} \end{aligned} \quad (2.118)$$

2.3.4.3 Componentele +,-,0 naturale. Ecuațiile mașinii trifazate nesimetrice "model matematic" în c.s.i. naturale.

Dacă în ecuațiile generale (2.104), (2.105), . . . (2.110) se înlocuiesc factorii de scară c,t,f,c<sub>o</sub>,t<sub>o</sub>,f<sub>o</sub> cu valorile:

$$\begin{aligned} c &= \frac{1}{2\sin^2 \frac{1}{2}\theta} ; \quad t = f = 1 \\ c_o &= 1 ; \quad t_o = f_o = 1 \quad \text{și} \quad P = \frac{1}{2} \end{aligned} \quad (2.119)$$

se obțin atât c.s.i. cât și ecuațiile "modelului matematic" în c.s.i. naturale. În continuare se prezintă, sistematizate, numai rezultatele finale:

1. Ecuațiile de transformare naturală a curenților:

$$\begin{aligned} \underline{i}_{s+} &= \frac{1}{4\sin^2 \frac{1}{2}\theta} \left[ \underline{i}_A + k_B \underline{i}_B e^{+j\theta} + k_C \underline{i}_C e^{+j(\pi+\frac{1}{2}\theta)} \right] \\ \underline{i}_{s-} &= \frac{1}{4\sin^2 \frac{1}{2}\theta} \left[ \underline{i}_A + k_B \underline{i}_B e^{-j\theta} + k_C \underline{i}_C e^{-j(\pi+\frac{1}{2}\theta)} \right] \\ \underline{i}_{so} &= \frac{1}{4\sin^2 \frac{1}{2}\theta} \left[ \underline{i}_A 2\cos(\pi-\theta) + k_B \underline{i}_B 2\cos(\pi-\theta) + k_C \underline{i}_C 2\cos \frac{1}{2}\theta \right] \\ \underline{i}_{r+} &= \frac{1}{4\sin^2 \frac{1}{2}\theta} (\underline{i}_x + j \underline{i}_y) e^{+j\psi} \\ \underline{i}_{r-} &= \frac{1}{4\sin^2 \frac{1}{2}\theta} (\underline{i}_x - j \underline{i}_y) e^{-j\psi} \end{aligned} \quad (2.120)$$

și respectiv:

$$\begin{aligned}
 i_A &= i_{s+} + i_{s-} + i_{s0} \\
 i_B &= \frac{1}{k_B} (i_{s+} e^{-j\theta} + i_{s-} e^{+j\theta} + i_{s0}) \\
 i_C &= \frac{1}{k_C} \left[ 2\cos(\pi-\theta) i_{s+} e^{-j(\pi+\frac{1}{2}\theta)} + i_{s-} e^{+j(\pi+\frac{1}{2}\theta)} + i_{s0} 2\cos\frac{1}{2}\theta \right] \quad (2.121) \\
 i_x &= 2\sin^2\frac{1}{2}\theta (i_{r+} e^{-j\delta} + i_{r-} e^{j\delta}) \\
 i_y &= 2\sin^2\frac{1}{2}\theta (-j i_{r+} e^{-j\delta} + j i_{r-} e^{j\delta})
 \end{aligned}$$

2. Ecuatiile de transformare naturală a tensiunilor:

$$\begin{aligned}
 u_{s+} &= \frac{1}{4\sin^2\frac{1}{2}\theta} \left[ u_A + \frac{1}{k_B} u_B e^{+j\theta} + \frac{2\cos(\pi-\theta)}{k_C} u_C e^{+j(\pi+\frac{1}{2}\theta)} \right] \\
 u_{s-} &= \frac{1}{4\sin^2\frac{1}{2}\theta} \left[ u_A + \frac{1}{k_B} u_B e^{-j\theta} + \frac{2\cos(\pi-\theta)}{k_C} u_C e^{-j(\pi+\frac{1}{2}\theta)} \right] \\
 u_{s0} &= \frac{2\cos(\pi-\theta)}{4\sin^2\frac{1}{2}\theta} \left[ u_A + \frac{1}{k_B} u_B + \frac{2\cos\frac{1}{2}\theta}{k_C} u_C \right] \quad (2.122) \\
 u_{r+} &= \frac{1}{2} (u_x + j u_y) e^{+j\delta} \\
 u_{r-} &= \frac{1}{2} (u_x - j u_y) e^{-j\delta}
 \end{aligned}$$

și respectiv:

$$\begin{aligned}
 u_A &= u_{s+} + u_{s-} + u_{s0} \\
 u_B &= k_B (u_{s+} e^{-j\theta} + u_{s-} e^{+j\theta} + u_{s0}) \\
 u_C &= k_C \left[ u_{s+} e^{-j(\pi+\frac{1}{2}\theta)} + u_{s-} e^{+j(\pi+\frac{1}{2}\theta)} + u_{s0} \frac{\cos\frac{1}{2}\theta}{\cos(\pi-\theta)} \right] \quad (2.123) \\
 u_x &= u_{r+} e^{-j\delta} + u_{r-} e^{+j\delta} \\
 u_y &= -j u_{r+} e^{-j\delta} + j u_{r-} e^{+j\delta}
 \end{aligned}$$

Parametrii (2.109) corespunzatori valorilor (2.119) ale factorilor de scară, devin:

$$\begin{aligned}
 R_B &= R_A; \quad R_r = 2\sin^2\frac{1}{2}\theta \cdot R_2; \quad R_o = R_A; \quad L_o = l_{Av} \quad (2.124) \\
 L_B &= l_{Av} + 2\sin^2\frac{1}{2}\theta \cdot (L_{AAv} + L_{Ah}); \quad L_r = 2\sin^2\frac{1}{2}\theta \cdot (L_{2r} + L_{Ah}); \quad L_m = 2\sin^2\frac{1}{2}\theta \cdot L_{Ah}
 \end{aligned}$$

3. Ecuatiile masinii trifazate nesimetrice "model matematic" în coordonate +, -, 0 naturale.

$$\begin{aligned}
 u_{s+} &= \left[ R_A + (l_{Av} + 2\sin^2\frac{1}{2}\theta \cdot L_{AAv}) \frac{d}{dt} + 2\sin^2\frac{1}{2}\theta \cdot L_{Ah} \frac{d}{dt} \right] i_{s+} + 2\sin^2\frac{1}{2}\theta \cdot L_{Ah} \frac{d}{dt} i_{r+} \\
 u_{s-} &= \left[ R_A + (l_{Av} + 2\sin^2\frac{1}{2}\theta \cdot L_{AAv}) \frac{d}{dt} + 2\sin^2\frac{1}{2}\theta \cdot L_{Ah} \frac{d}{dt} \right] i_{s-} + 2\sin^2\frac{1}{2}\theta \cdot L_{Ah} \frac{d}{dt} i_{r-} \\
 u_{s0} &= R_A i_{s0} + l_{Av} \frac{d}{dt} i_{s0} \quad (2.125)
 \end{aligned}$$

$$0 = \left[ 2\sin^2 \frac{1}{2} \theta \cdot R_2 + (2\sin^2 \frac{1}{2} \theta \cdot L_{2\sigma} + 2\sin^2 \frac{1}{2} \theta \cdot L_{Ah}) \left( \frac{d}{dt} - j \frac{d\lambda}{dt} \right) \right] \underline{i}_{r+} +$$

$$+ 2\sin^2 \frac{1}{2} \theta \cdot L_{Ah} \cdot \left( \frac{d}{dt} - j \frac{d\lambda}{dt} \right) \underline{i}_{s+}$$

$$0 = \left[ 2\sin^2 \frac{1}{2} \theta \cdot R_2 + (2\sin^2 \frac{1}{2} \theta \cdot L_{2\sigma} + 2\sin^2 \frac{1}{2} \theta \cdot L_{Ah}) \left( \frac{d}{dt} + j \frac{d\lambda}{dt} \right) \right] \underline{i}_{r-} +$$

$$+ 2\sin^2 \frac{1}{2} \theta \cdot L_{Ah} \cdot \left( \frac{d}{dt} + j \frac{d\lambda}{dt} \right) \underline{i}_{s-}$$

4. Momentul electromagnetic în c.s.i. naturale se calculează cu una din expresiile :

$$m = 16\sin^4 \frac{1}{2} \theta \cdot p L_{Ah} \cdot \operatorname{Re} \left\{ j \underline{i}_{s-} \cdot \underline{i}_{r+} \right\} \quad (2.126)$$

$$m = 8\sin^2 \frac{1}{2} \theta \cdot p \cdot \operatorname{Re} \left\{ j \Psi_{s+} \cdot \underline{i}_{s-} \right\}; \quad m = 8\sin^2 \frac{1}{2} \theta \cdot p \cdot \operatorname{Re} \left\{ -j \Psi_{r+} \cdot \underline{i}_{r-} \right\}$$

### 2.3.5 Impedanțele echivalente operaționale.

La analiza regimurilor tranzitorii ale mașinii de inducție trifazate, simetrice, sînt frecvent utilizate metodele operaționale de calcul /28/, /68/, /71/, /98/, /154/, /155/, /182/, /190/, /191/. Recent, Murthy și Berg /117/, /118/ utilizează aceeași metodă și la studiul regimurilor tranzitorii corespunzătoare alimentării dezechilibrate (de la rețeaua monofazată) a mașinilor de inducție trifazate simetrice.

În acest context metoda poate fi extinsă și la analiza regimurilor tranzitorii ale mașinilor de inducție echipate cu înfășurări bifazate general nesimetrice pe stator și alimentate de la rețeaua monofazată. Pentru acestea vor fi utilizate ecuațiile în c.s.i. stabilite mai înainte.

Să observăm că ecuațiile de tensiuni (2.117) respectiv (2.125) corespunzătoare succesiunilor + și - sînt invariante la schimbarea tipului (normal sau natural al) transformării. Numai ecuațiile corespunzătoare secvenței 0 diferă.

În continuare vom avea în vedere numai transformarea +, -, 0 naturală.

Dacă în ecuațiile sistemului (2.125) efectuăm schimbarea de variabilă  $\tau = \omega_1 t$  și notăm cu:

$$v = \frac{1}{\omega_1} \frac{d\lambda}{dt} \quad (2.127)$$

viteza instantanee (relativă) a rotorului, vom putea obține ușor ecuațiile operaționale ale mașinii trifazate nesimetrice "model matematic" în c.s.i.

Convenim să barăm superior imaginile Laplace și să notăm cu  $p$  - variabila complexă.

#### 1. Impedanța operațională pozitivă.

Cu precizările de mai sus, ecuațiile operaționale corespunzătoare componentelor pozitive pot fi scrise sub forma:

$$\underline{\bar{i}}_{s+} = (R_A + X_{AV} p + 2\sin^2 \frac{1}{2} \theta \cdot X_{AAV} p) \underline{\bar{i}}_{s+} + 2\sin^2 \frac{1}{2} \theta \cdot X_{Am} p (\underline{\bar{i}}_{s+} + \underline{\bar{i}}_{r+})$$

$$0 = \left( \frac{2\sin^2 \frac{\theta}{2} \cdot R_2}{1 - j \frac{\nu}{p}} + 2\sin^2 \frac{\theta}{2} \cdot X_{2r} \cdot p \right) \bar{I}_{r+} + 2\sin^2 \frac{\theta}{2} \cdot X_{Am} \cdot p (\bar{I}_{s+} + \bar{I}_{r+}) \quad (2.128)$$

în care:

$$X_{Av} = \omega_1 L_{Av}; \quad X_{AAv} = \omega_1 L_{AAv}; \quad X_{Am} = \omega_1 L_{Am}; \quad X_{2r} = \omega_1 L_{2r} \quad (2.129)$$

Circuitul operațional descris de ecuațiile (2.128) este reprezentat în fig.2.13 și indică chiar impedanța operațională pozitivă.

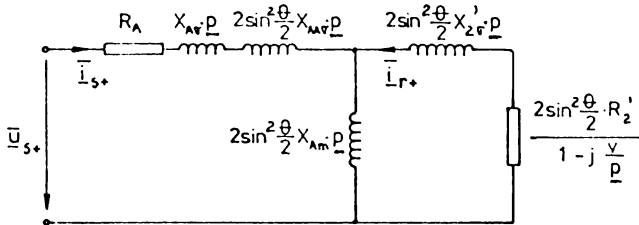


Fig.2.13 impedanța operațională pozitivă.

2. Impedanța operațională negativă.

Ecuațiile operaționale corespunzătoare componentelor negative din sistemul (2.125) pot fi scrise sub forma:

$$\begin{aligned} \bar{u}_{s-} &= (R_A + X_{Av} \cdot p + 2\sin^2 \frac{\theta}{2} X_{AAv} \cdot p) \bar{I}_{s-} + 2\sin^2 \frac{\theta}{2} X_{Am} \cdot p (\bar{I}_{s-} + \bar{I}_{r-}) \\ 0 &= \left( \frac{2\sin^2 \frac{\theta}{2} \cdot R_2}{1 + j \frac{\nu}{p}} + 2\sin^2 \frac{\theta}{2} X_{2r} \cdot p \right) \bar{I}_{r-} + 2\sin^2 \frac{\theta}{2} X_{Am} \cdot p (\bar{I}_{s-} + \bar{I}_{r-}) \end{aligned} \quad (2.130)$$

Circuitul operațional descris de ecuațiile (2.130) este indicat în fig.2.14 și reprezintă chiar impedanța operațională negativă.

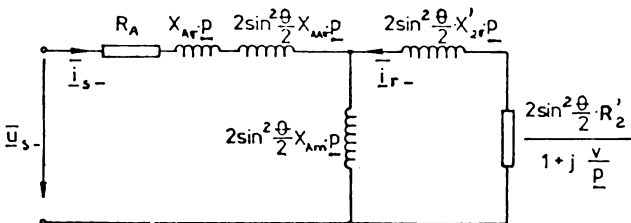


Fig.2.14 Impedanța operațională negativă.

3. Impedanța operațională de secvență zero.

Ecuația corespunzătoare secvenței nule din sistemul (2.125) este:

$$\bar{u}_{s0} = (R_A + X_{Av} \cdot p) \bar{I}_{s0} \quad (2.131)$$

iar impedanța operațională  $Z_{s0}(p)$  corespunde unui banal circuit serie.

O b s. In regim permanent sinusoidal, dacă se fac înlocuirile:  $p = j$  și  $v = 1 - s$  ( $s$  fiind alunecarea rotorului), din schemele și ecuațiile operaționale de mai sus se obțin exact impedanțele echivalente complexe : directă  $Z_{A1}$  (fig.2.6), inversă  $Z_{A2}$  (fig.2.7) și omopolară  $Z_{A0}$  (fig.2.8).

2.4 Aplicarea teoriei componentelor simetrice la analiza mașinilor de inducție bifazate cu înfășurări general nesimetrice pe stator. Simetrizarea înfășurărilor statorice.

Teoria componentelor simetrice stabilită în lucrare este generală și în același timp compatibilă și cu celelalte teorii ale mașinii de inducție. (Demonstrarea compatibilității teoriei componentelor simetrice stabilite în Cap.2 cu celelalte teorii ale mașinii de inducție cât și cu variantele clasice ale ei este efectuată în Anexa I a lucrării.)

Teoria componentelor simetrice stabilită în lucrare generalizează teoriile clasice ale componentelor simetrice trifazate și respectiv bifazate. Ea este utilă la analiza regimurilor staționare și dinamice ale mașinilor de inducție trifazate, nesimetrice, de tipul "modelului matematic".

În acest context, teoria componentelor simetrice generalizate poate fi utilizată și la studiul mașinilor de inducție echipate cu înfășurări bifazate, general nesimetrice pe stator. Singura problemă care poate apărea constă în asigurarea condițiilor (2.1).

Dacă aceste condiții nu sînt îndeplinite, se va evidenția impedanța  $Z_{BS}$  (de simetrizare), definită pe baza relației:

$$R_B + jX_{B\sigma} = k_B^2(R_A + jX_{A\sigma}) + Z_{BS} \quad (2.132)$$

De fapt, relația (2.132) sugerează ideea unei substituiri fictive a înfășurării reale B, cu o altă B' înseriată cu impedanța  $Z_{BS}$ . Înfășurarea B' îndeplinește condițiile (2.1).

În plus, se va indica și a treia înfășurare statorică (C) nealimentată reconstituind astfel mașina trifazată nesimetrică "model matematic".

Procedeu este numit "simetrizarea înfășurărilor statorice" și este reprezentat în fig.2.15.

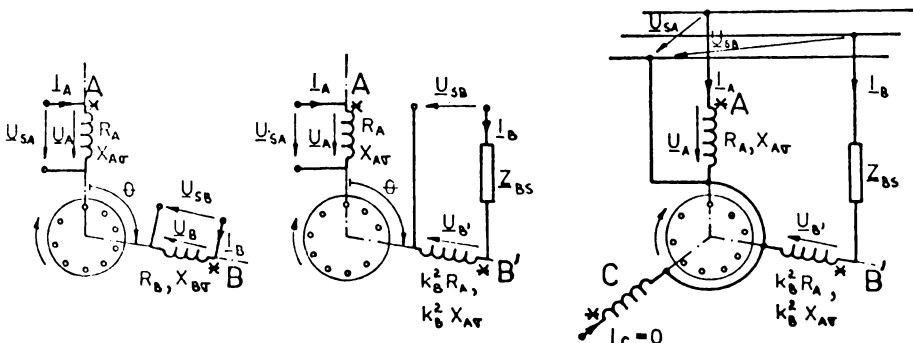


Fig.2.15 Simetrizarea înfășurărilor statorice.

Descompunerile în componente simetrice vor corespunde curenților și respectiv tensiunilor la bornele mașinii trifazate nesimetrice reconstituite după procedeul indicat mai sus.

În felul acesta, ecuațiile de descompunere a curenților și tensiunilor de fază împreună cu ecuațiile mașinii trifazate "model matematic" în cele trei regimuri simetrice cît și cu ecuațiile funcționale corespunzătoare conexiunii înfășurătorilor statorice formează un sistem compatibil, unic determinat, la studiul regimului staționar sau dinamic al oricărui motor de inducție monofazat (cu o înfășurare bifazată pe stator).

O b s. 1. Impedanța de simetrizare  $Z_{BS}$  este nulă numai dacă înfășurările statorice A și B sînt identice.

O b s. 2. În cazul motoarelor monofazate cu sens de rotație invers celui specificat în lucrare, ecuațiile de descompunere rămîn formal aceleași cu mențiunea că, se schimbă între ele mărimile directe (+) cu cele inverse (sau -). Rotorul are în totdeauna sensul de rotație al cîmpului direct.

O b s. 3. Componentele simetrice instantanee +,- utilizate în analiza regimurilor dinamice sînt mărimi complexe și nu sînt asociate cu niște cîmpuri învîrtitoare epuse, precum sînt componentele simetrice fazoriale în regimul staționar sinusoidal.

Astfel, dacă tensiunile de alimentare sînt simetrice, există ambele secvențe  $\underline{u}_{S+}$  și  $\underline{u}_{S-}$ , fiind complex conjugate, chiar dacă fazorul tensiunii de succesiune inversă este nul.

CONTRIBUTII LA ANALIZA MOTOARELOR DE INDUCTIE  
MONOFAZATE CU INFASURAREA AUXILIARA SAU DE PORNIRE,  
NESIMETRICA, IN NECUADRATURA ELECTRICA.

3.1 Prezentarea problematicii.

Majoritatea motoarelor de inducție monofazate au -pe sator- două înfășurări cu numere diferite de spire, dispuse în cuadratură electrică. Una din înfășurări (numită auxiliară sau de pornire) este dimensionată să aibă, în prezența unui convertor static de fază inseriat cu ea, un raport X/R considerabil diferit de al celeilalte înfășurări (numită principală).

Când cele două înfășurări sînt conectate în paralel, la aceeași sursă monofazată de tensiune, curenții care le străbat sînt defazați temporar cu unghiuri diferite. Apare cîmpul magnetic învîrtitor în întrefier și, în consecință, posibilitatea autopornirii lor. Caracteristicile acestor motoare sînt identice pentru cele două sensuri de rotație.

La motoarele cu fază de pornire (rezistivă, capacitivă sau de tip complex) înfășurarea auxiliară este utilizată numai la pornire. Ea va fi deconectată imediat ce rotorul a atins o anumită viteză (de obicei 0,8 din viteza de sincronism). Folosindu-se în regim de scurtă durată și numai pentru asigurarea pornirii, înfășurarea de pornire este dimensionată după criteriile speciale /3/, /58/, /62/, /113/, /119/, /120/.

La motoarele monofazate cu fază auxiliară capacitivă (de pornire și funcționare) înfășurarea auxiliară împreună cu condensatorul este utilizată atât la pornire cît și în funcționare (cu toată capacitatea sau numai o fracțiune din ea). O atenție deosebită trebuie acordată dimensionării înfășurării auxiliare (cît și alegerii condensatorului) astfel încît -în sarcină- să se obțină un regim cît mai apropiat de unul bifazat simetric /3/, /11/, /25/, /33/, /86/, /101/, /102/, /141/, /153/, /162/, /170/, /189/, /200/.

În practică (exceptînd cazurile singulare corespunzătoare unor greșeli de bobinare) anumite restricții pot conduce de multe ori la imposibilitatea dispunerii în cuadratură a înfășurărilor statorice. Situații de acest gen apar frecvent în cazul unificării seriilor de motoare asincrone mono și trifazate de mică putere /2/, /3/, /171/etc. cînd, de regulă, este impusă geometria transversală a mașinii.

O dată cu dezvoltarea și extinderea tehnicilor de modulare a amplitudinii polilor (PAM) și la motoarele de inducție monofazate /20/, /43/, /44/, /91/, /92/.



/93/,/94/,/95/,/175/,/176/ s-a observat că, pentru anumite numere de perechi de poli, înfășurările statorice numai sînt în cuadratură electrică. În plus, în ultimul timp au și fost brevetate /186/ construcții de motoare asincrone monofazate cu înfășurarea de pornire plasată în necuadratură electrică.

Disponerea înfășurării de pornire sub un unghi  $\theta$  mai mare de  $90^\circ$  el., ca în fig.3.1, conduce la momente de pornire mărite /85/,/112/,/138/,/168/etc., dacă celelalte elemente constructive rămîn neschimbate.

Desigur, o apreciere globală a performanțelor, la optarea pentru o astfel de soluție constructivă, poate fi stabilită numai în lumina unei analize teoretice și experimentale complete. Acesta constituie de fapt și scopul capitolului de față.

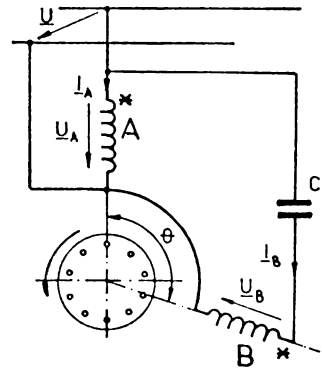


Fig.3.1

Prima lucrare ce abordează motorul asincron monofazat cu faza auxiliară (sau de pornire) în necuadratură electrică aparține lui Puchstein și Lloyd /201/ în 1935. A urmat, la un an, lucrarea lui Lyon și Kingsley /105/. După o absență de aproape 20 de ani, subiectul a reintrat în atenția cercetătorilor. Prevența lucrărilor din ultimul deceniu denotă că particularitățile și posibilitățile acestor motoare sînt încă incomplet cunoscute și folosite.

Studiile spărute cu această tematică pot fi grupate în raport cu teoriile de investigație utilizate, și anume:

1. Lucrări bazate pe teoria cîmpurilor magnetice circulare învîrtitoare: /12/,/13/,/32/,/42/,/49/,/60/,/83/,/85/,/112/,/116/,/147/,/151/,/166/,/197/,/201/.
2. Lucrări bazate pe teoria cîmpului transversal: /26/,/54/,/56/,/57/,/107/,/148/,/183/,/184/,/185/.
3. Lucrări bazate pe teoria componentelor simetrice: /2/,/3/,/4/,/6/,/29/,/41/,/64/,/65/,/73/,/15/,/78/,/80/,/81/,/90/,/105/,/167/,/168/,/169/,/170/,/178/,/190/,/192/.

În afară de acestea au mai apărut și lucrări bazate pe teorii elaborate "ad-hoc" /8/,/9/, dar fără o importanță teoretică deosebită.

Din păcate, majoritatea autorilor se limitează numai la prezentarea ecuațiilor și a relațiilor de calcul corespunzătoare (de regulă) curenților și momentului electromagnetic.

Sînt analizate, în exclusivitate, numai motoarele asincrone monofazate cu faza auxiliară sau de pornire de tip capacitiv.

Pentru motoarele monofazate cu înfășurare de pornire de tip rezistiv sau complex, în necuadratură electrică, nu s-a întîlnit nici o referință bibliografică.

În plus, toate rezultatele publicate pînă acum sînt stabilite în limitele neglijerii reactanței mutuale de dispersie dintre înfășurările statorice.

Totodată se menționează că teoria componentelor simetrice (așa cum a fost utilizată pînă acum în literatură la analiza mașinilor de inducție cu înfășurări bifazate, general nesimetrice, pe stator) conține o serie de vicii de fond care o reduc în fapt la teoria cîmpurilor magnetice învîrtoare. (Se are în vedere atît modul de aplicare cît și expresiile propuse pentru componentele simetrice ale curenților, respectiv ale tensiunilor.) De fapt această deficiență este semnalată și în capitolele precedente ale lucrării.

Plecînd de la constatările de mai sus, în acest capitol, se va efectua o analiză în detaliu a principalelor mărimi funcționale corespunzătoare motoarelor asincrone monofazate cu faza auxiliară sau de pornire dispusă în ne-cuadratură electrică. Scopul analizei constă în depistarea de noi aspecte și proprietăți intrinseci la decalarea înfășurării de pornire din poziția consacrată. Metoda de investigație: "Teoria componentelor simetrice". Sînt studiate, în mod special, marimile de pornire corespunzătoare motoarelor asincrone monofazate cu fază auxiliară de pornire de tip rezistiv, capacitiv sau complex.

### 3.2 Metoda componentelor simetrice.

În fig.3.1, cu A și B s-au notat înfășurările statorice, principală și respectiv auxiliară (sau de pornire) ale unui motor de inducție monofazat, conectate la aceeași rețea.

Înfășurarea auxiliară B are de  $k_B$  ori mai multe spire efective, este dispusă spațial sub unghiul  $\theta \neq 90^\circ$  el. față de înfășurarea principală A și are în serie un convertor static de fază (condensator, rezistor sau o grupare R-C), de impedanță  $Z_K$ .

Din considerente analitice, în fig. 3.2 s-a reconstituit mașina trifazată nesimetrică (echivalentă) "model matema-

tic" din al cărei regim dezecnilibrat ( $I_C = 0$ ) provine motorul asincron bifazat, general nesimetric, prezentat în fig.3.1.

(Acesta este punctul de vedere original -al autorului- iar rezultatele astfel obținute în cadrul teoriei componentelor simetrice -deși diferă de cele stabilite în literatură- sînt în totalitate compatibile atît cu celelalte teorii cît și cu varianta clasică, la dispunerea în cuadratură a înfășurărilor.)

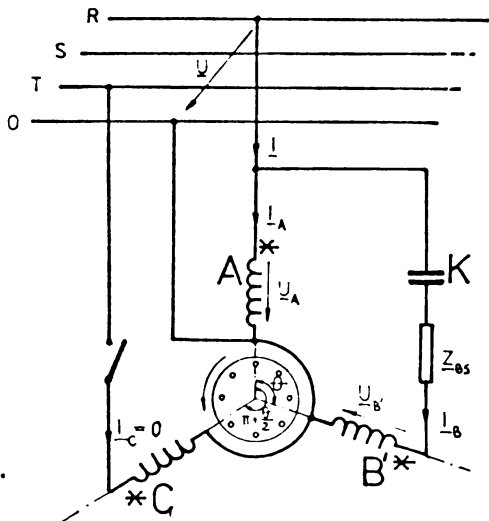


Fig.3.2

Infășurarea auxiliară B, avînd de  $k_B$  ori mai multe spire decît cea principală A, ar trebui să aibă atît rezistența cît și reactanța proprie de dispersie de  $k_B^2$  ori mai mare decît  $R_A$  și respectiv  $X_{AV}$ . Așa stau lucrurile cu infășurarea auxiliară ideală (simetrizată) B'. Orice diferență dintre impedanța proprie de dispersie a infășurării auxiliare reale B și a celei ideale B' este considerată prin introducerea impedanței de simetrizare  $Z_{BS}$ , ca mai jos:

$$R_B + jX_{BV} = k_B^2(R_A + jX_{AV}) + Z_{BS} \quad (3.1)$$

Ecuatiile funcționale corespunzătoare constrîngerilor în alimentarea infășurărilor satorice ale mașinii trifazate echivalente din fig.3.2 sînt:

$$\begin{aligned} \underline{U}_A &= \underline{U} \\ \underline{U}_{B'} + (Z_{BS} + Z_K) \underline{I}_B &= \underline{U} \\ \underline{I}_C &= 0 \end{aligned} \quad (3.2)$$

Aceste ecuații pot fi soluționate în cadrul teoriei componentelor simetrice (stabilite în Cap.2) întocmai ca în teoria clasică a mașinilor electrice simetrice. Substituțiile utilizabile în acest caz sînt:

$$\begin{aligned} \underline{U}_A &= \underline{U}_{A1} + \underline{U}_{A2} + \underline{U}_{A0} \\ \underline{U}_{B'} &= k_B(\underline{U}_{A1}e^{j\theta} + \underline{U}_{A2}e^{-j\theta} + \underline{U}_{A0}) \end{aligned} \quad (3.3)$$

$$\begin{aligned} \underline{I}_A &= \underline{I}_{A1} + \underline{I}_{A2} + \underline{I}_{A0} \\ \underline{I}_B &= \frac{1}{k_B}(\underline{I}_{A1}e^{j\theta} + \underline{I}_{A2}e^{-j\theta} + \underline{I}_{A0}) \end{aligned} \quad (3.4)$$

$$\underline{I}_C = \frac{1}{k_C} [2\cos(\pi-\theta)\underline{I}_{A1}e^{j(\pi+\frac{1}{2}\theta)} + 2\cos(\pi-\theta)\underline{I}_{A2}e^{-j(\pi+\frac{1}{2}\theta)} + 2\cos\frac{1}{2}\theta \cdot \underline{I}_{A0}]$$

$$\underline{U}_{A1} = Z_{A1}\underline{I}_{A1} ; \underline{U}_{A2} = Z_{A2}\underline{I}_{A2} ; \underline{U}_{A0} = Z_{A0}\underline{I}_{A0} \quad (3.5)$$

în care:  $\underline{U}_{A1}$ ,  $\underline{U}_{A2}$  și  $\underline{U}_{A0}$  sînt componentele directă, inversă și omopolară ale tensiunii  $\underline{U}_A$ ;  $Z_{A1}$ ,  $Z_{A2}$  și  $Z_{A0}$  sînt impedanțele echivalente ale mașinii văzute pe la bornele infășurării principale A, atunci cînd este parcursă de componentele simetrice: directă  $\underline{I}_{A1}$ , inversă  $\underline{I}_{A2}$  și respectiv omopolară  $\underline{I}_{A0}$  ale curentului  $\underline{I}_A$ .

(Substituțiile (3.3) și (3.4) corespund componentelor simetrice naturale. Similar puteau fi utilizate și componentele simetrice normate.)

După efectuarea substituțiilor (3.3), (3.4) și (3.5) în sistemul (3.2) se obține:

$$\begin{aligned} \underline{I}_{A1}Z_{A1} + \underline{I}_{A2}Z_{A2} + \underline{I}_{A0}Z_{A0} &= \underline{U} \\ \underline{I}_{A1}(Z + k^2Z_{A1})e^{j\theta} + \underline{I}_{A2}(Z + k^2Z_{A2})e^{-j\theta} + \underline{I}_{A0}(Z + k^2Z_{A0}) &= k\underline{U} \\ \underline{I}_{A1}e^{j\theta}2\cos\theta + \underline{I}_{A2}2\cos\theta + \underline{I}_{A0}(1 + e^{j\theta}) &= 0 \end{aligned} \quad (3.6)$$

Rezolvînd sistemul (3.6) vom găsi componentele simetrice ale curentului  $\underline{I}_A$ , adică:

$$\begin{aligned}
 \underline{I}_{A1} &= \frac{\underline{U}}{1-e^{j\theta}} \cdot \frac{\underline{Z}(1-e^{j\theta}) + k\underline{Z}_{A2}(1+e^{j\theta})(ke^{-j\theta}-1) - 2\cos\theta \cdot \underline{Z}_{A0}k(k-1)}{\underline{Z}(\underline{Z}_{A1} + \underline{Z}_{A2} - 2\cos\theta \underline{Z}_{A0}) + k^2[\underline{Z}_{A1}\underline{Z}_{A2}^2(1+\cos\theta) - 2\cos\theta \underline{Z}_{A0}(\underline{Z}_{A1} + \underline{Z}_{A2})]} \\
 \underline{I}_{A2} &= \frac{\underline{U}}{1-e^{j\theta}} \cdot \frac{\underline{Z}(1-e^{j\theta}) - k\underline{Z}_{A1}(1+e^{j\theta})(ke^{j\theta}-1) + 2\cos\theta \cdot \underline{Z}_{A0}e^{j\theta}k(k-1)}{\underline{Z}(\underline{Z}_{A1} + \underline{Z}_{A2} - 2\cos\theta \underline{Z}_{A0}) + k^2[\underline{Z}_{A1}\underline{Z}_{A2}^2(1+\cos\theta) - 2\cos\theta \underline{Z}_{A0}(\underline{Z}_{A1} + \underline{Z}_{A2})]} \\
 \underline{I}_{A0} &= \frac{\underline{U}}{1-e^{j\theta}} \cdot \frac{-2\cos\theta[\underline{Z}(1-e^{j\theta}) - k\underline{Z}_{A1}(ke^{j\theta}-1) + k\underline{Z}_{A2}(k-e^{j\theta})]}{\underline{Z}(\underline{Z}_{A1} + \underline{Z}_{A2} - 2\cos\theta \underline{Z}_{A0}) + k^2[\underline{Z}_{A1}\underline{Z}_{A2}^2(1+\cos\theta) - 2\cos\theta \underline{Z}_{A0}(\underline{Z}_{A1} + \underline{Z}_{A2})]} \quad (3.7)
 \end{aligned}$$

În care, pentru simplificarea scrierii s-au folosit notațiile:

$$k = k_B = \frac{w_B k_{YB} k_{qB}}{w_A k_{YA} k_{qA}} \quad (3.8)$$

$$\text{și} \quad \underline{Z} = \underline{Z}_{BS} + \underline{Z}_K \quad (3.9)$$

Curenții statorici se determină cu substituțiile (3.4):

$$\begin{aligned}
 \underline{I}_A &= \underline{U} \frac{4\sin^2 \frac{1}{2}\theta \underline{Z} + k^2(\underline{Z}_{A1} + \underline{Z}_{A2} - 2\cos\theta \underline{Z}_{A0}) - k(\underline{Z}_{A1}e^{-j\theta} + \underline{Z}_{A2}e^{+j\theta} - 2\cos\theta \underline{Z}_{A0})}{\underline{Z}(\underline{Z}_{A1} + \underline{Z}_{A2} - 2\cos\theta \underline{Z}_{A0}) + k^2[\underline{Z}_{A1}\underline{Z}_{A2}^2(1+\cos\theta) - 2\cos\theta \underline{Z}_{A0}(\underline{Z}_{A1} + \underline{Z}_{A2})]} \\
 \underline{I}_B &= \underline{U} \frac{(\underline{Z}_{A1} + \underline{Z}_{A2} - 2\cos\theta \underline{Z}_{A0}) - k(\underline{Z}_{A1}e^{+j\theta} + \underline{Z}_{A2}e^{-j\theta} - 2\cos\theta \underline{Z}_{A0})}{\underline{Z}(\underline{Z}_{A1} + \underline{Z}_{A2} - 2\cos\theta \underline{Z}_{A0}) + k^2[\underline{Z}_{A1}\underline{Z}_{A2}^2(1+\cos\theta) - 2\cos\theta \underline{Z}_{A0}(\underline{Z}_{A1} + \underline{Z}_{A2})]} \quad (3.10)
 \end{aligned}$$

Curentul  $\underline{I} = \underline{I}_A + \underline{I}_B$  absorbit de motor din rețea se calculează cu:

$$\underline{I} = \underline{U} \frac{4\sin^2 \frac{1}{2}\theta \underline{Z} + (k^2 - 2k\cos\theta + 1)(\underline{Z}_{A1} + \underline{Z}_{A2}) - 2\cos\theta \underline{Z}_{A0}(k-1)^2}{\underline{Z}(\underline{Z}_{A1} + \underline{Z}_{A2} - 2\cos\theta \underline{Z}_{A0}) + k^2[\underline{Z}_{A1}\underline{Z}_{A2}^2(1+\cos\theta) - 2\cos\theta \underline{Z}_{A0}(\underline{Z}_{A1} + \underline{Z}_{A2})]} \quad (3.11)$$

Cu relațiile (3.7), (3.10) și (3.11), avînd în vedere și schemele echivalente din regimurile staționare simetrice (fig.2.9 a și b), pot fi predeterminate toate performanțele motorului asincron monofazat pentru orice valori date parametrilor  $\theta$ ,  $k$ ,  $\underline{Z}_K$  și  $s$ .

Totuși, în acest stadiu, este imposibil de prezis în ce sens se modifică performanțele motorului la schimbarea unghiului  $\theta$ .

### 3.3 Separarea nesimetriei unghiulare.

La dispunerea fazei auxiliare sau de pornire în necuadratură electrică în motor se manifestă în plus și un cuplaj transformatoric. Acest aspect fizic determină schimbări esențiale în distribuția curenților statorici, în mărimea și faza componentelor simetrice ale acestora, în valorile pierderilor, a momentului electromagnetic și în general a tuturor caracteristicilor funcționale.

În teoria componentelor simetrice aceste modificări sînt determinate, în primul rînd, de dependența parametrilor impedanțelor echivalente (directă și

inversă) de valoarea unghiului  $\theta$ .

Dacă se compară impedanțele echivalente directă  $\underline{Z}_{A1}$  și inversă  $\underline{Z}_{A2}$  cu impedanțele corespunzătoare ale aceleiași mașini dar cu faza auxiliară sau de pornire în cuadratură electrică (v. Anexa I, ec. I62), obținem:

$$\begin{aligned}\underline{Z}_{A1} &= \underline{Z}_1 \cdot (1 - \cos\theta) + \underline{Z}_0 \cos\theta \\ \underline{Z}_{A2} &= \underline{Z}_2 \cdot (1 - \cos\theta) + \underline{Z}_0 \cos\theta\end{aligned}\quad (3.12)$$

în care:

$$\begin{aligned}\underline{Z}_1 &= R_A + j(X_{Av} + X_{AAv}) + \frac{(R_{1m} + jX_{1m})\left(\frac{R'_2}{s} + jX'_{2v}\right)}{\frac{R'_2}{s} + R_{1m} + j(X'_{2v} + X_{1m})} \\ \underline{Z}_2 &= R_A + j(X_{Av} + X_{AAv}) + \frac{(R_{1m} + jX_{1m})\left(\frac{R'_2}{2-s} + jX'_{2v}\right)}{\frac{R'_2}{2-s} + R_{1m} + j(X'_{2v} + X_{1m})} \\ \underline{Z}_0 &= R_A + jX_{Av}\end{aligned}\quad (3.13)$$

Relațiile (3.12) permit separarea nesimetriei unghiulare din toate expresiile stabilite pînă acum. Dacă avem în vedere și identitățile trigonometrice:

$$1 - \cos\theta = \frac{1}{2}(1 - e^{j\theta})(1 - e^{-j\theta}) = 2\sin^2\frac{\theta}{2}\quad (3.14)$$

după cîteva transformări intermediare, expresiile (3.7), (3.10) și (3.11) devin:

$$\begin{aligned}\underline{I}_{A1} &= \frac{\underline{U}}{1 - \cos\theta} \cdot \frac{\underline{Z} + jk\sin\theta \underline{Z}_2(ke^{-j\theta} - 1) + k\cos\theta \underline{Z}_0(ke^{-j\theta} + 1)}{\underline{Z}(\underline{Z}_1 + \underline{Z}_2) + 2k^2[\underline{Z}_1\underline{Z}_2 - (\underline{Z}_1 - \underline{Z}_0)(\underline{Z}_2 - \underline{Z}_0)\cos^2\theta]} \\ \underline{I}_{A2} &= \frac{\underline{U}}{1 - \cos\theta} \cdot \frac{\underline{Z} - jk\sin\theta \underline{Z}_1(ke^{+j\theta} - 1) + k\cos\theta \underline{Z}_0(ke^{+j\theta} + 1)}{\underline{Z}(\underline{Z}_1 + \underline{Z}_2) + 2k^2[\underline{Z}_1\underline{Z}_2 - (\underline{Z}_1 - \underline{Z}_0)(\underline{Z}_2 - \underline{Z}_0)\cos^2\theta]} \\ \underline{I}_{A0} &= \frac{\underline{U} \cos\theta}{1 - \cos\theta} \cdot \frac{-2\underline{Z} + k(1 - e^{-j\theta})[\underline{Z}_1(ke^{j\theta} - 1) - \underline{Z}_2(k - e^{j\theta})] - 2k\cos\theta \underline{Z}_0(1 + k)}{\underline{Z}(\underline{Z}_1 + \underline{Z}_2) + 2k^2[\underline{Z}_1\underline{Z}_2 - (\underline{Z}_1 - \underline{Z}_0)(\underline{Z}_2 - \underline{Z}_0)\cos^2\theta]}\end{aligned}\quad (3.15)$$

respectiv:

$$\begin{aligned}\underline{I}_A &= \underline{U} \frac{2\underline{Z} + k\underline{Z}_1(k - e^{-j\theta}) + k\underline{Z}_2(k - e^{+j\theta}) + 2k\cos\theta \underline{Z}_0}{\underline{Z}(\underline{Z}_1 + \underline{Z}_2) + 2k^2[\underline{Z}_1\underline{Z}_2 - (\underline{Z}_1 - \underline{Z}_0)(\underline{Z}_2 - \underline{Z}_0)\cos^2\theta]} \\ \underline{I}_B &= \underline{U} \frac{\underline{Z}_1(1 - ke^{+j\theta}) + \underline{Z}_2(1 - ke^{-j\theta}) + 2k\cos\theta \underline{Z}_0}{\underline{Z}(\underline{Z}_1 + \underline{Z}_2) + 2k^2[\underline{Z}_1\underline{Z}_2 - (\underline{Z}_1 - \underline{Z}_0)(\underline{Z}_2 - \underline{Z}_0)\cos^2\theta]}\end{aligned}\quad (3.16)$$

și

$$\underline{I} = \underline{U} \frac{2\underline{Z} + (1 - 2k\cos\theta + k^2)(\underline{Z}_1 + \underline{Z}_2) + 4k\cos\theta \underline{Z}_0}{\underline{Z}(\underline{Z}_1 + \underline{Z}_2) + 2k^2[\underline{Z}_1\underline{Z}_2 - (\underline{Z}_1 - \underline{Z}_0)(\underline{Z}_2 - \underline{Z}_0)\cos^2\theta]}\quad (3.17)$$

Rezultatele obținute sînt foarte generale. Dacă se înlocuiește  $\theta$  cu  $90^\circ$  în expresiile (3.15), (3.16) și (3.17) se regăsesc exact relațiile date în

literatură: /6/, /7/, /10/, /22/, /24/, /25/, /47/, /68/, /69/, /76/, /82/, /84/, /104/, /110/, /114/, /115/, /121/, /142/, /160/, /162/, /172/, /173/, /174/, /177/, /201/ pentru motorul asincron monofazat cu faza auxiliară în cuadratură electrică.

Funcționarea în regimuri dezechilibrate a motoarelor electrice polifazate, simetrice, este mai comod de urmărit prin intermediul rapoartelor modulelor componentelor simetrice ale curenților, respectiv ale tensiunilor.

În particular, și pentru motorul asincron monofazat cu fază auxiliară sau de pornire general nesimetrică, se definesc:

a. Gradul de disimetrie al curenților, respectiv al tensiunilor:

$$\varepsilon_{1I} = \frac{|I_{A2}|}{|I_{A1}|} ; \quad \varepsilon_{1U} = \frac{|U_{A2}|}{|U_{A1}|} \quad (3.18)$$

b. Gradul de asimetrie al curenților, respectiv al tensiunilor:

$$\varepsilon_{0I} = \frac{|I_{A0}|}{|I_{A1}|} ; \quad \varepsilon_{0U} = \frac{|U_{A0}|}{|U_{A1}|} \quad (3.19)$$

Corespunzător expresiilor (3.15), factorii de nesimetrie (3.18), (3.19) se calculează cu:

$$\varepsilon_{1I} = \frac{|Z - jk \sin \theta Z_1 (ke^{j\theta} - 1) + k \cos \theta Z_0 (ke^{j\theta} + 1)|}{|Z + jk \sin \theta Z_2 (ke^{-j\theta} - 1) + k \cos \theta Z_0 (ke^{-j\theta} + 1)|} \quad (3.20)$$

$$\varepsilon_{1U} = \frac{|Z_2 (1 - \cos \theta) + Z_0 \cos \theta|}{|Z_1 (1 - \cos \theta) + Z_0 \cos \theta|} \cdot \varepsilon_{1I} \quad (3.21)$$

și respectiv:

$$\varepsilon_{0I} = |\cos \theta| \cdot \frac{|-2Z + k(1 - e^{-j\theta})[Z_1(ke^{j\theta} - 1) - Z_2(k - e^{j\theta})] - 2k \cos \theta Z_0(1 + k)|}{|Z + jk \sin \theta Z_2 (ke^{-j\theta} - 1) + k \cos \theta Z_0 (ke^{-j\theta} + 1)|} \quad (3.22)$$

$$\varepsilon_{0U} = \frac{|Z_0|}{|Z_1 (1 - \cos \theta) + Z_0 \cos \theta|} \cdot \varepsilon_{0I} \quad (3.23)$$

Valori mari ale acestor factori de nesimetrie conduc la încălziri exagerate, zgomote și vibrații. Minimizarea lor constituie un real criteriu de optimizare la pornire (în cazul motoarelor asincrone monofazate cu fază auxiliară de pornire) sau în funcționare (la motoarele asincrone monofazate cu condensator).

### 3.4 Regimul de pornire.

La pornire,  $Z_1 = Z_2 = Z_p$ . Experimental, impedanța  $Z_p$  poate fi măsurată la bornele înfășurării principale A a motorului asincron monofazat cu rotorul calat. Cu această substituție, expresiile generale (3.15), (3.16) și (3.17) devin:

$$I_{A1p} = \frac{U}{1 - \cos \theta} \cdot \frac{Z + jk \sin \theta Z_p (ke^{-j\theta} - 1) + k \cos \theta Z_0 (ke^{-j\theta} + 1)}{2Z Z_p + 2k^2 [Z_p^2 - (Z_p - Z_0)^2 \cos^2 \theta]}$$

$$\underline{I}_{A2p} = \frac{U}{1-\cos\theta} \cdot \frac{\underline{Z} - jk\sin\theta \underline{Z}_p (ke^{+j\theta} - 1) + k\cos\theta \underline{Z}_o (ke^{+j\theta} + 1)}{2\underline{Z}\underline{Z}_p + 2k^2[\underline{Z}_p^2 - (\underline{Z}_p - \underline{Z}_o)^2 \cos^2\theta]} \quad (3.24)$$

$$\underline{I}_{AOp} = \frac{U \cos\theta}{1-\cos\theta} \cdot \frac{-2\underline{Z} - 2\underline{Z}_p k(k+1)(1-\cos\theta) - 2\underline{Z}_o k(k+1)\cos\theta}{2\underline{Z}\underline{Z}_p + 2k^2[\underline{Z}_p^2 - (\underline{Z}_p - \underline{Z}_o)^2 \cos^2\theta]}$$

respectiv:

$$\underline{I}_{Ap} = U \frac{\underline{Z} + k^2 \underline{Z}_p - k(\underline{Z}_p - \underline{Z}_o)\cos\theta}{\underline{Z}\underline{Z}_p + k^2[\underline{Z}_p^2 - (\underline{Z}_p - \underline{Z}_o)^2 \cos^2\theta]} \quad (3.25)$$

$$\underline{I}_{Bp} = U \frac{\underline{Z}_p - k(\underline{Z}_p - \underline{Z}_o)\cos\theta}{\underline{Z}\underline{Z}_p + k^2[\underline{Z}_p^2 - (\underline{Z}_p - \underline{Z}_o)^2 \cos^2\theta]}$$

și

$$\underline{I}_p = U \frac{\underline{Z} + (k^2+1)\underline{Z}_p - 2k(\underline{Z}_p - \underline{Z}_o)\cos\theta}{\underline{Z}\underline{Z}_p + k^2[\underline{Z}_p^2 - (\underline{Z}_p - \underline{Z}_o)^2 \cos^2\theta]} \quad (3.26)$$

Momentul electromagnetic dezvoltat de rotor la pornire se determină cu:

$$M_p = \frac{p \cdot 8 \sin^4 \frac{\theta}{2}}{2\pi f_1} \cdot \frac{R_2'(R_{1m}^2 + X_{1m}^2)}{(R_2' + R_{1m})^2 + (X_{2r}' + X_{1m})^2} \cdot (I_{A1p}^2 - I_{A2p}^2) \quad (3.27)$$

Ansamblul ecuațiilor stabilite pînă acum formează baza teoretică a oricărei analize privind motoarele asincrone monofazate cu înfășurare auxiliară sau de pornire general nesimetrică. Ele generalizează relațiile date pînă acum în literatură pentru motoarele asincrone monofazate cu faza auxiliară în cuadratură electrică.

### 3.5 Motoare de inducție monofazate cu înfășurare de pornire general nesimetrică.

Cele două înfășurări statorice ale motoarelor asincrone monofazate cu înfășurare de pornire de tip capacitiv, rezistiv sau complex sînt dimensionate, de regulă, în baza unor condiții total diferite.

Astfel, înfășurarea principală (cît și rotorul) se proiectează -în mod obișnuit- pe baza datelor nominale. La dimensionarea înfășurării de pornire se impun o serie de condiții suplimentare ( $M_p \geq M_{p,\min}$ ,  $I_p \leq I_{p,\max}$ ,  $J \leq J_{ad}$  etc.) /21/, /58/, /113/, /119/, /120/. În plus, în funcție de caracterul fazei de pornire se pot impune și alte restricții ( $C_p = \min$ ,  $U_C = \text{dat}$ ,  $Q_{Cp} = \min$ ).

S-au făcut aceste precizări pentru a evidenția că cele două înfășurări statorice: principală (A) și de pornire (B) se deosebesc una de alta atît constructiv (prin diametrul conductorului utilizat, numerele de spire și factorii de bobinaj) cît și prin valorile parametrilor electrice.

Mai mult, înfășurarea de pornire se consideră dispusă spațial sub unghiul  $\theta \neq 90^\circ$  el. față de înfășurarea principală A.

Prin urmare, aceste motoare folosesc la pornire o înfășurare bifazată, general nesimetrică pe stator.

Dacă se notează cu  $k$  (3.8) raportul de transformare dintre înfășurările le statorice și introducem, ca în /169/, coeficienții numerici adimensiona- li:

$$\varrho = \frac{R_B}{R'_B} \quad \text{și} \quad \xi = \frac{X_{B\psi}}{X'_{B\psi}} \quad (3.28)$$

în care  $\overline{R'_B} = k^2 R_A$  și respectiv  $X'_{B\psi} = k^2 X_{A\psi}$ , vom obține:

$$R_B = \varrho k^2 R_A ; \quad X_{B\psi} = \xi k^2 X_{A\psi} \quad (3.29)$$

Prin acest artificiu matematic, toate expresiile referitoare la motoa- rele asincrone monofazate cu înfășurare de pornire (de orice tip) pot fi ex- primate numai în funcție de parametrii înfășurării principale A.

La repartizarea înfășurării de pornire pe  $1/2$  pînă la  $1/3$  din circumfe- rința statorului, coeficientul  $\xi$  ia valori între 1 și 2. Coeficientul  $\varrho$ , în aceleași condiții, va depinde de caracterul înfășurării de pornire (capacitiv, rezistiv sau complex) fiind întotdeauna supraunitar.

### 3.5.1 Motoare de inducție monofazate cu fază capacitivă de pornire.

Pentru aceste tipuri de motoare asincrone monofazate vom studia influen- ța unghiului  $\theta$  și a reactanței condensatorului  $C_K$  inseriat cu înfășurarea de pornire B asupra următoarelor mărimi: 1.Curentul de pornire  $I_p$ ; 2.Momentul de pornire  $M_p$ ; 3.Raportul dintre momentul electromagnetic și curentul de pornire  $M_p/I_p$ ; 4.Raportul dintre momentul electromagnetic și pierderile electrice din înfășurările statorului la pornire  $M_p/P_p$  și 5.Raportul dintre puterea aparen- ță a condensatorului și puterea aparentă a motorului la pornire  $S_{Cp}/S_p$ .

De asemenea, se stabilesc relații de dimensionare a reactanței condensa- torului de pornire din condițiile: a)  $M_p = \max.$ ; b)  $M_p = \text{valoare prestabilită}$  și c)  $M_p/P_p = \max.$

Problematica anunțată mai sus se găsește (în parte) și în literatură: /168/,/169/,/170/. Motivul pentru care este reluată aici este determinat de înțrebuintărea unei forme "simpliste" /167/ a teoriei componentelor simetrice la stabilirea tuturor expresiilor analitice.

Reprezentările grafice aferente sînt construite în mărimi relative, mă- rimi marcate cu semnul  $\sim$  deasupra simbolului corespunzător. Rezistențele, reactanțele (impedanțele), curentii, puterile (pierderile electrice) și mo- mentul electromagnetic vor fi raportate respectiv la:  $Z_n$ ,  $U_n/Z_n$ ,  $U_n^2/Z_n$  și  $pU_n^2/\omega_1 Z_n$  unde  $Z_n$  este raportul dintre tensiunea și curentul nominal al moto- rului.

Organigrama de calcul este reprezentată în fig.3.3. (Calcululele au fost efectuate pe un calculator Felix C 256).

În plus, acolo unde a fost posibil, s-au înregistrat și rezultatele în- cercărilor experimentale.



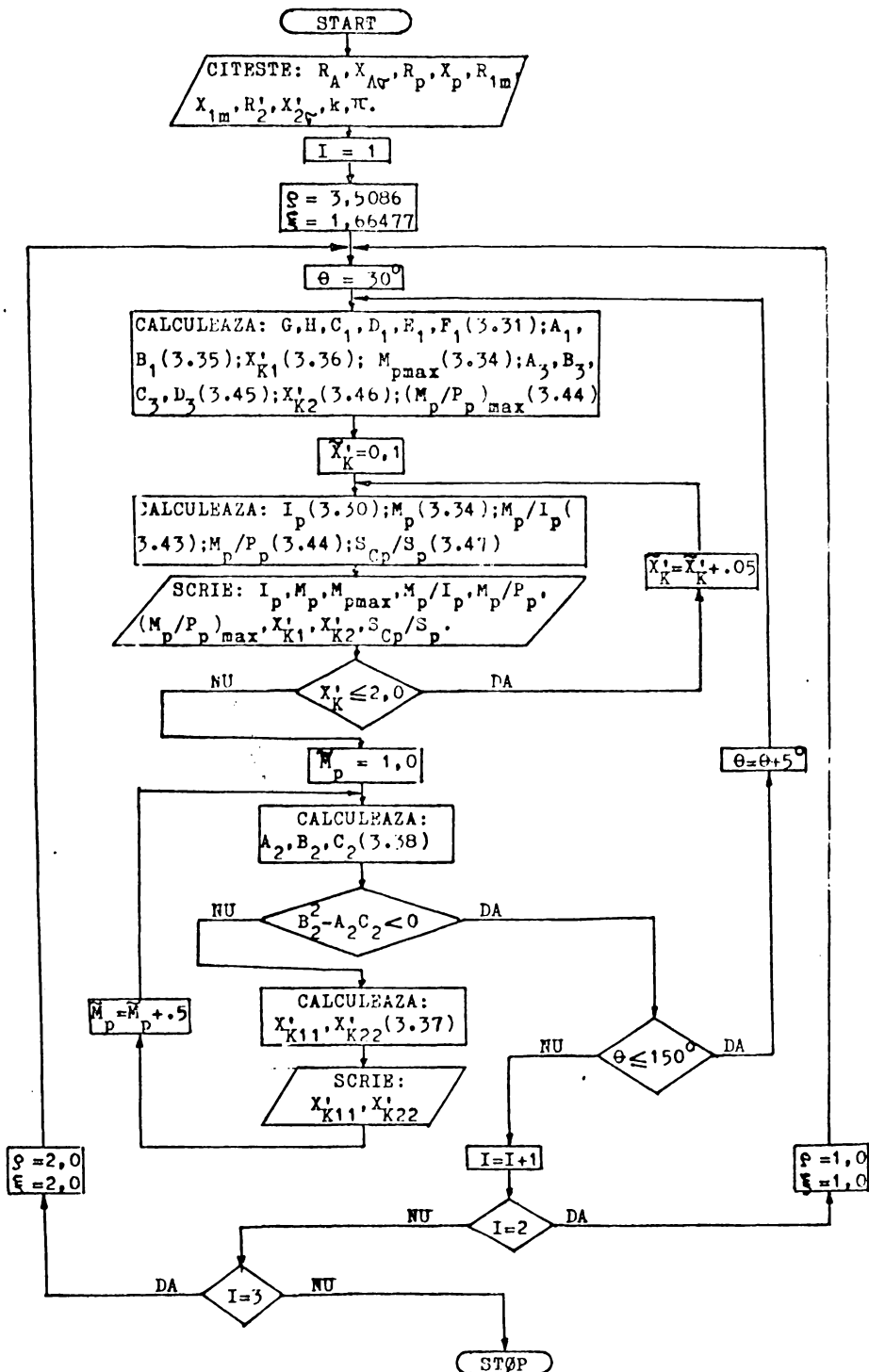


Fig.3.3

### 3.5.1.1 Curentul de pornire.

Curentul absorbit, la pornire, de motorul asincron monofazat cu fază capacitivă (general nesimetrică) de pornire se determină pe baza relației (3.26) în care  $Z_K$  - din (3.9) - se înlocuiește cu  $-jX_K$ .

Folosindu-se constantele  $\varphi$  și  $\xi$  definite de (3.28) precum și valoarea raportată  $X'_K$  a reactanței capacitive  $X_K$  ( $X'_K = \frac{1}{k^2} X_K$ ), expresia de calcul a curentului de pornire devine:

$$I_P = \frac{U}{k^2} \cdot \left[ \frac{G^2 + (H - k^2 X'_K)^2}{(C_1 + D_1 X'_K)^2 + (E_1 - F_1 X'_K)^2} \right]^{\frac{1}{2}} \quad (3.30)$$

în care:

$$\begin{aligned} G^2 &= [(\varphi - 1)k^2 R_A + (k^2 + 1)R_p - 2k(R_p - R_A)\cos\theta]^2 \\ H &= (\xi - 1)k^2 X_{Av} + (k^2 + 1)X_p - 2k(X_p - X_{Av})\cos\theta \\ C_1 &= (\varphi - 1)R_p R_A - (\xi - 1)X_p X_{Av} + R_p^2 - X_p^2 - [(R_p - R_A)^2 - (X_p - X_{Av})^2]\cos^2\theta \\ D_1 &= X_p \\ E_1 &= (\varphi - 1)R_A X_p + (\xi - 1)R_p X_{Av} + 2R_p X_p - 2(R_p - R_A)(X_p - X_{Av})\cos^2\theta \\ F_1 &= R_p \end{aligned} \quad (3.31)$$

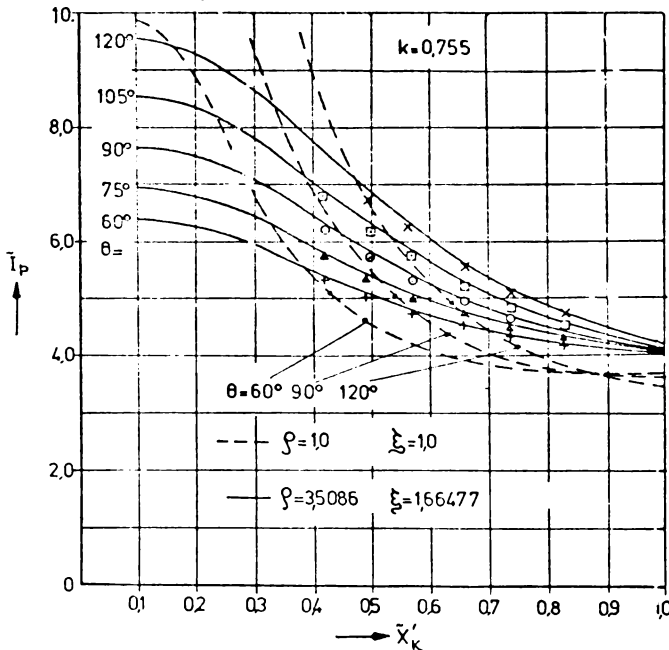


Fig.3.4  
Puncte experimentale  
( $k=0,755$ ;  $\varphi=3,5086$  și  $\xi=1,66477$ ):  
+ pentru  $\theta=60^\circ$ ;  $\Delta$  pentru  $\theta=75^\circ$ ;  $\circ$  pentru  $\theta=90^\circ$ ;  $\square$  pentru  $\theta=105^\circ$ ;  
 $\times$  pentru  $\theta=120^\circ$ .

(În relațiile (3.31) cu  $R_p$  și  $X_p$  s-au notat rezistența și respectiv reactanța înfășurării principale A, măsurată la pornire.)

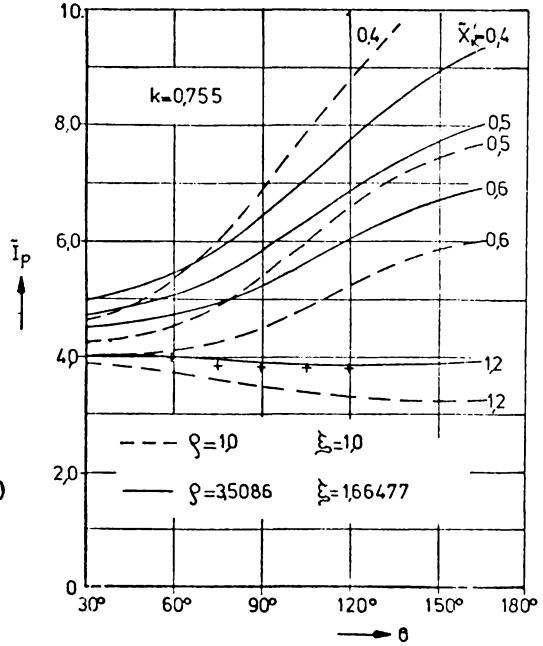
În fig.3.4 s-a reprezentat dependența curentului de pornire cu mărimea reactanței  $X'_K$ ,  $I_P = f(X'_K)$  pentru câteva valori ale unghiului  $\theta$  ( $60^\circ$ ,  $75^\circ$ ,  $90^\circ$ ,  $105^\circ$  și  $120^\circ$ ) dintre axele înfășurărilor statorice.

(Aici și în continuare, punctele experimentale corespund unui motor asincron

monofazat cu  $\tilde{R}'_A = 0,10356$ ;  $\tilde{X}'_{Av} = 0,05636$ ;  $\tilde{R}'_p = 0,18318$ ;  $\tilde{X}'_p = 0,16338$   
 $\tilde{R}'_{1m} = 0,17134$ ;  $\tilde{X}'_{1m} = 2,4518$ ;  $\tilde{R}'_2 = 0,06296$ ;  $\tilde{X}'_{2v} = 0,07138$ ;  $k = 0,755$ ;  
 $\varphi = 3,5086$  și  $\xi = 1,66477$ ; cu mențiunea că parametrii rotorici  $R'_2$  și  $X'_{2v}$  au fost reduși la numărul efectiv de spire al înfășurării principale A.)

Fig.3.5

+ puncte experimentale ( $k = 0,755$ ;  
 $\varphi = 3,5086$ ;  $\xi = 1,66477$  și  $\tilde{X}'_K = 1,2$ )



In fig.3.5 este reprezentată dependența  $\tilde{I}_p = f(\theta)$  pentru  $\tilde{X}'_K = \text{const.}$  (Cu linii continuă sînt trasate caracteristicile corespunzătoare parametrilor  $\varphi = 3,5086$  și  $\xi = 1,66477$  iar cu linii întreruptă, cele corespunzătoare motorului cu  $\varphi = 1,0$  și  $\xi = 1,0$ .)

3.5.1.2 Momentul de pornire.

Momentul electromagnetic dezvoltat la pornire de motorul asincron monofazat cu rotor simetric și fază de pornire, general nesimetrică -de tip capacitiv- (calculat pe baza relațiilor (3.27) și (3.24)) este dat de:

$$M_p = \frac{2pU^2 k \sin\theta}{\omega_1} R'_0 \frac{M}{M_1^2} \tag{3.32}$$

cu:

$$R'_0 = \frac{R'_2(R_{1m}^2 + X_{1m}^2)}{(R'_2 + R_{1m})^2 + (X'_{2v} + X_{1m})^2}$$

$$M = (1 - k \cos\theta) [X_p (R_B - k^2 R_A) - R_p (X_{Bv} - k^2 X_{Av} - X_K)] + k \cos\theta [X_{Av} (R_B - k^2 R_A) - R_A (X_{Bv} - k^2 X_{Av} - X_K)] + k(k^2 - 1) (X_{Av} R_p - R_A X_p) \cos\theta \tag{3.33}$$

$$M_1^2 = \left\{ R_p (R_B - k^2 R_A) - X_p (X_{Bv} - k^2 X_{Av} - X_K) + k^2 (R_p^2 - X_p^2) + k^2 [(R_p - R_A)^2 - (X_p - X_{Av})^2] \cos^2\theta \right\}^2 + \left\{ R_p (X_{Bv} - k^2 X_{Av} - X_K) + X_p (R_B - k^2 R_A) + 2k^2 [R_p X_p - (R_p - R_A)(X_p - X_{Av}) \cos^2\theta] \right\}^2$$

In vederea prelucrărilor analitice (cu  $\varphi$  și  $\xi$  din (3.28) și  $X'_K = X_K / k^2$ ) momentul electromagnetic (3.32) va fi scris ca funcție rațională fracționară (în raport cu variabila  $X'_K$ ) ca mai jos:

$$M_p = \frac{2pU^2}{\omega_1 R_0} \cdot \frac{\sin\theta}{k^2} \cdot \frac{A_1 + R_1 X'_K}{(C_1 + D_1 X'_K)^2 + (E_1 - F_1 X'_K)^2} \quad (3.34)$$

in care:

$$A_1 = [(1 - pk^2)\cos\theta + k(\xi - 1)]R_A X_p - [(1 - \xi k^2)\cos\theta + k(\xi - 1)]R_p X_{Ar} + k^2(\xi - \xi)R_A X_{Ar} \cos\theta$$

$$B_1 = kR_p - k^2(R_p - R_A)\cos\theta, \text{ iar} \quad (3.35)$$

$C_1, D_1, E_1$  și  $F_1$  sînt aceași ca în (3.31).

In fig.3.6 s-a reprezentat variația momentului relativ de pornire  $\tilde{M}_p = f(\tilde{X}'_K)$  corespunzătoare motorului asincron monofazat cu  $\varrho = 3,5086$  și  $\xi = 1,66477$ , pentru cîteva valori ( $60^\circ, 75^\circ, 90^\circ, 105^\circ$  și  $120^\circ$ ) ale unghiului  $\theta$ .

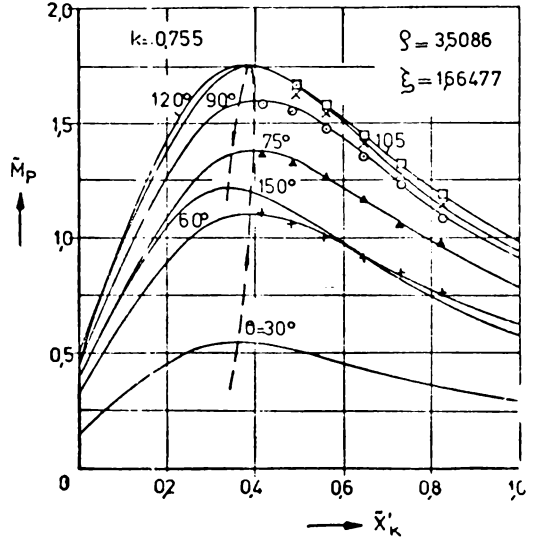


Fig.3.6

Puncte experimentale: + pentru  $\theta = 60^\circ$ ;  $\Delta$  pentru  $\theta = 75^\circ$ ;  $\circ$  pentru  $\theta = 90^\circ$ ;  $\square$  pentru  $\theta = 105^\circ$  și  $\times$  pentru  $\theta = 120^\circ$ .

Urmărind monotonia cuplului de pornire  $M_p$  cu mărimea reactanței  $X'_K$  se observă că acesta crește de la 0, trece printr-un maxim, după care scade monoton către 0. Valoarea reactanței capacitive  $X'_K$ , pentru care  $M_p$  este maxim, se determină cu relația:

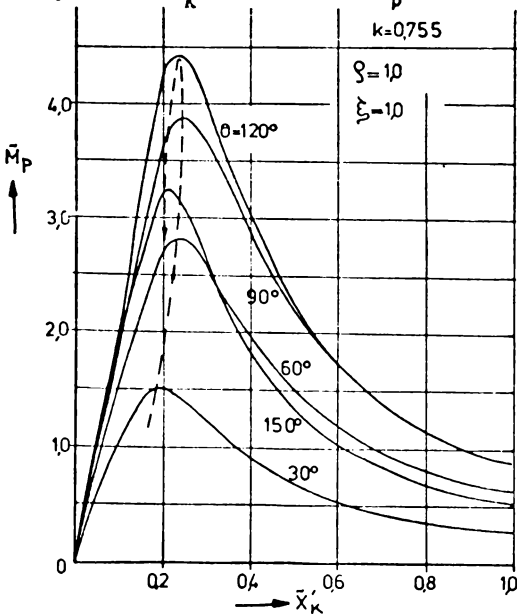


Fig.3.7

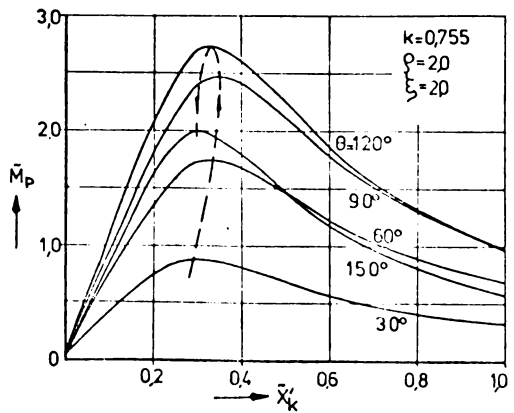


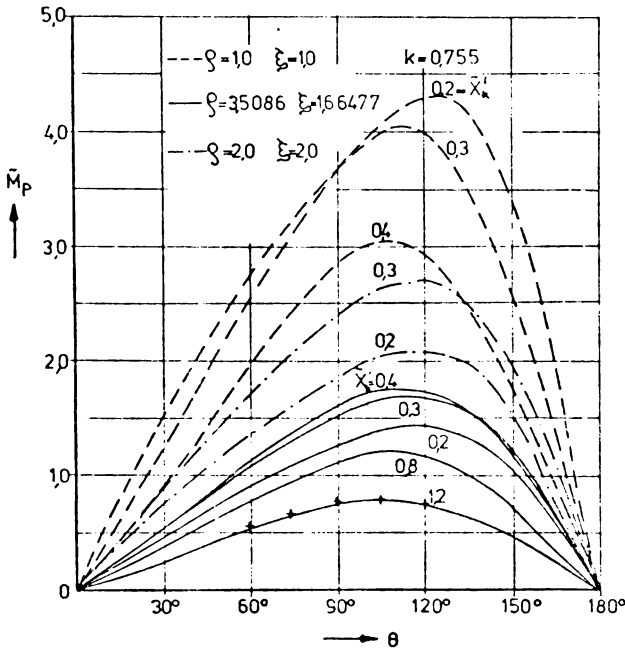
Fig.3.8

$$X'_{K} = -\frac{A_1}{B_1} + \frac{1}{B_1} \sqrt{\frac{(A_1 D_1 - B_1 C_1)^2 + (A_1 F_1 + B_1 E_1)^2}{D_1^2 + F_1^2}} \quad (3.36)$$

(Relația (3.36) s-a obținut în urma anulării derivatei momentului de pornire în raport cu  $X'_{K}$ .)

Curba  $\tilde{M}_{pmax} = f(\tilde{X}'_{K})$  -care unește valorile maxime ale momentului de pornire- pentru diferite unghiuri  $\theta$  este reprezentată pe aceeași figură dar cu linie întreruptă.

În figurile 3.7 și 3.8 s-au reprezentat aceleași dependențe dar pentru  $\varrho = 1,0$ ;  $\xi = 1,0$  și respectiv  $\varrho = 2,0$ ;  $\xi = 2,0$ .



Variația momentului de pornire cu unghiul  $\theta$ ,  $\tilde{M}_p = f(\theta)$ , pentru câteva valori ale reactanței capacitive  $\tilde{X}'_K$  este prezentată în fig.3.9.

Fig.3.9  
+ puncte experimentale ( $k = 0,755$ ;  $\varrho = 3,5086$ ;  $\xi = 1,66477$ )

Cînd înfașurarea de pornire este cunoscută (prin valorile constantelor  $k, \varrho, \xi, \theta$ ), mărimea reactanței capacitive  $X'_{K}$  care va asigura un moment de pornire impus se calculează cu relația:

$$X'_{K1,2} = \frac{B_2 \pm (B_2^2 - A_2 C_2)^{1/2}}{A_2} \quad (3.37)$$

în care:

$$\begin{aligned} A_2 &= D_1^2 + F_1^2 \\ B_2 &= E_1 F_1 - C_1 D_1 + \frac{pU^2}{\omega_1 M_p} R'_o \frac{\sin \theta}{k^2} B_1 \\ C_2 &= C_1^2 + E_1^2 - \frac{2pU^2}{\omega_1 M_p} R'_o \frac{\sin \theta}{k^2} A_1 \end{aligned} \quad (3.38)$$

Dacă  $B_2^2 > A_2 C_2$ , atunci  $\tilde{M}_p$  -impus se obține pentru două valori distincte  $X'_{K1}$  și  $X'_{K2}$  ale reactanței capacitive. În afara intervalului  $(X'_{K1}, X'_{K2})$ , momentul de pornire al motorului asincron monofazat este inferior celui impus. Dependența  $\tilde{X}'_K = f(\theta)$ , pentru  $\tilde{M}_p = \text{impus}$ , este indicată în fig.3.10, fig.3.11 și fig.3.12.

Dacă  $B_2^2 < A_2 C_2$ , nici o valoare a reactanței capacitive  $X'_K$  nu asigură valoarea dorită a momentului de pornire. În acest caz este necesară redimensionarea înfășurării de pornire.

Să observăm că reactanța capacitivă  $X_K$  intervine, de fiecare dată în relația momentului de pornire (3.32), prin expresia  $(X_K - X_{Bv} + k^2 X_{Av})$  sau ulterior (3.34), în expresia echivalentă  $X'_K - (\xi - 1) X_{Av}$ .

Prin urmare, dacă  $M_p$  este valoarea momentului de pornire corespunzătoare parametrilor  $\xi = 1,0$  iar  $X'_K = X'_K(1)$ , atunci pentru  $\xi \neq 1,0$  și

$$X'_K(\xi) = X'_K(1) - (\xi - 1) X_{Av} \quad (3.39)$$

se obține aceeași valoare pentru  $M_p$ .

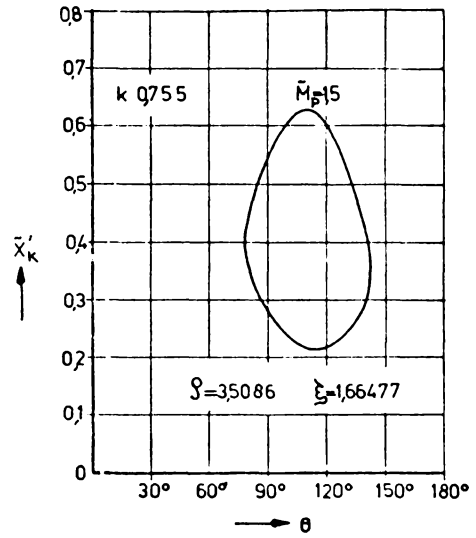


Fig.3.10

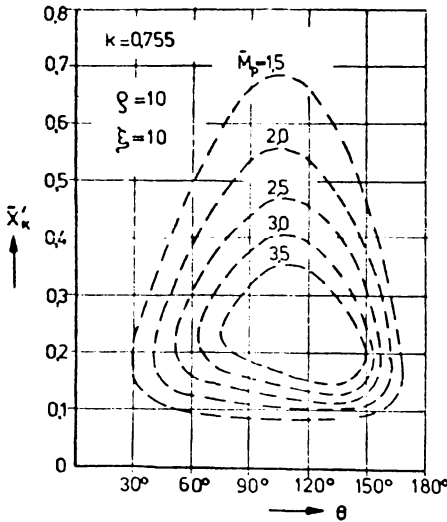


Fig.3.11

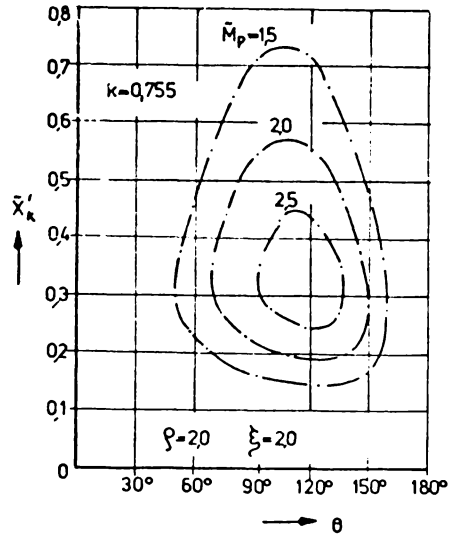


Fig.3.12

Raportul de transformare  $k$  intervine direct în expresia momentului de pornire. Influența lui poate fi apreciată numai după rescrierea relației (3.34) sub forma:

$$M_p = \frac{2pU^2}{\omega_1} \cdot \frac{R'_o \sin \theta}{(C_1 + D_1 X'_K)^2 + (B_1 - F_1 X'_K)^2} \cdot \frac{1k^2 + mk + n}{k^2} \quad (3.40)$$

cu:  $1 = [\xi R_p X_{Av} - \sigma R_A X_p + (\sigma - \xi) R_A X_{Av} - (R_p - R_A) X'_K] \cos \theta$

$$m = (\varrho - 1)R_A X_p - (\xi - 1)R_p X_{Av} + R_p X_K' \quad (3.41)$$

$$n = (R_A X_p - R_p X_{Av}) \cos \theta$$

În cazul motoarelor asincrone monofazate cu faza de pornire în cuadratură electrică, momentul electromagnetic de pornire este invers proporțional cu  $k$ .

Dacă  $\theta \neq 90^\circ$  el., momentul electromagnetic dezvoltat de motor la pornire poate avea o valoare extremă (pentru un  $X_K$  dat) dacă:

$$k = \frac{2(X_{Av} \cos \varphi_p - R_A \sin \varphi_p) \cos \theta}{(\varrho - 1)R_A \sin \varphi_p + [X_K' - (\xi - 1)X_{Av}] \cos \varphi_p} \quad (3.42)$$

în care  $\cos \varphi_p = R_p / (R_p^2 + X_p^2)^{1/2}$  este chiar factorul de putere al motorului, la pornire, când este alimentată numai înfășurarea principală A.

### 3.5.1.3 Raportul dintre momentul electromagnetic și curent, la pornire.

Un criteriu de bază în aprecierea performanțelor la pornire îl constituie mărimea cuplului specific de pornire, adică valoarea raportului dintre momentul electromagnetic și curentul de pornire.

Pentru motorul asincron monofazat cu fază general nesimetrică de pornire de tip capacitiv, cuplul specific de pornire se calculează cu:

$$\frac{\tilde{M}_p}{\tilde{I}_p} = \frac{2pU \cdot R_o' \sin \theta}{\omega_1} \cdot \frac{A_1 + B_1 X_K'}{[(C_1 + D_1 X_K')^2 + (E_1 - F_1 X_K')^2]^{1/2} [G^2 + (H - k^2 X_K')^2]^{1/2}} \quad (3.43)$$

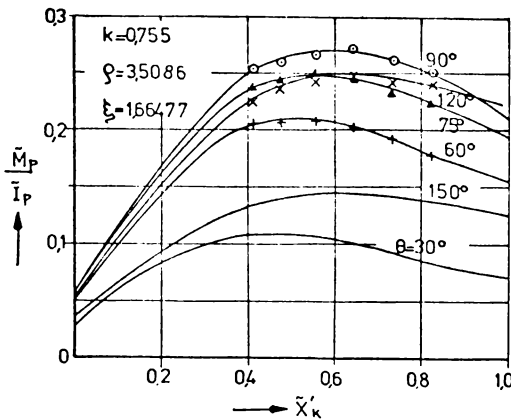


Fig. 3.13

Puncte experimentale: + pentru  $\theta = 60^\circ$ ;  $\Delta$  pentru  $\theta = 75^\circ$ ;  $\circ$  pentru  $\theta = 90^\circ$ ;  $\times$  pentru  $\theta = 120^\circ$ .

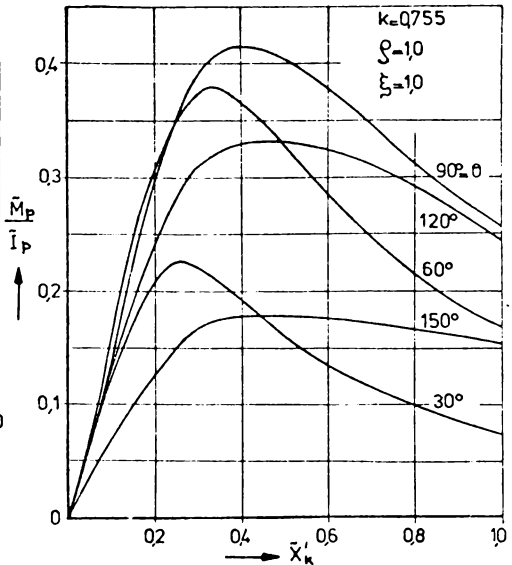


Fig. 3.14

Variația cuplului specific de pornire (pentru motorul considerat) este reprezentată în fig.3.13, fig.3.14, fig.3.15 și fig.3.16 (atât în raport cu  $\bar{X}'_K$  cât și în raport cu  $\theta$ ).

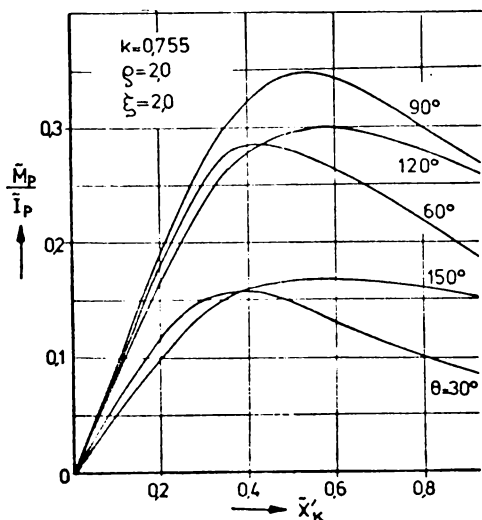


Fig.3.15

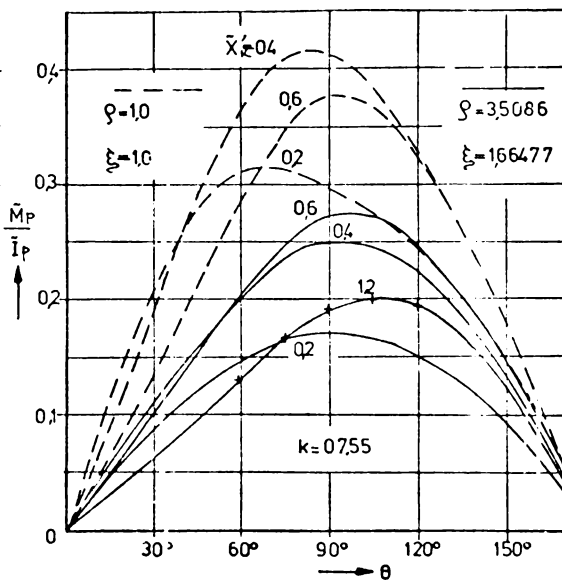


Fig.3.16

+ puncte experimentale ( $k = 0,755$ ;  $\varphi = 3,5086$ ;  $\xi = 1,66477$  și  $\bar{X}'_K = 1,2$ )

Din punct de vedere numeric este de dorit o valoare cât mai mare pentru cuplul specific de pornire. Practic, dacă  $k < 1$ , această cerință este îndeplinită numai de motoarele asincrone monofazate cu faza de pornire în cuadratură electrică.

3.5.1.4 Raportul dintre momentul electromagnetic și pierderile din înfășurările statorului, la pornire.

Pierderile electrice din înfășurările statorice ( $P_p = R_A I_{Ap}^2 + R_B I_{Bp}^2$ ) oferă cea mai sugestivă idee privind încălzirea înfășurărilor la pornire. Valoarea acestora -pentru un moment de pornire impus- va limita în ultimă instanță numărul de porniri pe oră ale motorului.

În acest context, este de dorit o valoare cât mai mare pentru acest raport.

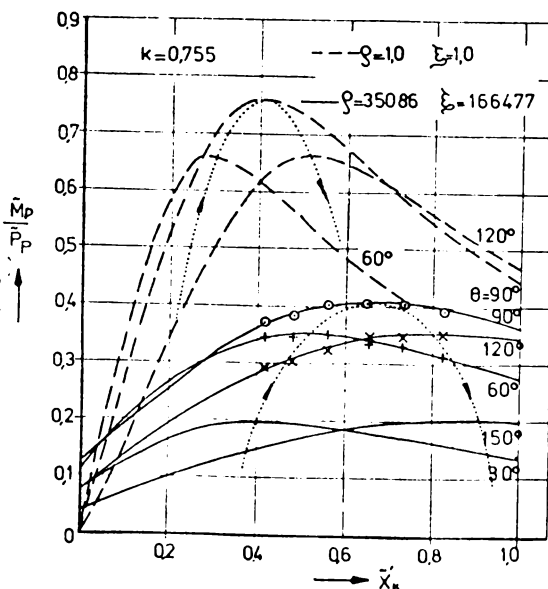


Fig.3.17



Analitic, raportul  $M_p/P_p$  poate fi studiat pe baza relației:

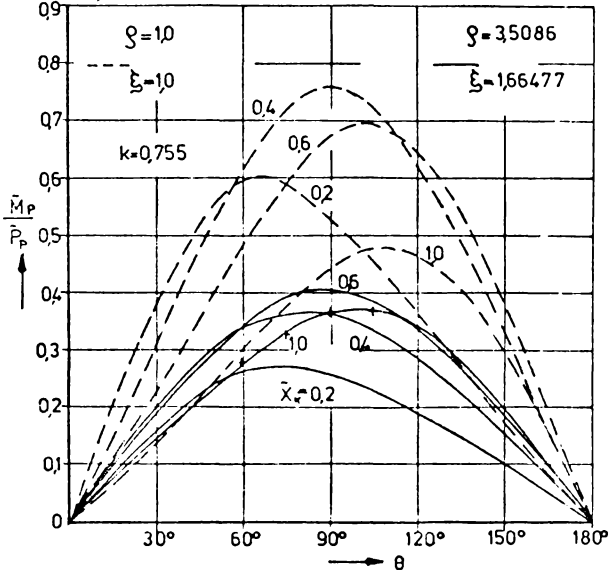
$$\frac{M_p}{P_p} = \frac{2p \cdot \sin\theta}{\omega_1} \cdot \frac{R'_0}{R_A} \cdot \frac{A_3 + B_3 X'_K}{C_3^2 + (D_3 - kX'_K)^2} \quad (3.44)$$

în care:

$$\begin{aligned} A_3 &= A_1; & B_3 &= B_1 \\ C_3 &= (\zeta - 1)kR_A + kR_p - (R_p - R_A)\cos\theta^2 + R_p - k(R_p - R_A)\cos\theta^2 + \\ &+ X_p - k(X_p - X_{Av})\cos\theta^2 \\ D_3 &= (\xi - 1)kX_{Av} + kX_p - (X_p - X_{Av})\cos\theta \end{aligned} \quad (3.45)$$

Variația raportului  $\tilde{M}_p/\tilde{P}_p = f(\tilde{X}'_K)$ , pentru câteva valori ale unghiului  $\theta$ , este reprezentată în fig.3.17 (cu linie continuă pentru  $\zeta = 3,5086$  și  $\xi = 1,66477$ , respectiv cu linie întreruptă pentru  $\zeta = 1,0$  și  $\xi = 1,0$ ).

Fig.3.18  
+ puncte experimentale ( $k = 0,755$ ;  $\zeta = 3,5086$ ;  $\xi = 1,66477$  și  $\tilde{X}'_K = 1,0$ )



Valoarea reactanței capacitive  $X'_K$  care asigură maximul raportului  $M_p/P_p$  (stabilită din condiția  $\frac{\partial}{\partial X'_K}(M_p/P_p) = 0$ ) se determină cu:

$$X'_K = -\frac{A_3}{B_3} + \sqrt{\left[\frac{A_3}{B_3} + \frac{D_3}{k}\right]^2 + \frac{C_3^2}{k^2}} \quad (3.46)$$

Curba  $(\tilde{M}_p/\tilde{P}_p)_{\max} = f(\tilde{X}'_K)$ , care unește valorile maxime ale raportului analizat pentru diferite valori ale unghiului  $\theta$ , este reprezentată tot în fig. 3.17 (dar cu linie punctată).

Dependența raportului  $\tilde{M}_p/\tilde{P}_p = f(\theta)$ , pentru câteva valori ale reactanței capacitive  $\tilde{X}'_K$ , este ilustrată în fig.3.18.

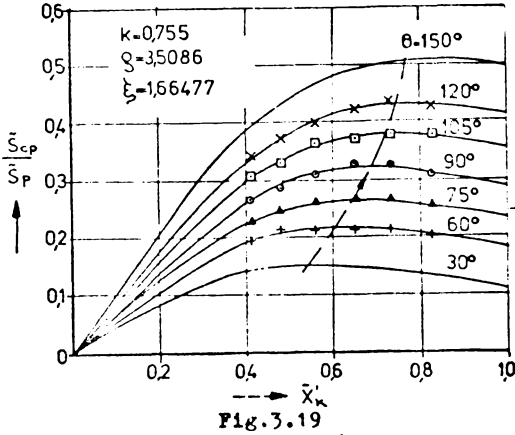
### 3.5.1.5 Raportul dintre puterea aparentă a condensatorului și puterea aparentă a motorului la pornire.

Un important criteriu de analiză tehnico-economică al motoarelor asincrone monofazate cu fază de pornire -de tip capacitiv- poate fi obținut prin compararea puterii aparente a condensatorului cu cea a motorului, la pornire.

La considerarea curentului de pornire (3.30) cît și a curentului din in-

fășurarea de pornire (3.25 b), raportul puterilor aparente -la pornire- se analizează cu:

$$\frac{S_{Cp}}{S_p} = X'_K \frac{[R_p - k(R_p - R_A)\cos\theta]^2 + [X_p - k(X_p - X_{Av})\cos\theta]^2}{[(C_1 + D_1 X'_K)^2 + (E_1 - F_1 X'_K)^2]^{\frac{1}{2}} [G^2 + (H - k^2 X'_K)^2]^{\frac{1}{2}}} \quad (3.47)$$



Puncte experimentale ( $k = 0,755$ ;  $g = 3,5086$ ;  $\xi = 1,66477$ ): + pentru  $\theta = 60$ ;  $\Delta$  pentru  $\theta = 75$ ;  $\circ$  pentru  $\theta = 90$ ;  $\square$  pentru  $\theta = 105$ ;  $\times$  pentru  $\theta = 120$ .

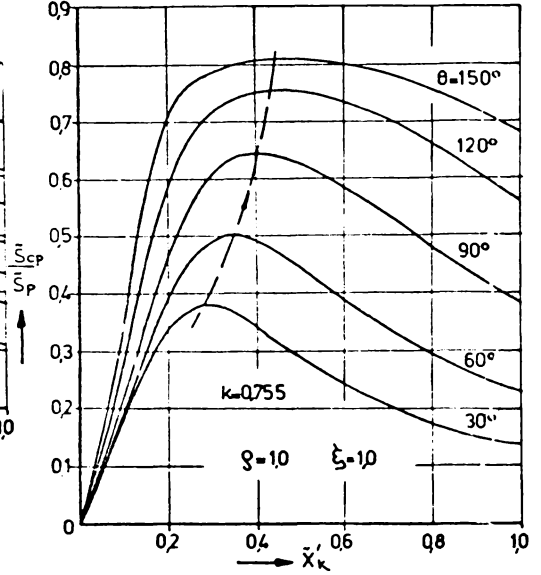
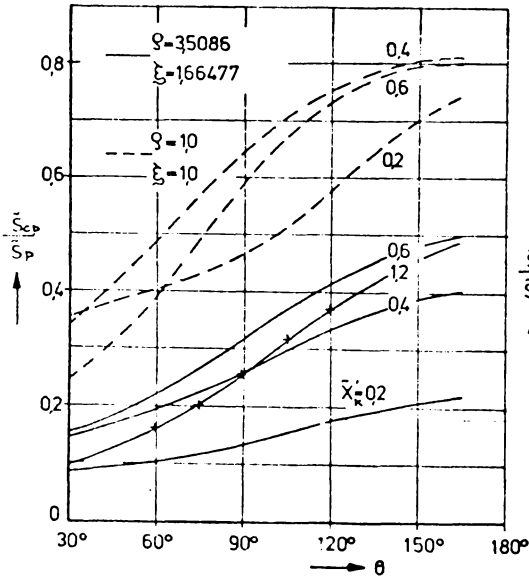


Fig. 3.20



+ puncte experimentale ( $\tilde{X}'_K = 1,2$ )

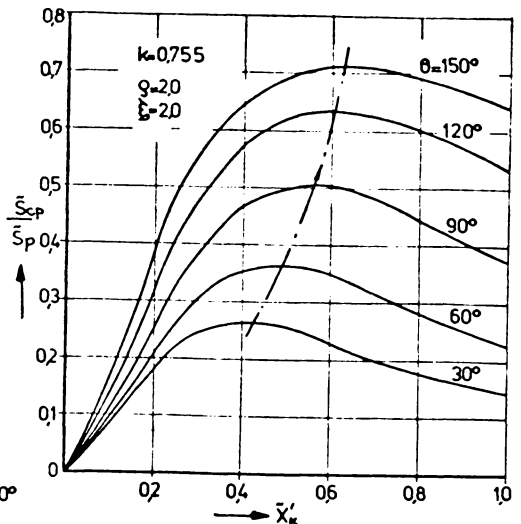


Fig. 3.22

Pentru motorul analizat, variația raportului  $\tilde{S}_{Cp}/\tilde{S}_p = f(\tilde{X}'_K)$  este reprezentată în fig.3.19.

La modificarea înfășurării de pornire, același raport s-a studiat în fig.3.20 (pentru  $\varphi = 1,0$ ;  $\xi = 1,0$ ) și în fig.3.22 (pentru  $\varphi = 2,0$  și  $\xi = 2,0$ ). Pentru fiecare caz în parte, cu linie-punct s-a figurat și caracteristica  $(\tilde{S}_{Cp}/\tilde{S}_p)_{\max} = f(\tilde{X}'_K)$ .

Variația raportului  $\tilde{S}_{Cp}/\tilde{S}_p$  cu unghiul  $\theta$  -pentru câteva valori ale reactanței capacitive  $X'_K$  - este reprezentată în fig.3.21.

### 3.5.2 Motoare de inducție monofazate cu fază rezistivă de pornire.

Pentru aceste tipuri de motoare asincrone monofazate vom studia influența unghiului  $\theta$  și a rezistenței înfășurării de pornire asupra următoarelor mărimi: 1.Curentul de pornire  $I_p$ ; 2.Momentul electromagnetic de pornire  $M_p$ ; 3.Raportul dintre moment și curentul de pornire  $M_p/I_p$  și 4.Raportul dintre moment și pierderile electrice din înfășurările statorului la pornire  $M_p/P_p$ .

De asemenea se vor stabili relații de dimensionare a rezistenței înfășurării de pornire din condițiile: a.  $M_p = \max.$ ; b.  $M_p =$  valoare impusă și c.  $M_p/P_p = \max.$

Toate expresiile stabilite în acest paragraf presupun cunoscute atât înfășurarea principală (A) a motorului precum și parametrii coliviei rotorice (reduși la ea). De fapt aceste elemente sînt dimensionate inițial, pe baza datelor nominale din tema de proiectare a motorului.

Reprezentările grafice sînt construite în mărimi relative. Mărimile de raportare (de bază) sînt aceleași ca în § 3.5.1.

Organigrama de calcul este indicată în fig.3.23.

În plus, acolo unde a fost posibil, s-au înregistrat și rezultatele încercărilor experimentale.

#### 3.5.2.1 Curentul de pornire.

Dacă  $R_B$  este rezistența electrică totală a înfășurării de pornire și notăm  $\varphi = R_B/k^2 R_A$ , curentul absorbit la pornire de motorul asincron monofazat cu rotor simetric și fază (general nesimetrică) rezistivă de pornire se determină cu:

$$I_p = \frac{U}{k^2} \cdot \sqrt{\frac{G'^2 + (H' + \varphi L')^2}{(C'_S - D'_1)^2 + (E'_S - F'_1)^2}} \quad (3.48)$$

în care:

$$\begin{aligned} G'^2 &= \left[ \xi k^2 X_{Av} + X_p + (X_p - X_{Av})(k^2 - 2k \cos \theta) \right]^2 \\ H' &= R_p + (R_p - R_A)(k^2 - 2k \cos \theta) \\ L' &= k^2 R_A \\ C'_S &= R_A R_p \\ D'_1 &= R_A R_p + (\xi - 1) X_p X_{Av} + X_p^2 - R_p^2 + [(R_p - R_A)^2 - (X_p - X_{Av})^2] \cos^2 \theta \end{aligned} \quad (3.49)$$

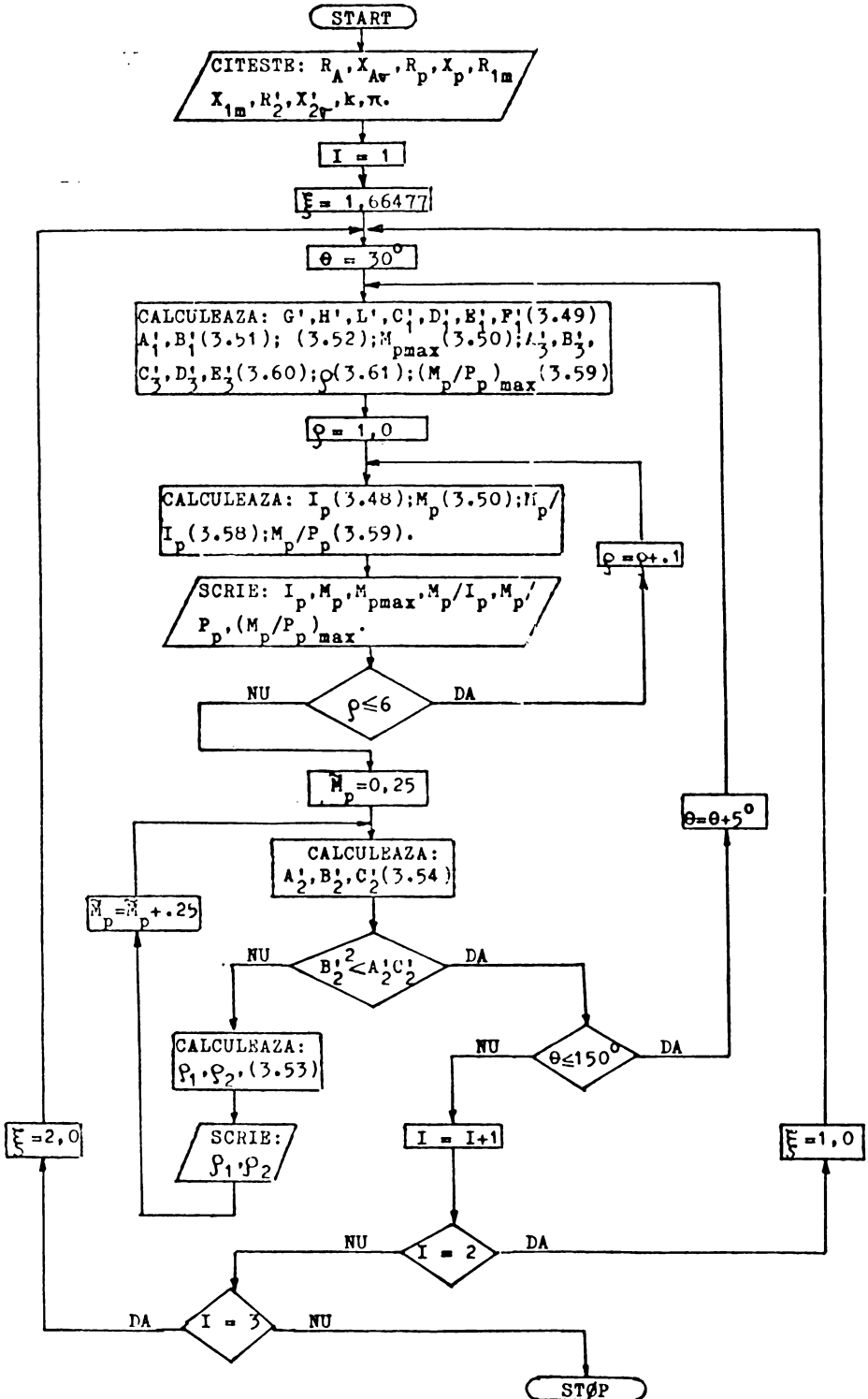


Fig.3.23

$$E_1' = R_A X_p$$

$$F_1' = R_A X_p - (\xi - 1) R_p X_{Av} - 2R_p X_p + 2(R_p - R_A)(X_p - X_{Av}) \cos^2 \theta$$

Variația curentului de pornire cu mărimea parametrului  $\varphi$ .  $\tilde{I}_p = f(\varphi)$ , pentru câteva valori ale unghiului  $\theta$ , este prezentată în fig.3.24 și 3.25.

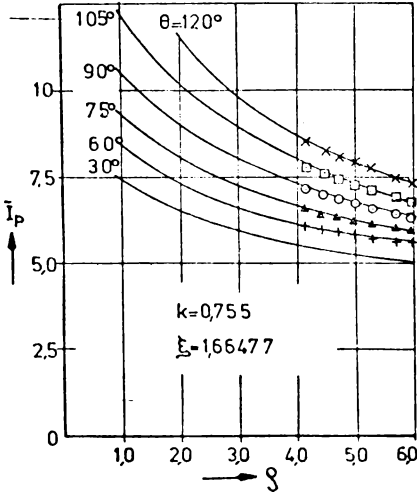


Fig.3.24

Puncte experimentale ( $k = 0,755$ ;  $\xi = 1,66477$ ): + pentru  $\theta = 60^\circ$ ;  $\Delta$  pentru  $\theta = 75^\circ$ ;  $\circ$  pentru  $\theta = 90^\circ$ ;  $\square$  pentru  $\theta = 105^\circ$ ;  $\times$  pentru  $\theta = 120^\circ$

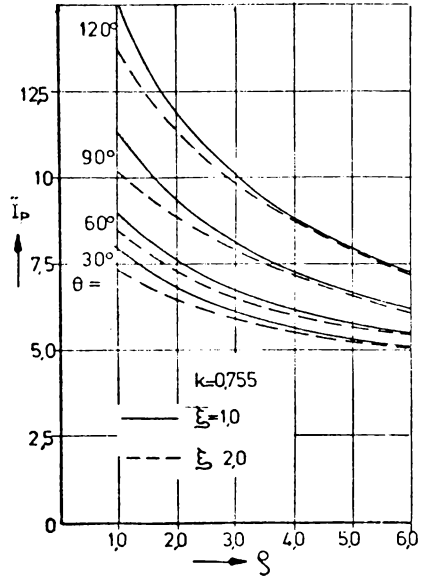
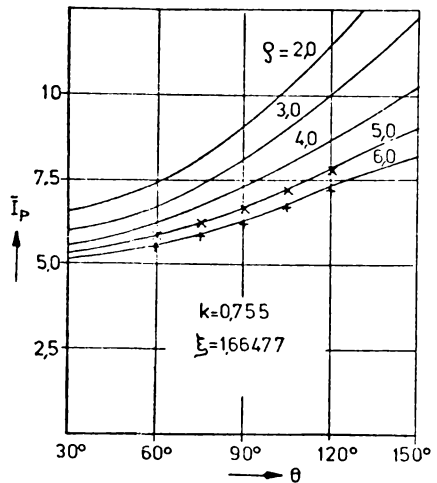


Fig.3.25

(Aici și în continuare, punctele experimentale corespund unui motor asincron monofazat cu  $\tilde{R}_A = 0,10356$ ;  $\tilde{X}_{Av} = 0,05636$ ;  $\tilde{X}_p = 0,16338$ ;  $\tilde{R}_p = 0,18318$ ;  $\tilde{R}_{1m} = 0,17134$ ;  $\tilde{X}_{1m} = 2,4518$ ;  $\tilde{R}'_2 = 0,06296$ ;  $\tilde{X}'_{2v} = 0,07138$ ;  $k = 0,755$ ;  $\xi = 1,66477$ . Parametrii rotorici s-au raportat la numărul efectiv de spire al înfășurării principale A. Constanta  $\xi$  are semnificația dată de (3.28)).

Fig.3.26

Puncte experimentale ( $k = 0,755$ ;  $\xi = 1,66477$ ): + pentru  $\varphi = 6,0$ ;  $\times$  pentru  $\varphi = 5,0$



În fig.3.25, cu linie continuă sînt trasate caracteristicile corespunzătoare parametrului  $\xi = 1,0$  iar cu linie întreruptă -cele pentru  $\xi = 2,0$ .

Variația curentului de pornire cu unghiul  $\theta$ ,  $\tilde{I}_p = f(\theta)$ , pentru câteva valori constante ale coeficientului  $\varphi$ , este reprezentată în fig.3.26.

3.5.2.2 Momentul de pornire.

Momentul electromagnetic dezvoltat la pornire de motorul asincron monofazat (cu rotor simetric și fază rezistivă de pornire), calculat pe baza expresiilor generale (3.27) și (3.24), poate fi scris sub forma:

$$M_p = \frac{2pU^2 R'_0 \sin \theta}{\omega_1 k^2} \cdot \frac{A'_1 \varphi - B'_1}{(C'_1 \varphi - D'_1)^2 + (E'_1 \varphi - F'_1)^2} \quad (3.50)$$

cu

$$R'_0 = \frac{R'_2 (R_{1m}^2 + X_{1m}^2)}{(R'_2 + R_{1m})^2 + (X'_{2\sigma} + X_{1m})^2}$$

$$A'_1 = k [(1 - k \cos \theta) R_A X_p + k \cos \theta R_A X_{A\sigma}] \quad (3.51)$$

$$B'_1 = [(1 - \xi k^2) \cos \theta + (\xi - 1) k] R_p X_{A\sigma} + (k - \cos \theta) R_A X_p + \xi k^2 \cos \theta R_A X_{A\sigma}$$

iar  $C'_1, D'_1, E'_1$  și  $F'_1$  sînt aceași ca în (3.45).

Dependența momentului de pornire de rezistența totală a fazei de pornire este reprezentată în fig. 3.27, fig.3.28 și fig.3.29, (pentru diferite valori ale parametrului  $\xi$  și cîteva unghiuri  $\theta$  dintre axele înfășurărilor statorice).

Fig.3.27

Puncte experimentale: + pentru  $\theta = 60^\circ$ ;  $\Delta$  pentru  $\theta = 75^\circ$ ;  $\circ$  pentru  $\theta = 90^\circ$ ;  $\square$  pentru  $\theta = 105^\circ$ ;  $\times$  pentru  $\theta = 120^\circ$ .

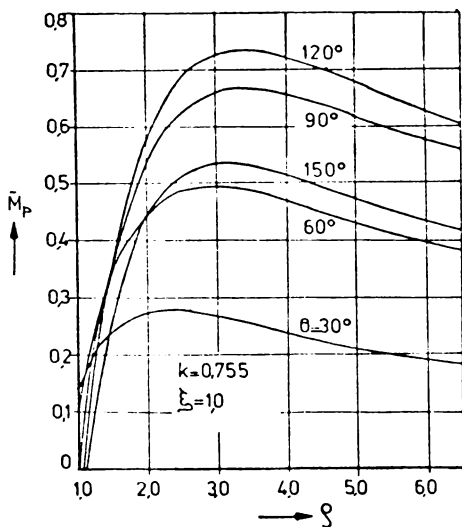
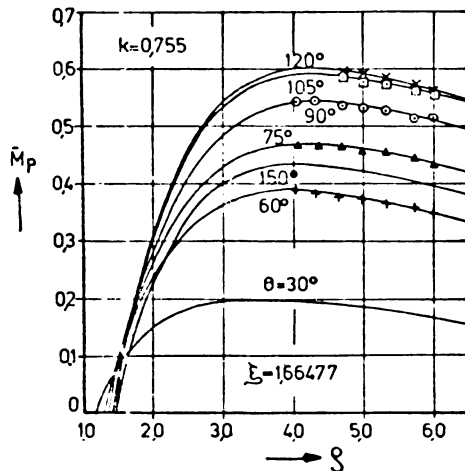


Fig.3.28

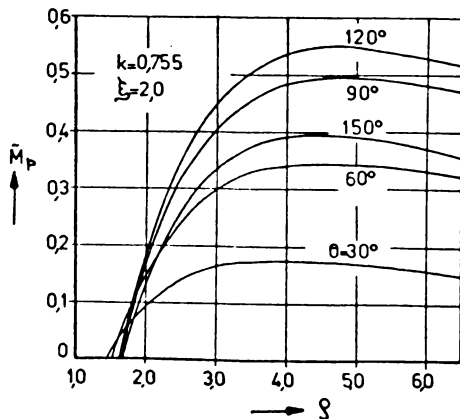


Fig.3.29

Observând monotonia dependenței  $M_p = f(\varphi)$  la  $\theta = \text{const.}$ , se poate stabili valoarea rezistenței totale  $R_B$  a fazei de pornire (B) pentru care momentul de pornire este maxim. Aceasta se calculează cu  $R_B = \varphi k^2 R_A$ , în care:

$$\varphi = \frac{B'_1}{A'_1} + \sqrt{\frac{B'_1{}^2}{A'_1{}^2} + \frac{D'_1{}^2 + F'_1{}^2}{C'_1{}^2 + E'_1{}^2} - 2 \frac{B'_1}{A'_1} \cdot \frac{C'_1 D'_1 + E'_1 F'_1}{C'_1{}^2 + E'_1{}^2}} \quad (3.52)$$

(Expresia de mai sus a fost stabilită din ecuația:  $dM_p/d\varphi = 0$ )

Variația momentului de pornire cu unghiul  $\theta$ ,  $\tilde{M}_p = f(\theta)$ , pentru  $\varphi = \text{const.}$  și  $\xi = \text{const.}$ , este prezentată în fig.3.30.

Așa cum se observă, aceste tipuri de motoare asincrone monofazate dezvoltă cuplul maxim la pornire numai dacă faza auxiliară este dispusă la  $120^\circ$  el.

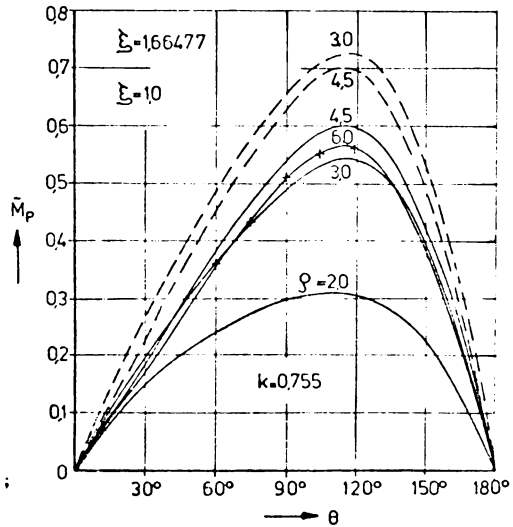


Fig.3.30  
+ puncte experimentale ( $k = 0,755$ ;  
 $\xi = 1,66477$  și  $\varphi = 6,0$ )

De multe ori, în proiectarea motoarelor asincrone monofazate cu fază rezistivă de pornire se impune mărirea cuplului de pornire. În acest caz, rezistența electrică totală a fazei de pornire se va determina tot cu  $R_B = \varphi k^2 R_A$ , însă în care:

$$\varphi_{1,2} = \frac{B'_2}{A'_2} \pm \sqrt{\frac{B'_2{}^2}{A'_2{}^2} - \frac{C'_2}{A'_2}} \quad (3.53)$$

cu

$$\begin{aligned} A'_2 &= C'_1{}^2 + E'_1{}^2 \\ B'_2 &= C'_1 D'_1 + E'_1 F'_1 + \frac{pU^2}{\omega_1} \cdot \frac{R'_0 \sin \theta}{M_p k^2} \cdot A'_1 \\ C'_2 &= D'_1{}^2 + F'_1{}^2 + 2 \frac{pU^2}{\omega_1} \cdot \frac{R'_0 \sin \theta}{M_p k^2} \cdot B'_1 \end{aligned} \quad (3.54)$$

Problema are soluții numai dacă  $B'_2{}^2 - A'_2 C'_2 \geq 0$ . În caz contrar, se schimbă raportul de transformare  $k$  (respectiv numărul efectiv de spire al înrășurării de pornire).

Dependența grafică  $\varphi = f(\theta)$  corespunzătoare momentelor de pornire  $\tilde{M}_p = 0,25$ ; respectiv  $0,5$  este reprezentată în fig.3.31 (pentru  $\xi = 1,0$ ), fig.3.32 (pentru  $\xi = 1,66477$ ) și în fig.3.33 (pentru  $\xi = 2,0$ ).

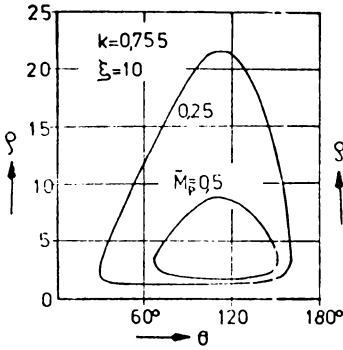


Fig. 3.31

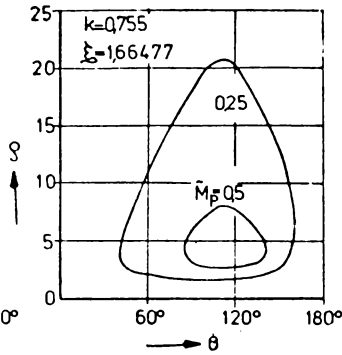


Fig. 3.32

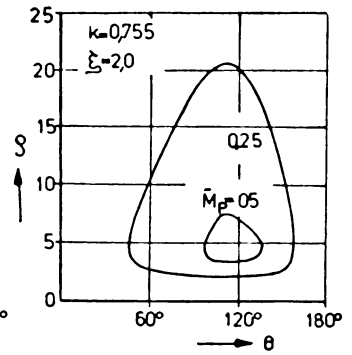


Fig. 3.33

Raportul de transformare  $k$  intervine explicit în expresia momentului de pornire. Influența lui poate fi apreciată numai după rescrierea relației (3.50) sub forma:

$$M_p = \frac{2pU^2}{\omega_1} \cdot \frac{R'_o \sin \theta}{(C'_1 \varphi - D'_1)^2 + (E'_1 \varphi - F'_1)^2} \cdot \frac{1 \cdot k^2 + m'k + n'}{k^2} \quad (3.55)$$

în care:

$$\begin{aligned} 1' &= [\xi(R_p - R_A)X_{Av} - (X_p - X_{Av})R_A] \cos \theta \\ m' &= (\varphi - 1)R_A X_p - (\xi - 1)R_p X_{Av} \\ n' &= (R_A X_p - R_p X_{Av}) \cos \theta \end{aligned} \quad (3.56)$$

Dacă  $\theta = 90^\circ$  e. i., momentul electromagnetic dezvoltat la pornire de motorul asincron monofazat cu fază rezistivă de pornire este invers proporțional cu raportul de transformare  $k$ .

Dacă  $\theta \neq 90^\circ$  e. i., momentul de pornire poate avea o valoare extremă (în raport cu  $k$ ) numai dacă:

$$k = \frac{2(R_p X_{Av} - R_A X_p) \cos \theta}{(\varphi - 1)R_A X_p - (\xi - 1)R_p X_{Av}} \quad (3.57)$$

### 3.5.2.3 Raportul dintre momentul electromagnetic și curent, la pornire.

Raportul dintre momentul electromagnetic și curentul de pornire sau cuplul specific de pornire corespunzător motorului asincron monofazat cu fază rezistivă de pornire se calculează cu:

$$\frac{M_p}{I_p} = \frac{2pUR'_o \sin \theta}{\omega_1} \cdot \frac{A'_1 \varphi - B'_1}{[(C'_1 \varphi - D'_1)^2 + (E'_1 \varphi - F'_1)^2]^{1/2} \cdot [G'^2 + (H' + \varphi L')^2]^{1/2}} \quad (3.58)$$

Datorită complexității analitice a expresiei (3.58), în continuare se prezintă numai câteva rezultate grafice - probate de încercări experimentale.



Variația cuplului specific de pornire (în u.r.) cu mărirea rezistenței electrice totale a fazei de pornire,  $\tilde{M}_p/\tilde{I}_p = f(\varphi)$ , pentru  $\theta = \text{const.}$  ( $30^\circ$ ,  $60^\circ$ ,  $75^\circ$ ,  $90^\circ$ ,  $120^\circ$  și  $150^\circ$ ) este prezentată în fig.3.34.

În fig.3.35 s-a reprezentat influența decalajului spațial  $\theta$  (dintre axele înfășurărilor statorice) asupra cuplului specific  $M_p/I_p$ , dacă  $\varphi = \text{const.}$

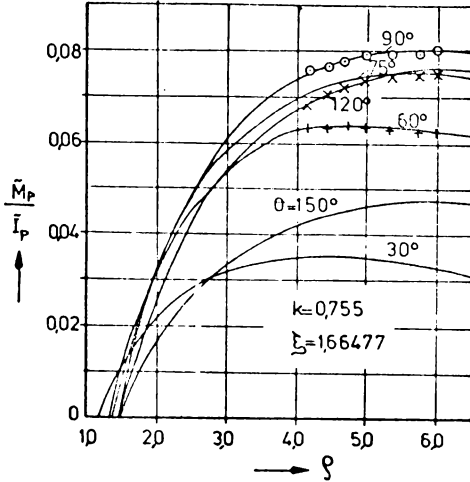


Fig.3.34

Puncte experimentale ( $k = 0,755$ ;  $\xi = 1,66477$ ): + pentru  $\theta = 60^\circ$ ;  $\Delta$  pentru  $\theta = 75^\circ$ ;  $\circ$  pentru  $\theta = 90^\circ$  și  $\times$  pentru  $\theta = 120^\circ$ .

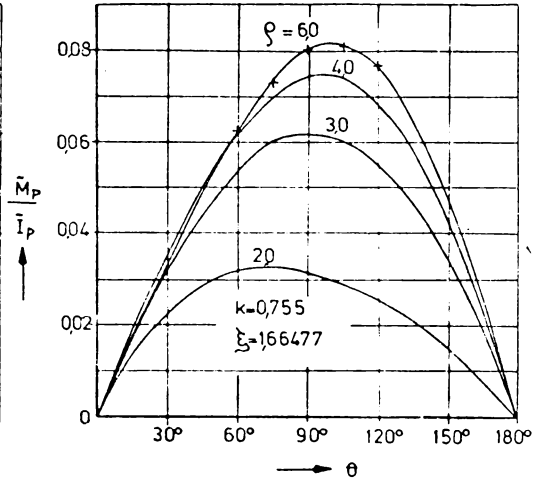


Fig.3.35

+ puncte experimentale ( $k = 0,755$ ;  $\xi = 1,66477$  și  $\varphi = 6,0$ ).

Practic și la motoarele asincrone monofazate cu fază rezistivă de pornire (și  $k < 1$ ), maximum maximorum raportului  $M_p/I_p$  este obținut numai dacă înfășurările statorice sînt în cuadratură electrică.

### 3.5.2.4 Raportul dintre momentul electromagnetic și pierderile din înfășurările statorului, la pornire.

La motoarele asincrone monofazate cu fază rezistivă de pornire, realizată cu spire întoarse (neinductive), mărirea pierderilor electrice disipate în înfășurările statorului -la pornire ( $P_p = R_A I_{Ap}^2 + R_B I_{Bp}^2$ ) - constituie un indicator de bază referitor la încălzirea acestora.

Analitic, raportul  $M_p/P_p$  se poate studia cu:

$$\frac{M_p}{P_p} = \frac{2 p \sin \theta}{\omega_1} \cdot \frac{R'_0}{R_A} \cdot \frac{A'_3 \varphi - B'_3}{C'_3 \varphi^2 + D'_3 \varphi + E'_3} \quad (3.59)$$

în care:

$$\begin{aligned} A'_3 &= A'_1; & B'_3 &= B'_1; & C'_3 &= k^2 R_A^2 \\ D'_3 &= 2kR_A(R_p - R_A)(k - \cos \theta) + [R_p - k(R_p - R_A)\cos \theta]^2 + [X_p - k(X_p - X_{A\sigma})\cos \theta]^2 \\ E'_3 &= [\xi k X_{A\sigma} + (X_p - X_{A\sigma})(k - \cos \theta)]^2 \end{aligned} \quad (3.60)$$

Dependența raportului  $\frac{\tilde{M}_p}{\tilde{P}_p}$  de mărimea rezistenței electrice totale a fazei de pornire (pentru  $\theta = \text{const.}$ ) este ilustrată în fig.3.36.

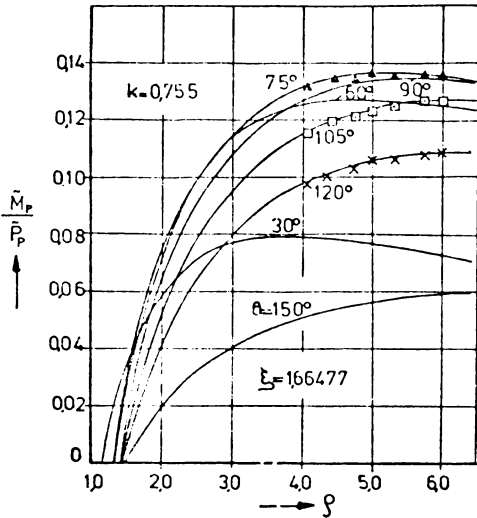


Fig.3.36

Puncte experimentale ( $k = 0,755; \xi = 1,66477$ ):  $\Delta$  pentru  $\theta = 60^\circ$ ;  $\triangle$  pentru  $\theta = 75^\circ$ ;  $\circ$  pentru  $\theta = 90^\circ$ ;  $\square$  pentru  $\theta = 105^\circ$  și  $\times$  pentru  $\theta = 120^\circ$ .

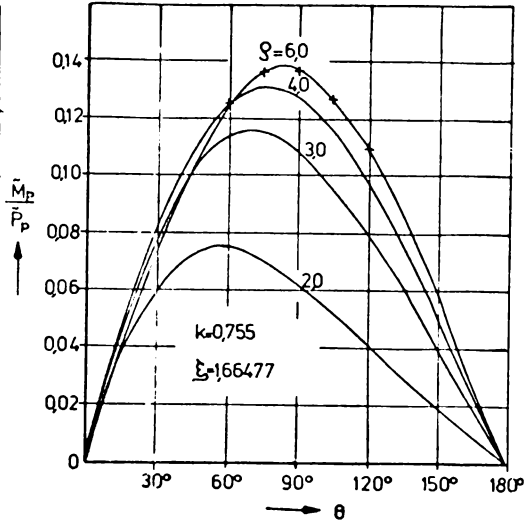


Fig.3.37

+ puncte experimentale ( $k = 0,755; \xi = 1,66477; \sigma = 6,0$ )

Avînd în vedere și cerința impusă momentului de pornire, practic se dorește o valoare cît mai mare pentru raportul  $M_p/P_p$ .

Concret, mărimea rezistenței totale a fazei rezistive de pornire (B) care asigură maximum raportului analizat va fi determinată cu  $R_B = \xi k^2 R_A$  în care:

$$\sigma = \frac{B'_3}{A'_3} + \sqrt{\left(\frac{B'_3}{A'_3}\right)^2 + \frac{B'_3}{C'_3} + \frac{B'_3 D'_3}{A'_3 C'_3}} \quad (3.61)$$

Variația raportului  $M_p/P_p$  cu unghiul  $\theta$  (dintre axele înfășurărilor statorice) este prezentată în fig.3.37 pentru cîteva valori constante ale parametrului  $\sigma$ .

### 3.5.3 Motoare de inducție monofazate cu fază de pornire de tip complex.

La aceste tipuri de motoare asincrone monofazate, convertorul static de fază -înscriat cu înfășurarea de pornire B- este de tipul RL sau, mai frecvent, de tipul RC.

Impedanța echivalentă a convertorului static de fază este  $Z_K = Z_K e^{j\varphi_K}$ . Argumentul  $\varphi_K$  (egal cu  $-90^\circ$ , 0 sau  $+90^\circ$  atunci cînd pentru pornire se utilizează condensatori, rezistori sau bobine ideale) poate avea -în general- orice valoare din intervalul  $(-90^\circ, +90^\circ)$ .

Impedanța echivalentă la pornire a înfășurării principale A este  $\underline{Z}_p = Z_p e^{j\varphi_p}$ . Uzual,  $20^\circ < \varphi_p < 70^\circ$ . Analitic, atât modulul cât și argumentul impedanței  $\underline{Z}_p$  depind de mărimea parametrilor statorici și rotorici și pot fi calculate pe baza schemei electrice echivalente la pornire.

În plus, impedanța  $\underline{Z}_p$  poate fi determinată și experimental.

Cu aceste precizări introductive, vom defini variabila complexă  $y$ :

$$y = \frac{\underline{Z}}{\underline{Z}_p} = ye^{-j\phi_p} \quad (3.62)$$

cu:  $\underline{Z} = \underline{Z}_K + \underline{Z}_{BS}$ ;  $y = \underline{Z}/\underline{Z}_p$  și  $\phi_p = \varphi_p - \text{Arg}(\underline{Z})$  (3.63)

în care  $\underline{Z}_{BS}$  este impedanța de simetrizare a înfășurării de pornire B și este definită de (3.1).

Implicit, din (3.63) rezultă și intervalul în care  $\phi_p$  ia valori. De exemplu, dacă convertorul static de fază este de tipul RC, atunci  $20^\circ < \phi_p < 160^\circ$ .

Din considerente analitice, vom defini -în plus- constanta complexă  $a$ :

$$a = \frac{R_A + jX_{AV}}{\underline{Z}_p} = ae^{-j\alpha} \quad (3.64)$$

cu:  $a = (R_A^2 + X_{AV}^2)^{1/2} / (R_p^2 + X_p^2)^{1/2}$  și  $\alpha = \varphi_p - \arctg \frac{X_{AV}}{R_A}$  (3.65)

Cantitativ, pentru aceste tipuri de motoare asincrone monofazate, vom studia influența unghiului  $\theta$  și a convertorului static de fază (prin modulul său  $y$  cât și prin caracterul său  $\phi_p$ ) asupra următoarelor mărimi: 1. Factorii de nesimetrie; 2. Curenții de pornire și 3. Momentul de pornire.

Se stabilesc relații analitice de dimensionare a mărimii convertorului static de fază  $y$  (la  $\phi_p$  impus) din condițiile: a.  $\xi_{1I} = 0$  (anularea gradului de disimetrie al curenților) și b.  $M_p = \max$ .

Reprezentările grafice aferente sînt construite în mărimi relative. (Ca mărimi de bază s-au ales mărimile corespunzătoare din regimul bifazat simetric.) Valorile numerice ale parametrilor, pentru care s-au construit toate diagramele din acest paragraf, corespund motorului asincron monofazat studiat în /109/.

### 3.5.3.1 Factorii de nesimetrie.

La pornire, cînd și înfășurarea de pornire este alimentată, în stator ia naștere un sistem bifazat general nesimetric de curenți. În astfel de regimuri dezecnilbrate s-au definit: 1. gradul de disimetrie  $\xi_1$  (3.18) și 11. gradul de asimetrie  $\xi_0$  (3.19).

(Se poate demonstra că mărimea gradului de disimetrie al curenților influențează nefast performanțele motorului la pornire: diminuarea momentului electromagnetic, creșterea pierderilor, zgomote, vibrații etc. Din acest punct

de vedere se dorește o valoare cât mai redusă --în particular chiar nulă- a lui.)

Pentru curenți, expresiile generale (3.20) și (3.22) ale factorilor de nesimetrie, pot fi rescrise sub forma:

$$\xi_{iI} = \frac{|y - jk \sin \theta \cdot (ke^{+j\theta} - 1) + k \cos \theta \cdot \underline{a}(ke^{+j\theta} + 1)|}{|y + jk \sin \theta \cdot (ke^{-j\theta} - 1) + k \cos \theta \cdot \underline{a}(ke^{-j\theta} + 1)|} \quad (3.66)$$

$$\xi_{oI} = \frac{2|\cos \theta| |y + k(k+1)[1 - (1-\underline{a})\cos \theta]|}{|y + jk \sin \theta \cdot (ke^{-j\theta} - 1) + k \cos \theta \cdot \underline{a}(ke^{-j\theta} + 1)|} \quad (3.67)$$

Analitic, gradul de disimetrie al curenților (3.66) poate fi privit ca o funcție reală de trei variabile reale  $\xi_{iI} = \xi_{iI}(\theta, y, \phi_p)$  dacă  $k$ ,  $a$  și  $\alpha$  sînt considerați drept parametri la o construcție dată.

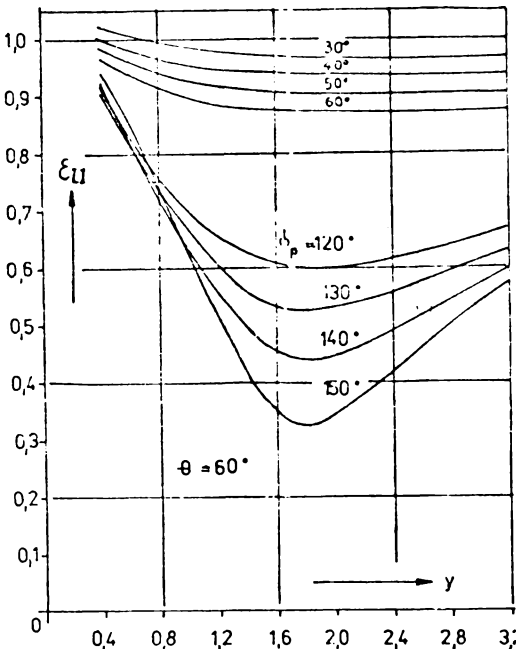


Fig.3.38

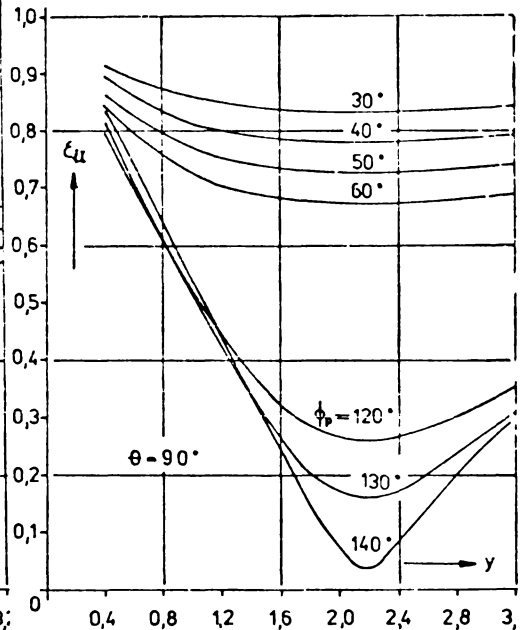


Fig.3.39

În fig.3.38, fig.3.39 și fig.3.40 s-a reprezentat variația gradului de disimetrie al curenților la pornire cu mărimea convertorului static de fază  $y$ ,  $\xi_{iI} = f(y)$  pentru  $\theta = 60^\circ$ ,  $90^\circ$  și respectiv  $120^\circ$ . (Familii de curbe prezentate au drept parametru argumentul  $\phi_p$ . Valorile numerice considerate pentru acesta sînt:  $30^\circ$ ,  $40^\circ$ ,  $50^\circ$ ,  $60^\circ$ ,  $120^\circ$ ,  $130^\circ$ ,  $140^\circ$  și  $150^\circ$ .)

Pentru aprecierea influenței caracterului convertorului static de fază, separat s-au construit și dependențele  $\xi_{iI} = f(\phi_p)$  în condițiile:  $\theta = \text{const.}$  și  $y = \text{const.}$  Pentru  $\theta = 90^\circ$ ,  $100^\circ$ ,  $110^\circ$  și  $120^\circ$ , acestea sînt reprezentate în fig.3.41 (pentru  $y = 1,6$ ), fig.3.42 (pentru  $y = 2,0$ ) și fig.3.43 (pentru

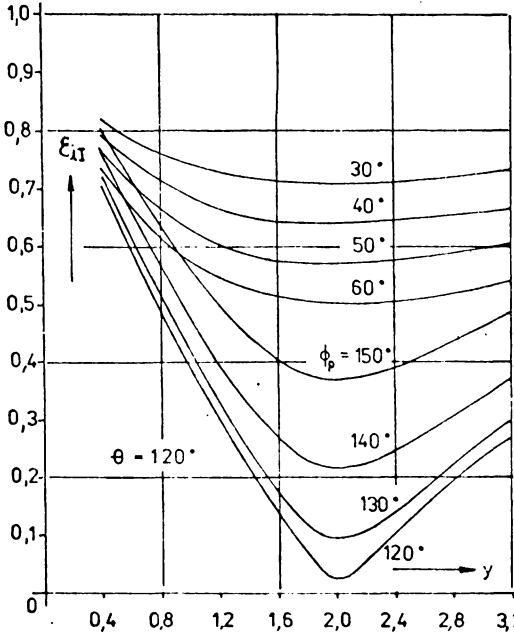


Fig. 3.40

$y = 2,4$ ).

Avînd în vedere și relațiile (3.62) și (3.64) de definire a mărimilor complexe  $y$  și  $a$ , sîntem în măsură să stabilim analitic condițiile anulării cîmpului invers din mașină, la pornire.

Acestea sînt conținute în sistemul:

$$y \cdot \cos \phi_p = -k^2 \sin^2 \theta - k \cos \theta \cdot [\cos(\theta - \alpha) + \cos \alpha] \quad (3.68)$$

$$y \cdot \sin \phi_p = -k \sin \theta \cdot (k \cos \theta - 1) + k \cos \theta [\sin(\theta - \alpha) - \sin \alpha]$$

Pentru un motor asincron monofazat (la care se cunoaște unghiul  $\theta$  și caracterul convertorului static de fază -prin valoarea argumentului  $\phi_p$ ), sistemul (3.68) permite stabilirea raportului de transformare  $k$ :

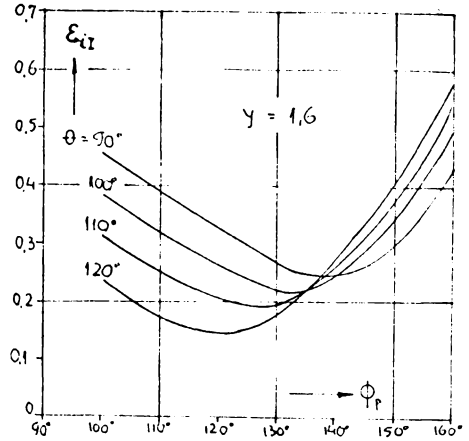


Fig. 3.41

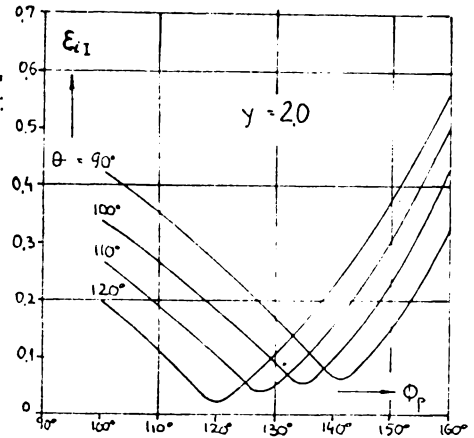


Fig. 3.42

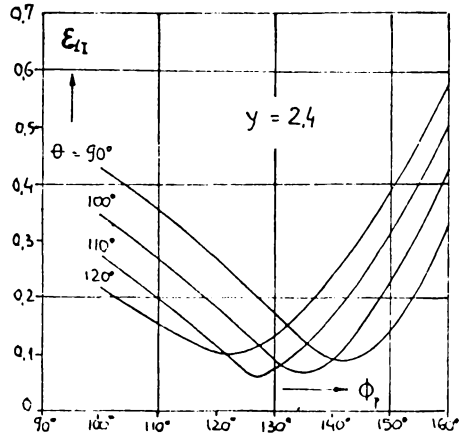


Fig. 3.43

$$k = \frac{\cos\phi_p + a \cdot \operatorname{ctg}\theta \cdot \sin(\phi_p - \alpha)}{\cos(\theta + \phi_p) - a \cdot \operatorname{ctg}\theta \cdot \sin(\theta + \phi_p - \alpha)} \quad (3.69)$$

sau mărirea argumentului  $\phi_p$  (pentru o construcție dată a fazei de pornire):

$$\operatorname{tg}\phi_p = \frac{k \sin\theta \cdot (\operatorname{kg}\cos\theta - 1) - a \operatorname{kg}\cos\theta [k \sin(\theta - \alpha) - \sin\alpha]}{k^2 \sin^2\theta + a \operatorname{kg}\cos\theta [k \cos(\theta - \alpha) + \cos\alpha]} \quad (3.70)$$

În plus, se poate determina și valoarea impedanței convertorului static de fază (care asigură  $\mathcal{E}_{1I} = 0$ ) cu relația:

$$y = k \left\{ (k^2 + 1) [(\sin\theta + a \cdot \cos\theta)^2 - a \cdot \sin 2\theta \cdot (1 - \sin\alpha)] + 2 \operatorname{kg}\cos\theta \cdot [a^2 \cos^2\theta + \sin^2\theta \cdot (2a \cos\alpha - 1)] - 2a \cdot \sin 2\theta \cdot \sin\alpha \right\}^{1/2} \quad (3.71)$$

Dacă se înlocuiește  $\theta = 90^\circ$  el., relațiile de mai sus devin:

$$k = -\operatorname{ctg}\phi_p \quad \text{și} \quad y = k(k^2 + 1)^{1/2} \quad (3.72)$$

adică tocmai expresiile stabilite de Jha în /84/ pentru motoarele asincrone monofazate cu înfășurarea de pornire în cuadratură electrică.

În plus, dacă și  $\operatorname{Arg}(Z) = -90^\circ$ , obținem:

$$k = \operatorname{tg}\varphi_p \quad \text{și} \quad X_K = X_p / \cos^2\varphi_p \quad (3.73)$$

în care  $X_p = Z_p \sin\varphi_p$  (adică chiar reactanța înfășurării principale A, la pornire). Astfel, s-au regăsit exact relațiile clasice /10/, /76/, /104/, /162/ /201/ etc. de dimensionare a motorului asincron monofazat cu fază capacitivă de pornire (în cuadratură electrică), la pornirea în regim bifazat simetric.

### 3.5.3.2 Curenții la pornire.

Cu notațiile (3.62) și (3.64), curenții din cele două înfășurări statoreice (principală A și de pornire B) ale motorului de inducție monofazat - raportati la curentul de fază al motorului bifazat simetric - sînt dați de:

$$\left( \frac{I_A}{I_s} \right)_p = \frac{|y + k^2 - \operatorname{kg}\cos\theta \cdot (1 - \underline{a})|}{|y + k^2 \cdot [1 - \cos^2\theta \cdot (1 - \underline{a})^2]|} \quad (3.74)$$

$$\left( \frac{I_B}{I_s} \right)_p = \frac{|1 - \operatorname{kg}\cos\theta \cdot (1 - \underline{a})|}{|y + k^2 \cdot [1 - \cos^2\theta \cdot (1 - \underline{a})^2]|} \quad (3.75)$$

Expresiile (3.74) și (3.75) sînt foarte generale, valabile pentru orice decalaj spațial  $\theta$  (dintre axele înfășurărilor statoreice) și orice tip de convertor static de fază utilizat pentru pornire. Din punct de vedere analitic, expresiile de mai sus sînt relativ complicate, dar dacă sînt cunoscuți parametrii mașinii asincrone monofazate pot fi utilizate la studiul variației curenților statoreici ( fie cu  $y$  cînd  $\theta$  și  $\phi_p$  sînt fixați, fie cu  $\theta$  cînd  $y$  și  $\phi_p$  sînt fixați, fie cu  $\phi_p$  cînd  $y$  și  $\theta$  sînt fixați).

În fig.3.44, fig.3.45, fig.3.46 și fig.3.47 sînt reprezentate (cu linie

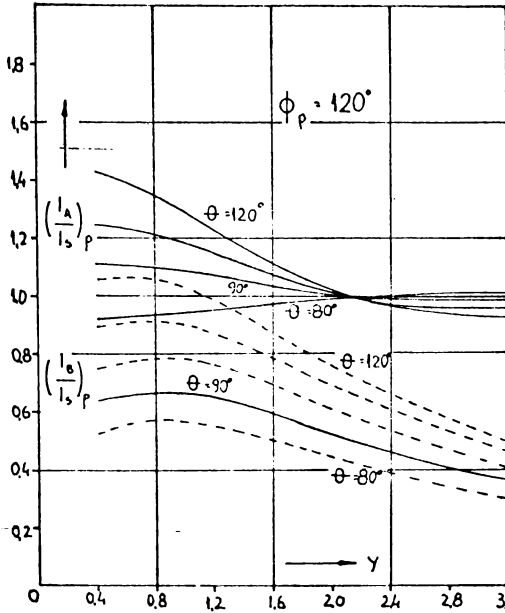


Fig. 3.44

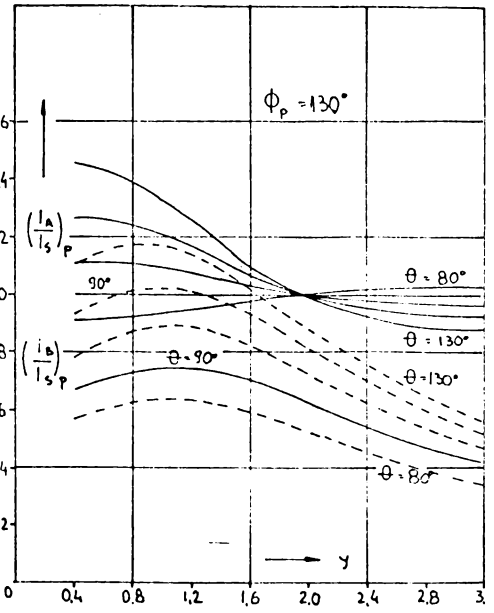


Fig. 3.45

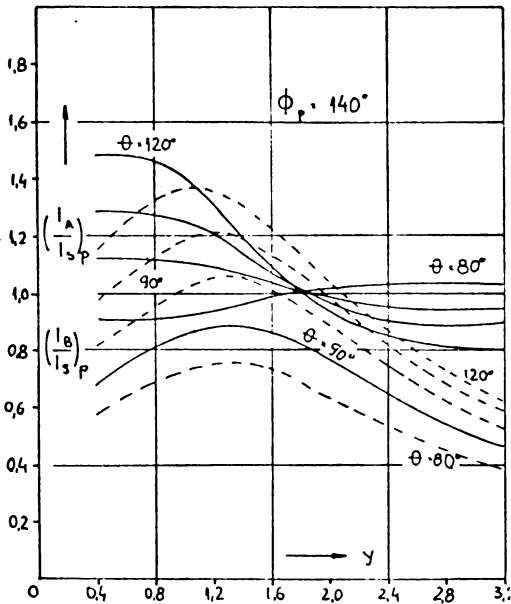


Fig. 3.46

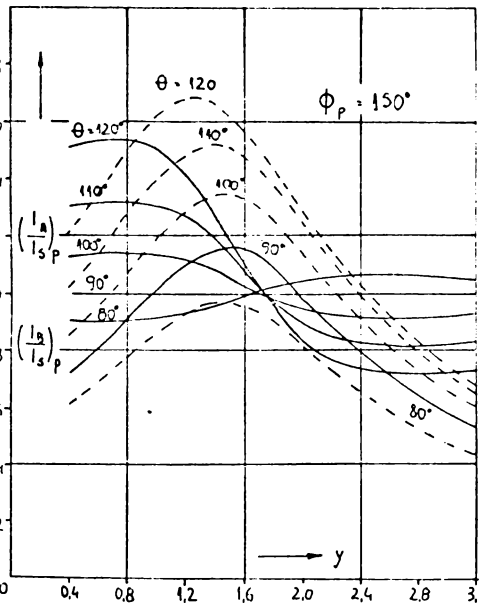


Fig. 3.47

continuă și respectiv cu linie întreruptă) dependențele  $(I_A/I_S)_p = f(y)$  și  $(I_B/I_S)_p = f(y)$ , pentru  $\phi_p = 120^\circ, 130^\circ, 140^\circ$  și  $150^\circ$ . În plus, pentru fiecare valoare a argumentului  $\phi_p$  s-au reprezentat caracteristicile curentilor corespunzătorii decalajelor spațiale  $\theta = 80^\circ, 90^\circ, 100^\circ, 110^\circ$  și  $120^\circ$ .

Numai cînd înfășurările satorice sînt în cuadratură electrică obți-

$$\text{nem: } \left( \frac{I_{A90^0}}{I_s} \right)_p = 1 \quad \text{și} \quad \left( \frac{I_{B90^0}}{I_s} \right)_p = \frac{1}{(y^2 + 2k^2 y \cos \phi_p + k^4)^{1/2}} \quad (3.76)$$

adică curentul prin înfășurarea principală (la pornire) este independent de mărimea impedanței exterioare  $Z_k$ .

În fine, tot din examinarea relațiilor (3.74) și (3.75) se poate prevedea și comportarea asimptotică (în raport cu  $y$ ) a curenților la pornire.

Astfel, dacă  $y \rightarrow 0$ , rezultă:

$$\left( \frac{I_A}{I_s} \right)_p (y \rightarrow 0) = \frac{1}{k} \left[ \frac{k^2 - 2k \cos \theta \cdot (1 - 2a \cos \alpha) + \cos^2 \theta (1 - 2a \cos \alpha + a^2)}{1 - 2 \cos^2 \theta (1 - 2a \cos \alpha + a^2 \cos 2\alpha) + \cos^4 \theta (1 - 2a \cos \alpha + a^2)^2} \right]^{1/2} \quad (3.77)$$

$$\left( \frac{I_B}{I_s} \right)_p (y \rightarrow 0) = \frac{1}{k^2} \left[ \frac{1 - 2k \cos \theta \cdot (1 - a \cos \alpha) + k^2 \cos^2 \theta (1 - 2a \cos \alpha + a^2)}{1 - 2 \cos^2 \theta (1 - 2a \cos \alpha + a^2 \cos 2\alpha) + \cos^4 \theta (1 - 2a \cos \alpha + a^2)^2} \right]^{1/2} \quad (3.78)$$

În schimb, dacă  $y \rightarrow \infty$  (cînd înfășurarea de pornire este întreruptă):

$$I_{Ap}(y \rightarrow \infty) = I_{sp} \quad \text{și} \quad I_{Bp}(y \rightarrow \infty) = 0 \quad (3.79)$$

Pentru evidențierea influenței decalajului spațial  $\theta$  dintre axele înfășurărilor satorice, expresiile curenților se rescriu sub forma:

$$\left( \frac{I_A}{I_{A90^0}} \right)_p = \left| \frac{y + k^2 - (1 - a)k \cos \theta}{y + k^2 [1 - (1 - a)^2 \cos^2 \theta]} \right| \quad (3.80)$$

$$\left( \frac{I_B}{I_{B90^0}} \right)_p = \left| \frac{(y + k^2) [1 - (1 - a)k \cos \theta]}{y + k^2 [1 - (1 - a)^2 \cos^2 \theta]} \right| \quad (3.81)$$

$$\left( \frac{I}{I_{90^0}} \right)_p = \left| \frac{y + k^2 + 1 - 2(1 - a)k \cos \theta}{y + k^2 [1 - (1 - a)^2 \cos^2 \theta]} \cdot \frac{y + k^2}{y + k^2 + 1} \right| \quad (3.82)$$

Variația raportului  $(I/I_{90^0})_p = f(y)$ , pentru  $\phi_p = 120^\circ$ ,  $130^\circ$  și  $140^\circ$  este reprezentată în fig.3.55, fig.3.56 și respectiv fig.3.57.

### 3.5.3.3 Momentul de pornire.

Momentul electromagnetic dezvoltat la pornire de motorul asincron monofazat cu fază de pornire de tip complex (raportat la momentul de pornire al motorului bifazat simetric) poate fi pus sub forma:

$$\left( \frac{M}{M_s} \right)_p = 4 \sin^4 \frac{1}{2} \theta \cdot \left( \frac{I_{A1}}{I_s} \right)_p^2 \cdot (1 - \xi_{1I}^2) \quad (3.83)$$

Dacă prelucrăm expresia (3.83) -pe baza relațiilor (3.24a), (3.66)- și ținem cont de notațiile (3.62) și (3.64), în final obținem:

$$\left( \frac{M}{M_s} \right)_p = k \cdot \sin \theta \cdot \frac{Ay + B}{y^2 + 2yC + D} \quad (3.84)$$



în care:

$$A = \sin\phi_p + k\cos\theta [a\sin(\phi_p - \alpha) - \sin\phi_p]$$

$$B = -k(k^2 - 1)\cos\theta \cdot \sin\alpha$$

$$C = k^2 \left\{ \cos\phi_p - \cos^2\theta [a^2 \cos(\phi_p - 2\alpha) - 2a\cos(\phi_p - \alpha) + \cos\phi_p] \right\} \quad (3.85)$$

$$D = k^4 [1 - 2\cos^2\theta (a^2 \cos 2\alpha - 2a\cos\alpha + 1) + \cos^4\theta (a^2 - 2a\cos\alpha + 1)^2]$$

Raportul momentelor de pornire precizat de expresia (3.84) este foarte general. Poate fi utilizat la ana-

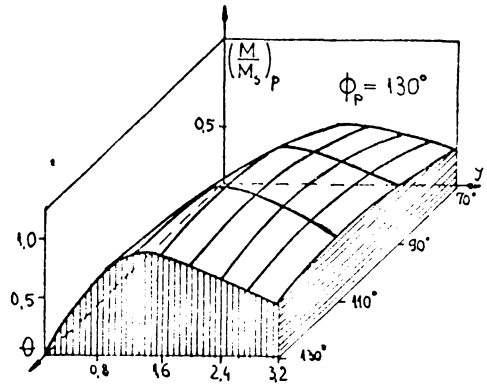


Fig.3.48

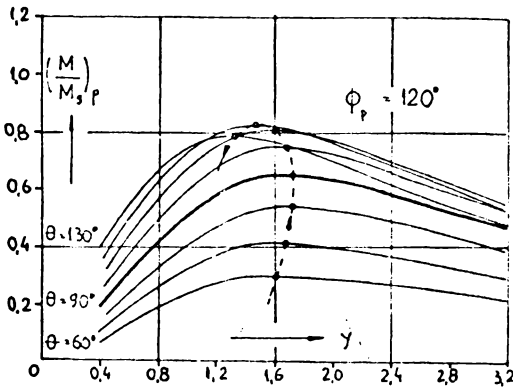


Fig.3.49

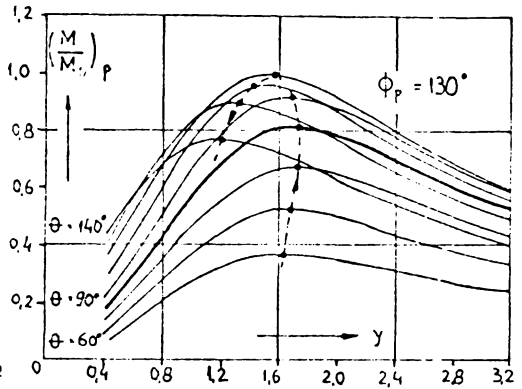


Fig.3.50

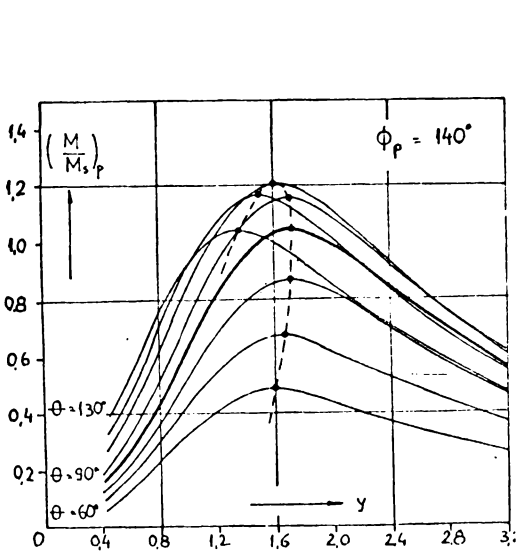


Fig.3.51

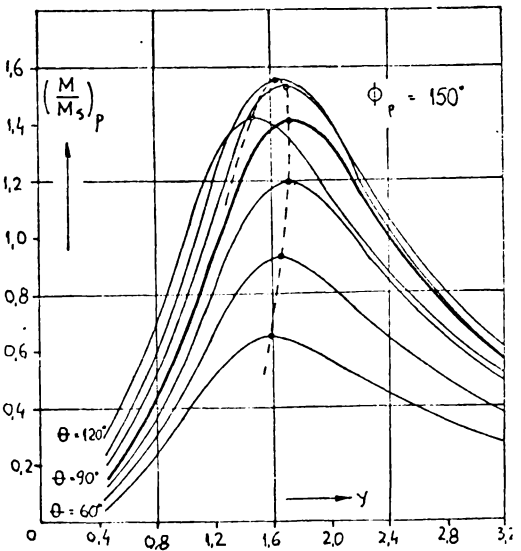


Fig.3.52

liza oricărui motor de inducție monofazat (cu fază auxiliară sau de pornire

general nesimetrică) și orice tip de convertor static de fază.

Analitic, raportul momentelor (3.84) este descris de o funcție reală de șase variabile reale:  $(M/M_s)_p = f(y, \phi_p, \theta, k, a, \alpha)$ . Ca exemplu, în fig.3.48 se prezintă suprafața  $(M/M_s)_p = f(y, \theta)$ , pentru  $\phi_p = 130^\circ$ .

Practic însă, ultimele cinci variabile pot fi interpretate (după caz) drept parametrii -pentru o construcție impusă cu tip de pornire prestabilit.

Astfel, în fig.3.49, fig.3.50, fig.3.51 și în fig.3.52 s-au reprezentat dependențele  $(M/M_s)_p = f(y)$  pentru  $\phi_p = 120^\circ, 130^\circ, 140^\circ$  și respectiv  $150^\circ$ . În plus, pentru fiecare valoare a argumentului  $\phi_p$  sînt reprezentate (cu linie întreruptă) și caracteristicile  $(M/M_s)_{pmax} = f(y)$ . Unghiul  $\theta$  (dintre axele înfășurărilor statorice) a fost variat (din  $10^\circ$  în  $10^\circ$ ) de la  $60^\circ$  la  $130^\circ$ . Caracteristicile corespunzătoare dispunerii în cuadratură a înfășurărilor statorice sînt îngroșate.

Valoarea lui  $y$  care, la pornire, asigură un moment electromagnetic maxim se calculează cu:

$$y_{opt} = -\frac{B}{A} + \sqrt{\left(\frac{B}{A}\right)^2 + D - 2\frac{B \cdot C}{A}} \quad (3.86)$$

(Relația (3.86) a fost obținută prin calcularea și anularea derivatei în raport cu  $y$  a expresiei (3.84).)

Dacă se înlocuește (3.86) în (3.84) se obține momentul electromagnetic maxim de pornire. În final se ajunge la:

$$\left(\frac{M}{M_s}\right)_{p,max} = \frac{k \sin \theta \cdot A}{2 \cdot C + y_{opt}} \quad (3.87)$$

Ca exemplu, în fig.3.53 se prezintă suprafața  $(M/M_s)_{pmax} = f(\theta, \phi_p)$  construită pe baza relației (3.87).

O imagine mult mai completă ne oferă fig.3.54. Aici s-au reprezentat fami-

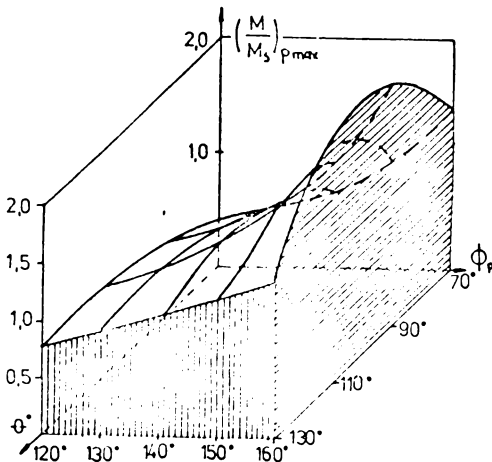


Fig.3.53

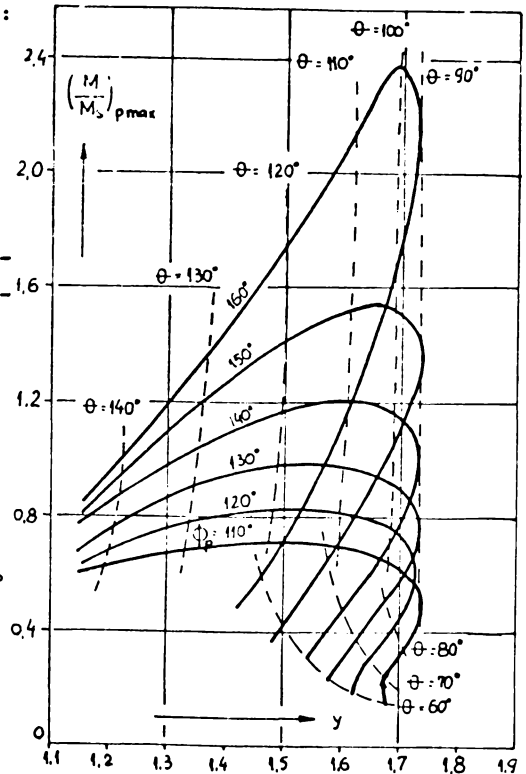


Fig.3.54

liile de curbe  $(M/M_s)_{pmax} = f(y)$  pentru  $\phi_p = 110^\circ, 120^\circ, 130^\circ, 140^\circ, 150^\circ$  și  $160^\circ$ . În plus, pe aceeași figură a fost figurată (cu linie întreruptă) și rețeaua de curbe de ecuație  $\theta = \text{const.}$  (de la  $60^\circ$  la  $140^\circ$ , din  $10^\circ$  în  $10^\circ$ ).

În fine, se precizează că expresiile (3.84), (3.85), (3.86) și (3.87) au cel mai mare grad de generalizare. Astfel, particularizate pentru  $\theta = 90^\circ$  el. ele devin:

$$A = \sin\phi_p, \quad B = 0, \quad C = k^2 \cos\phi_p, \quad D = k^4 \quad (3.88)$$

$$\left(\frac{M_{90^\circ}}{M_s}\right)_p = \frac{y \, k \sin\phi_p}{y^2 + 2k^2 y \cos\phi_p + k^4} \quad (3.89)$$

$$y_{opt}(90^\circ) = k^2 \quad (3.90)$$

$$\left(\frac{M_{90^\circ}}{M_s}\right)_{p,max} = \frac{\sin\phi_p}{2k(1 + \cos\phi_p)} \quad (3.91)$$

Jna și Daniels, în /84/, ajung -pe o cale mai simplă- exact la aceleași relații. Dar analiza lor se limitează numai la motoarele asincrone monofazate cu faza de pornire dispusă în cuadratură electrică.

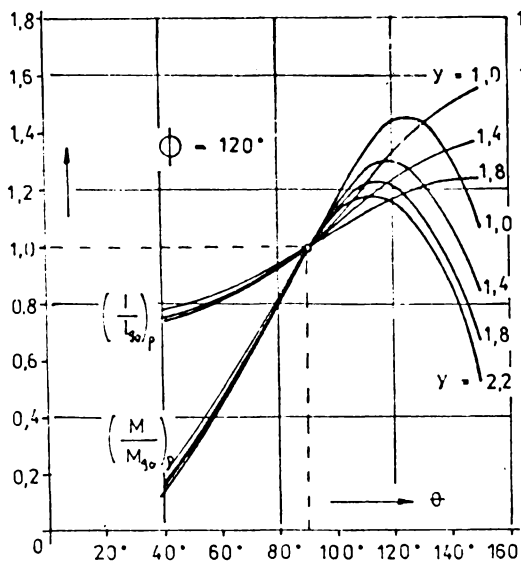


Fig.3.55

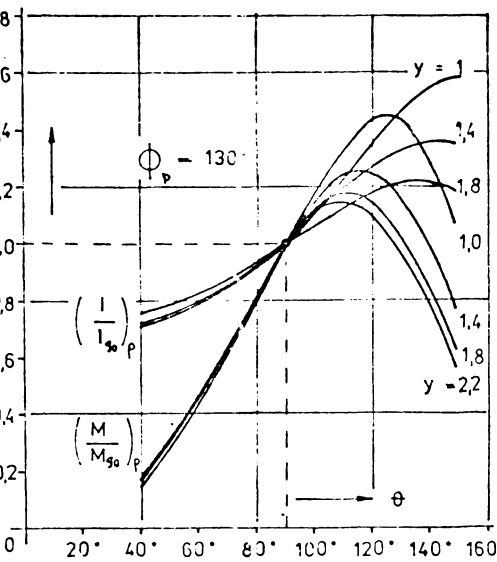


Fig.3.56

Pentru a evidenția influența nesimetriei unghiulare (la dispunerea în-fășurării de pornire sub unghiuri  $\theta \neq 90^\circ$  el.), momentul electromagnetic va fi raportat chiar la  $M_{90^\circ}$ . Utilizându-se relațiile (3.84) și (3.89) stabilite anterior precum și constantele A, B, C, D precizate de (3.85) obținem:

$$\left(\frac{M}{M_{90^\circ}}\right)_p = \sin\theta \cdot \frac{(Ay + B)(y^2 + 2yk^2 \cos\phi_p + k^4)}{y(y^2 + 2yC + D) \cdot \sin\phi_p} \quad (3.92)$$

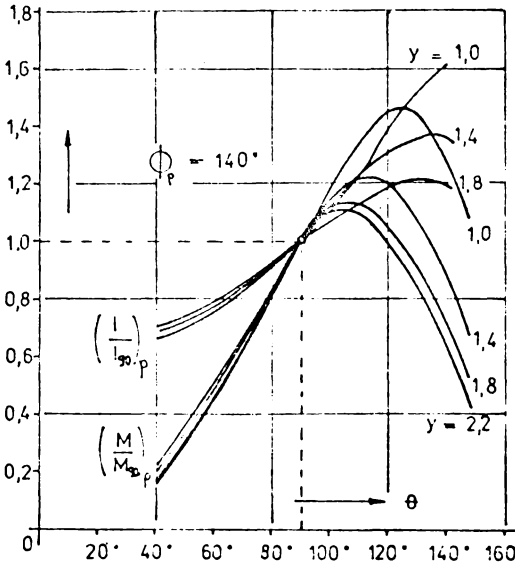


Fig. 3.57

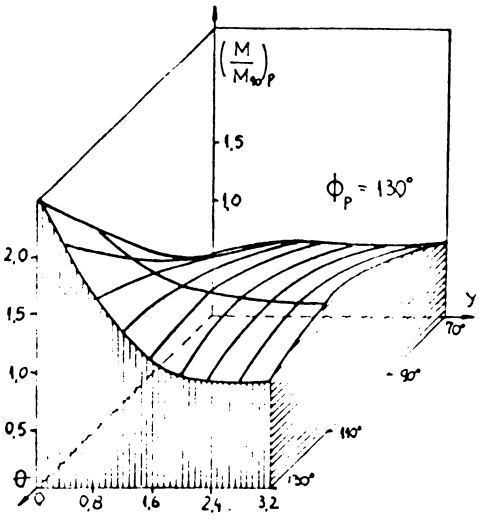


Fig. 3.58

Variația rapoartelor  $(M/M_{90^\circ})_p = f(\theta)$  și  $(I/I_{90^\circ})_p = f(\theta)$  pentru  $\phi_p = 120^\circ$ ,  $130^\circ$  și  $140^\circ$  este prezentată în fig. 3.55, fig. 3.56 și respectiv în fig. 3.57. În plus, pentru  $\phi_p = 130^\circ$ , în fig. 3.58 s-a construit suprafața  $(M/M_{90^\circ})_p = f(\theta, y)$ .

Intrucât o dată cu creșterea momentului de pornire se majorează și cu-

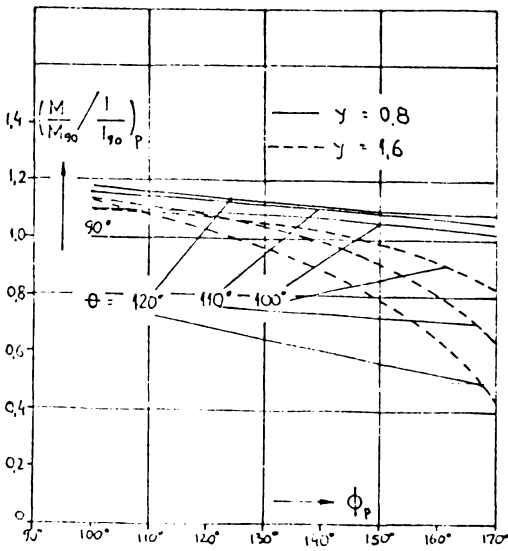


Fig. 3.59

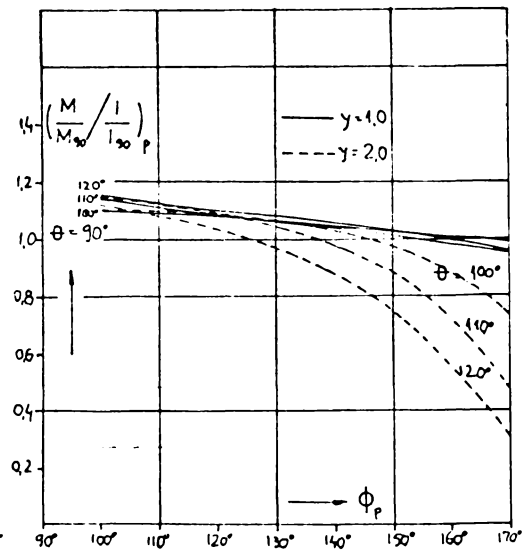


Fig. 3.60

rentul de pornire, este interesant de urmărit și evoluția momentului specific de pornire  $(M/I)_p$ .

Variația momentului specific de pornire cu mărimea argumentului  $\phi_p$  este ilustrată în fig.3.59 pentru  $y = 0,8$  (cu linie continuă) și  $y = 1,6$  (cu linie întreruptă), respectiv în fig.3.60 pentru  $y = 1,0$  (cu linie continuă) și  $y = 2,0$  (cu linie întreruptă). Caracteristicile au fost reprezentate pentru  $\theta = 90^\circ, 100^\circ, 110^\circ$  și  $120^\circ$ .

În final, ca o particularitate a motoarelor asincrone monofazate cu fază de pornire general nesimetrică, se menționează puternica dependență a tensiunii  $U_K$  de mărimea unghiului  $\theta$ .

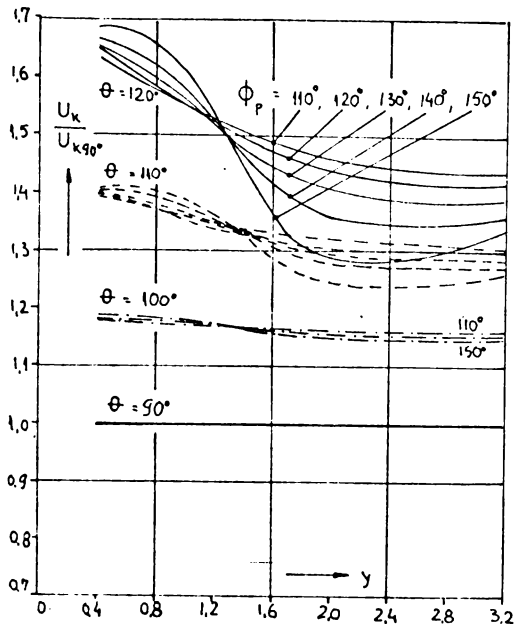


Fig.3.61

Afirmația este susținută atât de încercările experimentale cât și de fig.3.61 în care se prezintă variația tensiunii  $U_K/U_{K90} = f(y)$  pentru  $\theta = 90^\circ, 100^\circ, 110^\circ$  și  $120^\circ$ . În plus, pentru fiecare valoare a unghiului  $\theta$ , argumentul  $\phi_p$  a fost modificat (din  $10^\circ$  în  $10^\circ$ ) de la  $110^\circ$  la  $150^\circ$ .

### 3.5.4 Incercări experimentale.

Incercările experimentale au fost efectuate cu motoare de inducție monofazate realizate pe structura produsului comercial MP-2 (1/6 CP, 220V, 1,55 A, 2880 rot/min) fabricat de IME Pitesti. De la acesta s-au folosit: miezul statoric, înfășurarea principală și rotorul.

Înfășurarea de pornire (de tip rezistiv la produsul original) a fost modificată în sensul înlăturării spirelor neinductive. În plus, ea a fost dispusă spațial sub unghiuri  $\theta$  diferite de  $90^\circ$  el. față de înfășurarea principală (care a rămas neschimbată).

Intrucât aceste motoare sînt bipolare și au 24 de creștături pe stator, prin decalarea înfășurării de pornire (cu cîte o creștătură) experimental s-au realizat numai cinci valori ale unghiului  $\theta$  și anume:  $60^\circ, 75^\circ, 90^\circ, 105^\circ$  și  $120^\circ$ . (În fig.3.62 se prezintă miezul statoric bobinat cu o înfășurare bifazată, general nesimetrică, folosit la efecuirea încercărilor experimentale.)

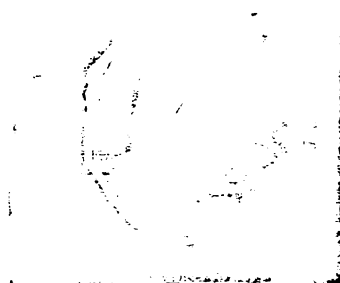


Fig.3.62

De asemenea, s-au confecționat atât carcasa statorică precum și arborele rotoric (produsul original asamblându-se direct în compresorul agregatului frigorific). Pentru asamblare s-au folosit scuturile motorului MS-911 (fabricat tot la IME Pitești).

Fiecare din cele cinci motoare a fost încercat la pornire atât cu fază rezistivă cât și cu fază capacitivă.

Încercările au fost efectuate la tensiunea nominală (220 V). Pentru fiecare valoare a rezistenței exterioare (respectiv capacității a condensatorului de pornire), s-au citit mărimile corespunzătoare la trei poziții ale rotorului. Valorile înregistrate reprezintă media aritmetică a celor trei citiri.

În timpul încercărilor, atât temperatura înfășurărilor statorice cât și a rotorului a fost de circa  $20^{\circ}$  -  $30^{\circ}$ C.

O parte din rezultatele experimentale obținute au fost prelucrate și înregistrate pe diagramele deja prezentate în paragrafele anterioare.

Concordanța aproape deplină cu valorile calculate confirmă corectitudinea expresiilor stabilite pe cale analitică, pe parcursul întregului capitol.

### 3.6 Motoare de inducție monofazate cu înfășurare auxiliară (capacitivă) în necuadratură electrică. Caracteristicile de funcționare.

Acestea fac parte din marea familie a motoarelor asincrone monofazate cu condensatori. Se particularizează prin dispunerea înfășurării auxiliare sub unghiul  $\theta$  (în general diferit de  $90^{\circ}$  el.).

La pornire se analizează cu aceleași expresii ca și motoarele asincrone monofazate cu fază capacitivă de pornire (v. 3.5.1).

Prin urmare, în cazul motoarelor de inducție monofazate cu înfășurarea auxiliară capacitivă în necuadratură electrică mai rămâne de apreciat influența unghiului  $\theta$  asupra principalelor mărimi funcționale.

În acest scop, s-a considerat un motor asincron monofazat cu condensator (de construcție uzuală). Motorul, de 1,4 kW la 2900 rot/min este alimentat la tensiunea 220V, 50Hz, cu un condensator de  $25 \mu\text{F}/450\text{V}$  în circuitul fazei auxiliare (în cuadratură electrică), este utilizat la acționarea compresorului unui agregat frigorific.

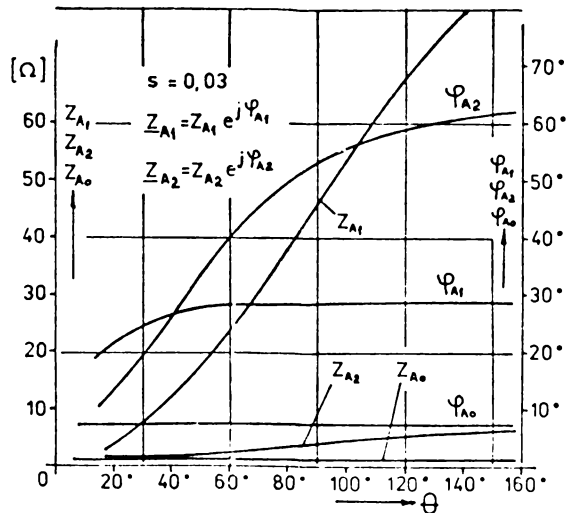


Fig.3.63

Atît datele constructive cît și valorile parametrilor motorului sînt precizate în /109/.

Metoda de studiu folosită este metoda simulării numerice. Pe baza relațiilor stabilite la începutul acestui capitol, s-a întocmit un program de calcul a principalelor mărimi funcționale ale motorului cînd unghiul  $\theta$  ar varia de la  $0^\circ$  la  $180^\circ$  el. Rezultatele astfel obținute sînt prezentate grafic.

În fig.3.63 s-au reprezentat (corespunzător valorilor parametrilor motorului asincron monofazat) impedanțele echivalente: directă, inversă și omopolară -atît ca modul cît și ca fază- în funcție de unghiul  $\theta$ , pentru alunecarea nominală a rotorului.

În scopul generalizării concluziilor, mărimile funcționale obținute sînt prezentate în unități relative. Baza de raportare este formată din ansamblul valorilor corespunzătoare dispunerii în cuadratură electrică a în-

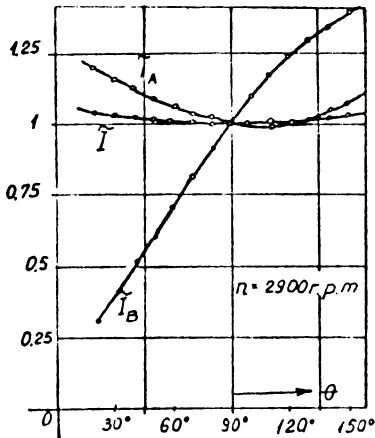


Fig.3.64

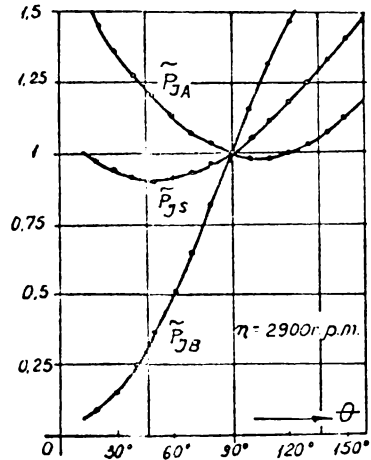


Fig. 3.65

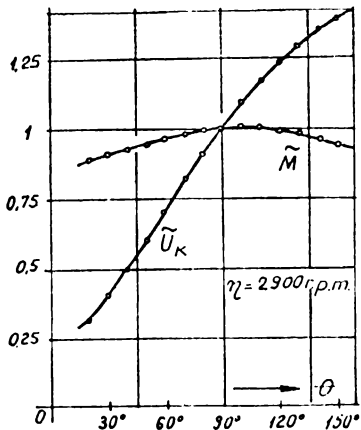


Fig.3.66

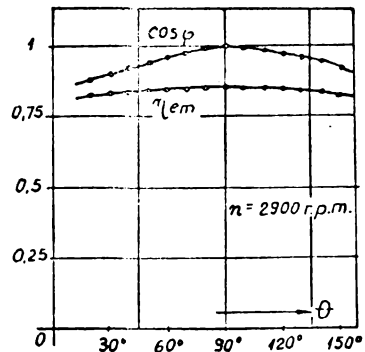


Fig.3.67

fășurării auxiliare.

Corespunzător funcționării la turația nominală, s-au analizat:

1. Variația curenților statorici cu unghiul  $\theta$  (în fig.3.64);

2. Variația pierderilor electrice din înfășurările statorice (principală A și auxiliară B) cu unghiul  $\theta$  (în fig.3.65);

3. Dependența momentului electromagnetic și a tensiunii la bornele condensatorului, cu unghiul  $\theta$  (în fig.3.66);

4. Dependența randamentului și a factorului de putere al motorului, cu unghiul  $\theta$  (în fig.3.67);

5. Variația factorilor de nesimetrie cu unghiul  $\theta$  (în fig.3.68).

Se precizează că la calcularea randamentului (fig.3.67) nu s-au considerat pierderile mecanice și de ventilație, valorile înregistrate semnificând doar randamentul conversiei electromecanice.

Prin ilustrarea aspectelor de mai sus, s-a întregit tabloul comportării motoarelor de inducție monofazate cu fază auxiliară sau de pornire, general nesimetrică.

Față de cele cunoscute pînă în prezent, prin decalarea fazei auxiliare sau de pornire cu unghiuri  $\theta > 90^\circ$ , se constată majorarea atât a curentului de pornire cît și a tensiunii la bornele condensatorului. Prin urmare, soluția se impune numai cînd primordial devine mărirea cu orice preț a momentului de pornire.

În plus, la utilizarea a două sau, mai rar, trei dimensiuni de crestături statorice (în cadrul tehnologiilor de fabricație mai evoluate), prin decalarea fazei de pornire se pot obține importante economii de oțel electrotehnic la croirea adecvată a tolei stator, ceea ce este un avantaj deloc neglijabil.

Probabil, aceasta este și rațiunea pentru care, în ultimul timp /186/, pe plan mondial au fost construite astfel de motoare asincrone monofazate.

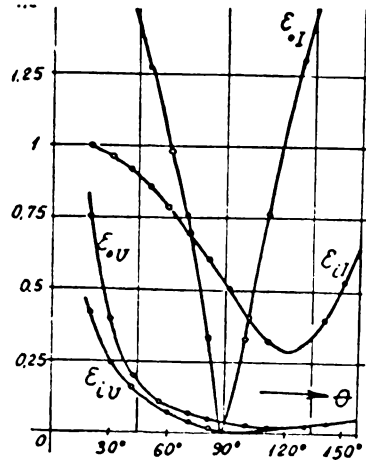


Fig.3.68



CONTRIBUTII LA STUDIUL MOTOARELOR DE INDUCTIE  
MONOFAZATE FARA INFASURARE DE PORNIRE

4.1 Introducere.

Motorul de inducție monofazat (cu o singură înfășurare pe stator) prezintă o serie întregă de neajunsuri /23/, /25/, /33/, /48/, /162/ etc. Dintre acestea, lipsa autopornirii îl face practic inutilizabil.

Teoretic, inconvenientul poate fi ușor depășit dacă -la pornire- prin înfășurarea statorică se stabilesc curenți polifazați. În particular, pornirea motoarelor de inducție monofazate se asigură (în majoritatea cazurilor) prin formarea sistemului bifazat (în general nesimetric) de curenți în stator.

Practic, motoarele au fost bobinate cu încă o înfășurare (numită "de pornire") decalată -de regulă- la  $90^{\circ}$  el. față de înfășurarea principală. La alimentarea de la aceeași rețea monofazată, defazaajul temporar al curenților este asigurat prin stabilirea unui raport X/R diferit pentru cele două înfășurări statorice. În acest scop sînt folosite elemente pasive de circuit.

Înfășurarea de pornire este dimensionată pentru regimul de scurtă durată, fiind decuplată (de un releu centrifugal, de timp sau de curent) de la rețea imediat ce rotorul a intrat în turatie. În urma pasivizării acesteia, motorul continuă să funcționeze numai cu înfășurarea principală alimentată.

4.2 Motoare de inducție monofazate fără înfășurare de pornire  
dar cu condensatori de pornire.

Motoarele de inducție monofazate fără înfășurare de pornire folosesc o altă posibilitate practică de transpunere în viață a aceleiași idei de pornire a motoarelor asincrone monofazate. Principial, aceasta este ilustrată în fig.4.1 la poziția d). Concret, motoarele nu mai sînt prevăzute cu înfășurări suplimentare pentru pornire. Pentru defazarea curenților sînt utilizate condensatoare electrice.

Este o soluție practică mai puțin cunoscută și deci nici prea răspîndită, deși elimină neajunsul variantei clasice, conducînd (în raport cu aceasta) -după opinia lui Adamenko /3/- la economii de pînă la 33% Cu și de 10 - 20% Fe prin croirea adecvată a tolei stator.

Sugestiv, la construcția indicată de fig.4.1d s-ar ajunge dacă înfășurarea statorică monofazată (v.fig.4.1, a) a motorului s-ar realiza din două subînfășurări (faze) A și B (ca în fig.4.1, b) care s-ar decala spațial cu

cu unghiul  $\theta_1$  și s-ar inseria ca în fig.4.1c. Defazajul temporar al curenților -la pornire- este asigurat prin conectarea de condensatori în derivație cu una din cele două faze statorice.

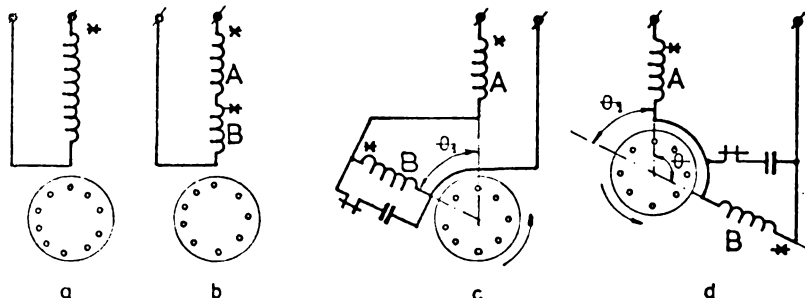


Fig.4.1

Sensul de rotație al rotorului se stabilește în funcție de faza statorică șuntată de condensator (fiind în totdeauna de la faza statorică șuntată către cealaltă, ca în fig.4.1d). Dacă cele două faze statorice sînt identice, performanțele motorului vor fi aceleași pentru ambele sensuri de rotație.

Ideea de a inseria înfășurările statorice (principală și auxiliară, în cuadratură electrică) ale motorului asincron monofazat cu condensator, concomitent cu legarea condensatorului în derivație cu înfășurarea auxiliară, este de mult timp cunoscută. Încă din anii 40-50 se construiau /189/ motoare de inducție monofazate cu două viteze, la care conexiunea derivație -zisă normală- a înfășurărilor statorice era utilizată în alternanță cu conexiunea serie a lor (pentru viteza mică). Surprinzător este însă faptul că ecuațiile funcționale ale acestor motoare au fost stabilite mult mai târziu, /57/, /187/, la nivelul anului 1977.

O situație similară este întâlnită și la motoarele asincrone monofazate cu priză în bobinajul statoric /50/, /52/, /53/, /134/, /188/ la care în cadrul conexiunii L -alimentate pe priza de viteză mare- înfășurările statorice: auxiliară și exterioară (sau intermediară) în cuadratură electrică sînt tot inseriate.

Tot inserieri de înfășurări statorice intervin și în funcționarea motoarelor de inducție monofazate cu două sau trei viteze realizate pe baza tehnicilor de modulare a amplitudinii polilor (PAM) /91/, /92/, /93/, /94/, /95/, /166/ etc.

Studiile teoretice efectuate în literatură în vederea stabilirii performanțelor acestor tipuri de motoare asincrone monofazate consideră înfășurările statorice inseriate în cuadratură electrică. Pentru această configurație au fost utilizate teoriile clasice de analiză a mașinilor electrice. Incercările de a extrapola anumite expresii la predeterminarea perfor-

manțelor motoarelor asincrone monofazate la care, din anumite motive, înfășurările statorice nu mai sînt exact în cuadratură electrică au condus la rezultate eronate.

Motoarele de inducție monofazate cu impedanță de pornire dar fără înfășurare de pornire /2/, /3/ au înfășurarea statorică repartizată pe  $2/3$  pînă la  $3/4$  din numărul total de creștături, despărțită în două faze, A și B, decalate spațial cu unghiul  $\theta = 110^\circ - 120^\circ$  el. și inseriate ca în fig.4.1d. Ele au fost dezvoltate în cadrul Institutului de Electrodinamică al Academiei de Științe din R.S.S. Ucraina, începînd din anul 1957, /3/.

De altfel, din cercetarea bibliografică efectuată, referiri la acest tip de motor asincron monofazat au fost întîlnite numai în lucrările lui Adamenko /1/, /2/, /3/, /4/, /5/, /6/, /7/ și ale colaboratorilor săi: Kislenko /4/ și Artemiuk /8/. În plus, în U.R.S.S. au și fost construite motoare asincrone monofazate fără înfășurare de pornire (dar cu fazele statorice identice și decalate spațial la  $120^\circ$  el.), simbolizate AOLGM ( $P_N = 0,12 - 0,6$  kW;  $2p = 2$  sau  $4$  și  $U_N = 220$  V), motoare derivate din seria AOLG /3/. Pentru pornirea acestor motoare s-au utilizat condensatoare electrolitice nepolarizate de tensiune redusă avînd ca dielectric oxidul de aluminiu ( $\epsilon_r = 10$ ) iar mai recent, oxidul de tantal cu  $\epsilon_r = 25$ .

Intrucît aceste tipuri de motoare sînt mai puțin cunoscute, cu titlu informativ -după /3/- se prezintă cîteva din performanțele lor la pornire. Astfel, pentru  $M_p/M_N = 1,5$ ; curentul de pornire (raportat la curentul nominal) este  $2,6 - 3$  pentru motoarele cu  $2p = 2$  și  $4 - 5,5$  la motoarele cu patru poli. Valoarea maximă a momentului de pornire poate depăși de  $2,5 - 3,7$  ori momentul nominal.

Cu toate acestea, din punct de vedere teoretic, motorul de inducție monofazat fără înfășurare de pornire dar cu condensator de pornire a fost prea puțin studiat. Singura metodă de analiză utilizată în acest scop este cea a "sumei amper-spirelor complexe" (metodă mai puțin cunoscută și bazată în fapt pe teoria cîmpurilor magnetice circulare învîrtitoare). În plus, în /3/ și /4/ s-a încercat și o analiză în cadrul metodei componentelor simetrice (variantea prezentată la poz.1 în Tab.1.1), dar fără finalizare.

Să menționăm că analiza motorului de inducție monofazat fără înfășurare de pornire, în cadrul teoriei cîmpurilor magnetice circulare învîrtitoare a fost publicată de autor /130/ în 1980. Două ani mai tîrziu, Guru /60/ stabilește exact aceleași ecuații într-o lucrare similară

Desigur, o apreciere globală a performanțelor la pornire, în cazul optării pentru o astfel de soluție constructivă poate fi stabilită numai în lumina unei analize teoretico-experimentale complete.

Din acest punct de vedere, în paragrafele următoare ale lucrării, va fi prezentat un studiu detaliat al principalelor aspecte legate de funcționarea, dimensionarea și stabilirea performanțelor la pornire ale motoarelor

de inducție monofazate fără înfășurare de pornire. Pentru investigațiile teoretice este utilizată metoda componentelor simetrice (stabilită în Cap.2 al lucrării) a cărei corectitudine a fost amănunțit verificată în ANEXA 1.

4.2.1 Metoda componentelor simetrice.

În fig.4.1, la poz.d, cu A și B s-au notat cele două faze statorice înseriate ale unui motor de inducție monofazat fără înfășurare de pornire dar cu condensator de pornire. Faza B -în general- are de  $k_B$  ori mai multe spire efective decât faza A, este dispusă spațial sub unghiul  $\theta > 90^\circ$  el. și este șuntată de un condensator K, de impedanță

$Z_K$ .

Din considerente analitice, în fig.4.2 s-a reconstituit mașina trifazată nesimetrică "model matematic" care alimentată dezechilibrat ( $I_C = 0$ ) permite analiza teoretică a motorului asincron monofazat fără înfășurare de pornire. (Acesta este punctul de vedere original al autorului.)

În conformitate cu procedura menționată în paragraful 2.4, înfășurarea reală B va fi substituită fictiv cu o alta, ideală, B' înseriată cu impedanța de simetrizare  $Z_{BS}$ . Aceasta conține eventualele diferențe dintre rezistențele și reactanțele proprii de dispersie ale celor două faze statorice A și B, fiind definită prin:

$$R_B + jX_{B\sigma} = k_B^2(R_A + jX_{A\sigma}) + Z_{BS} \quad (4.1)$$

Regimul dezechilibrat al mașinii trifazate nesimetrice "model matematic" reprezentat în fig.4.2 (cu înfășurările statorice A și B conectate ca în fig. 4.1d) este descris de următorul set de ecuații:

$$\begin{aligned} \underline{U}_A - \underline{U}_{B'} - Z_{BS} \underline{I}_B &= \underline{U} \\ \underline{U}_A - Z_K \underline{I}_K &= \underline{U} \\ \underline{I}_A + \underline{I}_B + \underline{I}_K &= 0 \\ \underline{I}_C &= 0 \end{aligned} \quad (4.2)$$

Sistemul (4.2) poate fi soluționat în cadrul metodei componentelor simetrice întocmai ca în teoria clasică a mașinilor electrice simetrice. Pentru configurația "modelului matematic" și sensul de rotație precizat în fig. 4.2, substituțiile utilizabile în acest scop sînt următoarele:

$$\begin{aligned} \underline{U}_A &= \underline{U}_{A1} + \underline{U}_{A2} + \underline{U}_{A0} \\ \underline{U}_{B'} &= k_B(\underline{U}_{A1}e^{+j\theta} + \underline{U}_{A2}e^{-j\theta} + \underline{U}_{A0}) \end{aligned} \quad (4.3)$$

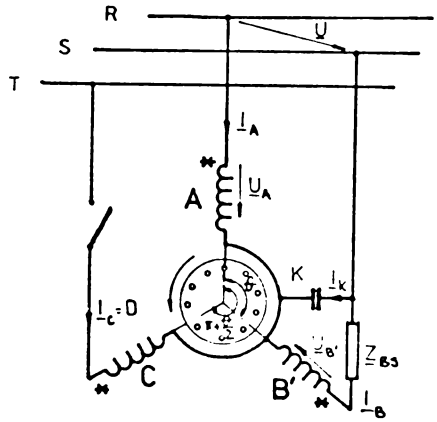


Fig.4.2

$$\begin{aligned} \underline{I}_A &= \underline{I}_{A1} + \underline{I}_{A2} + \underline{I}_{A0} \\ \underline{I}_B &= \frac{1}{k_B} (\underline{I}_{A1} e^{j\theta} + \underline{I}_{A2} e^{-j\theta} + \underline{I}_{A0}) \end{aligned} \quad (4.4)$$

$$\underline{I}_C = \frac{1}{k_C} [2\cos(\pi-\theta)\underline{I}_{A1} e^{j(\pi+\frac{1}{2}\theta)} + 2\cos(\pi-\theta)\underline{I}_{A2} e^{-j(\pi+\frac{1}{2}\theta)} + 2\cos\frac{1}{2}\theta \cdot \underline{I}_{A0}]$$

$$\text{și} \quad \underline{U}_{A1} = \underline{Z}_{A1}\underline{I}_{A1}, \quad \underline{U}_{A2} = \underline{Z}_{A2}\underline{I}_{A2}, \quad \underline{U}_{A0} = \underline{Z}_{A0}\underline{I}_{A0} \quad (4.5)$$

În relațiile (4.3), (4.4) și (4.5) s-au notat: cu  $\underline{U}_{A1}$ ,  $\underline{U}_{A2}$  și  $\underline{U}_{A0}$  componentele directă, inversă și omopolară ale tensiunii  $\underline{U}_A$ ; cu  $\underline{Z}_{A1}$ ,  $\underline{Z}_{A2}$  și  $\underline{Z}_{A0}$  impedanțele echivalente ale mașinii nesimetrice "model matematic" văzute pe la bornele înfășurării statorice A; cu  $\underline{I}_{A1}$ ,  $\underline{I}_{A2}$  și  $\underline{I}_{A0}$  componentele simetrice (directă, inversă și omopolară) ale curentului  $\underline{I}_A$ .

Cu aceste substituții, setul ecuațiilor funcționale (4.2) se reduce la următorul sistem (echivalent):

$$\begin{aligned} \underline{I}_{A1} [\underline{Z}_{A1}(1-ke^{j\theta}) - \underline{Z}_{BS} \frac{e^{j\theta}}{k}] + \underline{I}_{A2} [\underline{Z}_{A2}(1-ke^{-j\theta}) - \underline{Z}_{BS} \frac{e^{-j\theta}}{k}] + \underline{I}_{A0} [\underline{Z}_{A0}(1-k) - \frac{1}{k}\underline{Z}_{BS}] &= \underline{U} \\ \underline{I}_{A1} [\underline{Z}_{A1} + \underline{Z}_K(1 + \frac{e^{j\theta}}{k})] + \underline{I}_{A2} [\underline{Z}_{A2} + \underline{Z}_K(1 + \frac{e^{-j\theta}}{k})] + \underline{I}_{A0} [\underline{Z}_{A0} + \underline{Z}_K(1 + \frac{1}{k})] &= \underline{U} \\ \underline{I}_{A1} \cdot 2\cos\theta \cdot e^{j\theta} + \underline{I}_{A2} \cdot 2\cos\theta + \underline{I}_{A0} (1+e^{j\theta}) &= 0 \end{aligned} \quad (4.6)$$

în care, pentru simplificarea scrierii, s-a notat:

$$k = k_B = \frac{w_B^k y_B^k q_B}{w_A^k y_A^k q_A} \quad (4.7)$$

Sistemul (4.6) este compatibil, unic determinat, cu soluția:

$$\begin{aligned} \underline{I}_{A1} &= \frac{\underline{U}}{1-e^{j\theta}} \cdot \frac{1}{D} \cdot \left\{ \underline{Z}_K(1-e^{j\theta})(1-ke^{-j\theta}) + \underline{Z}_{BS}(1-e^{j\theta}) + k^2 [\underline{Z}_{A2}(1+e^{-j\theta}) - 2\cos\theta \cdot \underline{Z}_{A0}] \right\} \\ \underline{I}_{A2} &= \frac{\underline{U}}{1-e^{j\theta}} \cdot \frac{1}{D} \cdot \left\{ \underline{Z}_K(1-e^{j\theta})(1-ke^{j\theta}) + \underline{Z}_{BS}(1-e^{j\theta}) - k^2 e^{j\theta} [\underline{Z}_{A1}(1+e^{j\theta}) - 2\cos\theta \cdot \underline{Z}_{A0}] \right\} \\ \underline{I}_{A0} &= \frac{\underline{U}}{1-e^{j\theta}} \cdot \frac{1}{D} \cdot 2\cos\theta \left[ \underline{Z}_K(1-e^{j\theta})(k-1) - \underline{Z}_{BS}(1-e^{j\theta}) + k^2 (\underline{Z}_{A1} e^{j\theta} - \underline{Z}_{A2}) \right] \end{aligned} \quad (4.8)$$

în care prin  $D$  s-a notat determinantul sistemului (4.6), adică:

$$\begin{aligned} D &= \underline{Z}_K [(\underline{Z}_{A1} + \underline{Z}_{A2})(1-2k\cos\theta + k^2) + \underline{Z}_{BS}^2(1-\cos\theta) - 2\cos\theta \cdot \underline{Z}_{A0}(k-1)^2] + \underline{Z}_{BS}(\underline{Z}_{A1} + \\ &+ \underline{Z}_{A2} - 2\cos\theta \cdot \underline{Z}_{A0}) + k^2 [\underline{Z}_{A1}\underline{Z}_{A2}^2(1+\cos\theta) - 2\cos\theta \cdot \underline{Z}_{A0}(\underline{Z}_{A1} + \underline{Z}_{A2})] \end{aligned} \quad (4.9)$$

Expresiile curentilor statorici  $\underline{I}_A$  și  $\underline{I}_B$  ai motorului asincron monofazat fără înfășurare de pornire se determină pe baza substituțiilor (4.4):

$$\underline{I}_A = \underline{U} \cdot \frac{1}{D} \cdot [4\sin^2\frac{1}{2}\theta \cdot (\underline{Z}_K + \underline{Z}_{BS}) + k^2(\underline{Z}_{A1} + \underline{Z}_{A2} - 2\cos\theta \cdot \underline{Z}_{A0})] \quad (4.10)$$

$$\underline{I}_B = \underline{U} \cdot \frac{1}{\underline{D}} \left[ -4 \sin^2 \frac{1}{2} \theta \cdot \underline{Z}_K - k(\underline{Z}_{A1} e^{j\theta} + \underline{Z}_{A2} e^{-j\theta} - 2 \cos \theta \cdot \underline{Z}_{A0}) \right]$$

Curentul  $\underline{I}_K$  (prin condensatorul K) se determină cu:

$$\underline{I}_K = \underline{U} \cdot \frac{1}{\underline{D}} \left[ -4 \sin^2 \frac{1}{2} \theta \cdot \underline{Z}_{BS} - k^2 (\underline{Z}_{A1} + \underline{Z}_{A2} - 2 \cos \theta \cdot \underline{Z}_{A0}) + k(\underline{Z}_{A1} e^{j\theta} + \underline{Z}_{A2} e^{-j\theta} - 2 \cos \theta \cdot \underline{Z}_{A0}) \right] \quad (4.11)$$

Similar se determină și tensiunile de fază  $\underline{U}_A$ ,  $\underline{U}_B$ . După câteva calcule intermediare, rezultă:

$$\begin{aligned} \underline{U}_A &= \underline{U} \cdot \frac{1}{\underline{D}} \left\{ \underline{Z}_K [\underline{Z}_{A1} + \underline{Z}_{A2} - 2 \cos \theta \cdot \underline{Z}_{A0} - k(\underline{Z}_{A1} e^{-j\theta} + \underline{Z}_{A2} e^{j\theta} - 2 \cos \theta \cdot \underline{Z}_{A0})] + \underline{Z}_{BS} (\underline{Z}_{A1} + \right. \\ &\quad \left. + \underline{Z}_{A2} - 2 \cos \theta \cdot \underline{Z}_{A0}) + k^2 [\underline{Z}_{A1} \underline{Z}_{A2} (1 + \cos \theta) - 2 \cos \theta \cdot \underline{Z}_{A0} (\underline{Z}_{A1} + \underline{Z}_{A2})] \right\} \\ \underline{U}_B &= \underline{U} \cdot \frac{1}{\underline{D}} \left[ -4 \sin^2 \frac{1}{2} \theta \cdot \underline{Z}_{BS} - k^2 (\underline{Z}_{A1} + \underline{Z}_{A2} - 2 \cos \theta \cdot \underline{Z}_{A0}) + k(\underline{Z}_{A1} e^{j\theta} + \right. \\ &\quad \left. + \underline{Z}_{A2} e^{-j\theta} - 2 \cos \theta \cdot \underline{Z}_{A0}) \right] \end{aligned} \quad (4.12)$$

Momentul electromagnetic dezvoltat de motorul asincron monofazat fără înfășurare de pornire se calculează cu relația (2.55).

Să precizăm că toate expresiile stabilite pînă acum sînt foarte generale, valabile pentru orice alunecare s, a rotorului și orice valori numerice date parametrilor  $\theta$ , k și  $\underline{Z}_K$ . Cu ajutorul lor pot fi stabilite performanțele motorului la orice sarcină dacă -în plus- se consideră și schemele echivalente corespunzătoare regimurilor staționare simetrice.

#### 4.2.2 Separarea nesimetriei unghiulare.

Sub forma lor inițială, expresiile (4.8)...(4.12) sînt greoaie și dificil de manevrat. Motivul: dependența relativ complicată a parametrilor impedanțelor echivalente  $\underline{Z}_{A1}$  și  $\underline{Z}_{A2}$  cu unghiul  $\theta$ .

Pentru depășirea situației descrise mai sus vom folosi relațiile (ec.I. 62, Anexa I):

$$\begin{aligned} \underline{Z}_{A1} &= \underline{Z}_1 (1 - \cos \theta) + \underline{Z}_0 \cos \theta \\ \underline{Z}_{A2} &= \underline{Z}_2 (1 - \cos \theta) + \underline{Z}_0 \cos \theta \end{aligned} \quad (4.13)$$

în care:

$$\begin{aligned} \underline{Z}_1 &= R_A + j(X_{A\sigma} + X_{AA\sigma}) + \frac{(R_{1m} + jX_{1m}) \left( \frac{R_2'}{s} + jX_{2\sigma}' \right)}{\frac{R_2'}{s} + R_{1m} + j(X_{2\sigma}' + X_{1m})} \\ \underline{Z}_2 &= R_A + j(X_{A\sigma} + X_{AA\sigma}) + \frac{(R_{1m} + jX_{1m}) \left( \frac{R_2'}{2-s} + jX_{2\sigma}' \right)}{\frac{R_2'}{2-s} + R_{1m} + j(X_{2\sigma}' + X_{1m})} \end{aligned} \quad (4.14)$$

$$\underline{Z}_0 = R_A + jX_{A\sigma}$$

Aceste relații, împreună cu identitățile trigonometrice:

$$1 - \cos \theta = \frac{1}{2} (1 - e^{j\theta}) (1 - e^{-j\theta}) = 2 \sin^2 \frac{1}{2} \theta \quad (4.15)$$

permit separarea nesimetriei unghiulare din toate expresiile stabilite pînă acum. După cîteva calcule intermediare, obținem:

a) Pentru componentele simetrice ale curenților statorici:

$$\begin{aligned} \underline{I}_{A1} &= \frac{\underline{U}}{1-\cos\theta} \cdot \frac{1}{\underline{D}_m} \cdot \left[ \underline{Z}_K (1-ke^{-j\theta}) + \underline{Z}_{BS} + k^2 e^{-j\theta} (j\sin\theta \underline{Z}_2 + \cos\theta \underline{Z}_0) \right] \\ \underline{I}_{A2} &= \frac{\underline{U}}{1-\cos\theta} \cdot \frac{1}{\underline{D}_m} \cdot \left[ \underline{Z}_K (1-ke^{+j\theta}) + \underline{Z}_{BS} - k^2 e^{+j\theta} (j\sin\theta \underline{Z}_1 - \cos\theta \underline{Z}_0) \right] \\ \underline{I}_{A0} &= \frac{\underline{U} \cos\theta}{1-\cos\theta} \cdot \frac{1}{\underline{D}_m} \cdot \left\{ 2\underline{Z}_K (k-1) - 2\underline{Z}_{BS} + k^2 \left[ (\underline{Z}_1 - \underline{Z}_0) e^{j\theta} + (\underline{Z}_2 - \underline{Z}_0) e^{-j\theta} - (\underline{Z}_1 + \underline{Z}_2) \right] \right\} \end{aligned} \quad (4.16)$$

cu determinantul modificat  $\underline{D}_m$  dat de:

$$\begin{aligned} \underline{D}_m &= \underline{Z}_K \left[ (\underline{Z}_1 + \underline{Z}_2) (1-2k\cos\theta + k^2) + 4k\cos\theta \underline{Z}_0 + 2\underline{Z}_{BS} \right] + \underline{Z}_{BS} (\underline{Z}_1 + \underline{Z}_2) + \\ &+ 2k^2 \left[ \underline{Z}_1 \underline{Z}_2 - (\underline{Z}_1 - \underline{Z}_0) (\underline{Z}_2 - \underline{Z}_0) \cos^2\theta \right] \end{aligned} \quad (4.17)$$

b) Pentru expresiile curenților statorici:

$$\begin{aligned} \underline{I}_A &= \underline{U} \frac{1}{\underline{D}_m} \cdot \left[ 2(\underline{Z}_K + \underline{Z}_{BS}) + k^2 (\underline{Z}_1 + \underline{Z}_2) \right] \\ \underline{I}_B &= \underline{U} \frac{1}{\underline{D}_m} \cdot \left[ -2\underline{Z}_K - k(\underline{Z}_1 e^{j\theta} + \underline{Z}_2 e^{-j\theta} - 2\cos\theta \underline{Z}_0) \right] \\ \underline{I}_K &= \underline{U} \frac{1}{\underline{D}_m} \cdot \left[ -2\underline{Z}_{BS} - k^2 (\underline{Z}_1 + \underline{Z}_2) + k(\underline{Z}_1 e^{j\theta} - 2\cos\theta \underline{Z}_0) \right] \end{aligned} \quad (4.18)$$

c) Pentru expresiile tensiunilor fazelor statorice:

$$\begin{aligned} \underline{U}_A &= \underline{U} \frac{1}{\underline{D}_m} \cdot \left\{ \underline{Z}_K \left[ (\underline{Z}_1 + \underline{Z}_2) - k(\underline{Z}_1 e^{-j\theta} + \underline{Z}_2 e^{j\theta} - 2\cos\theta \underline{Z}_0) \right] + \underline{Z}_{BS} (\underline{Z}_1 + \underline{Z}_2) + \right. \\ &\quad \left. + 2k^2 \left[ \underline{Z}_1 \underline{Z}_2 - (\underline{Z}_1 - \underline{Z}_0) (\underline{Z}_2 - \underline{Z}_0) \cos^2\theta \right] \right\} \\ \underline{U}_B &= \underline{U} \frac{1}{\underline{D}_m} \cdot \left[ \underline{Z}_K \left[ -2\underline{Z}_{BS} - k^2 (\underline{Z}_1 + \underline{Z}_2) + k(\underline{Z}_1 e^{j\theta} + \underline{Z}_2 e^{-j\theta} - 2\cos\theta \underline{Z}_0) \right] \right] \end{aligned} \quad (4.19)$$

#### 4.2.3 Performanțele la pornire.

La pornire:  $\underline{Z}_1 = \underline{Z}_2 = \underline{Z}_p$ . Impedanța  $\underline{Z}_p$  se calculează cu una din relațiile (4.14) în care se înlocuește  $s = 1$ . În plus, ea poate fi determinată și experimental (fiind chiar impedanța măsurată la bornele înfășurării statorice A atunci cînd rotorul este calat).

Cu aceste precizări, relațiile (4.16)...(4.19) la pornire devin:

$$\begin{aligned} \underline{I}_{A1p} &= \frac{\underline{U}}{1-\cos\theta} \cdot \frac{1}{2} \cdot \frac{\underline{Z}_K (1-ke^{-j\theta}) + \underline{Z}_{BS} + k^2 e^{-j\theta} (j\sin\theta \underline{Z}_p + \cos\theta \underline{Z}_0)}{\underline{Z}_K \left[ \underline{Z}_p (1-2k\cos\theta + k^2) + 2k\cos\theta \underline{Z}_0 + \underline{Z}_{BS} \right] + \underline{Z}_{BS} \underline{Z}_p + k^2 \left[ \underline{Z}_p^2 - (\underline{Z}_p - \underline{Z}_0)^2 \cos^2\theta \right]} \\ \underline{I}_{A2p} &= \frac{\underline{U}}{1-\cos\theta} \cdot \frac{1}{2} \cdot \frac{\underline{Z}_K (1-ke^{+j\theta}) + \underline{Z}_{BS} - k^2 e^{+j\theta} (j\sin\theta \underline{Z}_p - \cos\theta \underline{Z}_0)}{\underline{Z}_K \left[ \underline{Z}_p (1-2k\cos\theta + k^2) + 2k\cos\theta \underline{Z}_0 + \underline{Z}_{BS} \right] + \underline{Z}_{BS} \underline{Z}_p + k^2 \left[ \underline{Z}_p^2 - (\underline{Z}_p - \underline{Z}_0)^2 \cos^2\theta \right]} \\ \underline{I}_{A0p} &= \frac{\underline{U} \cdot \cos\theta}{1-\cos\theta} \cdot \frac{2}{2} \cdot \frac{\underline{Z}_K (k-1) - \underline{Z}_{BS} - k^2 \underline{Z}_p - (\underline{Z}_p - \underline{Z}_0) \cos\theta}{\underline{Z}_K \left[ \underline{Z}_p (1-2k\cos\theta + k^2) + 2k\cos\theta \underline{Z}_0 + \underline{Z}_{BS} \right] + \underline{Z}_{BS} \underline{Z}_p + k^2 \left[ \underline{Z}_p^2 - (\underline{Z}_p - \underline{Z}_0)^2 \cos^2\theta \right]} \end{aligned} \quad (4.20)$$

$$\underline{I}_{Ap} = \underline{U} \frac{\underline{Z}_K + \underline{Z}_{BS} + k^2 \underline{Z}_p}{\underline{Z}_K [\underline{Z}_p (1 - 2k \cos \theta + k^2) + 2k \cos \theta \underline{Z}_o + \underline{Z}_{BS}] + \underline{Z}_{BS} \underline{Z}_p + k^2 [\underline{Z}_p^2 - (\underline{Z}_p - \underline{Z}_o)^2 \cos^2 \theta]} \quad (4.21)$$

$$\underline{I}_{Bp} = \underline{U} \frac{-\underline{Z}_K - k \cos \theta \cdot (\underline{Z}_p - \underline{Z}_o)}{\underline{Z}_K [\underline{Z}_p (1 - 2k \cos \theta + k^2) + 2k \cos \theta \underline{Z}_o + \underline{Z}_{BS}] + \underline{Z}_{BS} \underline{Z}_p + k^2 [\underline{Z}_p^2 - (\underline{Z}_p - \underline{Z}_o)^2 \cos^2 \theta]}$$

$$\underline{I}_{Kp} = \underline{U} \frac{-\underline{Z}_{BS} - k^2 \underline{Z}_p + k \cos \theta \cdot (\underline{Z}_p - \underline{Z}_o)}{\underline{Z}_K [\underline{Z}_p (1 - 2k \cos \theta + k^2) + 2k \cos \theta \underline{Z}_o + \underline{Z}_{BS}] + \underline{Z}_{BS} \underline{Z}_p + k^2 [\underline{Z}_p^2 - (\underline{Z}_p - \underline{Z}_o)^2 \cos^2 \theta]} \quad (4.22)$$

$$\underline{U}_{Ap} = \underline{Z}_p \underline{I}_{Ap}; \quad \underline{U}_{Bp} = \underline{U}_{Kp} = \underline{Z}_K \underline{I}_{Kp}$$

Momentul electromagnetic dezvoltat -la pornire- de motorul de inducție monofazat fără înfășurare de pornire va fi determinat cu:

$$M_p = \frac{p \cdot \theta \sin^4 \frac{1}{2} \theta}{\omega_1} \cdot \frac{R_2' (R_{1m}^2 + X_{1m}^2)}{(R_2' + R_{1m})^2 + (X_2' + X_{1m})^2} \cdot (I_{A1p}^2 - I_{A2p}^2) \quad (4.23)$$

**OBSERVAȚIE:** Expresia " $\underline{Z}_p (1 - 2k \cos \theta + k^2) + 2k \cos \theta \cdot \underline{Z}_o + \underline{Z}_{BS}$ " care intervine în numitorul relațiilor (4.19)...(4.22) are o semnificație fizică deosebită. Pentru a o evidenția vom calcula impedanța echivalentă -la pornire- a motorului asincron monofazat, în absența condensatorului de pornire (ca în fig.4.3a).

În acest scop în fig. 4.3b s-a reconstituit mașina trifazată nesimetrică "model matematic", alimentată dezechilibrat (corespunzător relațiilor):

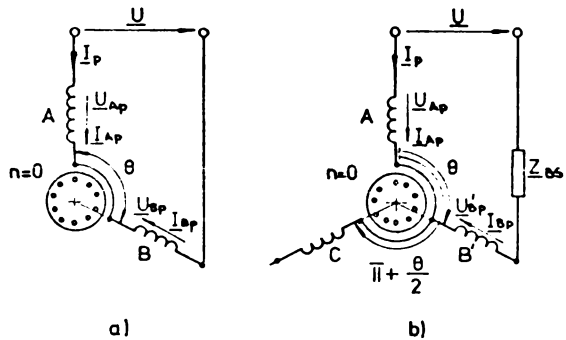


Fig.4.3

$$\begin{aligned} \underline{I}_{Ap} &= -\underline{I}_{Bp} = \underline{I}_p \\ \underline{I}_C &= 0 \end{aligned} \quad (4.24)$$

$$\underline{U}_{Ap} = \underline{U}_{B'p} + \underline{Z}_{BS} \underline{I}_p = \underline{U}$$

Dacă descompunem tensiunile de fază în componente simetrice și ținem cont de (4.5) obținem:

$$\begin{aligned} \underline{U}_{Ap} &= \underline{Z}_{A1p} \underline{I}_{A1p} + \underline{Z}_{A2p} \underline{I}_{A2p} + \underline{Z}_{A0p} \underline{I}_{A0p} \\ \underline{U}_{B'p} &= k (\underline{Z}_{A1p} \underline{I}_{A1p} e^{j\theta} + \underline{Z}_{A2p} \underline{I}_{A2p} e^{-j\theta} + \underline{Z}_{A0p} \underline{I}_{A0p}) \end{aligned} \quad (4.25)$$

în care, componentele simetrice ale curenților statorici (calculate cu relațiile (2.18)) sînt :

$$\underline{I}_{A1p} = \frac{1 - k e^{-j\theta}}{4 \sin^2 \frac{1}{2} \theta} \cdot \underline{I}_p; \quad \underline{I}_{A2p} = \frac{1 - k e^{+j\theta}}{4 \sin^2 \frac{1}{2} \theta} \cdot \underline{I}_p; \quad \underline{I}_{A0p} = \frac{2 \cos(\frac{\pi - \theta}{2}) (1 - k) \underline{I}_p}{4 \sin^2 \frac{1}{2} \theta} \quad (4.26)$$

În plus, dacă ținem cont că:  $\underline{Z}_{A1p} = \underline{Z}_{A2p} = \underline{Z}_p (1 - \cos \theta) + \underline{Z}_o \cos \theta$  și



că  $Z_{AO} = Z_O$ , ecuația de echilibru a tensiunilor din sistemul (4.24), după efectuarea substituțiilor de mai sus, devine:

$$U = [Z_p(1-2k\cos\theta+k^2) + 2k\cos\theta \cdot Z_O + Z_{BS}] \cdot I_p \quad (4.27)$$

Prin urmare " $Z_p(1-2k\cos\theta+k^2) + 2k\cos\theta \cdot Z_O + Z_{BS}$ " este chiar impedanța la pornire a motorului asincron monofazat fără înfășurare de pornire (și fără condensatorul de pornire). O vom nota cu  $Z_{mp}$ , ( $Z_{mp} = R_{mp} + jX_{mp}$ ). Dacă utilizăm și relația (4.1) de definire a impedanței de simetrizare  $Z_{BS}$  și separăm părțile reală și imaginară, obținem:

$$\begin{aligned} R_{mp} &= (R_p - R_A)(1-2k\cos\theta+k^2) + R_A + R_B \\ X_{mp} &= (X_p - X_{Av})(1-2k\cos\theta+k^2) + X_{Av} + X_{Bv} \end{aligned} \quad (4.28)$$

Intrucît  $R_p$ ,  $R_{mp}$ ,  $X_p$  și  $X_{mp}$  pot fi determinați și experimental (atît pentru conexiunea adițională cît și cea diferențială a înfășurărilor de fază statorice), relații de tipul (4.28) au fost utilizate la determinarea experimentală a parametrilor motoarelor asincrone monofazate fără înfășurare de pornire.

Cu această observație pot fi rescrise -mai simplu- toate expresiile corespunzătoare regimului de pornire (căci  $Z_{mp}$  apare explicit în numitorul acestora). Inșă, în acest stadiu, este imposibil de prezis cum se modifică performanțele motorului -la pornire- dacă se variază unghiul  $\theta$  sau raportul de transformare  $k$ . Pentru a răspunde la această întrebare, în primul rînd, trebuie stabilită dependența parametrilor înfășurărilor statorice cu  $\theta$  și  $k$ . În plus, pentru aprecieri cantitative, toate mărimile aferente regimului de pornire (curenți, moment electromagnetic, pierderi etc.) vor trebui precizate în valori relative.

Pentru motorul de inducție monofazat fără înfășurare de pornire s-a găsit că cea mai convenabilă bază de raportare o constituie mărimile corespunzătoare (regimului de pornire) ale motorului bifazat simetric echivalent.

Motorul bifazat simetric reprezentat în fig.4.4 b (cu același rotor și aceeași mărime a întrefierului) este echivalent -atît din punct energetic (la pornire) cît și al sollicitărilor electromagnetice- cu motorul asincron monofazat fără înfășurare de pornire.

Condițiile de conservare sînt următoarele:

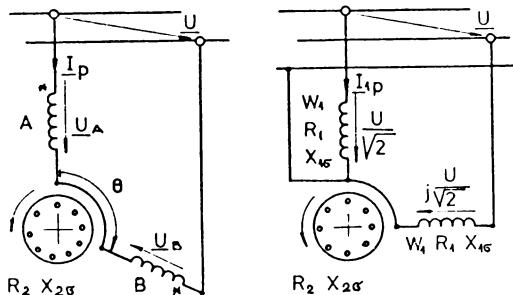


Fig.4.4

1. Aceeași putere aparentă absorbită din rețea, la pornire:

$$U \cdot I_p = 2 \cdot \frac{U}{\sqrt{2}} \cdot I_{1p} \quad (4.29)$$

de unde: 
$$I_p = \sqrt{2} \cdot I_{1p} \quad (4.30)$$

2. Aceeași putere activă absorbită din rețea, la pornire:

$$R_{mp} I_p^2 = 2 \cdot R_{1p} \cdot I_{1p}^2 \quad (4.31)$$

de unde: 
$$R_{mp} = R_{1p} \quad (4.32)$$

Din condițiile 1. și 2. rezultă implicit și egalitatea puterilor reactive, adică:

$$X_{mp} = X_{1p} \quad (4.33)$$

(În relațiile de mai sus, cu  $R_{1p}$  și  $X_{1p}$  s-au notat rezistența și respectiv reactanța -pe fază- la pornire, corespunzătoare motorului bifazat simetric echivalent.)

3. Aceleași solicitări magnetice. Cum însă circuitele magnetice ale celor două mașini sînt identice, condiția este echivalentă cu invarianța fluxului util maxim în întrefier. Rezultă:

$$w_A k_{w1} \sqrt{1-2k\cos\theta+k^2} = \sqrt{2} \cdot w_1 k_{w1} \quad (4.34)$$

de unde:

$$w_A k_{wA} = \frac{\sqrt{2}}{\sqrt{1-2k\cos\theta+k^2}} \cdot w_1 k_{w1}$$

$$w_B k_{wB} = \frac{k\sqrt{2}}{\sqrt{1-2k\cos\theta+k^2}} \cdot w_1 k_{w1} \quad (4.35)$$

La aceeași geometrie transversală a creștăturilor statorice, reactanțele proprii de dispersie a înfășurărilor statorice depind numai de pătratul numerelor efective de spire. Prin urmare:

$$X_{A\sigma} = \frac{2}{1-2k\cos\theta+k^2} \cdot X_{1\sigma}$$

$$X_{B\sigma} = \frac{2k^2}{1-2k\cos\theta+k^2} \cdot X_{1\sigma} \quad (4.36)$$

De asemenea, parametrii rotorici raportați la numărul efectiv de spire al înfășurării statorice (de referință) A, se calculează cu:

$$R'_{2(A)} = \frac{2}{1-2k\cos\theta+k^2} \cdot R'_{2(1)}; \quad X'_{2(A)} = \frac{2}{1-2k\cos\theta+k^2} \cdot X'_{2(1)} \quad (4.37)$$

4. Aceleași solicitări electrice. Dacă prin  $s_{Cu}$  și  $s_{Cu1}$  se notează secțiunile transversale ale conductoarelor înfășurărilor statorice (corespunzătoare celor două mașini), la pornire condiția devine echivalentă cu:

$$\frac{s_{Cu1}}{s_{Cu}} = \frac{I_{1p}}{I_p} \quad (4.38)$$

Dacă admitem că atât lungimea medie a spirelor statorice cît și factorii de bobinaj sînt aceeași pentru înfășurările ambelor mașini, vom obține:

$$R_A = \frac{1}{\sqrt{1-2k\cos\theta+k^2}} \cdot R_1; \quad R_B = \frac{k}{\sqrt{1-2k\cos\theta+k^2}} \cdot R_1 \quad (4.39)$$

Ansamblul relațiilor de mai sus, împreună cu expresiile (4.28) permit

stabilirea analitică a dependenței (cu  $k$  și  $\theta$ ) a tuturor parametrilor motorului asincron monofazat (văzuți pe la bornele înfășurării statorice de referință A):

$$R_p(k, \theta) = \frac{(1-2k\cos\theta+k^2)^{1/2} R_{1p} + k(k-1-2\cos\theta)R_1}{(1-2k\cos\theta+k^2)^{3/2}}$$

$$X_p(k, \theta) = \frac{(1-2k\cos\theta+k^2) \cdot X_{1p} - 4k \cdot \cos\theta \cdot X_{1r}}{(1-2k\cos\theta+k^2)^2}$$

$$R_A(k, \theta) = \frac{1}{(1-2k\cos\theta+k^2)^{1/2}} \cdot R_1 ; \quad R_B(k, \theta) = \frac{k}{(1-2k\cos\theta+k^2)^{1/2}} \cdot R_1 \quad (3.40)$$

$$X_{Ar}(k, \theta) = \frac{2}{1-2k\cos\theta+k^2} \cdot X_{1r} ; \quad X_{Br}(k, \theta) = \frac{2k^2}{1-2k\cos\theta+k^2} \cdot X_{1r}$$

$$R'_{2(A)}(k, \theta) = \frac{2}{1-2k\cos\theta+k^2} \cdot R'_{2(1)} ; \quad X'_{2r(A)}(k, \theta) = \frac{2}{1-2k\cos\theta+k^2} \cdot X'_{2r(1)}$$

În ceea ce privește aspectul economic, vom face o scurtă comparație cu motorul asincron monofazat cu fază de pornire (la care greutatea înfășurării de pornire poate ajunge pînă la 33% din greutatea înfășurării principale, cu  $w_{pr}$  spire efective). Pentru aceasta, în fig.4.5 și fig.4.6 s-au reprezentat dependențele  $\tilde{w}_A = w_A k_{wA} / (w k_{wpr})$  și  $\tilde{w}_B = w_B k_{wB} / (w k_{wpr})$  precum și consumul relativ de cupru (utilizat la confecționarea înfășurărilor statorice A și B)  $\tilde{C}_{Cu}$  (raportat la cantitatea de cupru necesară înfășurării principale), cu  $k$  și respectiv cu  $\theta$ .

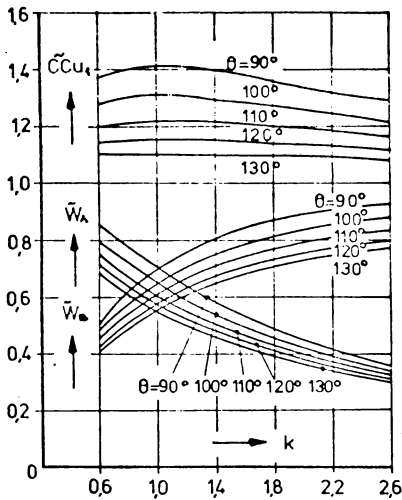


Fig.4.5

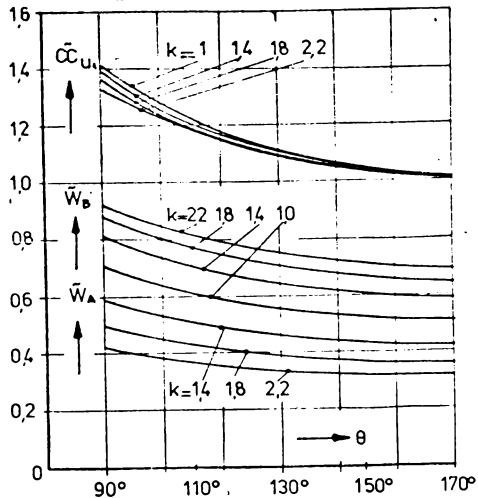


Fig.4.6

Pentru cazul uzual al fazelor statorice A și B dispuse la  $120^\circ$ , cantitatea de cupru necesară realizării înfășurărilor statorice ale motorului asincron monofazat fără înfășurare de pornire nu depășește decît cu 10 - 12% greutatea înfășurării principale a motorului asincron monofazat cu fază au-

xiliară de pornire. In ansamblu, pe motor, rezultă o economie de cupru de cca. 20 - 23%.

Pentru motorul asincron monofazat fără înfășurare de pornire dar cu condensator de pornire vom analiza influența: a unghiului  $\theta$ , a raportului de transformare  $k$  și a reactanței condensatorului de pornire  $X_K$  asupra următoarelor mărimi: 1) Curenții  $I_{Ap} = I_p$ ,  $I_{Bp}$  și  $I_{Kp}$  la pornire; 2) Momentul electromagnetic de pornire; 3) Raportul dintre momentul electromagnetic și curentul de pornire; 4) Raportul dintre moment și pierderile electrice din înfășurările statorice, la pornire și 5) Tensiunea  $U_{Kp}$  la bornele condensatorului, la pornire.

De asemenea, se stabilesc relații de dimensionare a reactanței capacitive  $X_K$  din condițiile: a/ Grad de disimetrie al curenților statorici egal cu zero; b/  $M_p = \max.$ ; c/  $M_p = \text{valoare prestabilită}$  și d/  $M_p/P_p = \max.$

Reprezentările grafice aferente vor fi trasate în mărimi relative (mărimi marcate cu semnul  $\sim$  deasupra simbolului respectiv). Baza de raportare va fi alcătuită din mărimile corespunzătoare motorului bifazat simetric, echivalent. (Rezistențele, reactanțele și impedanțele vor fi raportate la impedanța echivalentă -pe fază-  $Z_{1p} = Z_{mp}$ ; curenții la  $I_{1p}$ ; momentul electromagnetic la  $M_{sp}$  etc.)

In acest sens, se introduc notațiile:

$$\begin{aligned} x_K &= X_K/Z_{1p}; & r_p &= R_p/Z_{1p}; & x_p &= X_p/Z_{1p}; & r_A &= R_A/Z_{1p} \\ r_B &= R_B/Z_{1p}; & x_{A\sigma} &= X_{A\sigma}/Z_{1p}; & x_{B\sigma} &= X_{B\sigma}/Z_{1p} \end{aligned} \quad (4.41)$$

Separat vor fi prezentate și rezultatele încercărilor experimentale corespunzătoare la 11 motoare realizate practic.

#### 4.2.3.1 Curenții la pornire. Gradul de disimetrie al curenților statorici la pornire.

In valori absolute, curentul absorbit din rețea (la pornire) de motorul asincron monofazat fără înfășurare de pornire dar cu condensator de pornire se determină cu:

$$I_p = I_{Ap} = U \left\{ \frac{[R_B + k^2(R_p - R_A)]^2 + [X_K - X_{B\sigma} - k^2(X_p - X_{A\sigma})]^2}{N_1^2} \right\}^{1/2} \quad (4.42)$$

în care:

$$\begin{aligned} N_1^2 &= \left[ X_K [(X_p - X_{A\sigma})(1 - 2k \cos \theta + k^2) + X_{A\sigma} + X_{B\sigma}] + R_p(R_B - k^2 R_A) - X_p(X_{B\sigma} - k^2 X_{A\sigma}) + \right. \\ &\quad \left. + k^2 [R_p^2 - X_p^2 - [(R_p - R_A)^2 - (X_p - X_{A\sigma})^2] \cos^2 \theta] \right]^2 + \quad (4.43) \\ &\quad + \left[ -X_K [(R_p - R_A)(1 - 2k \cos \theta + k^2) + R_A + R_B] + R_p(X_{B\sigma} - k^2 X_{A\sigma}) + X_p(R_B - k^2 R_A) + \right. \\ &\quad \left. + 2k^2 [R_p X_p - (R_p - R_A)(X_p - X_{A\sigma}) \cos^2 \theta] \right]^2 \end{aligned}$$

Expresii cu totul similare se obțin și pentru  $I_{Bp}$ , respectiv  $I_{Kp}$ :

$$I_{Bp} = U \left\{ \frac{k^2 \cos^2 \theta \cdot (R_p - R_A)^2 + [X_K - k \cos \theta \cdot (X_p - X_{A\Gamma})]^2}{N_1^2} \right\}^{1/2} \quad (4.44)$$

$$I_{Kp} = U \left\{ \frac{[(R_p - R_A)(k^2 - k \cos \theta) + R_B]^2 + [(X_p - X_{A\Gamma})(k^2 - k \cos \theta) + X_{B\Gamma}]^2}{N_1^2} \right\}^{1/2}$$

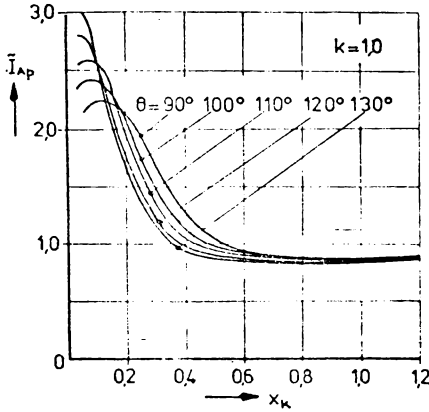


Fig. 4.7

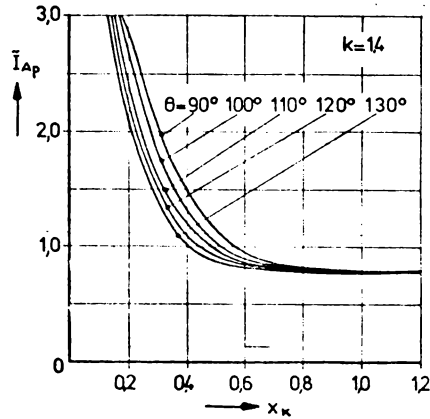


Fig. 4.8

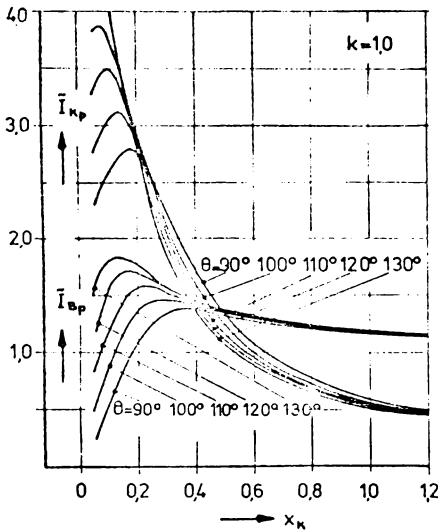


Fig. 4.9

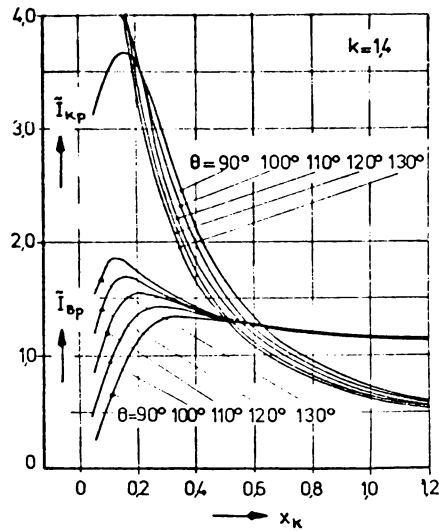


Fig. 4.10

Pentru aprecieri cantitative, vom utiliza expresiile curentilor statice in marimi relative (raportati la curentul de pornire al motorului bifazat simetric, echivalent). In final, obtinem:

$$\tilde{I}_{Ap} = \left\{ \frac{[R_B + k^2(r_p - r_A)]^2 + [X_K - X_{B\Gamma} - k^2(x_p - X_{A\Gamma})]^2}{(C_1 + D_1 x_K)^2 + (E_1 - F_1 x_K)^2} \right\}^{1/2}$$

$$I_{Bp} = \left\{ \frac{k^2 \cos^2 \theta \cdot (r_p - r_A)^2 + [x_K - k \cos \theta \cdot (x_p - x_{AV})]^2}{(C_1 + D_1 x_K)^2 + (E_1 - F_1 x_K)^2} \right\}^{\frac{1}{2}} \quad (4.45)$$

$$I_{Kp} = \left\{ \frac{[(r_p - r_A)(k^2 - k \cos \theta) + r_B]^2 + [(x_p - x_{AV})(k^2 - k \cos \theta) + x_{BV}]^2}{(C_1 + D_1 x_K)^2 + (E_1 - F_1 x_K)^2} \right\}^{\frac{1}{2}}$$

în care:

$$\begin{aligned} C_1 &= r_p(r_B - k^2 r_A) - x_p(x_{BV} - k^2 x_{AV}) + k^2 [x_p^2 - x_p^2 - [(r_p - r_A)^2 - (x_p - x_{AV})^2] \cos^2 \theta] \\ D_1 &= (x_p - x_{AV})(1 - 2k \cos \theta + k^2) + x_{AV} + x_{BV} \\ E_1 &= r_p(x_{BV} - k^2 x_{AV}) + x_p(r_B - k^2 r_A) + 2k^2 [r_p x_p - (r_p - r_A)(x_p - x_{AV}) \cos^2 \theta] \\ F_1 &= (r_p - r_A)(1 - 2k \cos \theta + k^2) + r_A + r_B \end{aligned} \quad (4.46)$$

Dependența curenților  $\tilde{I}_{Ap}$ ,  $\tilde{I}_{Bp}$  și  $\tilde{I}_{Kp}$  cu mărimea reactanței capacitive  $x_K$  este reprezentată în fig.4.7, fig.4.8, fig.4.9 și fig.4.10 pentru  $k = 1,0$  (respectiv  $k = 1,4$ ) și  $\theta = 90^\circ, 100^\circ, 110^\circ, 120^\circ, 130^\circ$ .

După cum se observă, curenții  $\tilde{I}_{Ap}$  și  $\tilde{I}_{Kp}$  se micșorează o dată cu mărirea decalajului spațial  $\theta$  dintre axele fazelor statorice A și B. În plus, curenții  $\tilde{I}_{Bp}$  (pentru  $k = ct.$  și  $x_K > 0,5$ ) rămâne practic neschimbat (pentru toate valorile precizate anterior ale unghiului  $\theta$ ).

La pornire, când condensatorul K suntează faza statorică B, înfășurările statorice sînt parcurse de un sistem bifazat, general nesimetric de curenți. Pentru un astfel de regim au fost definiți factorii de nesimetrie ai curenților statorici.

Corespunzător regimului de pornire al motorului asincron monofazat fără înfășurare de pornire dar cu condensator de pornire, gradul de disimetrie (3.20) al curenților se calculează cu:

$$\varepsilon_{iI} = \left| \frac{Z_K(1 - ke^{j\theta}) + Z_{pS} - k^2 e^{j\theta}(j \sin \theta \cdot Z_p - \cos \theta \cdot Z_0)}{Z_K(1 - ke^{-j\theta}) + Z_{BS} + k^2 e^{-j\theta}(j \sin \theta \cdot Z_p + \cos \theta \cdot Z_0)} \right| \quad (4.47)$$

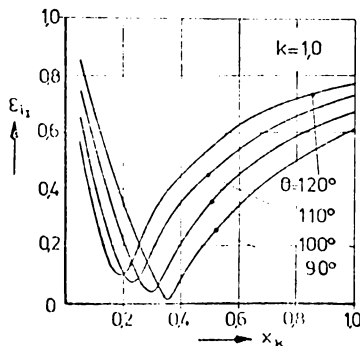


Fig.4.11

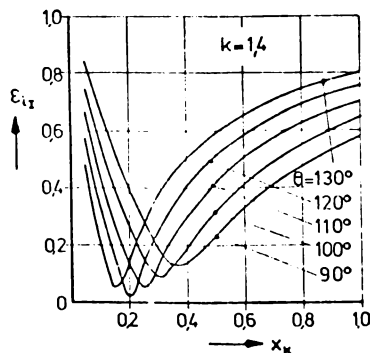


Fig.4.12

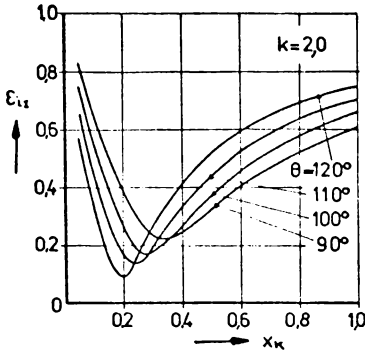


Fig.4.13

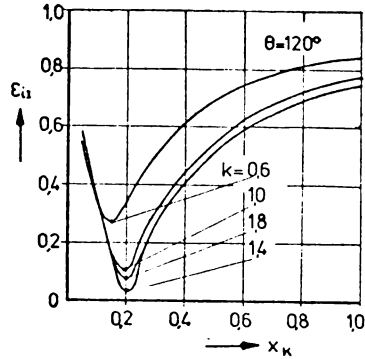


Fig.4.14

Variația gradului de disimetrie cu mărimea reactanței capacitive  $x_K$  este reprezentată în fig.4.11 (pentru  $k = 1,0$ ), fig.4.12 (pentru  $k = 1,4$ ), fig. 4.13 (pentru  $k = 2,0$ ).

Pentru  $\theta = 120^\circ$ , în fig.4.14 s-a reprezentat variația gradului de disimetrie (al curenților la pornire) cu  $x_K$  și diferite valori ale raportului de transformare  $k$ .

Din analiza curbelor de mai sus, la  $\theta = \text{ct.}$ , cu ușurință se observă existența unei perechi de valori ( $x_K, k$ ) pentru care  $\xi_{II}$  devine minim. În acest context, ne propunem să stabilim condițiile anulării gradului de disimetrie al curenților, la pornire.

Dacă introducem mărimile complexe:

$$\underline{x}_K = \frac{-jX_K}{R_{mp} + jX_{mp}}; \quad \underline{z}_p = \frac{R_p + jX_p}{R_{mp} + jX_{mp}}; \quad \underline{a} = \frac{R_A + jX_{A\Gamma}}{R_{mp} + jX_{mp}} \quad (4.48)$$

pe care le scriem în reprezentare polară, sub forma:

$$\underline{x}_K = x_K e^{-j\xi}; \quad \underline{z}_p = z_p e^{-j\xi_p}; \quad \underline{a} = a \cdot e^{-j\alpha} \quad (4.49)$$

atunci, condițiile anulării gradului de disimetrie al curenților, la pornire, sînt conținute în sistemul:

$$\begin{aligned} (1-2k\cos\theta+k^2)x_K \cos\xi &= -1+k\cos\theta + z_p \left\{ [1-k\cos\theta(2-2k\cos\theta+k^2)] \cos\xi_p - \right. \\ &\quad \left. -k(1-k\cos\theta)\cos(\theta+\xi_p) \right\} + ak\cos\theta [(2-2k\cos\theta+k^2)\cos\alpha - k\cos(\theta+\alpha)] \\ (1-2k\cos\theta+k^2)x_K \sin\xi &= k\sin\theta + z_p \left\{ [1-k\cos\theta(2-2k\cos\theta+k^2)] \sin\xi_p - \right. \\ &\quad \left. -k(1-k\cos\theta)\sin(\theta+\xi_p) \right\} + ak\cos\theta [(2-2k\cos\theta+k^2)\sin\alpha - k\sin(\theta+\alpha)] \end{aligned} \quad (4.50)$$

Analitic, sistemul (4.50) poate fi simplificat dacă se rescrie sub forma:

$$\begin{aligned} x_K(K_3-1)\cos\xi &= A + C \\ x_K(K_3-1)\sin\xi &= B + D \end{aligned} \quad (4.51)$$

cu soluția imediată:

$$x_K = \frac{[(A+C)^2 + (B+D)^2]^{1/2}}{K_3 - 1} \quad \text{și} \quad \operatorname{tg} \xi = \frac{B+D}{A+C} \quad (4.52)$$

La scrierea relațiilor (4.51) și (4.52) s-au utilizat notațiile:

$$\begin{aligned} A &= -1 + k \cos \theta + z_p [K_1 \cos \xi_p - K_2 \cos(\theta + \xi_p)] \\ B &= k \sin \theta + z_p [K_1 \sin \xi_p - K_2 \sin(\theta + \xi_p)] \\ C &= a k \cos \theta \cdot [K_3 \cos \alpha - k \cos(\theta + \alpha)] \\ D &= a k \cos \theta \cdot [K_3 \sin \alpha - k \sin(\theta + \alpha)] \end{aligned} \quad (4.53)$$

și respectiv:

$$\begin{aligned} K_1 &= 1 - k \cos \theta \cdot (2 - 2k \cos \theta + k^2) \\ K_2 &= k(1 - k \cos \theta) \\ K_3 &= 2 - 2k \cos \theta + k^2 \end{aligned} \quad (4.54)$$

Relații mult mai simple se obțin în cazul înfășurărilor statoreice în cuadratură electrică (deși nici acestea nu sînt stabilite în literatură). Astfel, pentru  $\theta = 90^\circ$  obținem:

$$\begin{aligned} K_1(90^\circ) &= 1; \quad K_2(90^\circ) = k; \quad K_3(90^\circ) = 2 + k^2 \\ A(90^\circ) &= -1 + z_p (\cos \xi_p + k \sin \xi_p) \\ B(90^\circ) &= k + z_p (\sin \xi_p - k \cos \xi_p) \\ C(90^\circ) &= 0; \quad D(90^\circ) = 0 \end{aligned} \quad (4.55)$$

Pe baza acestora, expresiile (4.52) devin:

$$x_K(90^\circ) = \sqrt{\frac{-2z_p \cos \xi_p + z_p^2}{1 + k^2}} \quad \operatorname{tg} \xi = \frac{k + z_p (\sin \xi_p - k \cos \xi_p)}{-1 + z_p (\cos \xi_p + k \sin \xi_p)} \quad (4.56)$$

Dacă se au în vedere și relațiile de definire a mărimilor complexe  $\underline{x}_K$ ,  $\underline{z}_p$  și  $\underline{a}$  (4.48), (4.49), după cîteva prelucrări matematice, expresiile (4.56) pot fi puse sub forma:

$$k = \frac{R_{mp} - R_p}{X_{mp} - X_p} \quad \text{și} \quad x_K(90^\circ) = \frac{X_{mp} - X_p}{R_{mp}^2 + X_{mp}^2} \quad (4.57)$$

Ultima relație din (4.57) ne oferă chiar capacitatea condensatorului de pornire, adică:

$$C(90^\circ) = \frac{1}{2\pi f_1 (X_{mp} - X_p)}$$

#### 4.2.3.2 Momentul de pornire.

Momentul electromagnetic dezvoltat la pornire de motorul de inducție monofazat fără înfășurare de pornire dar cu condensator de pornire (de reactanță  $X_K = 1/(\omega_1 C_K)$ ), calculat pe baza expresiilor (4.23) și (4.20) poate fi adus la forma:

$$M_p = \frac{2p \cdot U^2 \cdot k \cdot \sin \theta}{\omega_1} \cdot R_o' \cdot \frac{M}{N_1^2} \quad (4.58)$$

în care:



$$R'_0 = \frac{R'_2(R_{1m}^2 + X_{1m}^2)}{(R'_2 + R_{1m})^2 + (X'_{2f} + X_{1m})^2} \quad (4.59)$$

$$M = X_K [R_B + k(k - \cos\theta)(R_p - R_A)] + k \cos\theta [(R_p - R_A)X_{Bv} - (X_p - X_{Av})R_B]$$

$N'_1$  este precizat de (4.43).

La scrierea relațiilor (4.59), parametrii rotorici se consideră reduși la numărul efectiv de spire  $w_A k_{WA}$  (al înfășurării statorice de referință A), iar cu  $R_p$  și  $X_p$  s-au notat rezistența și respectiv reactanța măsurată - la pornire - la bornele înfășurării A.

Dacă se raportează expresia (4.58) la relația momentului de pornire al motorului bifazat simetric (echivalent)  $M_{sp}$ , și totodată introducem parametrii (4.41), în final obținem:

$$\tilde{M}_p = \frac{4k \cdot \sin\theta}{1 - 2k \cos\theta + k^2} \cdot \frac{A_1 + B_1 x_K}{(C_1 + D_1 x_K)^2 + (E_1 - F_1 x_K)^2} \quad (4.60)$$

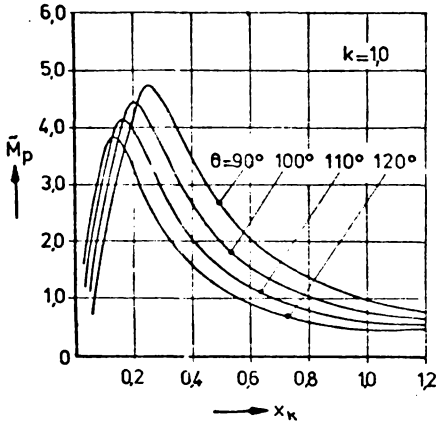


Fig.4.15

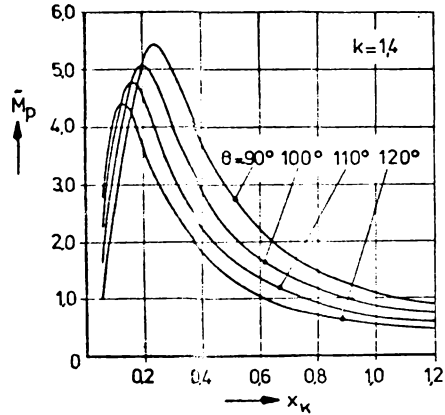


Fig.4.16

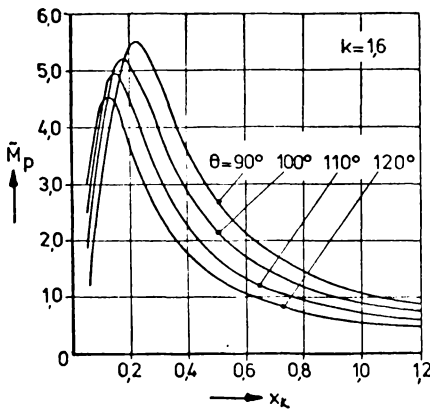


Fig.4.17

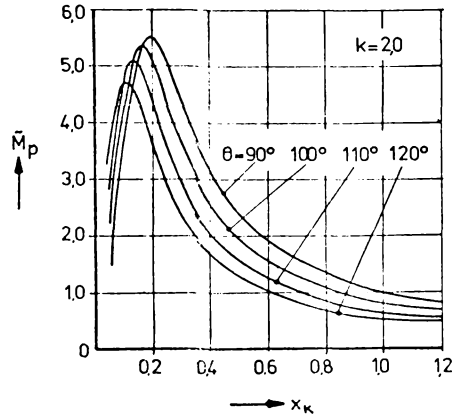


Fig.4.18

în care:

$$\begin{aligned} A_1 &= k \cos \theta [(r_p - r_A) x_{BV} - (x_p - x_{AV}) r_B] \\ B_1 &= r_B + k(k - \cos \theta)(r_p - r_A) \\ C_1, D_1, E_1 \text{ și } F_1 &\text{ sînt dați de (4.46)} \end{aligned} \quad (4.61)$$

Variația momentului relativ de pornire cu mărimea reactanței capacitive,  $\tilde{M}_p = f(x_K)$ , pentru  $\theta = 90^\circ, 100^\circ, 110^\circ$  și  $120^\circ$  este reprezentată în fig. 4.15 (pentru  $k=1$ ), fig.4.16 (pentru  $k=1,4$ ), fig.4.17 (pentru  $k=1,6$ ) și în fig.4.18 (pentru  $k=2$ ). Din alura graficelor se constată prezența unui optim.

Mărimea reactanței capacitive  $x_K$ , pentru care  $\tilde{M}_p$  este maxim, se determină din condiția  $\partial \tilde{M}_p / \partial x_K = 0$ . După efectuarea calculelor, se găsește:

$$x_K = -\frac{A_1}{B_1} + \frac{1}{B_1} \left[ \frac{(A_1 D_1 - B_1 C_1)^2 + (A_1 F_1 + B_1 E_1)^2}{D_1^2 + F_1^2} \right]^{1/2} \quad (4.62)$$

Intrucît valoarea capacității condensatorului de pornire determinată cu (4.62) este mult prea mare, din rațiuni economice, pentru pornirea acestor tipuri de motoare asincrone monofazate (la  $\tilde{M}_p = 1 - 2$ ) se utilizează condensatoare de capacități mult mai mici.

În plus, să observăm că expresia (4.62) este formal identică cu relația (3.36) de dimensionare a reactanței capacitive pentru care și motorul asincron monofazat cu fază capacitivă de pornire dezvoltă moment electromagnetic maxim la pornire.

Raportul de transformare  $k$  intervine atât explicit cît și implicit în expresia momentului de pornire. De fapt, el a și fost ales ca parametru general în figurile 4.15 - 4.18. Pentru valoarea uzuală a decalajului spațial dintre axele fazelor statorice,  $\theta = 120^\circ$  el., în fig.4.19 s-a reprezentat dependența grafică  $\tilde{M}_p = f(x_K)$ , pentru  $k = 0,6; 1,0; 1,4; 1,8$ .

Variația momentului de pornire cu raportul de transformare  $k$ ,  $\tilde{M}_p = f(k)$

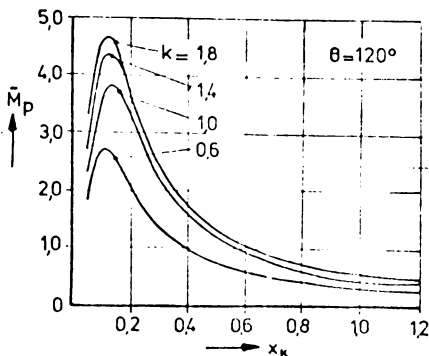


Fig.4.19

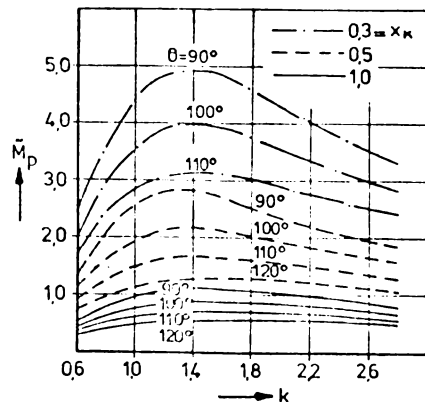


Fig.4.20

corespunzător decalajelor spațiale  $\theta = 90^\circ, 100^\circ, 110^\circ$  și  $120^\circ$  este reprezentată în fig.4.20 pentru  $x_K = 0,3$  (cu linie-punct),  $x_K = 0,5$  (cu linie întreruptă) și respectiv  $x_K = 1,0$  (cu linie continuă).

Pentru a ilustra dependența momentului de pornire cu unghiul  $\theta$ , în fig. 4.21, fig.4.22 și fig.4.23 s-au reprezentat familiile de curbe  $\tilde{M}_p = f(\theta)$ , avînd ca parametru general pe  $k$ . În fiecare diagramă,  $x_K = 0,3 \dots 1,0$  (din 0,1 în 0,1).

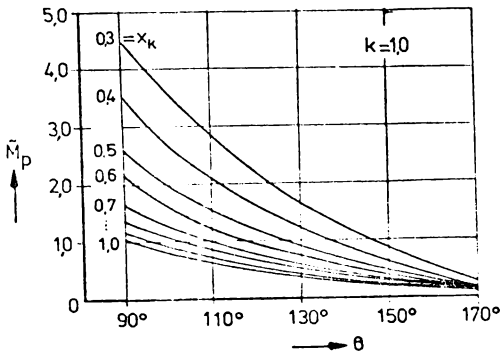


Fig.4.21

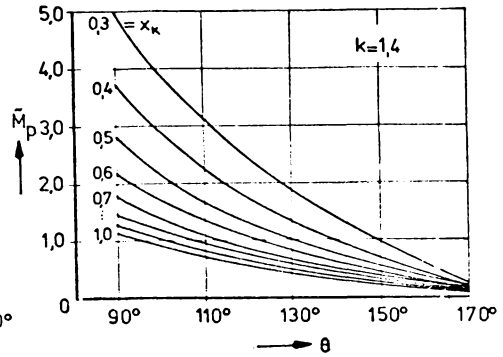


Fig.4.22

Din analiza diagramelor prezentate mai sus, se observă dependența foarte pronunțată a momentului de pornire cu unghiul  $\theta$  precum și influența relativ redusă a raportului de transformare  $k$  (tot asupra momentului de pornire). (Astfel, dacă  $k$  crește de la 1,0 la 1,4, momentul de pornire se mărește numai cu 10% - pentru orice valoare a unghiului  $\theta$  - dacă  $x_K$  rămîne același.

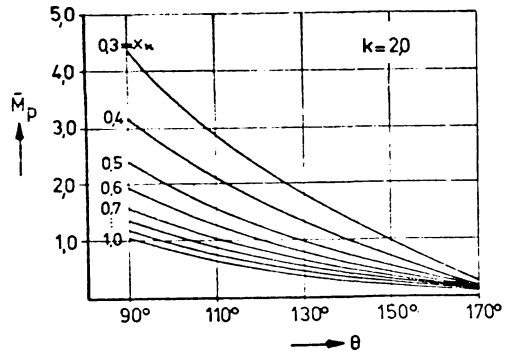


Fig.4.23

Un alt tip de problemă care poate fi pusă acestor tipuri de motoare asincrone monofazate constă în determinarea reactanței capacitive  $x_K$  care -la pornire- să asigure o anumită valoare a momentului de pornire. Răspunsul îl putem afla numai după soluționarea ecuației (4.60), în raport cu  $x_K$ . În final, ajungem la:

$$x_{K1,2} = \frac{B_2}{A_2} \pm \sqrt{\left(\frac{B_2}{A_2}\right)^2 - \frac{C_2}{A_2}} \quad (4.63)$$

în care:

$$A_2 = D_1^2 + F_1^2$$

$$B_2 = E_1 F_1 - C_1 D_1 + \frac{1}{\tilde{M}_p} \cdot \frac{2k \sin \theta}{1 - 2k \cos \theta + k^2} \cdot B_1 \quad (4.64)$$

$$C_2 = C_1^2 + E_1^2 - \frac{1}{\tilde{M}_p} \cdot \frac{4k \sin \theta}{1 - 2k \cos \theta + k^2} \cdot A_1$$

Dacă  $B_2^2 < A_2 C_2$ , soluțiile (4.63) sînt complexe iar motorul nu va dezvolta la pornire momentul impus, pentru orice valoare a condensatorului de pornire.

Dacă  $B_2^2 \geq A_2 C_2$ , soluțiile (4.64) sînt reale. Din considerente tehnice (pentru limitarea curentului de pornire) se va alege întotdeauna valoarea maximă a reactanței  $x_K$  (corespunzătoare semnelui + în fața radicalului). În acest caz, dacă în plus  $x_{K1} > x_K > x_{K2}$ , atunci vor fi obținute momente de pornire mai mari decît cel impus.

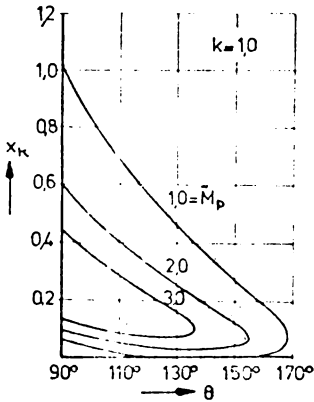


Fig. 4.24

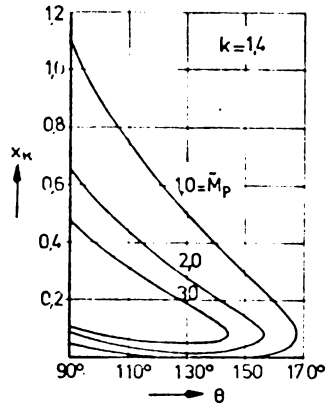


Fig. 4.25

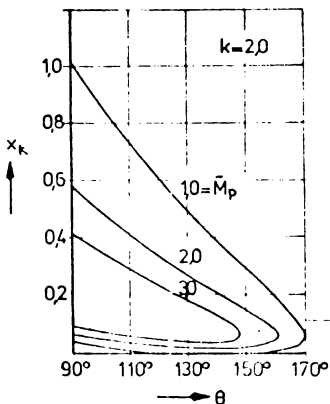


Fig. 4.26

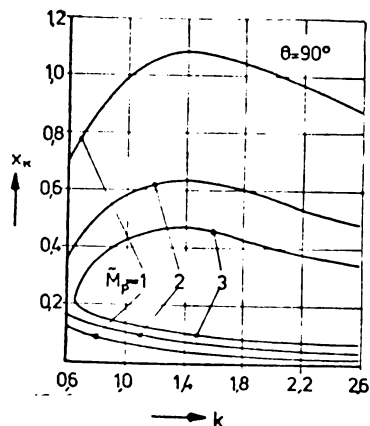


Fig. 4.27

Dependența  $x_K = f(\theta)$  pentru  $\tilde{M}_p = \text{const.}$  și  $k = \text{const.}$ , este ilustrată în fig. 4.24, fig. 4.25 și în fig. 4.26. Să observăm că, o dată cu mărirea de-

calajului spațial  $\theta$  (dintre axele fazelor statorice), intervalul în care  $x_K$  ia valori, astfel ca momentul de pornire să depășească valoarea impusă, se îngustează considerabil. Acest aspect este și mai pregnant ilustrat de fig.4.27 și 4.28, în care s-au reprezentat dependențele  $x_K = f(k)$ , pentru  $\theta = 90^\circ$  și respectiv  $\theta = 120^\circ$ .

Totodată, aceste diagrame ne oferă în plus și o imagine mai sugestivă în legătură cu alegerea valorii raportului de transformare  $k$ .

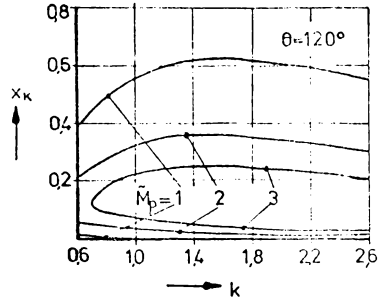


Fig.4.28

4.2.3.3 Raportul dintre momentul electromagnetic și curent, la pornire.

Mărimea raportului dintre momentul electromagnetic de pornire și curentul de pornire (sau momentul specific de pornire) al motorului asincron monofazat fără înfășurare de pornire dar cu condensator de pornire se determină -în mărimi relative- cu relația:

$$\frac{\tilde{M}_P}{\tilde{I}_P} = \frac{4k \sin \theta}{1 - 2k \cos \theta + k^2} \frac{A_1 + B_1 x_K}{\left[ (C_1 + D_1 x_K)^2 + (E_1 - F_1 x_K)^2 \right]^{1/2} \cdot \left[ (r_{BS} + k^2 r_p)^2 + (x_{BS} + k^2 x_p - x_K)^2 \right]^{1/2}}$$

cu:  $r_{BS} = r_B - k^2 r_A$ ;  $x_{BS} = x_B - k^2 x_A$  (4.65)

în care constantele  $A_1, B_1, C_1, D_1, E_1$  și  $F_1$  depind numai de parametrii motorului și sînt precizate de (4.61) și (4.46).

Desigur, pentru orice motor electric se dorește o valoare cît mai mare a momentului specific. Variația momentului specific de pornire cu mărimea

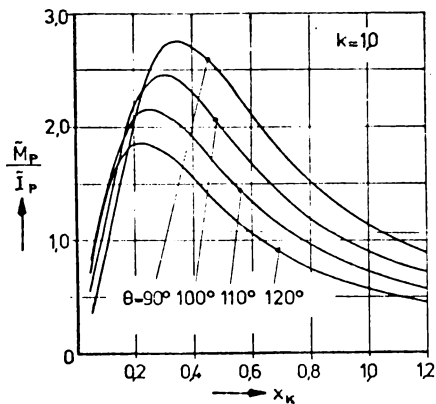


Fig.4.29

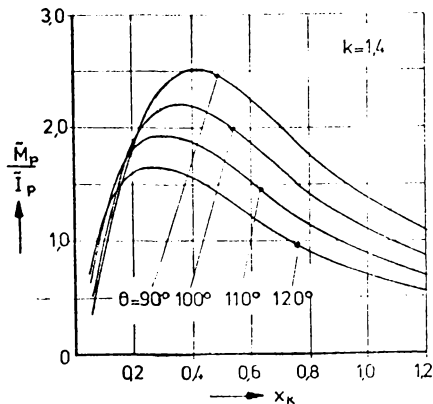


Fig.4.30

reactanței capacitive  $x_K$  este reprezentată în fig.4.29 și fig.4.30.

Totodată, în figurile de mai sus, se poate urmări și influența decalajului spațial  $\theta$  asupra mărimei momentului specific de pornire.

Pentru  $\theta = 120^\circ$ , în fig.4.31 s-a reprezentat variația momentului specific de pornire cu  $x_K$ ,  $\tilde{M}_p/\tilde{I}_p = f(x_K)$ , și diferite valori ale raportului dintre numerele efective de spire ale celor două faze statorice inseriate.

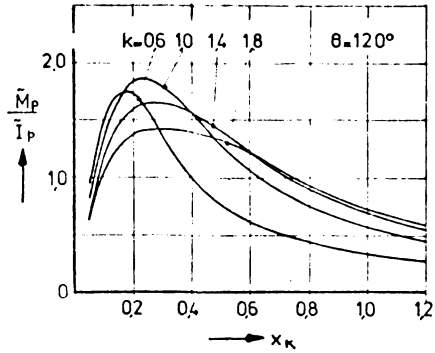


Fig.4.31

Din punct de vedere analitic, dependența  $\tilde{M}_p/\tilde{I}_p = f(x_K)$  este relativ complicată. (Chiar simpla aflare a reactanței  $x_K$  care ar asigura un cuplu specific maxim -la pornire- ar necesita soluționarea unei ecuații algebrice de gradul patru.)

Mult mai simplu poate fi analizat raportul  $\tilde{M}_p/\tilde{I}_p^2$ . În mărimi relative, acesta devine maxim pentru:

$$x_K = \sqrt{\left(\frac{A_1}{B_1} + X\right)^2 + R^2} - \frac{A_1}{B_1} \quad (4.66)$$

în care:

$$\begin{aligned} R &= r_B + k^2(r_p - r_A) \\ X &= x_{B\sigma} + k^2(x_p - x_{A\sigma}) \end{aligned} \quad (4.67)$$

Din punct de vedere numeric, valorile reactanței  $x_K$  calculate cu (4.66) sînt foarte apropiate de cele determinate cu relația (4.72).

#### 4.2.3.4 Raportul dintre momentul electromagnetic și pierderile din înfășurările statorului, la pornire.

Încălzirea statorului, la pornire, este influențată -în primul rînd- de mărirea pierderilor Joule disipate în înfășurarea statorică.  $P_p = R_A I_{Ap}^2 + R_B I_{Bp}^2$ . Limitarea acestora, simultan cu majorarea momentului de pornire, conduce la formularea unui alt criteriu de analiză al motoarelor de inducție monofazate fără înfășurare de pornire.

În valori absolute, raportul  $M_p/P_p$  (calculat pe baza relațiilor anterioare), poate fi pus sub forma:

$$\frac{M_p}{P_p} = \frac{2 \cdot p \cdot k \cdot \sin \theta}{\omega_1} \cdot \frac{M}{N_2^2} \cdot R'_0 \quad (4.68)$$

în care:

$M$  și  $R'_0$  sînt aceași ca în (4.59), iar

$$N_2^2 = R_A [R_B + k^2(R_p - R_A)]^2 + R_A [x_K - x_{B\sigma} - k^2(x_p - x_{A\sigma})]^2 +$$

$$+ R_B k^2 \cos^2 \theta \cdot (R_p - R_A)^2 + R_B [x_K - (x_p - x_{AV}) k \cos \theta]^2 \quad (4.69)$$

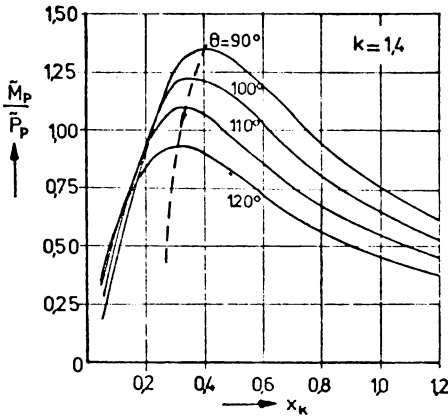


Fig. 4.32

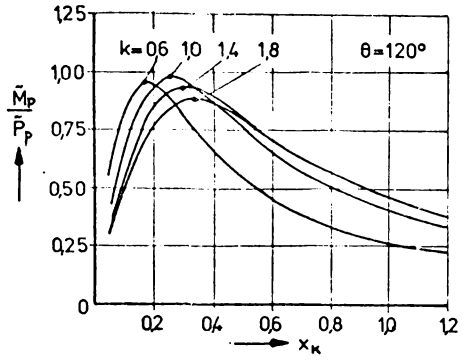


Fig. 4.33

In mărimi relative, raportul (4.68) devine:

$$\frac{\tilde{M}_p}{\tilde{P}_p} = \frac{4k \cdot \sin \theta}{(1 - 2k \cos \theta + k^2)^{3/2}} \cdot \frac{A_3 + B_3 x_K}{C_3 x_K^2 - 2D_3 x_K + E_3} \quad (4.70)$$

cu:  $A_3 = A_1; \quad B_3 = B_1; \quad C_3 = 1 + k$

$$D_3 = x_{BV} + k^2(x_p - x_{AV})(1 + \cos \theta) \quad (4.71)$$

$$E_3 = [r_B + k^2(r_p - r_A)]^2 + [x_{BV} + k^2(x_p - x_{AV})]^2 + k^3 \cos^2 \theta [(r_p - r_A)^2 + (x_p - x_{AV})^2]$$

Variația raportului  $\tilde{M}_p/\tilde{P}_p$  cu mărimea reactanței capacitive  $x_K$  este reprezentată în fig. 4.32 (pentru  $k = 1,4$  și  $\theta = 90^\circ, 100^\circ, 110^\circ, 120^\circ$ ) și în fig. 4.33 (pentru  $\theta = 120^\circ$  și  $k = 0,6; 1,0; 1,4; 1,8$ ).

Urmărind alura graficelor de mai sus, constatăm existența unei valori a reactanței  $x_K$  pentru care raportul dintre moment și pierderi este maxim la pornire. Aceasta se determină din condiția  $\frac{\partial}{\partial x_K} \left( \frac{\tilde{M}_p}{\tilde{P}_p} \right) = 0$ .

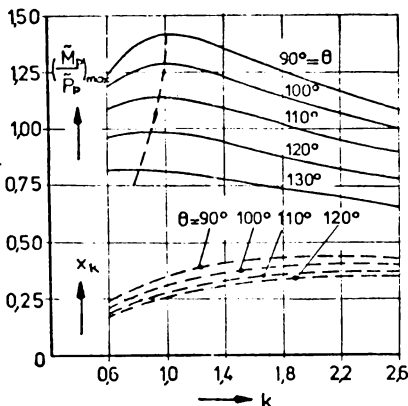


Fig. 4.34

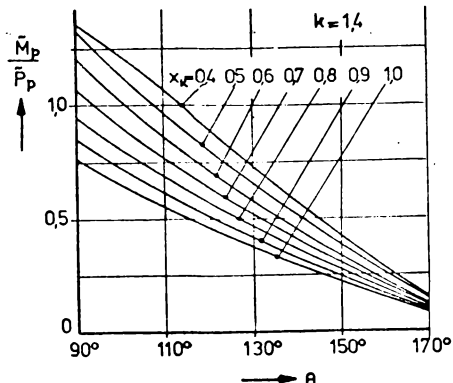


Fig. 4.35

După soluționarea ecuației și eliminarea rădăcinilor improprii, obținem:

$$x_K = -\frac{A_3}{B_3} + \sqrt{\left(\frac{A_3}{B_3}\right)^2 + 2\frac{A_3 D_3}{B_3 C_3} + \frac{E_3}{C_3}} \quad (4.72)$$

În fig.4.34 s-au reprezentat: cu linie continuă  $(\tilde{M}_p/\tilde{P}_p)_{\max} = f(k)$ ; cu linie întreruptă  $x_K$  (calculat cu (4.72)) =  $f(k)$ . După cum se observă, o dată cu mărirea unghiului  $\theta$ , se reduce atât valoarea maximă a raportului  $\tilde{M}_p/\tilde{P}_p$  precum și mărirea reactanței capacitive pentru care are loc maximum.

Variația raportului  $\tilde{M}_p/\tilde{P}_p$  cu unghiul  $\theta$  este reprezentată în fig.4.35 pentru  $k = 1,4$  și  $x_K = 0,4 \dots 1,0$  (din 0,1 în 0,1).

#### 4.2.3.5 Tensiunea la bornele condensatorului de pornire.

Pentru completarea imaginii asupra acestui tip de motor asincron monofazat fără înfășurare de pornire, vor fi prezentate -pe scurt- două diagrame privind variația tensiunii la bornele condensatorului,  $\tilde{U}_K$ , la pornire. (Tensiunea  $U_K$  a fost raportată la tensiunea de alimentare a motorului.)

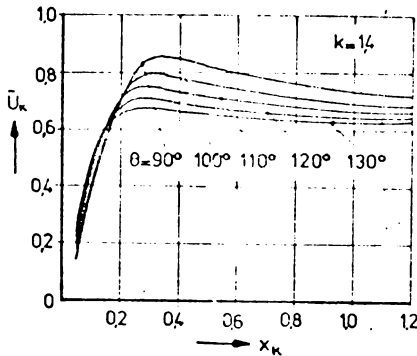


Fig.4.36

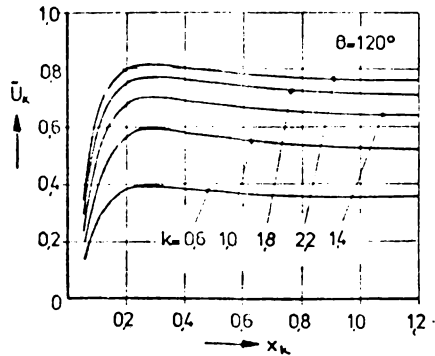


Fig.4.37

Să observăm că atât la creșterea unghiului  $\theta$  cât și la micșorarea raportului de transformare  $k$ , tensiunea  $\tilde{U}_K$  -la bornele condensatorului de pornire- scade. În plus, pentru  $\theta = 120^\circ$  și  $k = 1,0$  (până la 1,4), tensiunea la bornele condensatorului de pornire ajunge la cel mult (60 - 70)% din tensiunea de alimentare a motorului.

#### 4.2.4 Incercări experimentale.

Pentru efectuarea încercărilor experimentale s-au realizat -în condiții de laborator- 11 motoare de inducție monofazate fără înfășurare de pornire dar cu condensatori de pornire, motoare simbolizate cu MC 1...MC 11.

Motoarele au fost realizate pe structura produsului comercial MF 2 (fabricat la IME Pitești) de la care s-au folosit miezul statoric și rotorul. Întrucât motorul MF 2 se montează direct în compresorul agregatului frigorific, s-au folosit scuturile motorului MS 911V (producător: IME Pitești).



iar carcasele și arborii rotorici au fost confecționați în laborator.

Miezurile satorice (cu  $Z_1 = 24$  cr.) au fost bobinate cu înfășurări bifazate nesimetrice, bipolare, distribuite sinusoidal. La realizarea înfășurărilor s-a utilizat conductor de CuE cu aceeași secțiune transversală ( $\phi = 0,58$  mm) ca și cel folosit la fabricarea înfășurării principale a motorului MF 2.

Valorile decalajelor spațiale  $\Theta$ , rapoartele de transformare  $k$  precum și repartitia conductoarelor în creștături (pe intervalul unui pas polar) ale înfășurărilor satorice realizate practic sînt specificate -pentru fiecare motor în parte- în Tabelul 4.1.

Fiecare dintre cele 11 motoare astfel construite a fost încercat la pornire. Pentru fiecare valoare a capacității condensatorului de pornire s-au citit: curenții  $I_{Ap}$ ,  $I_{Bp}$  prin înfășurările satorice precum și  $I_{Kp}$  (la

Tabelul 4.1

Nr.crt.	$\Theta$	$k$	$\frac{A}{B}$	$n_{c1}$	$n_{c2}$	$n_{c3}$	$n_{c4}$	$n_{c5}$	$n_{c6}$	$n_{c7}$	$n_{c8}$	$n_{c9}$	$n_{c10}$	$n_{c11}$	$n_{c12}$
MC 1	$90^\circ$	1,0	$\frac{A}{B}$	67	67	58	46	30	-	-	30	46	58	67	67
			$\frac{A}{B}$	-	30	46	58	67	67	67	67	58	46	30	-
MC 2	$105^\circ$	1,0	$\frac{A}{B}$	60	60	52	41	27	-	-	27	41	52	60	60
			$\frac{A}{B}$	-	-	27	41	52	60	60	60	60	52	41	27
MC 3	$105^\circ$	1,73	$\frac{A}{B}$	43	43	37	30	19	-	-	19	30	37	43	43
			$\frac{A}{B}$	-	-	33	51	65	75	75	75	75	65	51	33
MC 4	$120^\circ$	1,0	$\frac{A}{B}$	55	55	48	38	25	-	-	25	38	48	55	55
			$\frac{A}{B}$	25	-	-	25	38	48	55	55	55	48	38	25
MC 5	$120^\circ$	1,73	$\frac{A}{B}$	40	40	34	27	18	-	-	18	27	34	40	40
			$\frac{A}{B}$	31	-	-	31	48	60	69	69	69	69	60	48
MC 6	$120^\circ$	2,0	$\frac{A}{B}$	36	36	31	25	16	-	-	16	25	31	36	36
			$\frac{A}{B}$	32	-	-	32	50	63	72	72	72	72	63	50
MC 7	$120^\circ$	2,5	$\frac{A}{B}$	31	31	26	21	14	-	-	14	21	26	31	31
			$\frac{A}{B}$	34	-	-	34	53	66	77	77	77	77	66	53
MC 8	$135^\circ$	1,73	$\frac{A}{B}$	38	38	32	26	17	-	-	17	26	32	38	38
			$\frac{A}{B}$	45	29	-	-	29	45	57	65	65	65	65	57
MC 9	$135^\circ$	2,0	$\frac{A}{B}$	34	34	30	24	15	-	-	15	24	30	34	34
			$\frac{A}{B}$	47	30	-	-	30	47	60	68	68	68	68	60
MC 10	$135^\circ$	2,5	$\frac{A}{B}$	30	29	25	20	14	-	-	14	20	25	29	30
			$\frac{A}{B}$	50	33	-	-	33	50	63	73	73	73	73	63
MC 11	$150^\circ$	2,5	$\frac{A}{B}$	29	28	24	20	13	-	-	13	20	24	28	29
			$\frac{A}{B}$	60	48	32	-	-	32	48	60	70	71	71	70

pornire); forța dezvoltată de motor -la capătul unei pârghii echilibrate(la pornire) și tensiunea  $U_K$  la bornele condensatorului de pornire. Valorile înregistrate corespund mediei aritmetice a mărimilor corespunzătoare la trei poziții (simetrice) ale rotorului.

Incercările au fost efectuate la tensiunea nominală (220 V).

Rezultatele încercărilor experimentale au fost prelucrate și reprezentate grafic. Pentru generalizare, diagramele au fost construite în mărimi relative. Ca mărimi de bază au fost considerate valorile corespunzătoare (la pornire) ale motorului MF 2. Astfel, în diagramele experimentale, s-au notat:

$\tilde{M}_p = M_p/M_{pb}$ ;  $\tilde{I}_p = I_p/I_{pb}$ ;  $\tilde{I}_{Bp} = I_{Bp}/I_{pb}$ ;  $\tilde{I}_{Kp} = I_{Kp}/I_{pb}$ ;  $\tilde{U}_K = U_K/U_n$ ;  $x_K = X_K/Z_{pb}$ ;  $Z_{pb} = U_n/I_{pb}$ . Valorile considerate pentru mărimile de bază sînt:

$I_{pb} = 6,2$  A (mărimea curentului de pornire prin înfășurarea principală a motorului MF 2)

$M_{pb} = 57$  gfm (momentul de pornire al motorului MF 2, /204/)

$U_n = 220$  V.

În fig.4.38 se prezintă miezurile satorice bobinate la patru dintre motoarele asincrone monofazate (fără înfășurare de pornire dar cu condensatoare de pornire) realizate experimental.

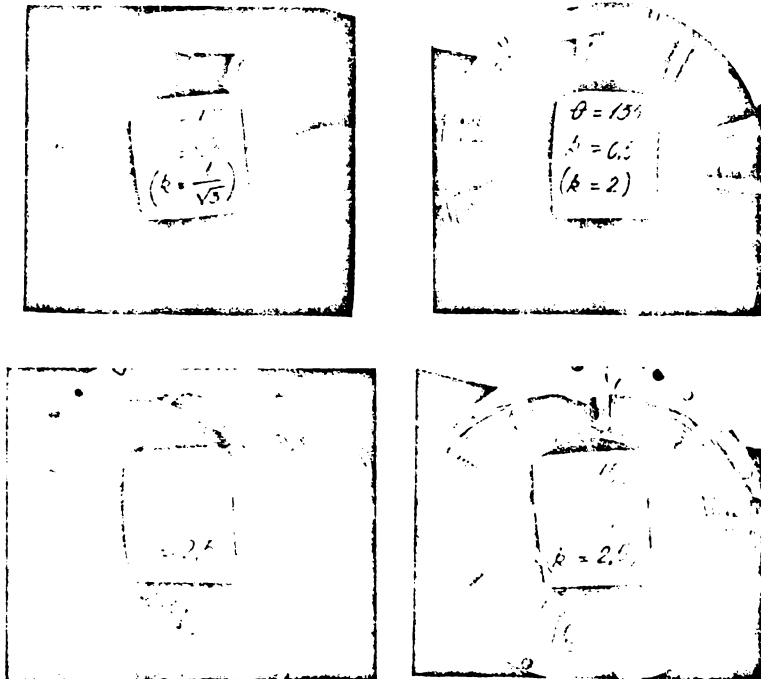


Fig.4.38

Curenții de pornire

Pentru fiecare din cele 11 motoare asincrone monofazate experimentate s-au construit dependențele  $\tilde{I}_p = \tilde{I}_{Ap}$ ,  $\tilde{I}_{Bp}$  și  $\tilde{I}_{Kp} = f(x_K)$  corespunzătoare tensiunii nominale (220V) de alimentare a motorului.

Din cauza diferențelor relativ reduse dintre caracteristicile diverselor motoare, în continuare sînt reproduse numai patru astfel de diagrame: în fig.4.39 (pentru MC 1), în fig.4.40 (pentru MC 4), în fig.4.41 (pentru MC 5) și în fig.4.42 (pentru MC 7).

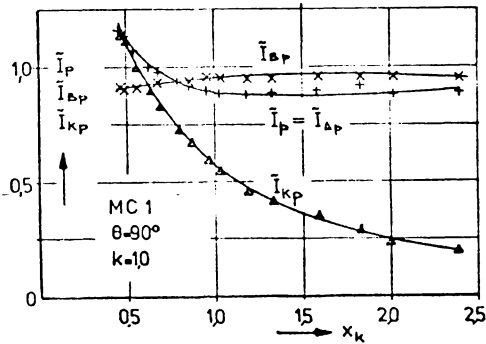


Fig.4.39

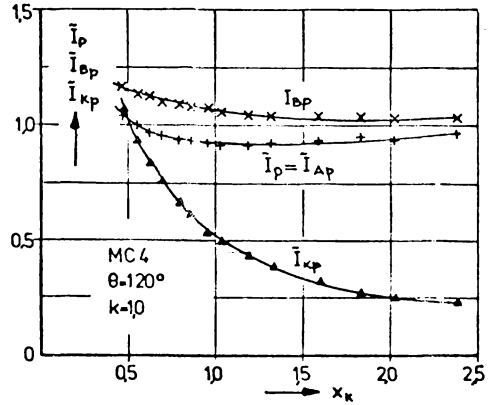


Fig.4.40

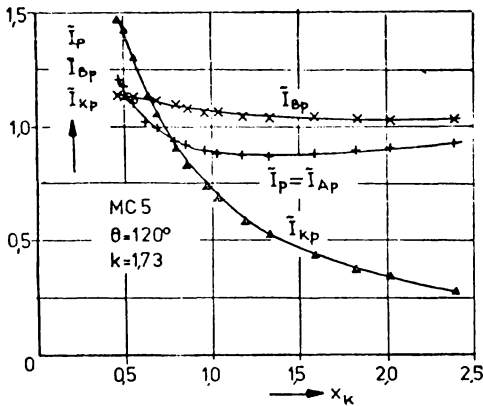


Fig.4.41

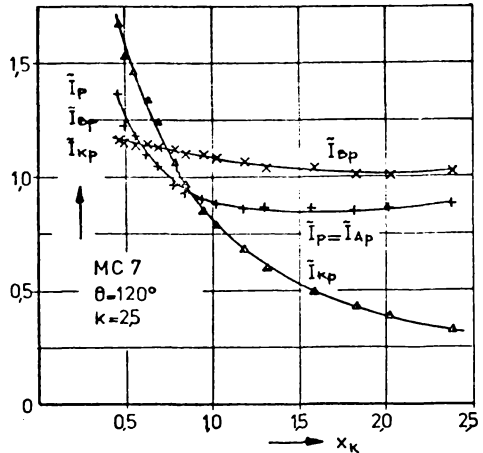


Fig.4.42

Momentul de pornire.

Valorile măsurate ale momentului de pornire, corespunzător celor 11 motoare experimentate (cu diferite mărimi a reactanței condensatorului de pornire) sînt prezentate -sub forma diagramelor  $\tilde{M}_p = f(x_K)$ - în figurile: 4.43, 4.44, 4.45 și 4.46. Diagramele au fost ordonate după valoarea parametrului

$k$ , iar curbele -după mărimea unghiului  $\theta$ .

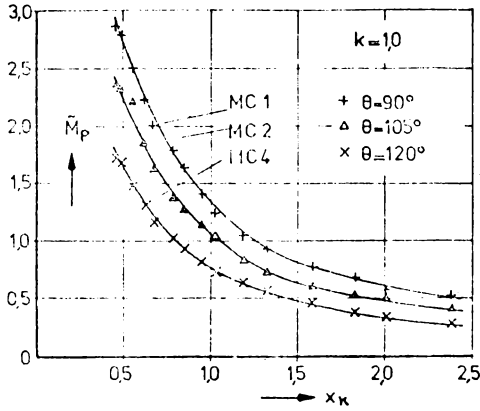


Fig.4.43

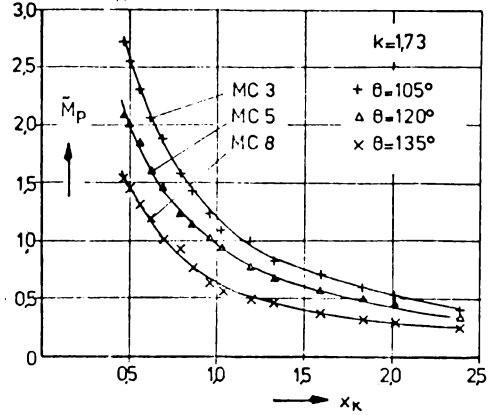


Fig.4.44

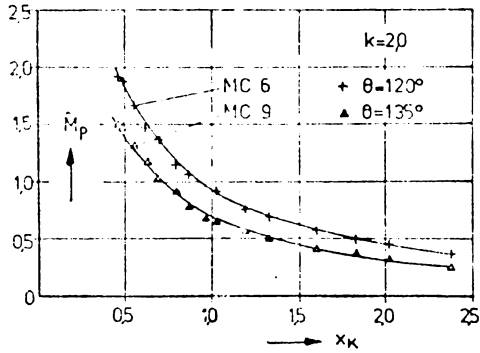


Fig.4.45

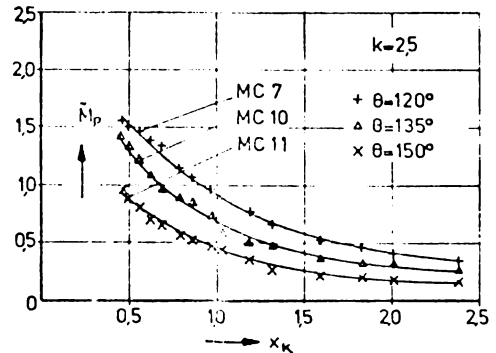


Fig.4.46

Tensiunea la bornele condensatorului (la pornire).

În fig.4.47 s-a reprezentat curba de variație a tensiunii la bornele condensatorului de pornire,  $\tilde{U}_K = f(x_K)$ , pentru motoarele monofazate cu  $\theta = 120^\circ$  și  $k = 1$  (MC 4);  $k = 2$  (MC 6), respectiv  $k = 2,5$  (adică MC 7).

Diagrame absolut similare s-au obținut și pentru celelalte motoare experimentate.

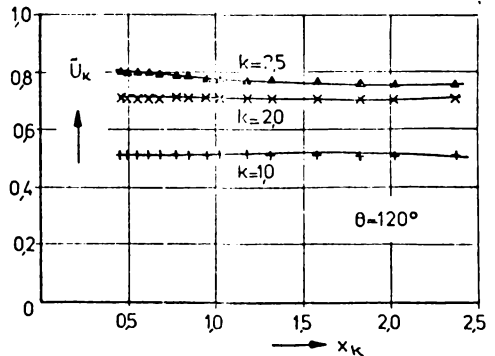


Fig.4.47

O dată cu prezentarea rezultatelor încercărilor experimentale, s-au validat o bună parte din relațiile analitice stabilite anterior, în vederea

stabilirii performanțelor la pornire.

Modalitatea de determinare a performanțelor de funcționare ale motoarelor de inducție monofazate, fără înfășurare de pornire dar cu condensator de pornire, va fi prezentată în ultima parte a acestui capitol.

4.3 Motoare de inducție monofazate fără înfășurare de pornire, de tip hibrid.

Acest tip de motor asincron monofazat (fără înfășurare de pornire) constă dintr-o propunere originală a autorului /207/, /208/. El poate înlocui cu succes motorul de inducție monofazat cu poli ecranati. În plus (la puteri mai mari și în acționări cu moment de pornire redus) motorul asincron monofazat de tip hibrid poate înlocui -cu efecte economice imediate- chiar și motoarele asincrone monofazate cu fază rezistivă de pornire, respectiv cu înfășurare auxiliară capacitivă.

Din punct de vedere constructiv, motorul de inducție monofazat de tip hibrid, v. fig. 4.48, are înfășurarea statorică divizată în două faze, A și B, cu numere efective de spire diferite (de regulă  $w_B^k w_B = (0,2 \dots 0,5) w_A^k w_A$ ), realizate din același conductor și repartizate sinusoidal în creștături. Cele două faze statorice sînt dispuse spațial sub unghiul  $\theta = 130^\circ - 140^\circ$  și legate în opoziție. Rotorul este simetric, în colivie iar întrefierul este uniform.

La pornire, faza statorică B este scurtcircuitată și motorul pornește întocmai ca orice motor asincron monofazat cu poli ecranati. După depășirea vitezei critice (de regulă cînd  $n \geq 0,8 n_1$  sau la cîteva secunde de la pornire) se deschide întreruptorul care scurtcircuita faza B și motorul continuă să funcționeze ca orice motor de inducție monofazat.

Ca performanțe la pornire (în urma testelor experimentale), s-a confirmat că acesta este puțin inferior motorului asincron monofazat cu fază rezistivă de pornire. În schimb, lipsa fazei auxiliare de pornire conduce la mari economii de cupru. (Obișnuit, astfel de motoare utilizează cu 18-23% mai puțin cupru la realizarea înfășurării statorice.)

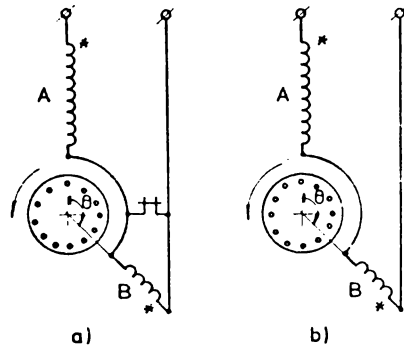


Fig. 4.48

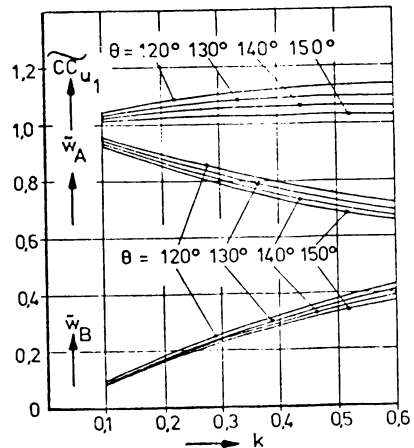


Fig. 4.49

Afirmația este susținută și de fig.4.49 în care s-au reprezentat dependențele:  $\tilde{w}_A = w_A^k w_{WA} / (w k_w)_{pr}$ ;  $\tilde{w}_B = w_B^k w_{WB} / (w k_w)_{pr}$  precum și consumul relativ de cupru  $C.Cu_1$  necesar la realizarea fazelor statorice A și B, cu k (pentru diferite valori ale unghiului  $\theta$ ).

(În fig.4.49 s-au notat: cu  $w_A^k w_{WA}$  și  $w_B^k w_{WB}$  -numerele efective de spire ale fazelor statorice A și B; cu  $(w k_w)_{pr}$  -numărul efectiv de spire al înfășurării principale a motorului cu fază rezistivă de pornire; cu k -raportul de transformare, numeric egal cu  $w_B^k w_{WB} / w_A^k w_{WA}$ ; iar  $C.Cu_1 = G_{CuA+B} / G_{Cu.pr}$ .)

Ori, din diagramele prezentate în fig.4.49 rezultă că, pentru  $k = 0,2 \dots 0,5$  și  $\theta = 130^\circ - 140^\circ$ , cantitatea de cupru necesară nu depășește decît cu max. (7-8)% pe cea corespunzătoare realizării înfășurării principale a motorului asincron monofazat cu fază rezistivă de pornire.

După cunoștința autorului, în literatură nu există nici o referință asupra unui astfel de motor asincron monofazat. Motorul a fost denumit "hibrid" ca urmare a îmbinării principiului de pornire de la motorul cu poli ecranati cu principiul de funcționare al motorului de inducție pur monofazat, într-o construcție unică.

În paragrafele următoare ale lucrării va fi prezentat un detaliat studiu cu principalele aspecte legate de dimensionarea fazelor statorice și stabilirea performanțelor la pornire ale motoarelor asincrone monofazate, de tip hibrid. Metoda de investigație utilizată este metoda componentelor simetrice generalizate (stabilită în Capitolul 2 al tezei).

#### 4.3.1 Metoda componentelor simetrice.

În conformitate cu procedura specificată și folosită pînă acum, în fig. 4.50 s-a reconstituit mașina trifazată, nesimetrică "model matematic" care, alimentată dezechilibrat ( $I_C = 0$ ), permite analiza teoretică a motorului de inducție monofazat, de tip hibrid.

Constrîngerile în alimentarea mașinii nesimetrice "model matematic" impuse de schema de conexiuni a înfășurărilor de fază statorice -pe durata pornirii- sînt precizate de:

$$\begin{aligned} \underline{U}_A &= \underline{U} \\ \underline{U}_B + \underline{Z}_{BS} \underline{I}_B &= 0 \\ \underline{I}_A + \underline{I}_B + \underline{I}_C &= 0 \\ \underline{I}_C &= 0 \end{aligned} \quad (4.73)$$

în care impedența de simetrizare  $\underline{Z}_{BS}$  este dată de (4.1).

În urma efectuării substituțiilor (4.3), (4.4) și (4.5), setul ecuațiilor (4.73) se

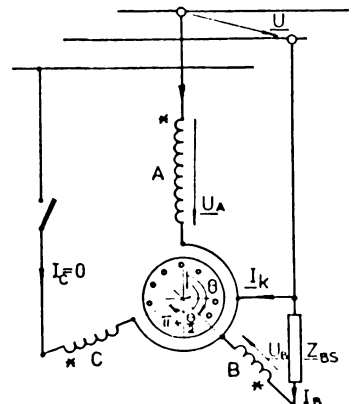


Fig.4.50

reduce la următorul sistem echivalent:

$$\begin{aligned} \underline{I}_{A1} \underline{Z}_{A1} &+ \underline{I}_{A2} \underline{Z}_{A2} &+ \underline{I}_{A0} \underline{Z}_{A0} &= \underline{U} \\ \underline{I}_{A1} (k \underline{Z}_{A1} + \frac{1}{k} \underline{Z}_{BS}) e^{j\theta} &+ \underline{I}_{A2} (k \underline{Z}_{A2} + \frac{1}{k} \underline{Z}_{BS}) e^{-j\theta} &+ \underline{I}_{A0} (k \underline{Z}_{AC} + \frac{1}{k} \underline{Z}_{BS}) &= 0 \quad (4.74) \\ \underline{I}_{A1} \cdot 2 \cos \theta \cdot e^{j\theta} &+ \underline{I}_{A2} \cdot 2 \cos \theta &+ \underline{I}_{A0} (1 + e^{j\theta}) &= 0 \end{aligned}$$

unde prin  $k$  s-a notat raportul numerelor efective de spire ale celor două înfășurări de fază statorice, ca în (4.7).

Componentele simetrice  $\underline{I}_{A1}$ ,  $\underline{I}_{A2}$  și  $\underline{I}_{A0}$  ale curentului  $\underline{I}_A$  (determinate ca soluție a sistemului de mai sus) au următoarele expresii:

$$\begin{aligned} \underline{I}_{A1} &= \frac{\underline{U}}{1 - e^{j\theta}} \cdot \frac{1}{\underline{D}} \left\{ \underline{Z}_{BS} (1 - e^{j\theta}) + k^2 [\underline{Z}_{A2} (1 + e^{-j\theta}) - 2 \cos \theta \cdot \underline{Z}_{A0}] \right\} \\ \underline{I}_{A2} &= \frac{\underline{U}}{1 - e^{j\theta}} \cdot \frac{1}{\underline{D}} \left\{ \underline{Z}_{BS} (1 - e^{j\theta}) - k^2 e^{j\theta} [\underline{Z}_{A1} (1 + e^{j\theta}) - 2 \cos \theta \cdot \underline{Z}_{A0}] \right\} \\ \underline{I}_{A0} &= \frac{\underline{U}}{1 - e^{j\theta}} \cdot \frac{1}{\underline{D}} \cdot 2 \cos \theta \left[ -\underline{Z}_{BS} (1 - e^{j\theta}) + k^2 (\underline{Z}_{A1} e^{j\theta} - \underline{Z}_{A2}) \right] \end{aligned} \quad (4.75)$$

În (4.75) cu  $\underline{D}$  s-a notat determinantul sistemului (4.74), cu expresia:

$$\underline{D} = \underline{Z}_{BS} (\underline{Z}_{A1} + \underline{Z}_{A2} - 2 \cos \theta \cdot \underline{Z}_{A0}) + k^2 [\underline{Z}_{A1} \underline{Z}_{A2}^2 (1 + \cos \theta) - 2 \cos \theta \cdot \underline{Z}_{A0} (\underline{Z}_{A1} + \underline{Z}_{A2})]$$

Curenții statorici  $\underline{I}_A$ ,  $\underline{I}_B$  se determină cu substituțiile (4.4). După efectuarea calculelor, rezultă:

$$\begin{aligned} \underline{I}_A &= \underline{U} \cdot \frac{1}{\underline{D}} \left[ 4 \sin^2 \frac{\theta}{2} \cdot \underline{Z}_{BS} + k^2 (\underline{Z}_{A1} + \underline{Z}_{A2} - 2 \cos \theta \cdot \underline{Z}_{A0}) \right] \\ \underline{I}_B &= -\underline{U} \cdot \frac{1}{\underline{D}} \cdot k (\underline{Z}_{A1} e^{+j\theta} + \underline{Z}_{A2} e^{-j\theta} - 2 \cos \theta \cdot \underline{Z}_{A0}) \\ \underline{I}_K &= -(\underline{I}_A + \underline{I}_B) \end{aligned} \quad (4.76)$$

Deși toate expresiile stabilite pînă acum sînt foarte generale, dependența parametrilor impedanțelor echivalente de unghiul  $\theta$  le face practic incomode. Depășirea situației se realizează prin separarea nesimetriei unghiulare întocmai ca în paragraful 4.2.2.

După cîteva calcule intermediare, expresiile (4.75) și (4.76) se aduc la forma:

$$\begin{aligned} \underline{I}_{A1} &= \frac{\underline{U}}{1 - \cos \theta} \cdot \frac{\underline{Z}_{BS} + k^2 e^{-j\theta} (j \sin \theta \cdot \underline{Z}_2 + \cos \theta \cdot \underline{Z}_0)}{\underline{Z}_{BS} (\underline{Z}_1 + \underline{Z}_2) + 2k^2 [\underline{Z}_1 \underline{Z}_2 - (\underline{Z}_1 - \underline{Z}_0)(\underline{Z}_2 - \underline{Z}_0) \cos^2 \theta]} \\ \underline{I}_{A2} &= \frac{\underline{U}}{1 - \cos \theta} \cdot \frac{\underline{Z}_{BS} - k^2 e^{+j\theta} (j \sin \theta \cdot \underline{Z}_1 - \cos \theta \cdot \underline{Z}_0)}{\underline{Z}_{BS} (\underline{Z}_1 + \underline{Z}_2) + 2k^2 [\underline{Z}_1 \underline{Z}_2 - (\underline{Z}_1 - \underline{Z}_0)(\underline{Z}_2 - \underline{Z}_0) \cos^2 \theta]} \\ \underline{I}_{A0} &= \frac{\underline{U} \cdot \cos \theta}{1 - \cos \theta} \cdot \frac{-2 \underline{Z}_{BS} + k^2 [(\underline{Z}_1 - \underline{Z}_0) e^{j\theta} + (\underline{Z}_2 - \underline{Z}_0) e^{-j\theta} - (\underline{Z}_1 + \underline{Z}_2)]}{\underline{Z}_{BS} (\underline{Z}_1 + \underline{Z}_2) + 2k^2 [\underline{Z}_1 \underline{Z}_2 - (\underline{Z}_1 - \underline{Z}_0)(\underline{Z}_2 - \underline{Z}_0) \cos^2 \theta]} \end{aligned} \quad (4.77)$$

și respectiv:

$$\begin{aligned} \underline{I}_A &= \underline{U} \cdot \frac{2\underline{Z}_{BS} + k^2(\underline{Z}_1 + \underline{Z}_2)}{\underline{Z}_{BS}(\underline{Z}_1 + \underline{Z}_2) + 2k^2[\underline{Z}_1\underline{Z}_2 - (\underline{Z}_1 - \underline{Z}_0)(\underline{Z}_2 - \underline{Z}_0)\cos^2\theta]} \\ \underline{I}_B &= \underline{U} \frac{-k(\underline{Z}_1 e^{j\theta} + \underline{Z}_2 e^{-j\theta} - 2\cos\theta \underline{Z}_0)}{\underline{Z}_{BS}(\underline{Z}_1 + \underline{Z}_2) + 2k^2[\underline{Z}_1\underline{Z}_2 - (\underline{Z}_1 - \underline{Z}_0)(\underline{Z}_2 - \underline{Z}_0)\cos^2\theta]} \\ \underline{I}_K &= -(\underline{I}_A + \underline{I}_B) \end{aligned} \quad (4.78)$$

Se menționează că impedanțele  $\underline{Z}_1$ ,  $\underline{Z}_2$  și  $\underline{Z}_0$  din expresiile de mai sus sînt chiar cele date de relațiile (4.14).

#### 4.3.2 Performanțele la pornire.

La pornire,  $\underline{Z}_1 = \underline{Z}_2 = \underline{Z}_p$ . Impedanța  $\underline{Z}_p$  poate fi măsurată și experimental, fiind chiar impedanța determinată la bornele înfășurării A (motorul avînd rotorul calat). Analitic, impedanța  $\underline{Z}_p$  se calculează cu una din relațiile (4.14) în care se înlocuiește  $s=1$ .

Cu aceste precizări, expresiile componentelor simetrice, ale curenților statorici la pornire, devin:

$$\begin{aligned} \underline{I}_{A1p} &= \frac{\underline{U}}{2(1-\cos\theta)} \cdot \frac{\underline{Z}_{BS} + k^2 e^{-j\theta} (j\sin\theta \underline{Z}_p + \cos\theta \underline{Z}_0)}{\underline{Z}_{BS}\underline{Z}_p + k^2 [\underline{Z}_p^2 - (\underline{Z}_p - \underline{Z}_0)^2 \cos^2\theta]} \\ \underline{I}_{A2p} &= \frac{\underline{U}}{2(1-\cos\theta)} \cdot \frac{\underline{Z}_{BS} - k^2 e^{+j\theta} (j\sin\theta \underline{Z}_p - \cos\theta \underline{Z}_0)}{\underline{Z}_{BS}\underline{Z}_p + k^2 [\underline{Z}_p^2 - (\underline{Z}_p - \underline{Z}_0)^2 \cos^2\theta]} \\ \underline{I}_{Aop} &= \frac{\underline{U} \cdot \cos\theta}{1-\cos\theta} \cdot \frac{-\underline{Z}_{BS} - k^2 [\underline{Z}_p - (\underline{Z}_p - \underline{Z}_0)\cos\theta]}{\underline{Z}_{BS}\underline{Z}_p + k^2 [\underline{Z}_p^2 - (\underline{Z}_p - \underline{Z}_0)^2 \cos^2\theta]} \end{aligned} \quad (4.79)$$

Curenții statorici, la pornire, se determină cu:

$$\begin{aligned} \underline{I}_{Ap} &= \underline{U} \cdot \frac{\underline{Z}_{BS} + k^2 \underline{Z}_p}{\underline{Z}_{BS}\underline{Z}_p + k^2 [\underline{Z}_p^2 - (\underline{Z}_p - \underline{Z}_0)^2 \cos^2\theta]} \\ \underline{I}_{Bp} &= \underline{U} \frac{-k\cos\theta \cdot (\underline{Z}_p - \underline{Z}_0)}{\underline{Z}_{BS}\underline{Z}_p + k^2 [\underline{Z}_p^2 - (\underline{Z}_p - \underline{Z}_0)^2 \cos^2\theta]} \\ \underline{I}_{Kp} &= -(\underline{I}_{Ap} + \underline{I}_{Bp}) \end{aligned} \quad (4.80)$$

Pe baza acestor expresii vor fi stabilite toate mărimile aferente regimului de pornire.

Pentru motorul asincron monofazat fără înfășurare de pornire, de tip hibrid, vom studia influența unghiului  $\theta$  și a raportului de transformare  $k$  asupra următoarelor mărimi: 1. Curenții  $\underline{I}_{Ap}$ ,  $\underline{I}_{Bp}$  și  $\underline{I}_{Kp}$  la pornire; 2. Mo-



mentul de pornire; 3. Raportul dintre momentul electromagnetic și curent, la pornire; 4. Raportul dintre momentul electromagnetic și pierderile electrice din înfășurările statorului, la pornire.

Reprezentările grafice vor fi prezentate în mărimi relative (mărimi marcate cu  $\sim$  deasupra simbolului respectiv). Baza de raportare este alcătuită din ansamblul mărimilor corespunzătoare motorului bifazat simetric echivalent din fig.4.4.

Separat vor fi prezentate și rezultatele încercărilor experimentale pentru 8 motoare de inducție monofazate, de tip hibrid.

4.3.2.1 Curentii statorici la pornire. Gradul de disimetrie al curenților la pornire.

Curentul absorbit din rețea, la pornire, de motorul asincron monofazat fără înfășurare de pornire, de tip hibrid, se determină cu:

$$I_p = I_{Ap} = U \cdot \left\{ \frac{[R_B + k^2(R_p - R_A)]^2 + [X_{Bv} + k^2(X_p - X_{Av})]^2}{N_1'^2} \right\}^{1/2} \quad (4.81)$$

$$\text{cu } N_1'^2 = \left[ R_p(R_B - k^2R_A) - X_p(X_{Bv} - k^2X_{Av}) + k^2[R_p^2 - X_p^2 - [(R_p - R_A)^2 - (X_p - X_{Av})^2] \cos^2 \theta] \right]^2 + \left[ R_p(X_{Bv} - k^2X_{Av}) + X_p(R_B - k^2R_A) + 2k^2[R_pX_p - (R_p - R_A)(X_p - X_{Av}) \cos^2 \theta] \right]^2 \quad (4.82)$$

Curentul  $I_{Bp}$  din faza statorică, scurtcircuitată (la pornire) este dat de relația:

$$I_{Bp} = U \cdot k \cdot |\cos \theta| \cdot \left[ \frac{(R_p - R_A)^2 + (X_p - X_{Av})^2}{N_1'^2} \right]^{1/2} \quad (4.83)$$

În mărimi relative (raportați la curentul de pornire al motorului de inducție bifazat simetric, echivalent), curenții din înfășurările statorice se calculează (la pornire) cu expresiile:

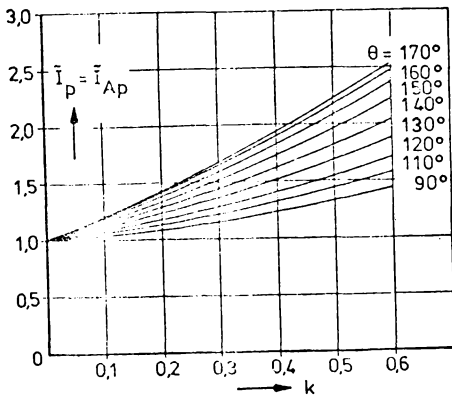


Fig.4.51

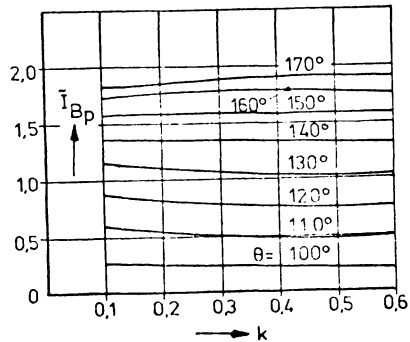


Fig.4.52

$$\tilde{I}_{Ap} = \left\{ \frac{[r_B + k^2(r_p - r_A)]^2 + [x_{Bv} + k^2(x_p - x_{Av})]^2}{B^2 + C^2} \right\}^{\frac{1}{2}} \quad (4.84)$$

$$\tilde{I}_{Bp} = k \cdot |\cos\theta| \cdot \left[ \frac{(r_p - r_A)^2 + (x_p - x_{Av})^2}{B^2 + C^2} \right]^{\frac{1}{2}}$$

în care:

$$B = r_p(r_B - k^2 r_A) - x_p(x_{Bv} - k^2 x_{Av}) + k^2[r_p^2 - x_p^2 - [(r_p - r_A)^2 - (x_p - x_{Av})^2] \cos^2\theta]$$

$$C = r_p(x_{Bv} - k^2 x_{Av}) + x_p(r_B - k^2 r_A) + 2k^2[r_p x_p - (r_p - r_A)(x_p - x_{Av}) \cos^2\theta] \quad (4.85)$$

Pe baza expresiilor (4.84), în fig.4.51 și fig.4.52 s-au reprezentat grafic  $\tilde{I}_{Ap} = f(k)$  și respectiv  $\tilde{I}_{Bp} = f(k)$  pentru  $\theta = 100^\circ, 110^\circ, 120^\circ, 130^\circ, 140^\circ, 150^\circ, 160^\circ$  și  $170^\circ$ .

Curentul de pornire  $\tilde{I}_{Ap}$  crește monoton cu creșterea variabilelor  $k$  și  $\theta$ . Curentul prin faza statorică scurtcircuitată,  $\tilde{I}_{Bp}$ , crește numai la mărirea unghiului  $\theta$ . Practic, el este independent de valoarea factorului  $k$ . (Mărirea raportului de transformare  $k$  poate fi stabilită prin impunerea coeficientului de multiplicitate al curentului de pornire.)

Gradul de disimetrie al curenților la pornire, calculat pe baza relațiilor de definiție, se determină cu:

$$\epsilon_{1I} = \left\{ \frac{[r_B + r(1 - \cos 2\theta) + x \cdot \sin 2\theta]^2 + [x_{Bv} + x(1 - \cos 2\theta) - r \cdot \sin 2\theta]^2}{[r_B + r(1 - \cos 2\theta) - x \cdot \sin 2\theta]^2 + [x_{Bv} + x(1 - \cos 2\theta) + r \cdot \sin 2\theta]^2} \right\}^{\frac{1}{2}} \quad (4.86)$$

cu:  $r = \frac{1}{2} \cdot k^2 (r_p - r_A)$  și  $x = \frac{1}{2} \cdot k^2 (x_p - x_{Av})$  (4.87)

Variația gradului de disimetrie al curenților de pornire, cu unghiul  $\theta$  și raportul  $k$ , s-a reprezentat în fig.4.53, respectiv în fig.4.54.

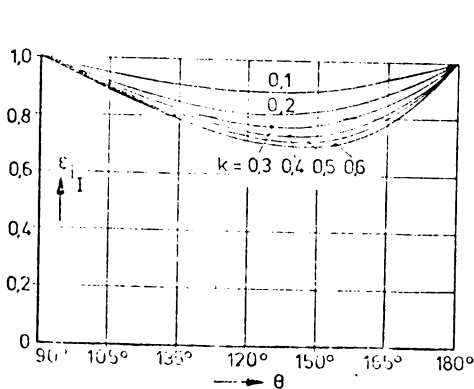


Fig.4.53

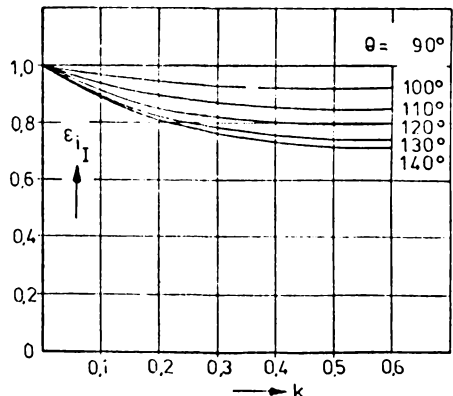


Fig.4.54

Se observă că, dacă  $k \leq 0,5$ , valoarea minimă a gradului de disimetrie

nu scade sub 0,7 (chiar dacă  $\theta = 135^\circ - 140^\circ$ ), ceea ce explică și mărimea oarecum limitată a momentului de pornire. În plus,  $\xi_{1I} = 1$  numai dacă  $\theta = 0, 90^\circ$  și  $180^\circ$ .

4.3.2.2 Momentul de pornire.

Momentul electromagnetic dezvoltat la pornire de motorul de inducție monofazat fără înfășurare de pornire, de tip hibrid, poate fi pus sub forma:

$$M_p = \frac{p \cdot U^2 k^2 \sin^2(\pi - \theta)}{\omega_1} \cdot R'_0 \frac{M'}{N_1'^2} \quad (4.88)$$

în care:

$$R'_0 = \frac{R_2'(R_{1m}^2 + X_{1m}^2)}{(R_2' + R_{1m})^2 + (X_{2\sigma}' + X_{1m})^2}$$

$$M' = R_B(X_p - X_{A\sigma'}) - X_{B\sigma'}(R_p - R_A) \quad (4.89)$$

$N_1'^2$  este același cu cel dat la (4.82)

La scrierea relațiilor de mai sus, parametrii rotorici  $R_2'$  și  $X_{2\sigma}'$  se consideră reduși la numărul efectiv de spire  $w_A^k w_A$  al fazei statorice A (considerată ca înfășurare de referință);  $R_{1m}$  și  $X_{1m}$  sînt elementele impedanței de magnetizare corespunzătoare înfășurării de referință A, iar cu  $R_p$  și  $X_p$  s-au notat rezistența și respectiv reactanța (la pornire) măsurate la bornele înfășurării statorice A.

Dacă vom raporta expresia (4.88) la expresia momentului de pornire al motorului asincron bifazat simetric echivalent și totodată vom folosi notațiile definite de (4.41), în final obținem:

$$\tilde{M}_p = \frac{2k^2 \sin^2(\pi - \theta)}{1 - 2k \cos \theta + k^2} \cdot \frac{A}{B^2 + C^2} \quad (4.90)$$

în care:  $A = r_B(x_p - x_{A\sigma'}) - x_{B\sigma'}(r_p - r_A)$ ; B și C fiind aceiași ca în (4.85).

Influența unghiului  $\theta$  și a raportului k asupra momentului de pornire al motorului monofazat hibrid poate fi apreciată numai în baza relațiilor (4.40).

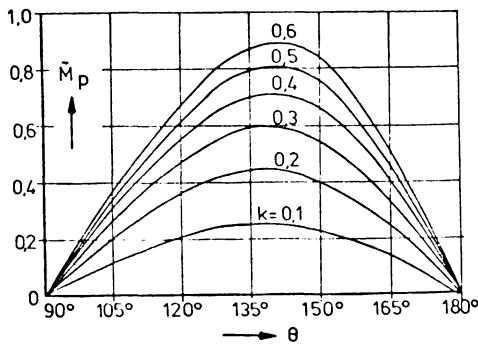


Fig.4.55

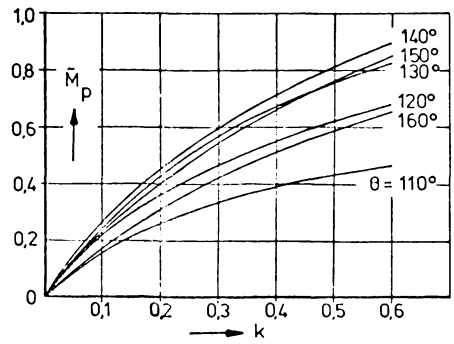


Fig.4.56

Variația momentului electromagnetic dezvoltat la pornire de motorul de inducție monofazat de tip hibrid, cu mărirea decalajului spațial  $\theta$ ,  $\tilde{M}_p = f(\theta)$  este ilustrată în fig.4.55 (pentru  $k = 0,1 \dots 0,6$ ). În fig.4.56 s-a reprezentat dependența  $\tilde{M}_p = f(k)$  pentru  $\theta = 110^\circ, 120^\circ, 130^\circ, 140^\circ, 150^\circ$  și  $160^\circ$ .

Valoarea maximă a momentului de pornire (dacă  $k = \text{const.}$ ) are loc pentru decalaje spațiale  $\theta = 135^\circ - 140^\circ$ . (Acest rezultat a fost confirmat și experimental.) În schimb, dacă  $\theta$  se menține constant și se mărește raportul  $k$ , momentul electromagnetic de pornire crește monoton.

Ca ordin de mărime, pentru  $k \leq 0,5$  și  $\theta = 135^\circ$ , momentul dezvoltat la pornire de motorul asincron monofazat de tip hibrid nu depășește 80% din mărirea momentului de pornire corespunzător motorului asincron bifazat simetric echivalent.

#### 4.3.2.3 Raportul dintre momentul electromagnetic și curent, la pornire.

În mărimi relative, raportul dintre momentul de pornire și curentul de pornire (adică momentul specific de pornire) al motorului asincron monofazat de tip hibrid, se calculează cu:

$$\frac{\tilde{M}_p}{\tilde{I}_p} = \frac{2k^2 \sin 2(n-\theta)}{1-2k \cos \theta + k^2} \frac{r_B(x_p - x_{A'}) - r_{B'}(r_p - r_A)}{(B^2 + C^2)^{1/2} \left\{ [r_B + k^2(r_p - r_A)]^2 + [x_{B'} + k^2(x_p - x_{A'})]^2 \right\}^{1/2}} \quad (4.91)$$

Dependența momentului specific de pornire cu unghiul  $\theta$  și respectiv cu raportul de transformare  $k$  este reprezentată în figurile 4.57 și 4.58.

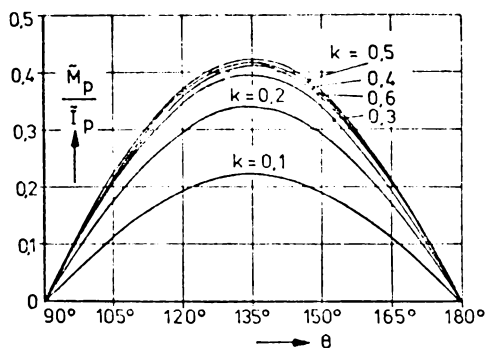


Fig.4.57

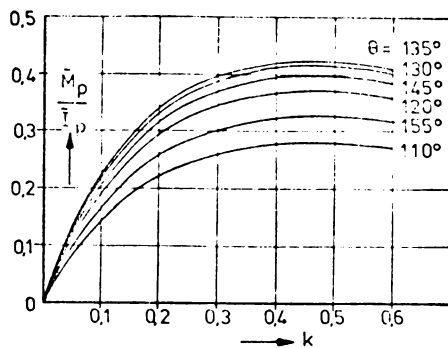


Fig.4.58

Din nou se observă că pentru  $\theta = 135^\circ$  și momentul specific de pornire devine maxim (indiferent de mărirea raportului de transformare  $k$ ). Maximum-maximorum momentului specific de pornire se obține pentru  $k = 0,5$ .

Dacă se mărește  $k$  (peste 0,5), deși crește momentul electromagnetic de pornire, totuși, curentul de pornire crește mult mai mult, astfel încât în ansamblu- momentul specific de pornire începe să scadă.

(Remarcile de mai sus sînt demne de luat în considerație la dimensionarea în-

fășurărilor satorice ale motoarelor monofazate, fără înfășurare de pornire, de tip hibrid.)

4.3.2.4 Raportul dintre momentul electromagnetic și pierderile din înfășurările satorului, la pornire.

Pentru motorul de inducție monofazat fără înfășurare de pornire, de tip hibrid, raportul  $M_p/P_p$  se poate calcula cu:

$$\frac{M_p}{P_p} = \frac{p k^2 \sin^2(\pi - \theta)}{\omega_1} \cdot R'_0 \cdot \frac{M'}{N_2'^2} \quad (4.92)$$

cu  $R'_0$  și  $M'$  ca în (4.89) și

$$N_2'^2 = R_A \left\{ [R_B + k^2(R_p - R_A)]^2 + [X_{B\sigma} + k^2(X_p - X_{A\sigma})]^2 \right\} + R_B k^2 \cos^2 \theta [(R_p - R_A)^2 + (X_p - X_{A\sigma})^2] \quad (4.93)$$

În mărimi relative (raportat la  $M_{sp}/P_{\epsilon p}$ ), după cîteva prelucrări matematice intermediare, raportul (4.92) devine:

$$\frac{\tilde{M}_p}{\tilde{P}_p} = \frac{2k^2 \sin^2(\pi - \theta)}{(1 - 2k \cos \theta + k^2)^{1/2}} \cdot \frac{A_3}{B_3} \quad (4.94)$$

cu  $A_3 = A$  și

$$B_3 = [r_B + k^2(r_p - r_A)]^2 + [x_{B\sigma} + k^2(x_p - x_{A\sigma})]^2 + k^3 \cos^2 \theta [(r_p - r_A)^2 + (x_p - x_{A\sigma})^2] \quad (4.95)$$

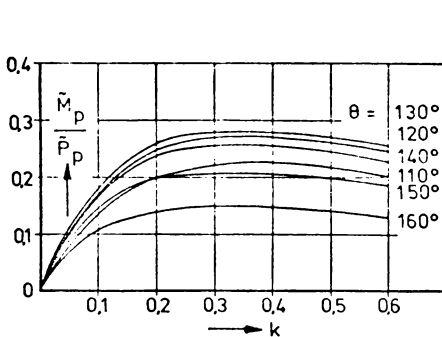


Fig.4.59

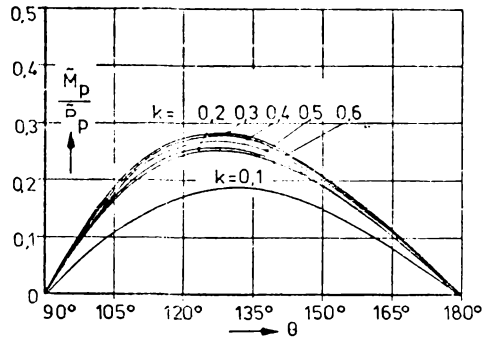


Fig.4.60

Variația raportului  $\tilde{M}_p / \tilde{P}_p$  cu  $k$  și respectiv cu  $\theta$  este reprezentată în fig.4.59 și fig.4.60.

Să observăm că acest indicator ia valori maxime numai dacă  $k = 0,3-0,4$  și  $\theta = 130^\circ-135^\circ$ . Dacă  $k > 0,5$ , pierderile din înfășurările satorului (la pornire) cresc mult mai repede decât  $M_p$  astfel încât, pe ansamblu, raportul  $M_p/P_p$  începe să descrească pentru orice valoare a unghiului  $\theta$ .

4.3.3 Inercări: experimentale.

În scopul verificării concluziilor teoretice, s-au realizat (în condiții de laborator) 8 motoare de inducție monofazate fără înfășurare de pornire, de tip hibrid. Motoarele au fost simbolizate cu MH 1...MH 8 și au fost realizate pe structura produsului comercial MF 2 (producător IME Pitești) de la care s-au folosit miezul statoric și rotorul.

Miezurile statorice (cu  $Z_1 = 24$  cr.) au fost bobinate cu înfășurări bifazate nesimetrice, bipolare, distribuite sinusoidal și realizate din același conductor ( $\phi = 0,58$  mm) ca și cel utilizat la fabricarea înfășurării principale a motorului MF 2.

Valorile decalajelor spațiale  $\theta$ , rapoartele de transformare  $k$  precum și distribuția conductoarelor în creștături (pe intervalul unui pas polar) ale înfășurărilor realizate practic, sînt specificate în Tabelul 4.2.

Tabelul 4.2

Nr.crt.	$\theta$	$k$	$\frac{A}{B}$	$n_{c1}$	$n_{c2}$	$n_{c3}$	$n_{c4}$	$n_{c5}$	$n_{c6}$	$n_{c7}$	$n_{c8}$	$n_{c9}$	$n_{c10}$	$n_{c11}$	$n_{c12}$
MH 1	$105^\circ$	0,57	$\frac{A}{B}$	75	75	65	51	33	-	-	33	51	65	75	75
			$\frac{A}{B}$	-	-	19	30	37	43	43	43	43	37	30	19
MH 2	$120^\circ$	0,40	$\frac{A}{B}$	77	77	66	53	34	-	-	34	53	66	77	77
			$\frac{A}{B}$	14	-	-	14	21	26	31	31	31	31	26	21
MH 3	$120^\circ$	0,50	$\frac{A}{B}$	72	72	63	50	32	-	-	32	50	63	72	72
			$\frac{A}{B}$	16	-	-	16	25	31	36	36	36	36	31	25
MH 4	$120^\circ$	0,57	$\frac{A}{B}$	69	69	60	48	31	-	-	31	48	60	69	69
			$\frac{A}{B}$	18	-	-	18	27	34	40	40	40	40	34	27
MH 5	$135^\circ$	0,40	$\frac{A}{B}$	73	73	63	50	33	-	-	33	50	63	73	73
			$\frac{A}{B}$	20	14	-	-	14	20	25	29	30	30	29	25
MH 6	$135^\circ$	0,50	$\frac{A}{B}$	68	68	60	47	30	-	-	30	47	60	68	68
			$\frac{A}{B}$	24	15	-	-	15	24	30	34	34	34	34	30
MH 7	$135^\circ$	0,57	$\frac{A}{B}$	65	65	60	47	30	-	-	30	47	60	65	65
			$\frac{A}{B}$	26	17	-	-	17	26	32	38	38	38	38	32
MH 8	$150^\circ$	0,40	$\frac{A}{B}$	71	70	60	48	32	-	-	32	48	60	70	71
			$\frac{A}{B}$	24	20	13	-	-	13	20	24	28	29	29	28

Fiecare din cele 8 motoare a fost încercat la pornire.

S-a măsurat forța dezvoltată la capătul unei pîrghii (echilibrate), cu lungimea 0,245 m. la pornire. Simultan au fost citiți și curenții corespunzătorii la pornire.

Inercările au fost efectuate la tensiunea nominală (220 V) iar valorile înregistrate corespund mediei aritmetice a mărimilor citite pentru trei

poziții distincte (la  $120^\circ$ ) ale rotorului.

Rezultatele încercărilor experimentale sînt prezentate în Tabelul 4.3.

Tabelul 4.3

Nr.crt.	$M_p$		$I_p = I_{Ap}$		$I_{Bp}$		$\frac{M_p}{I_p}$
	gfm	u.r.	A	u.r.	A	u.r.	
MH 1	30,625	0,537	10,4	1,142	1,9	0,20879	0,4698
MH 2	40,421	0,71	9,3	1,021	3,5	0,3846	0,6947
MH 3	44,1	0,7736	10,2	1,12	3,4	0,3736	0,6901
MH 4	48,38	0,848	11,3	1,241	3,5	0,3846	0,6829
MH 5	49,0	0,8596	9,7	1,065	5,5	0,6044	0,8064
MH 6	53,9	0,945	10,4	1,142	5,6	0,6153	0,8268
MH 7	57,82	1,014	11,5	1,263	5,6	0,6153	0,8023
MH 8	42,875	0,752	10,5	1,153	7,0	0,7692	0,651

(În tabelul de mai sus, momentul electromagnetic a fost raportat la  $M_{pb} = 57$  gfm iar curenții  $I_p = I_{Ap}$  și  $I_{Bp}$ , la  $I_{pb} = 9,1$  A. Valorile numerice precizate mai înainte corespund motorului asincron monofazat cu fază rezistivă de pornire MF 2./204/.)

În plus, se precizează că, temperatura înfășurărilor motorului în timpul măsurătorilor a fost de cca.  $20^\circ - 30^\circ C$ .

Analizînd rezultatele experimentale din Tab.4.3 constatăm că acestea confirmă în totalitate previziunile -stabilite pe cale analitică- cu privire la parametrii de pornire ai motorului asincron monofazat, fără înfășurare de pornire, de tip hibrid.

#### 4.4 Caracteristicile de funcționare ale motoarelor asincrone monofazate fără înfășurare de pornire.

Deschiderea circuitului fazei B la motoarele de inducție monofazate fără înfășurare de pornire (v. fig.4.1d și fig.4.48) are loc -de regulă- numai după depășirea vitezei (alunecării) critice.

Atît viteza sau alunecarea critică cît și momentul electromagnetic maxim  $M_k$  sînt mărimi deosebit de importante pentru proiectant. În particular, cunoașterea lui  $M_k$  va permite constructorului de motoare electrice să stabilească procentul maxim de reducere a tensiunii de alimentare pentru care motorul mai poate funcționa în sarcină.

Pe de altă parte, stabilirea cu suficientă precizie a cuplului, a factorului de putere, a curentului și a randamentului (pentru orice viteză a rotorului din domeniul funcționării stabile), constituie elemente absolut ne-

cesare în orice calcul preliminar de proiectare.

Aceste probleme sînt comune și motoarelor asincrone monofazate cu fază de pornire (rezistivă sau capacitivă), motoare care în funcționare rămîn doar cu înfășurarea principală alimentată. De altfel, pînă nu demult, atît  $M_k$  cît și  $s_k(v_k)$  erau determinate numai cu relații empirice.

La nivelul anilor 1978-1979, Butler /22/ și Guru /51/ stabilesc relații analitice exacte pentru calculul lor. Ambii autori se referă la motoarele de inducție monofazate cu fază de pornire în cuadratură electrică folosindu-se de teoria cîmpurilor magnetice circulare învîrtitoare. În plus, Butler stabilește și relații analitice pentru calculul performanțelor de funcționare ale motoarelor asincrone monofazate.

În acest context, dezvoltarea teoretică prezentată în continuare se constituie ca o extindere a problematicii enunțate mai sus și pentru motoarele asincrone monofazate fără înfășurare de pornire. În ipoteza parametrilor constanți, pentru aceste tipuri de motoare de inducție monofazate, vor fi stabilite relații analitice exacte (întocmai ca la mașinile polifazate simetrice) pentru determinarea: alunecării sau vitezei critice  $s_k$ ; a momentului electromagnetic  $M(s)$  și respectiv a momentului maxim  $M_k$ , a curentului, randamentului și a factorului de putere la orice turație a rotorului.

Investigațiile teoretice au la bază metoda componentelor simetrice generalizate. În ultima parte se indică și modalitatea de considerare a armonicilor spațiale.

#### 4.4.1 Schema echivalentă.

În fig.4.61 a s-a reprezentat un motor de inducție monofazat fără înfășurare de pornire (cu rotorul în turație), după deschiderea circuitului fazei B.

Cele două faze statorice, A și B sînt repartizate sinusoidal, dispuse spațial sub unghiul  $\theta$  și au  $w_A^k w_A \neq w_B^k w_B$ . Rotorul este simetric, are turația  $n$  și sensul de rotație de la faza B la faza A.

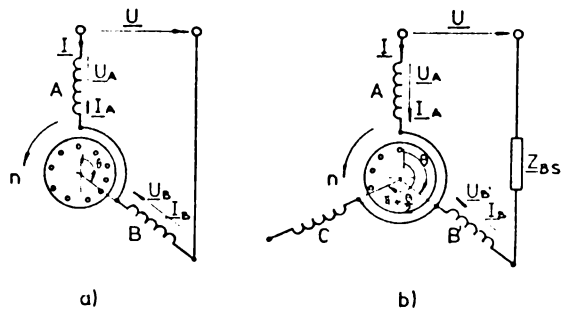


Fig.4.61

Constrîngerile impuse de schema de conexiuni și de modul de alimentare a înfășurărilor de fază sînt descrise de sistemul:

$$\begin{aligned} \underline{U}_A - \underline{U}_B - Z_{BS} \underline{I}_B &= \underline{U} \quad (a) \\ \underline{I}_A = -\underline{I}_B = \underline{I} \quad (b) \quad \underline{I}_C &= 0 \quad (c) \end{aligned} \quad (4.96)$$



Cu relațiile (4.96 b și c) se determină componentele simetrice naturale (2.18) ale curenților statorici:

$$\underline{I}_{A1} = \frac{1-ke^{-j\theta}}{4\sin^2\frac{1}{2}\theta} \cdot \underline{I}; \quad \underline{I}_{A2} = \frac{1-ke^{+j\theta}}{4\sin^2\frac{1}{2}\theta} \cdot \underline{I}; \quad \underline{I}_{A0} = \frac{2\cos(\pi-\theta)(1-k)\underline{I}}{4\sin^2\frac{1}{2}\theta} \quad (4.97)$$

Tensiunile statorice de fază  $\underline{U}_A$  și  $\underline{U}_B$ , vor fi descompuse în componentele lor simetrice naturale (2.27), ca mai jos:

$$\begin{aligned} \underline{U}_A &= \underline{U}_{A1} + \underline{U}_{A2} + \underline{U}_{A0} \\ \underline{U}_B &= k(\underline{U}_{A1}e^{+j\theta} + \underline{U}_{A2}e^{-j\theta} + \underline{U}_{A0}) \end{aligned} \quad (4.98)$$

În plus:  $\underline{U}_{A1} = \underline{Z}_{A1}\underline{I}_{A1}$ ;  $\underline{U}_{A2} = \underline{Z}_{A2}\underline{I}_{A2}$  și  $\underline{U}_{A0} = \underline{Z}_{A0}\underline{I}_{A0}$ .

Expresiile impedanțelor echivalente: directă  $\underline{Z}_{A1}$ , inversă  $\underline{Z}_{A2}$  și omopolară  $\underline{Z}_{A0}$  sînt date de relațiile (2.42), (2.48) și (2.52) iar circuitele electrice echivalente atașate lor sînt reprezentate în fig.2.6, fig.2.7 și fig. 2.8. (La scrierea relațiilor de mai sus, k reprezintă raportul de transformare iar cu  $\underline{Z}_{BS}$  s-a notat impedanța de simetrizare a înfășurării statorice de fază B.)

Efectuînd substituțiile descrise de relațiile (4.98) și (4.97) în ecuația (4.96 a), după o serie de calcule intermediare, se ajunge la:

$$\begin{aligned} \underline{U} &= \left[ R_A + R_B + jX_{A\sigma} + jX_{B\sigma} + j(1-2k\cos\theta + k^2)X_{AA\sigma} + \right. \\ &\quad \left. + \frac{1}{2}(1-2k\cos\theta+k^2) \cdot \frac{jX_{Am} \left( \frac{R_2'}{s} + jX_{2\sigma}' \right)}{\frac{R_2'}{s} + j(X_{2\sigma}' + X_{Am})} + \frac{1}{2}(1-2k\cos\theta+k^2) \cdot \frac{jX_{Am} \left( \frac{R_2'}{2-s} + jX_{2\sigma}' \right)}{\frac{R_2'}{2-s} + j(X_{2\sigma}' + X_{Am})} \right] \cdot \underline{I} \end{aligned} \quad (4.99)$$

Ecuația (4.99) descrie un circuit electric.

Schema electrică echivalentă a motorului asincron monofazat fără înfășurare de pornire, descrisă de (4.99), este reprezentată în fig.4.62.

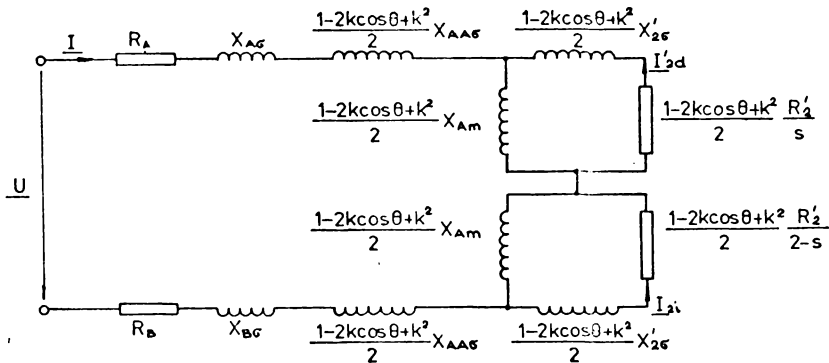


Fig.4.62

În schema electrică echivalentă din fig.4.62, atît parametrii rotorici

$R'_2$ ,  $X'_{2r}$  cît și reactanța utilă  $X_{Am}$  corespund numărului efectiv de spire al fazei statorice A, aleasă ca fază de referință.

Dacă vom introduce notațiile consacrate:

$$\begin{aligned} R_{\sigma} &= R_A + R_B; & X_{sr} &= X_{Av} + X_{Bv} + (1-2k\cos\theta+k^2)X_{AAv} \\ -R'_r &= \frac{1}{2}(1-2k\cos\theta+k^2)R'_2; & X'_{r'} &= \frac{1}{2}(1-2k\cos\theta+k^2)X'_{2r} \\ X_m &= \frac{1}{2}(1-2k\cos\theta+k^2)X_{Am}; & v &= n/n_1 \end{aligned} \quad (4.100)$$

atunci circuitul electric echivalent poate fi pus sub forma compactă, clasică pentru orice motor asincron monofazat, ca în fig.4.63.

În plus, în schema echivalentă din fig.4.63 s-au considerat și pierderile în fier prin introducerea în paralel cu bornele terminale a rezistenței  $R_F$  (de valoare  $U^2/p_{Fe}$ ). Procedura este frecvent utilizată în teoria motoarelor de inducție monofazate /15/,/22/,/113/,/143/,/146/.

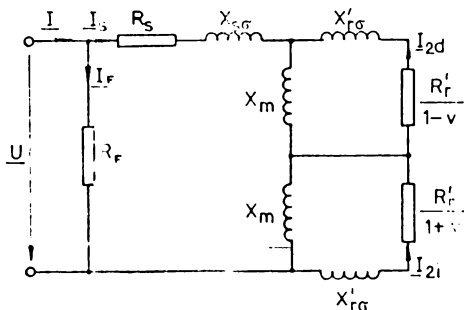


Fig.4.63

#### 4.4.2 Momentul electromagnetic.

În teoria componentelor simetrice, momentul electromagnetic dezvoltat de motorul asincron nesimetric "model matematic" în orice regim staționar nesimetric, se determină cu relația:  $M = M_1 - M_2$ , în care:

$$M_1 = \frac{m_{1e}p}{\omega_1} \cdot \frac{2\sin^2\frac{1}{2}\theta}{s} R'_2 \cdot I_{r1}^2; \quad M_2 = \frac{m_{1e}p}{\omega_1} \cdot \frac{2\sin^2\frac{1}{2}\theta}{2-s} R'_2 \cdot I_{r2}^2 \quad (4.101)$$

unde  $m_{1e} = 4\sin^2\frac{1}{2}\theta$  reprezintă numărul echivalent de faze statorice, iar  $I'_{r1}$  și  $I'_{r2}$  sînt curenții rotorici la funcționarea motorului "model matematic" în regimuri staționare simetrice (direct și respectiv invers).

Curenții rotorici  $I'_{r1}$  și  $I'_{r2}$ , explicitați din schemele echivalente ale "modelului matematic" corespunzătoare regimurilor simetrice de funcționare (v.fig.2.6 și fig.2.7) sînt dați de:

$$I'_{r1} = \frac{-jX_{Am}}{\frac{R'_2}{s} + j(X'_{2r} + X_{Am})} \cdot I_{A1} \quad \text{și} \quad I'_{r2} = \frac{-jX_{Am}}{\frac{R'_2}{2-s} + j(X'_{2r} + X_{Am})} \cdot I_{A2} \quad (4.102)$$

Cu aceste detalii teoretice, momentul electromagnetic dezvoltat de motorul asincron monofazat fără înfășurare de pornire, poate fi pus sub forma:

$$M = \frac{p}{\omega_1} X_m^2 R'_r \left[ \frac{1}{\left(\frac{R'_r}{1-v}\right)^2 + (X'_{r'} + X_m)^2} - \frac{1}{\left(\frac{R'_r}{1+v}\right)^2 + (X'_{r'} + X_m)^2} \right] I_s^2 \quad (4.103)$$

Se precizează că în expresia (4.103) s-au utilizat notațiile (4.100) și în plus, s-a înlocuit  $\underline{I}$  prin  $\underline{I}_s$  (ca în fig.4.63).

Curentul  $\underline{I}_s$  se determină din schema electrică echivalentă prezentată în fig.4.63. După o serie de transformări matematice intermediare, în final se ajunge la următoarea expresie:

$$\underline{I}_s = \underline{U}(1-v^2) \cdot \frac{\left[ \frac{R'_r}{1-v} + j(X'_{rv} + X_m) \right] \cdot \left[ \frac{R'_r}{1+v} + j(X'_{rv} + X_m) \right]}{A v^2 - (A+B) + j[C v^2 - (C-D)]} \quad (4.104)$$

în care constantele A, B, C și D depind numai de parametrii motorului, avînd următoarea semnificație:

$$\begin{aligned} A &= R_s (X'_{rv} + X_m)^2 \\ B &= R'_r [2(X'_{sv} + X_m)(X'_{rv} + X_m) - R_s R'_r] \\ C &= (X'_{rv} + X_m) [X_{sv} (X'_{rv} + X_m) + 2X'_{rv} X_m] \\ D &= R'_r [R'_r (X_{sv} + 2X_m) + 2R_s (X'_{rv} + X_m)] \end{aligned} \quad (4.105)$$

Expresia finală a momentului electromagnetic se obține numai după înlocuirea curentului  $\underline{I}_s$  în relația (4.103). Rezultă:

$$M(v) = \frac{2p}{\omega_1} U^2 R'_r X_m^2 \cdot \frac{v [(X'_{rv} + X_m)^2 - R'_r{}^2 - v^2 (X'_{rv} + X_m)^2]}{[A v^2 - (A+B)]^2 + [C v^2 - (C-D)]^2} \quad (4.106)$$

Trecînd la variabila s (alunecare), se constată că  $M(s) = M(1-v)$ .

Analizînd expresia (4.106), vom observa că momentul electromagnetic se anulează în punctele de abscisă:

$$\begin{aligned} v_1 &= 0, \text{ respectiv } s_1 = 1 \text{ și} \\ v_2 &= \left[ 1 - R'_r{}^2 / (X'_{rv} + X_m)^2 \right]^{1/2}, \text{ respectiv } s_2 = 1-v_2 \end{aligned} \quad (4.107)$$

La sincronism, momentul electromagnetic dezvoltat de motor, se determină cu:

$$M_{(v=1)} = -\frac{p}{\omega_1} \cdot \frac{2 U^2 R'_r{}^3 X_m^2}{B^2 + D^2} \quad (4.108)$$

Pe de altă parte,  $M(1) = M_1(1) - M_2(1) = -M_2(1)$ , căci  $M_1(1) = 0$ .

Cu această remarcă s-a interpretat fizic și semnul negativ al rezultatului.

#### 4.4.3 Momentul electromagnetic maxim și viteza (alunecarea) critică.

Din punct de vedere analitic, funcția  $M = M(v)$  precizată de relația (4.106), este continuă și derivabilă pe tot domeniul ei de definiție.

În plus,  $M(v_1) = M(v_2) = 0$ .

În aceste condiții, teorema lui Rolle ne asigură existența unui punct de abscisă  $v_k$  ( $v_1 < v_k < v_2$ ), pentru care:

$$\left. \frac{dM}{dv} \right|_{v=v_k} = 0$$

Aceasta este totmai viteza (alunecarea) critică a motorului asincron mono-fazat. Pentru a o determina este necesar să rezolvăm ecuația anterioară.

Derivând expresia momentului electromagnetic (4.106) în raport cu  $v$  și introducând variabila suplimentară  $q$  definită prin:  $q = 1 - v^2$ , după o serie de calcule intermediare se ajunge la:

$$\frac{dM}{dv} = \frac{-\frac{p}{\omega_1} \cdot 2 \cdot U^2 \cdot R_r' \cdot X_m^2}{[(Aq + B)^2 + (Cq - D)^2]^2} \cdot (a_0 q^3 - a_1 q^2 - a_2 q + a_3) \quad (4.109)$$

în care:

$$\begin{aligned} a_0 &= (X_{rv}' + X_m)^2 (A^2 + C^2) \\ a_1 &= [3R_r'^2 + 2(X_{rv}' + X_m)^2] (A^2 + C^2) + 2(X_{rv}' + X_m)^2 (AB - CD) \\ a_2 &= 2R_r'^2 [(AB - CD) - 2(A^2 + C^2)] + 3(X_{rv}' + X_m)^2 (B^2 + D^2) \\ a_3 &= 4R_r'^2 (AB - CD) + [R_r'^2 + 2(X_{rv}' + X_m)^2] \cdot (B^2 + D^2) \end{aligned} \quad (4.110)$$

Viteza critică  $v_k$ , respectiv alunecarea critică  $s_k$ , se calculează cu:

$$v_k = (1 - q_k)^{\frac{1}{2}}; \quad s_k = 1 - (1 - q_k)^{\frac{1}{2}} \quad (4.111)$$

în care  $q_k$  este o rădăcină a ecuației  $a_0 q_k^3 - a_1 q_k^2 - a_2 q_k + a_3 = 0$ , și a-nume rădăcina reală cuprinsă între:

$$R_r'^2 / (X_{rv}' + X_m)^2 < q_k < 1 \quad (4.112)$$

Momentul electromagnetic maxim,  $M_k = M(v_k)$ , se calculează cu relația:

$$M_k = \frac{p}{\omega_1} \cdot 2U^2 R_r' \cdot X_m^2 \cdot \frac{(1 - q_k)^{\frac{1}{2}} [q_k (X_{rv}' + X_m)^2 - R_r'^2]}{(Aq_k + B)^2 + (Cq_k - D)^2} \quad (4.113)$$

#### 4.4.4 Curentul, factorul de putere și randamentul.

La considerarea pierderilor în fier, curentul absorbit de motor din rețea (v.fig.4.63) este  $\underline{I} = \underline{I}_F + \underline{I}_S$ . Componenta  $\underline{I}_F = \underline{U}/R_F$  iar  $\underline{I}_S$  este precizat de relația (4.104).

În reprezentare polară (alegînd fazorul tensiunii la borne ca origine de fază,  $\underline{U} = U$ ), cei trei curenți de mai sus pot fi scriși :

$$\underline{I} = I e^{-j\varphi}; \quad \underline{I}_F = I_F \quad \text{și} \quad \underline{I}_S = I_S e^{-j\varphi_S} \quad (4.114)$$

Din compunerea grafică  $\underline{I}_F + \underline{I}_S$  se obține imediat atât mărimea (modulul) curentului absorbit cît și factorul de putere al motorului:

$$\begin{aligned} I &= (I_F^2 + I_S^2 + 2I_F I_S \cos\varphi_S)^{\frac{1}{2}} \\ \cos\varphi &= \frac{I_F + I_S \cos\varphi_S}{(I_F^2 + I_S^2 + 2I_F I_S \cos\varphi_S)^{\frac{1}{2}}} \end{aligned} \quad (4.115)$$

în care:

$$I_s = I_s(v) = U \left\{ \frac{[(1-v^2)(X'_{rv} + X'_m)^2 - R'_r{}^2]^2 + 4R'_r{}^2(X'_{rv} + X'_m)^2}{[A(1-v^2) + B]^2 + [C(1-v^2) - D]^2} \right\} \quad (4.116)$$

$$\varphi_s = \varphi_s(v) = \arctg \frac{2R'_r(X'_{rv} + X'_m)}{(1-v^2)(X'_{rv} + X'_m)^2 - R'_r{}^2} + \arctg \frac{C(1-v^2) - D}{A(1-v^2) + B} \quad (4.117)$$

Randamentul motorului asincron monofazat fără înfășurare de pornire va fi stabilit pe baza bilanțului puterilor active corespunzător schemei echivalente reprezentată în fig.4.63. În final se ajunge la:

$$\eta = \frac{M \cdot \frac{\omega_1}{p} - R'_r(I'_{2d}{}^2 + I'_{21}{}^2) - p_{m,v}}{U \cdot I_s \cdot \cos \varphi} \quad (4.118)$$

în care:

$$I'_{2d}{}^2 = \frac{X_m^2}{\left(\frac{R'_r}{1-v}\right)^2 + (X'_{rv} + X'_m)^2} \cdot I_s^2; \quad I'_{21}{}^2 = \frac{X_m^2}{\left(\frac{R'_r}{1+v}\right)^2 + (X'_{rv} + X'_m)^2} \cdot I_s^2 \quad (4.119)$$

iar  $p_{m,v}$  sînt pierderile mecanice și de ventilație ale motorului.

#### 4.4.5 Considerarea armonicilor spațiale.

Dacă din motive tehnologice, sau pentru reducerea prețului de cost, înfășurările statorice nu mai sînt repartizate sinusoidal, unda tensiunii magnetomotoare este puternic distorsionată încît armonicile spațiale nu mai pot fi neglijate.

În acest scop, în fig.4.64 s-a reprezentat circuitul electric echivalent al motorului asincron monofazat, fără înfășurare de pornire, la considerarea armonicilor spațiale  $v = 3, 5, 7, \text{etc.}$  Schema echivalentă din fig.4.64 este de fapt o extensie a schemei din fig.4.63, în care reactanța de dispersie  $X_{sv}^*$  este mai mică decît  $X_{sv}$  (în corelație cu dispersia diferențială /15/, /72/, /143/, /162/ a înfășurării statorice). Suma este extinsă pînă la armonica de ordinul  $n$ , pentru care numărul efectiv de spire

$$w_A^k w_{An} (1 - 2k_n \cos \theta + k_n^2)^{\frac{1}{2}}$$

este neglijabil față de cel al fundamentalei.

În plus,  $R'_{rdv} \neq R'_{rvv} \neq R'_r$  și  $X'_{rvdv} \neq X'_{rvvv} \neq X'_r$  datorită atât efec-

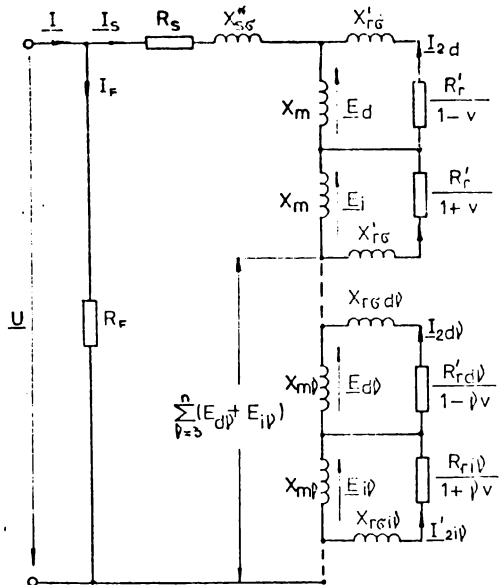


Fig.4.64

tului pelicular în colivia rotorică cît și a deosebirilor dintre numerele efective de spire, dintre numerele perechilor de poli etc.

În consecință, prin schimbarea reactanței  $X_{sv}$  cu  $X_{sv}^*$  și completarea schemei echivalente cu circuitele armonicilor superioare, virtual, ar trebui ca impedanța echivalentă dintre bornele terminale să rămîne aceeași.

În acest context și curenții  $I$ ,  $I_p$  și  $I_s$  vor rămîne neschimbați.

În schimb, momentul electromagnetic  $M'$  dezvoltat de motor (în domeniul funcționării stabile) este mai mic decît momentul  $M$  (corespunzător fundamentalei) precizat de relația (4.106). Momentul electromagnetic  $M'$  poate fi calculat cu:

$$M' = M - \frac{P}{\omega_1} \cdot \sum_{\nu=3,5}^n \nu \cdot \left[ \frac{R'_{rd\nu}}{\nu\nu-1} I_{2d\nu}^2 + \frac{R'_{ri\nu}}{\nu\nu+1} I_{2i\nu}^2 \right] \quad (4.120)$$

în care curenții rotorici corespunzători cîmpurilor magnetice directe și inverse de armonică  $\nu$  se determină din schema echivalentă, avînd expresiile:

$$I_{2d\nu}^2 = \frac{X_{m\nu}^2}{\left(\frac{R'_{rd\nu}}{\nu\nu-1}\right)^2 + (X'_{rvd\nu} + X_{mv})^2} \cdot I_s^2; \quad I_{2i\nu}^2 = \frac{X_{m\nu}^2}{\left(\frac{R'_{ri\nu}}{\nu\nu+1}\right)^2 + (X'_{rvi\nu} + X_{mv})^2} \cdot I_s^2 \quad (4.121)$$

Viteza critică  $v_k$  va fi determinată tot cu relația (4.111). Faptul că ea nu este influențată de prezența armonicilor spațiale poate fi observat din expresia (4.120), (Modificări apreciable ale vitezei  $v$ , în vecinătatea vitezei critice  $v_k$ , determină schimbări practic ne semnificative ale diferenței  $M - M'$ .)

Momentul electromagnetic maxim se determină pe baza expresiei (4.120) în care însă se înlocuește  $v = v_k$  ( $M'_k = M'(v_k)$ ).

Factorul de putere, calculat cu (4.115), rămîne valabil și în cazul considerării armonicilor spațiale.

În schimb, randamentul motorului se diminuează, de la valoarea dată de (4.118), la valoarea:

$$\eta' = \eta - \left[ \frac{\omega_1}{P} (M - M') + \sum_{\nu=3,5}^n (R'_{rd\nu} I_{2d\nu}^2 + R'_{ri\nu} I_{2i\nu}^2) \right] / (UI \cos \varphi) \quad (4.122)$$

în concordanță cu reducerea puterii mecanice și apariția pierderilor suplimentare în circuitul echivalent.

x x x

Motoarele de inducție monofazate fără înfășurare de pornire sînt motoare asincrone monofazate în construcție economică. Ele se constituie ca o alternativă la motoarele asincrone monofazate cu fază (capacitivă sau rezistivă) de pornire sau la motoarele asincrone cu poli ecranati.

Evidențiindu-se o serie de aspecte privind comportarea lor în regim staționar, atît la pornire cît și în funcționare, materialul oferă constructorilor de mașini electrice de mică putere datele necesare privind optarea pen-

tru o asemenea variantă constructivă de motor asincron monofazat.

De altfel, pe baza propunerii de invenție /207/, la Intreprinderea Electroprecizia - Săcele au fost realizate prototipurile a trei motoare asincrone monofazate fără înfășurare de pornire, de tip hibrid.

Motoarele vor acționa polizoarele duble de lăcătușerie  $\phi 125$ ,  $\phi 150$  și  $\phi 200$ . Ele vor înlocui actualele motoare de antrenare, asincrone, monofazate cu fază capacitivă de pornire.

Buletinele de încercare în vederea omologării motoarelor asincrone monofazate de tip hibrid au confirmat în totalitate cerințele impuse acționării polizoarelor  $\phi 150$  și  $\phi 200$ , evidențiind în plus și o serie de rezerve la anumiți parametri măsurați.

Din punct de vedere al eficienței economice, antecalculul estimativ a evidențiat o economie de 19,83 lei pe produs la fabricarea motorului pentru polizorul  $\phi 150$  și de 59,96 lei pe produs la fabricarea motorului pentru polizorul  $\phi 200$ . Luându-se în calcul aplicarea invenției la polizoarele duble de lăcătușerie fabricate de Intreprinderea Electroprecizia Săcele, la nivelul planului de producție pe 1986, s-a estimat o economie anuală de valută forte de cca. 3,2 milioane lei. (Se precizează că aceste produse sînt fabricate în exclusivitate pentru export.)

x x x

Studiul regimurilor tranzitorii electromecanice ale motoarelor de inducție monofazate fără înfășurare de pornire va fi prezentat în Capitolul următor al tezei.

CONTRIBUTII LA ANALIZA REGIMURILOR TRANZITORII  
ELECTROMECHANICE ALE MASINII DE INDUCTIE BIFAZATE, GE-  
NERAL NESIMETRICE PE STATOR, CU REFERIRI LA MOTOARELE  
ASINCRONE MONOFAZATE.

5.1 Introducere.

Majoritatea motoarelor de inducție alimentate de la rețeaua monofazată utilizează, cel puțin la pornire, o înfășurare bifazată pe stator. Cele două înfășurări de fază, decalate spațial și parcurse de curenți defazați temporar, conduc la apariția cîmpului magnetic învîrtitor și în consecință fac posibilă pornirea acestor motoare.

Dacă cele două înfășurări de fază statorice sînt decalate spațial la  $90^\circ$  el., ecuațiile corespunzătoare regimului dinamic se simplifică considerabil. De altfel, regimul tranzitoriu de pornire al motoarelor de inducție monofazate cu fază auxiliară sau de pornire, în cuadratură electrică a și fost soluționat în literatură /46/,/97/,/123/,/159/etc.

Dacă cele două înfășurări de fază statorice sînt decalate spațial sub unghiul  $\theta \neq 90^\circ$  el., problema regimurilor tranzitorii se complică mult. Pînă acum, pentru această configurație a înfășurărilor statorice de fază, au fost propuse (în vederea soluționării regimurilor tranzitorii) cîteva transformări matriciale /8/,/107/,/183/. Acestea corespund de fapt descompunerii uneia din înfășurările statorice în două componente (reciproc perpendiculare): una coaxială iar cealaltă în cuadratură electrică față de cea de-a doua înfășurare. Pe lîngă formularea intuitivă a transformărilor, în nici una din lucrările menționate mai sus, nu a fost efectuată o analiză concretă de regim tranzitoriu.

Referitor la motoarele de inducție cu două înfășurări general nesimetrice pe stator, în Capitolul 2 al lucrării a fost prezentat punctul de vedere original, al autorului. Potrivit acestei optici, orice motor de inducție echipat pe stator cu două înfășurări de fază, SA și SB, general nesimetrice ( $w_A k_{wA} \neq w_B k_{wB}$  și  $\theta \neq 90^\circ$  el.) provine din regimul dezechilibrat al unei mașini de inducție, trifazate, nesimetrice, v. fig.5.1, la întreruperea sau nealimentarea înfășurării statorice de fază SC ( $i_C = 0$ ).

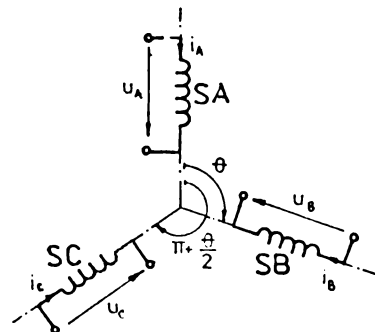


Fig.5.1 Structura înfășurărilor statorice ale mașinii trifazate "model matematic".



Atît structura cît și condițiile restrictive impuse mașinii trifazate nesimetrice "model matematic" sînt riguros justificate în paragraful 2.3.1 din Capitolul 2 al lucrării.

În acest context, orice problemă de regim tranzitoriu corespunzătoare mașinilor de inducție cu două înfășurări de fază, general nesimetrice, pe stator poate fi soluționată în cadrul metodei componentelor simetrice instantanee (c.s.i.). Sînt utilizate în acest scop: ecuațiile modelului matematic în c.s.i., ecuațiile corespunzătoare modului de legare și alimentare a înfășurărilor statorice de fază (transcrise în spațiul c.s.i.) precum și ecuația de mișcare a rotorului.

Urmînd această cale, în continuare sînt stabilite ecuațiile regimurilor tranzitorii electromecanice la pornirea motoarelor de inducție cu două înfășurări general nesimetrice pe stator, atunci cînd sînt alimentate de la rețeaua monofazată. În ultima parte sînt prezentate rezultatele numerice concrete la pornirea unui motor asincron monofazat cu condensatori.

### 5.2 Componentele simetrice instantanee și circuitele echivalente operaționale.

Pentru mașina trifazată, nesimetrică, "model matematic" a fost stabilită (în Capitolul 2) transformarea A,B,C - +,-,0. Varianta normată a transformării, în formulare matricială, este dată mai jos:

$$\|C_i\| = \frac{1}{2\sin\frac{1}{2}\theta} \cdot \begin{array}{c} \begin{array}{|c|c|c|} \hline & + & - & 0 \\ \hline A & 1 & 1 & 1 \\ \hline B & e^{+j\theta} & e^{-j\theta} & 1 \\ \hline C & 2\cos(\pi-\theta)e^{j(\pi+\frac{1}{2}\theta)} & 2\cos(\pi-\theta)e^{-j(\pi+\frac{1}{2}\theta)} & 2\cos\frac{1}{2}\theta \\ \hline \end{array} \end{array} \quad (5.1)$$

$$\|C_u\| = \frac{1}{2\sin\frac{1}{2}\theta} \cdot \begin{array}{c} \begin{array}{|c|c|c|} \hline & + & - & 0 \\ \hline A & 1 & 1 & 2\cos(\pi-\theta) \\ \hline B & e^{+j\theta} & e^{-j\theta} & 2\cos(\pi-\theta) \\ \hline C & e^{j(\pi+\frac{1}{2}\theta)} & e^{-j(\pi+\frac{1}{2}\theta)} & 2\cos\frac{1}{2}\theta \\ \hline \end{array} \end{array} \quad (5.2)$$

$$\text{cu:} \quad \|C_i\|^{-1} = \|C_u^*\|^T \quad \text{și} \quad \|C_u\|^{-1} = \|C_i^*\|^T \quad (5.3)$$

Componentele simetrice instantanee ale curenților și tensiunilor de fază se determină cu:

$$\|i^*\|_{A,B,C} = \|C_i\| \cdot \|i\|_{+,-,0} \quad (5.4)$$

$$\|u^*\|_{A,B,C} = \|C_u\| \cdot \|u\|_{+,-,0} \quad (5.5)$$

în care:

$$\|i^*\|_{A,B,C} = \|i_A, k_B i_B, k_C i_C\|^T; \quad \|u^*\|_{A,B,C} = \|u_A, \frac{1}{k_B} u_B, \frac{1}{k_C} u_C\|^T \quad (5.6)$$

$$\| \underline{i} \|_{+,-,0} = \| \underline{i}_{s+}, \underline{i}_{s-}, \underline{i}_{s0} \|^T; \quad \| \underline{u} \|_{+,-,0} = \| \underline{u}_{s+}, \underline{u}_{s-}, \underline{u}_{s0} \|^T \quad (5.7)$$

În relațiile (5.6) prin  $k_B$  și  $k_C$  s-au notat, ca și pînă acum, rapoartele dintre numerele efective de spire ale înfășurărilor statorice SB și SA, respectiv SU și SA.

Referitor la c.s.i. facem precizarea că pentru toate cazurile concrete de legare a înfășurărilor statorice de fază SA și SB (decalate spațial cu unghiul  $\theta \neq 90^\circ$  el.) vor fi prezente toate componentele simetrice instantanee ale curenților și respectiv ale tensiunilor. Numai dacă  $\theta = 90^\circ$  el. componentele de secvență nulă dispar. În plus, mărimile de secvență negativă sînt întotdeauna complex-conjugatele mărimilor de secvență pozitivă. Aceasta înseamnă că numai mărimile de secvență pozitivă sînt suficiente la rezolvarea completă a oricărei probleme de regim tranzitoriu.

Circuitul echivalent operațional al mașinii de inducție trifazate, nesimetrice "model matematic", corespunzător secvenței pozitive, este reprezentat în fig.5.2. (Se reamintește că în Capitolul 2, la paragraful 2.3.5 au fost stabilite impedanțele echivalente operaționale ale mașinii trifazate, nesimetrice, "model matematic".)

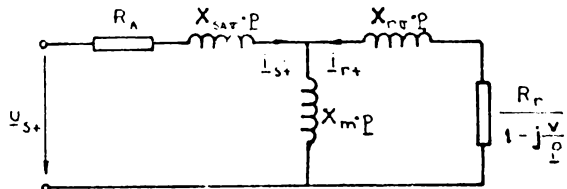


Fig.5.2 Circuitul echivalent operațional corespunzător secvenței pozitive.

... (text continues from previous block)

Față de schema din fig.2.13, în fig.5.2 s-au introdus notațiile:

$$\begin{aligned} X_{sA} &= X_{AA} + 2 \sin^2 \frac{1}{2} \theta \cdot X_{AA} \\ X_m &= 2 \sin^2 \frac{1}{2} \theta \cdot X_{Am} \\ X_{rA} &= 2 \sin^2 \frac{1}{2} \theta \cdot X_{2r}' \\ R_r &= 2 \sin^2 \frac{1}{2} \theta \cdot R_2' \end{aligned} \quad (5.8)$$

Să reamintim că:  $R_A$ ,  $X_{AA}$  și  $X_{AA}$  sînt rezistența, reactanța proprie de dispersie și respectiv reactanța mutuală de dispersie a înfășurării de fază SA;  $X_{Am}$  este reactanța de magnetizare a înfășurării de fază SA iar  $R_2'$  și  $X_{2r}'$  sînt parametri rotorici reduși la numărul efectiv de spire  $w_A k_{wA}$  al înfășurării statorice de referință SA.

În plus, pentru a nu se confunda cu numărul perechilor de poli, operatorul de derivare s-a notat cu:  $p = \frac{1}{\omega_1} \cdot \frac{d}{dt}$  iar cu  $v$  s-a notat viteza instantanee relativă ( $v = \frac{1}{\omega_1} \cdot \frac{d\chi}{dt}$ ) a rotorului.

Din fig.5.2 rezultă și ecuația de tensiuni corespunzătoare secvenței pozitive:

$$\underline{u}_{s+} = \underline{z}_{s+} \underline{i}_{s+} \quad (5.9)$$

Cu totul similar:

$$\underline{u}_{s-} = \underline{e}_{s-} - \underline{i}_{s-} \quad (5.10)$$

(Circuitul operațional corespunzător secvenței negative este ca în fig.5.2 avînd însă pe "j" înlocuit prin "-j". De altfel, el a fost stabilit și reprezentat în fig.2.14.)

Circuitul echivalent operațional corespunzător secvenței zero este reprezentat în fig.5.3, în care:

$$R_{OA} = \frac{1}{2\cos(\pi-\theta)} R_A \quad (5.11)$$

$$X_{OA} = \frac{1}{2\cos(\pi-\theta)} X_{AV}$$

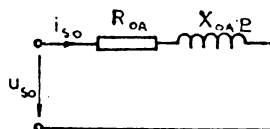


Fig.5.3

Momentul electromagnetic dezvoltat de motor, în teoria c.s.i. se determină cu relația (2.118,a), scrisă sub forma:

$$m = \frac{jX_m}{\omega_m} \cdot (\underline{i}_{s-} \underline{i}_{r+} - \underline{i}_{s+} \underline{i}_{r-}) \quad (5.12)$$

în care  $\omega_m$  este viteza (unghiulară) mecanică de sincronism ( $= \frac{\omega_1}{p}$ ).

Ecuatiile de tensiuni (care pot fi obținute din circuitele echivalente operaționale) precum și expresia momentului electromagnetic (prezentată mai sus) formează baza sistemului de ecuații la analiza regimurilor tranzitorii pentru orice conexiune practică a înfășurărilor statorice.

În acest scop, să observăm că mărimile de secvență - sînt complex conjugatele celor de secvență +. Prin urmare, ele pot fi scrise ca mai jos:

$$\begin{aligned} \underline{u}_{s+} &= u_{sx} + ju_{sy} \\ \underline{u}_{s-} &= u_{sx} - ju_{sy} \\ \underline{i}_{s+} &= i_{sx} + ji_{sy} \\ \underline{i}_{s-} &= i_{sx} - ji_{sy} \\ \underline{i}_{r+} &= i_{rx} + ji_{ry} \\ \underline{i}_{r-} &= i_{rx} - ji_{ry} \end{aligned} \quad (5.13)$$

Pe baza circuitelor echivalente operaționale, fig.5.2 și fig.5.3 cît și a relațiilor (5.13), ecuațiile de tensiuni pot fi aduse la forma:

$$\begin{aligned} u_{sx} &= (R_A + X_{SA} \cdot p) i_{sx} + X_m \cdot p i_{rx} \\ u_{sy} &= (R_A + X_{SA} \cdot p) i_{sy} + X_m \cdot p i_{ry} \\ 0 &= (R_r + X_r \cdot p) i_{rx} + X_m \cdot p i_{sx} + v(X_m i_{sy} + X_r i_{ry}) \\ 0 &= (R_r + X_r \cdot p) i_{ry} + X_m \cdot p i_{sy} - v(X_m i_{sx} + X_r i_{rx}) \\ u_{s0} &= \frac{1}{2\cos(\pi-\theta)} (R_A + X_{AV} \cdot p) i_{s0} \end{aligned} \quad (5.14)$$

La scrierea relațiilor (5.14), s-au introdus notațiile:

$$\begin{aligned} X_{SA} &= X_{SA\sigma} + X_m \\ X_r &= X_{r\sigma} + X_m \end{aligned} \quad (5.15)$$

În mod cu totul similar poate fi simplificată și expresia momentului electromagnetic (5.12):

$$m = 2 \frac{X_m}{\omega_1} (i_{sy} i_{rx} - i_{sx} i_{ry}) \quad (5.16)$$

În fine, ansamblul ecuațiilor de bază (5.14) se completează cu ecuația de mișcare a rotorului (2.94). După câteva prelucrări matematice, ea devine:

$$2p \frac{X_m}{\omega_1} (i_{sy} i_{rx} - i_{sx} i_{ry}) - \frac{F_m \omega_1}{p} v - M_s = \frac{J \omega_1^2}{p} p v \quad (5.17)$$

în care:  $p$  reprezintă numărul perechilor de poli;  $\omega_1 = 2\pi f_1$ ,  $F_m$  este coeficientul de amortizare (corespunzător frecărilor viscoase),  $M_s$  este momentul de sarcină, iar  $J$  reprezintă momentul total de inerție (redus la arborii motorului).

De foarte multe ori, în soluționarea problemelor de regimuri tranzitorii, se obișnuiește /24/, /47/, /71/, /100/, /121/, /124/, /182/ etc. ca ecuațiile să fie scrise în u.r. În acest scop, ca mărimea de raportare de bază vor fi alese valorile maxime nominale ale curentului și tensiunii înfășurării statorice de referință SA.

Prin urmare, ansamblul mărimilor de bază este:

$$\begin{aligned} U_b &= \sqrt{2} \cdot U_{AN}; & I_b &= \sqrt{2} \cdot I_{AN}; & Z_b &= U_b / I_b \\ F_b &= 2 \cdot U_{AN} I_{AN} = U_b I_b; & M_b &= P_b / \omega_m \end{aligned} \quad (5.18)$$

În plus, vom admite convenția ca, la scrierea ecuațiilor în u.r. toți parametrii motorului să fie notați cu literă mică. Astfel, de exemplu, ecuația de mișcare a rotorului (5.17), în u.r., devine:

$$2x_m (i_{sy} i_{rx} - i_{sx} i_{ry}) - f_m v - m_s = H \cdot p v \quad (5.19)$$

în care:

$$\begin{aligned} f_m &= \frac{F_m \omega_1^2}{p^2 \cdot 2U_{AN} I_{AN}} && \text{este constanta de frecări} \\ H &= \frac{J \omega_1^3}{p^2 \cdot 2U_{AN} I_{AN}} && \text{este constanta de inerție a motorului.} \end{aligned}$$

În analiza dezvoltată, saturația, pierderile în fier și efectul pelicular nu au fost considerate. De altfel, toate aceste aspecte pot fi ușor prinse în ecuațiile stabilite. Saturația poate fi considerată prin alegerea valorilor saturate pentru  $X_m$ ,  $X_{SA\sigma}$  și  $X_{r\sigma}$ . Efectul pelicular poate fi considerat prin alegerea valorii potrivite pentru  $R_r$  (corespunzătoare fiecărei frec-

vențe rotorice), pe cînd pierderile în fier pot fi considerate prin conectarea unei rezistențe în paralel cu  $X_m$ . Cu aceste precizări, modelul va descrie cît mai fidel procesele fizice care au loc în mașină.

5.3 Ecuațiile regimurilor tranzitorii electromecanice ale mașinii de inducție echipată cu o înfășurare bifazată, general nesimetrică, pe stator.

În fig.5.4 s-a reprezentat un motor de inducție bifazat, cu înfășurările statorice de fază general nesimetrice ( $w_A k_{wA} \neq w_B k_{wB}$  și  $\theta \neq 90^\circ$  el.), parcurse de curenții  $i_A$  și  $i_B$  cînd la bornele lor se aplică tensiunile  $u_{SA}$  și  $u_{SB}$ . Obișnuit, rotorul este simetric, în colivie, iar întrefierul este constant și uniform.

Potrivit ideii generale, avansată la începutul capitolului, motorul de inducție bifazat cu înfășurările statorice de fază general nesimetrice provine din regimul dezechilibrat al unei mașini de inducție trifazate, nesimetrice, la întreruperea (sau nealimentarea) celei de-a treia înfășurări statorice de fază ( $i_C = 0$ ).

În acest context, în fig.5.5, s-a efectuat simetrizarea înfășurării statorice de fază B figurîndu-se totodată și ceea de-a treia înfășurare de fază (C), nealimentată. S-a reconstituit astfel mașina trifazată nesimetrică "model matematic". Ecuațiile funcționale, corespunzătoare modului de alimentare a înfășurărilor de fază sînt :

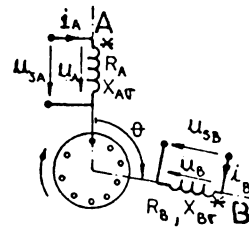


Fig.5.4

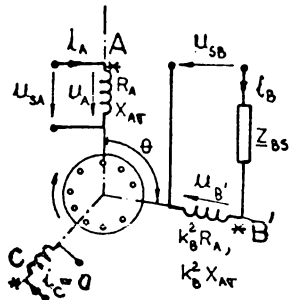


Fig.5.5

$$\begin{aligned} u_{SA} &= u_A \\ u_{SB} &= u_{B'} + (R_B - k^2 R_A) i_B + (X_{BV} - k^2 X_{AV}) \dot{\varphi}_B \\ 0 &= i_C \end{aligned} \quad (5.20)$$

Utilizînd conceptele teoriei c.s.i. vor fi dezvoltate ecuațiile de analiză a proceselor tranzitorii electromecanice din orice mașină de inducție bifazată, general nesimetrică pe stator.

În acest cadru, vom descompune tensiunile  $u_A$ ,  $u_{B'}$  și curenții  $i_A$ ,  $i_{B'}$ ,  $i_C$  în c.s.i. normate conform cu (5.5) și (5.4). Avînd în vedere și precizările descrise de (5.13), obținem:

$$u_A = \frac{1}{2\sin\frac{\theta}{2}} \left[ 2u_{sx} + 2\cos(\pi - \theta) \cdot u_{s0} \right] \quad (5.21)$$

$$u_{B'} = \frac{1}{2\sin\frac{1}{2}\theta} \cdot k_B [u_{sx}^2 \cos\theta - u_{sy}^2 \sin\theta + 2\cos(\pi-\theta) \cdot u_{so}]$$

și respectiv:

$$\begin{aligned} i_A &= \frac{1}{2\sin\frac{1}{2}\theta} (2i_{sx} + i_{so}) \\ i_B &= \frac{1}{2\sin\frac{1}{2}\theta} \cdot \frac{1}{k_B} (i_{sx}^2 \cos\theta - i_{sy}^2 \sin\theta + i_{so}) \\ i_C &= \frac{1}{2\sin\frac{1}{2}\theta} \cdot \frac{1}{k_C} (i_{sx}^4 \cos\theta \cdot \cos\frac{1}{2}\theta - i_{sy}^4 \cos\theta \cdot \sin\frac{1}{2}\theta + i_{so}^2 \cos\frac{1}{2}\theta) \end{aligned} \quad (5.22)$$

Dacă avem în vedere expresiile componentelor  $u_{sx}$  și  $u_{sy}$  din sistemul (5.14), tensiunile  $u_A$  și  $u_{B'}$  (5.21) pot fi scrise sub forma:

$$\begin{aligned} u_A &= \left[ R_A 2\sin\frac{1}{2}\theta + \frac{X_{SA} - X_{AV}}{\sin\frac{1}{2}\theta} \cos\theta \right] i_{sx} + \frac{\cos\theta}{\cos\frac{1}{2}\theta} (R_A + X_{AV} p) i_{sy} + \frac{1}{\sin\frac{1}{2}\theta} \cdot X_m \cdot p i_{rx} \\ u_{B'} &= \frac{\cos\theta}{\sin\frac{1}{2}\theta} k_B (X_{SA} - X_{AV}) p i_{sx} - \left[ \frac{1}{\cos\frac{1}{2}\theta} k_B R_A \cdot (2k_B \cos\frac{1}{2}\theta \cdot X_{SA} - \right. \\ &\quad \left. - k_B \frac{\cos\theta}{\cos\frac{1}{2}\theta} \cdot X_{AV}) p \right] i_{sy} + k_B \frac{\cos\theta}{\sin\frac{1}{2}\theta} \cdot X_m \cdot p i_{rx} - 2k_B \cos\frac{1}{2}\theta \cdot X_m \cdot p i_{ry} \end{aligned} \quad (5.23)$$

Tensiunea  $u_{SB}$  se determină cu (5.20, b). Far mai înainte să observăm că  $i_{sx}$ ,  $i_{sy}$  și  $i_{so}$  nu sînt independenți. Condiția generală de dezechilibru ( $i_C = 0$ ) ne conduce la următoarea relație între cele trei componente:

$$i_{so} = \frac{2\cos\theta}{\cos\frac{1}{2}\theta} (-i_{sx} \cos\frac{1}{2}\theta + i_{sy} \sin\frac{1}{2}\theta) \quad (5.24)$$

Cu aceasta, ecuațiile generale de descompunere a curenților statorici  $i_A$  și  $i_B$  (5.22) se transformă în:

$$\begin{aligned} i_A &= \frac{1}{\cos\frac{1}{2}\theta} (i_{sx} \sin\theta + i_{sy} \cos\theta) \\ i_B &= -\frac{1}{\cos\frac{1}{2}\theta} \cdot \frac{1}{k_B} i_{sy} \end{aligned} \quad (5.25)$$

Acum sîntem în măsură să stabilim și expresia tensiunii  $u_{SB}$ . După cîteva transformări matematice, obținem:

$$\begin{aligned} u_{SB} &= k \frac{\cos\theta}{\sin\frac{1}{2}\theta} (X_{SA} - X_{AV}) p i_{sx} - \frac{1}{k \cos\frac{1}{2}\theta} [R_B + X_{SB} p + k^2 \cos\theta (X_{SA} - X_{AV}) p] i_{sy} + \\ &\quad + k \frac{\cos\theta}{\sin\frac{1}{2}\theta} \cdot X_m \cdot p i_{rx} - 2k \cos\frac{1}{2}\theta \cdot X_m \cdot p i_{ry} \end{aligned} \quad (5.26)$$

La scrierea ecuației (5.26) s-au folosit notațiile suplimentare:

$$k = k_B = \frac{w_B k_{wB}}{w_A k_{wA}} \quad (\text{pentru simplificarea scrierii})$$

și

$$X_{SB} = X_{B'} + k^2 (2\sin^2\frac{1}{2}\theta \cdot X_{AAV} + X_m) \quad (5.27)$$

(Referitor la reactanțele  $X_{SA}$  (5.15) și  $X_{SB}$  (5.27), să observăm că ele nu

sînt independente. Intre ele există relația:  $k^2(X_{SA}-X_{AV}) = X_{SB}-X_{BV}$ .

Cu aceste precizări putem formula setul ecuațiilor corespunzător regimului tranzitoriu electromecanic al motorului asincron bifazat, general nesimetric pe stator. Acesta este format din ecuațiile tensiunilor statorice  $u_{SA} = u_A$  (5.23);  $u_{SB}$  (5.26); ecuațiile circuitului rotoric din sistemul (5.14) și ecuația de mișcare (5.17). Scrise împreună, obținem:

$$\begin{aligned}
 u_{SA} &= \left[ R_A 2 \sin \frac{\theta}{2} + \frac{1}{\sin \frac{\theta}{2}} (X_{SA} - X_{AV} \cos \theta) p \right] i_{sx} + \frac{\cos \theta}{\cos \frac{\theta}{2}} (R_A + X_{AV} p) i_{sy} + \\
 &\quad + \frac{1}{\sin \frac{\theta}{2}} X_m \cdot p i_{rx} \\
 u_{SB} &= \frac{\cos \theta}{k \sin \frac{\theta}{2}} (X_{SB} - X_{BV} p) i_{sx} - \frac{1}{k \cos \frac{\theta}{2}} \left[ R_B + [X_{SB} (1 + \cos \theta) - X_{BV} \cos \theta] p \right] i_{sy} + \\
 &\quad + \frac{\cos \theta}{\sin \frac{\theta}{2}} k X_m \cdot p i_{rx} - 2 \cos \frac{\theta}{2} k X_m \cdot p i_{ry} \quad (5.28) \\
 0 &= (R_r + X_r p) i_{rx} + X_m p i_{sx} + v (X_m i_{sy} + X_r i_{ry}) \\
 0 &= (R_r + X_r p) i_{ry} + X_m p i_{sy} - v (X_m i_{sx} + X_r i_{rx}) \\
 \frac{J \omega^2}{p} p v &= 2p \frac{X_m}{\omega_1} (i_{sy} i_{rx} - i_{sx} i_{ry}) - \frac{F_m \omega_1}{p} v - M_B
 \end{aligned}$$

Ansamblul ecuațiilor (5.28) este foarte general. Dacă se cunosc parametrii motorului și tensiunile de alimentare  $u_{SA}$ ,  $u_{SB}$ , sistemul de ecuații diferențiale (5.28) permite aflarea necunoscutelor:  $i_{sx}$ ,  $i_{sy}$ ,  $i_{rx}$ ,  $i_{ry}$  și  $v$ . Cu acestea se determină, la orice moment de timp:

- momentul electromagnetic  $m(t)$ , (5.16);
- curenții statorici  $i_A(t)$  și  $i_B(t)$  cu (5.25).

De obicei, înfășurările statorice de fază ale mașinilor bifazate sînt conectate între ele și alimentate de la rețeaua monofazată. Așa stau lucrurile în cazul motoarelor de inducție monofazate. Prin urmare, stabilirea ecuațiilor proceselor tranzitorii corespunzătoare motoarelor asincrone monofazate devine un simplu exercițiu matematic.

Se precizează că, pentru motoarele de inducție cu fazele statorice în cuadratură electrică, ecuațiile regimurilor tranzitorii electromecanice se obțin prin simpla particularizare  $\theta = 90^\circ$ .

#### 5.4 Ecuațiile regimurilor tranzitorii electromecanice ale motoarelor de inducție monofazate cu fază de pornire (general nesimetrică) de tip rezistiv.

În fig.5.6 a, cu SA și SB s-au notat înfășurările principală și respectiv de pornire ale unui motor de inducție monofazat. Înfășurarea de pornire SB este dispusă spațial sub unghiul  $\theta$ , are de  $k (= k_B)$  ori mai multe spire efective decît înfășurarea principală și este inseriată cu rezistența  $R_k$ .

(Obişnuit, rezistența suplimentară este inclusă chiar în  $R_B$ , fiind obținută prin însăși construcția înfășurării de pornire.)

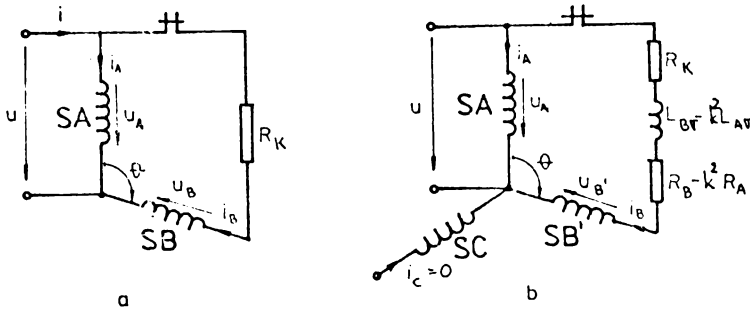


Fig.5.6 a) Motorul asincron monofazat cu fază rezistivă de pornire. b) Motorul asincron trifazat nesimetric corespunzător, alimentat dezechilibrat.

După simetrizarea înfășurării de pornire, în fig.5.6 b, s-a reconstituit motorul trifazat nesimetric "model matematic". Constrîngerile în alimentarea acestuia sînt date de:

$$\begin{aligned} u &= u_A \quad (= u_{SA}) \\ u &= u_{B'} + (R_K + R_B - k^2 R_A) i_B + (X_{B'V} - k^2 X_{AV}) p i_B \quad (= u_{SB} + R_K i_B) \\ 0 &= i_C \end{aligned} \quad (5.29)$$

Ținînd cont de (5.25) și (5.28), ecuațiile corespunzătoare regimului tranzitoriu electromecanic pot fi scrise sub forma:

$$\begin{aligned} u &= [R_A 2 \sin^2 \theta + \frac{1}{\sin^2 \theta} (X_{SA} - X_{AV} \cos \theta) p] i_{sx} + \frac{\cos \theta}{\cos^2 \theta} (R_A + X_{AV} p) i_{sy} + \\ &+ \frac{1}{\sin^2 \theta} X_m \cdot p i_{rx} \\ u &= \frac{\cos \theta}{k \sin^2 \theta} (X_{SB} - X_{B'V}) p i_{sx} - \frac{1}{k \cos^2 \theta} [R_B + R_K + [(1 + \cos \theta) X_{SB} - \cos \theta \cdot X_{B'V}] p] i_{sy} + \\ &+ \frac{\cos \theta}{\sin^2 \theta} k X_m \cdot p i_{rx} - 2 \cos^2 \theta \cdot k X_m \cdot p i_{ry} \end{aligned} \quad (5.30)$$

$$0 = (R_r + X_r p) i_{rx} + X_m p i_{sx} + v (X_m i_{sy} + X_r i_{ry})$$

$$0 = (R_r + X_r p) i_{ry} + X_m p i_{sy} - v (X_m i_{sx} + X_r i_{rx})$$

$$\frac{J \omega^2}{p} \cdot p v = 2 p \frac{X_m}{\omega_1} \cdot (i_{sy} i_{rx} - i_{sx} i_{ry}) = \frac{F \cdot \omega_1}{p} \cdot v - M_s$$

Pentru simularea numerică a proceselor tranzitorii electromecanice, după raportarea ecuațiilor, sistemul (5.30) se rescrie sub forma:

$$\|A_1\| \cdot p \|X_1\| = \|B_1\| \quad (5.31)$$

$$\text{de unde:} \quad p \|X_1\| = \|A_1\|^{-1} \cdot \|B_1\| \quad (5.32)$$



In formularea (5.31), s-a notat:

$$\|X_1\| = \begin{bmatrix} i_{sx} & i_{sy} & i_{rx} & i_{ry} & v \end{bmatrix}^T \quad (5.33)$$

$$\|A_1\| = \begin{array}{c|ccccc} & sx & sy & rx & ry & v \\ \hline \frac{x_{SA} - x_{Av} \cos\theta}{\sin\frac{1}{2}\theta} & & \frac{\cos\theta}{\cos\frac{1}{2}\theta} \cdot x_{Av} & \frac{1}{\sin\frac{1}{2}\theta} \cdot x_m & 0 & 0 \\ \frac{(x_{SB} - x_{Bv}) \cos\theta}{k \sin\frac{1}{2}\theta} & & \frac{-x_{SB}(1 + \cos\theta) + x_{Bv} \cos\theta}{k \cos\frac{1}{2}\theta} & \frac{\cos\theta}{\sin\frac{1}{2}\theta} \cdot k x_m & -2 \cos\frac{1}{2}\theta \cdot k x_m & 0 \\ x_m & & 0 & x_r & 0 & 0 \\ 0 & & x_m & 0 & x_r & 0 \\ 0 & & 0 & 0 & 0 & H \end{array} \quad (5.34)$$

și

$$\|B_1\| = \begin{array}{c|c} u - 2 \sin\frac{1}{2}\theta \cdot r_A i_{sx} - \frac{\cos\theta}{\cos\frac{1}{2}\theta} \cdot r_A i_{sy} & \\ \hline u + \frac{1}{k \cos\frac{1}{2}\theta} (r_B + r_K) i_{sy} & \\ \hline -r_r i_{rx} - v(x_m i_{sy} + x_r i_{ry}) & \\ \hline -r_r i_{ry} + v(x_m i_{sx} + x_r i_{rx}) & \\ \hline 2x_m (i_{sy} i_{rx} - i_{sx} i_{ry}) - f_m v - m_s & \end{array} \quad (5.35)$$

(In scrierea matricială, cu literă mică s-au notat parametrii și mărimile în u.r. Baza de raportare este formată din ansamblul mărimilor (5.18)).

Se precizează că în sistemul (5.32), variabilele dependente sînt componentele vectorului  $\|X_1\|$  pe cînd variabila independentă este  $\tau = \omega_1 t$ .

Soluțiile tranzitorii  $i_A(t)$ ,  $i_B(t)$ ,  $i(t)$ ,  $m(t)$ ,  $v(t)$  se determină după fiecare pas de integrare utilizînd tehnicile numerice cunoscute.

### 5.5 Ecuatiile regimurilor tranzitorii electromecanice ale motoarelor de inducție monofazate cu fază de pornire (general nesimetrică) de tip capacitiv.

In fig.5.7 a, s-a reprezentat un motor de inducție monofazat cu înfășurarea de pornire (general nesimetrică) SB înseriată cu condensatorul  $C_K$  și conectată în derivație cu înfășurarea principală SA.

Cu totul similar, in fig.5.7 b, s-a indicat motorul trifazat nesimetric "model matematic" corespunzător, alimentat dezechilibrat.

Constrîngerile în alimentarea acestuia sînt descrise de:

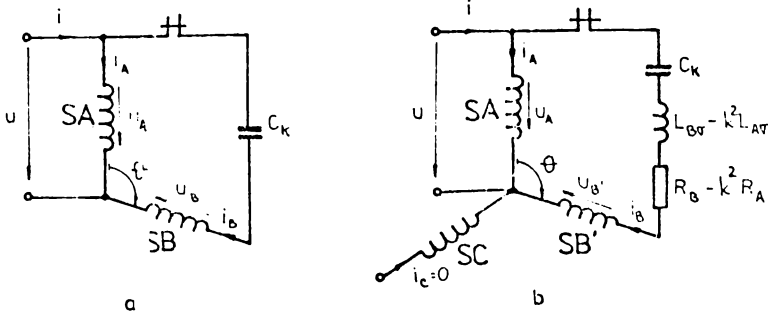


Fig.5.7 a) Motorul asincron monofazat cu fază capacitivă de pornire. b) Motorul asincron trifazat nesimetric corespunzător, alimentat dezechilibrat.

$$\begin{aligned}
 u &= u_A \\
 u &= u_{B'} + (R_B - k^2 R_A) i_B + (X_{B'V} - k^2 X_{AV}) p i_B + u_K \\
 0 &= i_C
 \end{aligned} \tag{5.36}$$

în care:  $p = \frac{d}{dt}$   $\tau = \omega_1 t$  iar

$$u_K = \frac{1}{C_K} \int i_B dt + u_K(0) = X_K \int i_B d\tau + u_K(0) \tag{5.37}$$

Cu relația (5.25, b) pentru i<sub>B</sub>, tensiunea la bornele condensatorului devine:

$$u_K = - \frac{X_K}{k \cos \frac{1}{2} \theta} \int i_{sy} d\tau + u_K(0) \tag{5.38}$$

Dacă introducem în plus o nouă variabilă de stare:

$$q_{sy} = \int i_{sy} d\tau \quad \text{cu} \quad p q_{sy} = i_{sy} \tag{5.39}$$

și ținem cont de (5.20), condițiile (5.36) devin echivalente cu:

$$\begin{aligned}
 u &= u_{SA} \\
 u &= u_{SB'} - \frac{1}{k \cos \frac{1}{2} \theta} X_K q_{sy} + u_K(0) \\
 i_{sy} &= p q_{sy}
 \end{aligned} \tag{5.40}$$

Având în vedere (5.28), ecuațiile corespunzătoare regimului tranzitoriu electromecanic al motorului cu fază de pornire capacitivă sînt:

$$\begin{aligned}
 u &= [R_A 2 \sin \frac{1}{2} \theta + \frac{1}{\sin \frac{1}{2} \theta} (X_{SA} - X_{AV} \cos \theta) p] i_{sx} + \frac{\cos \theta}{\cos \frac{1}{2} \theta} (R_A + X_{AV} p) i_{sy} + \\
 &\quad + \frac{1}{\sin \frac{1}{2} \theta} X_m p i_{rx} \\
 u &= \frac{\cos \theta}{k \sin \frac{1}{2} \theta} (X_{SB'} - X_{B'V}) p i_{sx} - \frac{1}{k \cos \frac{1}{2} \theta} \left[ R_B + [(1 + \cos \theta) X_{SB'} - \cos \theta X_{B'V}] p \right] i_{sy} -
 \end{aligned}$$

$$- \frac{1}{k \cos \frac{1}{2} \theta} \cdot X_K q_{sy} + u_K(0) + \frac{\cos \theta}{\sin \frac{1}{2} \theta} \cdot k X_m \cdot p i_{rx} - 2 \cos \frac{1}{2} \theta \cdot k X_m \cdot p i_{ry}$$

$$0 = p q_{sy} - i_{sy} \tag{5.41}$$

$$0 = (R_r + X_r \cdot p) i_{rx} + X_m p i_{sx} + v(X_m i_{sy} + X_r i_{ry})$$

$$0 = (R_r + X_r \cdot p) i_{ry} + X_m p i_{sy} - v(X_m i_{sx} + X_r i_{rx})$$

$$\frac{J \omega^2}{p} i_{pv} = 2p \frac{X_m}{\omega_1} \cdot (i_{sy} i_{rx} - i_{sx} i_{ry}) - \frac{F_m \omega_1}{p} \cdot v - M_s$$

Dacă notăm cu  $\|X_2\|$  vectorul variabilelor de stare:

$$\|X_2\| = \begin{bmatrix} i_{sx} & i_{sy} & q_{sy} & i_{rx} & i_{ry} & v \end{bmatrix}^T \tag{5.42}$$

și explicităm derivata lui, obținem:

$$p \|X_2\| = \|A_2\|^{-1} \cdot \|B_2\| \tag{5.43}$$

În u.r., matricile componente din ecuația (5.43) sînt:

$$\|A_2\| = \tag{5.44}$$

	sx	sy	qy	rx	ry	v
$\frac{x_{SA} - x_{Av} \cos \theta}{\sin \frac{1}{2} \theta}$		$\frac{\cos \theta}{\cos \frac{1}{2} \theta} \cdot x_{Av}$	0	$\frac{1}{\sin \frac{1}{2} \theta} \cdot x_m$	0	0
$\frac{(x_{SB} - x_{Pv}) \cos \theta}{k \sin \frac{1}{2} \theta}$		$\frac{-x_{SB}(1 + \cos \theta) + x_{Pv} \cos \theta}{k \cos \frac{1}{2} \theta}$	0	$\frac{\cos \theta}{\sin \frac{1}{2} \theta} \cdot k x_m$	$-2 \cos \frac{1}{2} \theta \cdot k x_m$	0
0	0	0	1	0	0	0
$x_m$		0	0	$x_r$	0	0
0		$x_m$	0	0	$x_r$	0
0		0	0	0	0	H

și

$$\|B_2\| = \begin{bmatrix} u - 2 \sin \frac{1}{2} \theta \cdot r_A i_{sx} - \frac{\cos \theta}{\cos \frac{1}{2} \theta} \cdot r_A i_{sy} \\ u + \frac{1}{k \cos \frac{1}{2} \theta} \cdot r_B i_{sy} + \frac{1}{k \cos \frac{1}{2} \theta} \cdot x_K q_{sy} - u_K(0) \\ i_{sy} \\ -r_r i_{rx} - v(x_m i_{sy} + x_r i_{ry}) \\ -r_r i_{ry} + v(x_m i_{sx} + x_r i_{rx}) \\ 2x_m(i_{sy} i_{rx} - i_{sx} i_{ry}) - f_m v - m_s \end{bmatrix} \tag{5.45}$$

nire și respectiv la funcționare), regimul tranzitoriu electromecanic de pornire se analizează tot cu ecuația de stare (5.43) în care  $x_K = x_{Kp} + x_{Kf}$  pentru prima perioadă de timp, după care (cînd rotorul în mișcare depășește viteza critică -de regulă 0,75...0,85 din  $v_1$ ) se înlocuiește  $x_K = x_{Kf}$ .

OBS.2 La motoarele asincrone monofazate cu fază capacitivă de pornire, decuplarea condensatorului de pornire înseamnă de fapt deschiderea circuitului fazei de pornire SB. În acest caz, procesul tranzitoriu electromecanic se desfășoară în continuare după ecuația:

$$p \left\| x'_2 \right\| = \left\| A'_2 \right\|^{-1} \cdot \left\| B'_2 \right\| \quad (5.46)$$

în care:

$$\left\| x'_2 \right\| = \begin{bmatrix} i_A & i_{rx} & i_{ry} & v \end{bmatrix}^T \quad (5.47)$$

$$\left\| A'_2 \right\| = \begin{array}{c} \begin{array}{cccc} A & rx & ry & v \\ \hline \frac{x_{SA} - x_{AV} \cos \theta}{2 \sin^2 \frac{1}{2} \theta} & \frac{1}{\sin \frac{1}{2} \theta} \cdot x_m & 0 & 0 \\ \hline \frac{1}{2 \sin \frac{1}{2} \theta} \cdot x_A & x_r & 0 & 0 \\ \hline 0 & 0 & x_r & 0 \\ \hline 0 & 0 & 0 & H \end{array} \end{array} \quad (5.48)$$

$$\left\| B'_2 \right\| = \begin{array}{c} \begin{array}{c} u - r_A i_A \\ -r_r i_{rx} - v x_r i_{ry} \\ -r_r i_{ry} + v \left( \frac{1}{2 \sin \frac{1}{2} \theta} \cdot x_m i_A + x_r i_{rx} \right) \\ -2x_m \frac{1}{2 \sin \frac{1}{2} \theta} \cdot i_A i_{ry} - f_m v - m_s \end{array} \end{array} \quad (5.49)$$

Sub forma dată, ecuațiile stabilite permit soluționarea numerică (cu calculatorul electronic) a regimurilor dinamice corespunzătoare motoarelor asincrone monofazate cu condensator, pentru orice valoare a unghiului  $\theta$ .

5.6 Ecuațiile regimurilor tranzitorii electromecanice ale motoarelor de inducție monofazate fără înfășurare de pornire dar cu condensator de pornire.

În fig.5.8 a, cu SA și SB s-au notat cele două faze statorice inseriate ale unui motor de inducție monofazat fără înfășurare de pornire dar cu condensator de pornire. Faza SB este dispusă spațial sub unghiul  $\theta > 90^\circ$  el. are, în general de  $k (= k_B)$  ori mai multe spire efective decît faza SA și în plus este șuntată pe durata pornirii de condensatorul  $C_K$ .

După simetrizarea fazei statorice SB, în fig.5.8 b s-a reconsiderat mo- BUPT

torul trifazat nesimetric "model matematic" corespunzător, alimentat dezechilibrat.

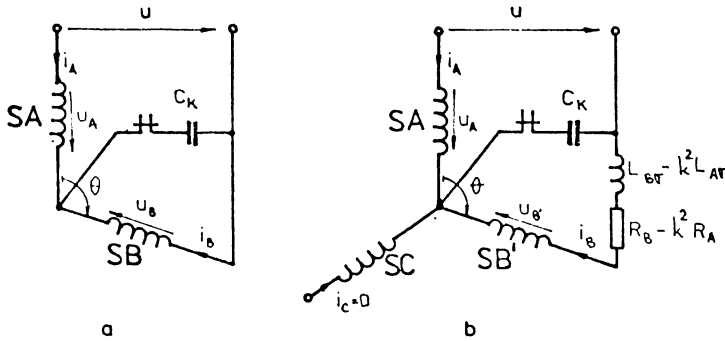


Fig.5.8 a) Motorul de inducție monofazat fără înfășurare de pornire dar cu condensator de pornire. b) Motorul asincron trifazat corespunzător, alimentat dezechilibrat.

Constrîngerile impuse mașinii trifazate nesimetrice "model matematic", determinate de schema de conexiuni și de alimentare a înfășurărilor statice de fază, sînt descrise de:

$$\begin{aligned} u &= u_A + u_K \\ 0 &= u_{B'} + (R_B - k^2 R_A) i_B + (X_{BF} - k^2 X_{AF}) p i_B + u_K \\ 0 &= i_C \end{aligned} \quad (5.50)$$

în care: 
$$u_K = \frac{1}{C_K} \int (i_A + i_B) dt = X_K \int (i_A + i_B) d\tau \quad (5.51)$$

Dacă avem în vedere expresiile (5.25) ale curenților  $i_A$  și  $i_B$ , relația de calcul a tensiunii  $u_K$  devine:

$$u_K = 2 \sin \frac{1}{2} \theta \cdot X_K \int i_{sx} d\tau + \frac{k \cos \theta - 1}{k \cos \frac{1}{2} \theta} \cdot X_K \int i_{sy} d\tau \quad (5.52)$$

În plus, dacă vom introduce două noi variabile de stare:

$$q_{sx} = \int i_{sx} d\tau \quad \text{și} \quad q_{sy} = \int i_{sy} d\tau \quad (5.53)$$

și ținem cont de (5.20), condițiile (5.50) devin echivalente cu:

$$\begin{aligned} u &= u_{SA} + 2 \sin \frac{1}{2} \theta \cdot X_K q_{sx} + \frac{k \cos \theta - 1}{k \cos \frac{1}{2} \theta} \cdot X_K q_{sy} \\ 0 &= u_{SB} + 2 \sin \frac{1}{2} \theta \cdot X_K q_{sx} + \frac{k \cos \theta - 1}{k \cos \frac{1}{2} \theta} \cdot X_K q_{sy} \\ i_{sx} &= p q_{sx} \\ i_{sy} &= p q_{sy} \end{aligned} \quad (5.54)$$

Avînd în vedere și ecuațiile (5.28), ecuațiile corespunzătoare regimului tranzitoriu electromecanic al motorului de inducție monofazat fără înfășurare de pornire dar cu condensator de pornire sînt date (în mărimi absolute) de:

$$\begin{aligned}
 u &= \left[ R_A 2\sin\frac{1}{2}\theta + \frac{1}{\sin\frac{1}{2}\theta} (x_{SA} - x_{AV} \cos\theta) p \right] i_{sx} + \frac{\cos\theta}{\cos\frac{1}{2}\theta} (R_A + x_{AV} p) i_{sy} + \\
 &+ \frac{1}{\sin\frac{1}{2}\theta} \cdot x_m \cdot p i_{rx} + 2\sin\frac{1}{2}\theta \cdot x_K q_{sx} + \frac{k\cos\theta - 1}{k\cos\frac{1}{2}\theta} \cdot x_K q_{sy} \\
 0 &= \frac{\cos\theta}{k\sin\frac{1}{2}\theta} (x_{SB} - x_{BV}) p i_{sx} - \frac{1}{k\cos\frac{1}{2}\theta} \left[ R_B + [(1 + \cos\theta)x_{SB} - \cos\theta \cdot x_{BV}] p \right] i_{sy} + \\
 &+ 2\sin\frac{1}{2}\theta \cdot x_K q_{sx} + \frac{k\cos\theta - 1}{k\cos\frac{1}{2}\theta} \cdot x_K q_{sy} + \frac{\cos\theta}{\sin\frac{1}{2}\theta} \cdot kx_m \cdot p i_{rx} - 2\cos\frac{1}{2}\theta \cdot kx_m \cdot p i_{ry} \\
 0 &= p q_{sx} - i_{ux} \tag{5.55}
 \end{aligned}$$

$$0 = p q_{sy} - i_{uy}$$

$$0 = (R_r + x_r \cdot p) i_{rx} + x_m \cdot p i_{sx} + v(x_m i_{sy} + y_r i_{ry})$$

$$0 = (R_r + x_r \cdot p) i_{ry} + x_m \cdot p i_{sy} - v(x_m i_{sx} + y_r i_{rx})$$

$$\frac{J\omega^2}{p} \cdot p v = 2v \frac{x_m}{\omega_1} (i_{sy} i_{rx} - i_{sx} i_{ry}) - \frac{F_m \omega_1}{p} \cdot v - M_s$$

Pentru simularea pe calculatorul numeric, sistemul (5.55) va fi reformulat matricial. Astfel, dacă notăm cu  $\|X_3\|$  vectorul variabilelor de stare:

$$\|X_3\| = \begin{bmatrix} i_{sx} & i_{sy} & q_{sx} & q_{sy} & i_{rx} & i_{ry} & v \end{bmatrix}^T \tag{5.56}$$

sistemul (5.55) poate fi pus sub forma:

$$\|A_3\| \cdot p \|X_3\| = \|B_3\| \tag{5.57}$$

de unde: 
$$p \|X_3\| = \|A_3\|^{-1} \cdot \|B_3\| \tag{5.58}$$

In u.r., matricile componente din ecuația (5.57) sînt:

$$\|A_3\| = \tag{5.59}$$

	sx	sy	qx	qy	rx	ry	v
	$\frac{x_{SA} - x_{AV} \cos\theta}{\sin\frac{1}{2}\theta}$	$\frac{\cos\theta}{\cos\frac{1}{2}\theta} \cdot x_{AV}$	0	0	$\frac{1}{\sin\frac{1}{2}\theta} \cdot x_m$	0	0
	$\frac{(x_{SB} - x_{BV}) \cos\theta}{k\sin\frac{1}{2}\theta}$	$\frac{-x_{SB}(1 + \cos\theta) + x_{BV} \cos\theta}{k\cos\frac{1}{2}\theta}$	0	0	$\frac{\cos\theta}{\sin\frac{1}{2}\theta} \cdot kx_m$	$-2\cos\frac{1}{2}\theta \cdot kx_m$	0
	0	0	1	0	0	0	0
	0	0	0	1	0	0	0
	$x_m$	0	0	0	$x_r$	0	0
	0	$x_m$	0	0	0	$x_r$	0
	0	0	0	0	0	0	H

$$\|B_3\| = \begin{array}{|l} u - 2r_A i_{sx} \cdot \sin\frac{1}{2}\theta - r_A i_{sy} \cdot \frac{\cos\theta}{\cos\frac{1}{2}\theta} - 2x_K q_{sx} \cdot \sin\frac{1}{2}\theta - x_K q_{sy} \cdot \frac{k\cos\theta-1}{k\cos\frac{1}{2}\theta} \\ r_B i_{sy} \cdot \frac{1}{k\cos\frac{1}{2}\theta} - 2x_K q_{sx} \cdot \sin\frac{1}{2}\theta - x_K q_{sy} \cdot \frac{k\cos\theta-1}{k\cos\frac{1}{2}\theta} \\ i_{sx} \\ i_{sy} \\ -r_r i_{rx} - v(x_m i_{sy} + x_r i_{ry}) \\ -r_r i_{ry} + v(x_m i_{sx} + x_r i_{rx}) \\ 2x_m (i_{sy} i_{rx} - i_{sx} i_{ry}) - f_m v - m_s \end{array} \quad (5.60)$$

După fiecare pas de integrare se calculează:

- curenții statorici  $i_A$  și  $i_B$  cu:

$$i_A = \frac{1}{\cos\frac{1}{2}\theta} \cdot (i_{sx} \sin\theta + i_{sy} \cos\theta)$$

$$i_B = -\frac{1}{\cos\frac{1}{2}\theta} \cdot \frac{1}{k} \cdot i_{sy}$$

- tensiunea la bornele condensatorului,  $u_K$  și curentul prin el,  $i_K$  :

$$u_K = x_K \left[ 2q_{sx} \sin\frac{1}{2}\theta + q_{sy} \cdot \frac{k\cos\theta-1}{k\cos\frac{1}{2}\theta} \right] \quad (5.61)$$

$$i_K = i_A + i_B$$

- momentul electromagnetic dezvoltat de motor

$$m = 2x_m (i_{sy} i_{rx} - i_{sx} i_{ry})$$

OBS. Relațiile stabilite mai sus sînt valabile numai în intervalul de timp cît condensatorul  $C_K$  șuntează înfășurarea statorică B. După deschiderea întreruptorului centrifugal,  $i_K = 0$  adică:

$$i_{sy} = \frac{k \sin\theta}{1 - k \cos\theta} \cdot i_{sx} \quad (5.62)$$

și în continuare:

$$i_A = \frac{2 \sin\frac{1}{2}\theta}{1 - k \cos\theta} \cdot i_{sx} = -i_B \quad (5.63)$$

În continuare, procesul tranzitoriu electromecanic al motorului asincron monofazat fără înfășurare de pornire se va desfășura conform ecuațiilor:

$$u = (R_A + R_B) i_A + \left[ X_{Ar} + X_{Br} + \frac{1-2k\cos\theta+k^2}{1-\cos\theta} (X_{SA} - X_{Av}) \right] p i_A + \frac{1-k\cos\theta}{\sin\frac{1}{2}\theta} \cdot X_m \cdot p i_{rx} + 2\cos\frac{1}{2}\theta \cdot k X_m \cdot p i_{ry}$$

$$\begin{aligned}
 0 &= (R_r + X_r \cdot p) i_{rx} + \frac{1-k\cos\theta}{2\sin\frac{\theta}{2}} \cdot X_m \cdot p i_A + v(\cos\frac{\theta}{2} \cdot kX_m i_A + X_r i_{ry}) \\
 0 &= (R_r + X_r \cdot p) i_{ry} + \cos\frac{\theta}{2} \cdot kX_m \cdot p i_A - v(\frac{1-k\cos\theta}{2\sin\frac{\theta}{2}} \cdot X_m i_A + X_r i_{rx})
 \end{aligned} \tag{5.64}$$

$$\frac{J\omega^2}{p} \cdot p v = 2p \frac{X_r}{\omega_l} \cdot i_A (k\cos\frac{\theta}{2} \cdot i_{rx} - \frac{1-k\cos\theta}{2\sin\frac{\theta}{2}} \cdot i_{ry}) - \frac{F_m \omega}{p} \cdot v - M_s$$

Notînd cu  $\|X_3\|$  vectorul noilor variabile de stare:

$$\|X_3\| = \begin{bmatrix} i_A & i_{rx} & i_{ry} & v \end{bmatrix}^T \tag{5.65}$$

și explicitînd derivata lui, obținem:

$$p \|X_3\| = \|A_3\|^{-1} \cdot \|B_3\| \tag{5.66}$$

In u.r., matricile componente din ecuația (5.66) sînt:

$$\|A_3\| = \begin{array}{c} \begin{array}{cccc} & A & rx & ry & v \\ \hline x_{Av} + x_{Br} + \frac{1-2k\cos\theta+k^2}{1-\cos\theta} \cdot (x_{SA} - x_{Av}) & \frac{1-k\cos\theta}{\sin\frac{\theta}{2}} \cdot X_m & 2\cos\frac{\theta}{2} \cdot kX_m & 0 \\ \hline \frac{1-k\cos\theta}{2\sin\frac{\theta}{2}} \cdot X_m & X_r & 0 & 0 \\ \hline \cos\frac{\theta}{2} \cdot kX_m & 0 & X_r & 0 \\ \hline 0 & 0 & 0 & H \end{array} \end{array} \tag{5.67}$$

$$\|B_3\| = \begin{array}{c} \begin{array}{c} u - (r_A + r_B) i_A \\ -r_r i_{rx} - v(kX_m i_A \cos\frac{\theta}{2} + X_r i_{ry}) \\ -r_r i_{ry} + v(X_m \frac{1-k\cos\theta}{2\sin\frac{\theta}{2}} \cdot i_A + X_r i_{rx}) \\ 2X_m i_A (k\cos\frac{\theta}{2} \cdot i_{rx} - \frac{1-k\cos\theta}{2\sin\frac{\theta}{2}} \cdot i_{ry}) - f_m v - m_s \end{array} \end{array} \tag{5.68}$$

Cu această observație, dispunem de toate elementele necesare simulării pe calculatorul electronic a procesului tranzitoriu electromecanic de pornire.

### 5.7 Ecuațiile regimurilor tranzitorii electromecanice ale motoarelor de inducție monofazate fără înfășurare de pornire, de tip hibrid.

In fig.5.9 a, cu SA și SB s-au notat cele două faze statorice înseriate ale unui motor de inducție monofazat fără înfășurare de pornire, de tip hibrid. Faza SB este dispusă spațial sub unghiul  $\theta > 90^\circ$  el., are de  $k$  ( $=k_B$ ) ori mai multe spire efective decît faza SA și în plus -pe durata pornirii-



este scurtcircuitată.

După simetrizarea fazei statorice SB, în fig.5.9 b s-a reconstituit motorul asincron trifazat nesimetric "model matematic" corespunzător primelor momente ale pornirii.

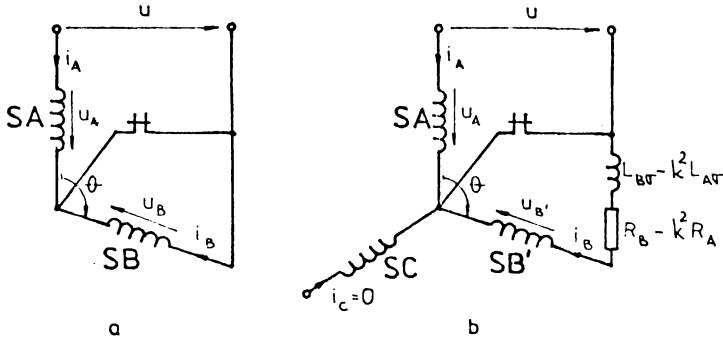


Fig.5.9 a) Motorul de inducție monofazat fără înfășurare de pornire, de tip hibrid. b) Motorul asincron trifazat corespunzător regimului de pornire.

Constrîngerile impuse mașinii trifazate nesimetrice "model matematic", determinate de schema de conexiuni și de alimentare (la pornire) a înfășurărilor statorice de fază, sînt descrise de:

$$\begin{aligned} u &= u_A \\ 0 &= u_{B'} + (R_B - k^2 R_A) i_B + (X_{B\sigma} - k^2 X_{A\sigma}) p i_B \\ 0 &= i_C \end{aligned} \quad (5.69)$$

Dacă avem în vedere (5.28), ecuațiile corespunzătoare regimului tranzitoriu de pornire al motorului asincron monofazat de tip hibrid sînt date de:

$$\begin{aligned} u &= \left[ 2 \sin \frac{\theta}{2} \cdot R_A + \frac{1}{\sin \frac{\theta}{2}} (X_{SA} - X_{A\sigma} \cos \theta) p \right] i_{sx} + \frac{\cos \frac{\theta}{2}}{\cos \frac{\theta}{2}} (R_A + X_{A\sigma} p) i_{sy} + \\ &+ \frac{1}{\sin \frac{\theta}{2}} \cdot X_m \cdot p i_{rx} \\ 0 &= (X_{SB} - X_{B\sigma}) \cos \theta \cdot p i_{sx} - \frac{\sin \frac{\theta}{2}}{\cos \frac{\theta}{2}} \left\{ R_B + \left[ X_{SB} (1 + \cos \theta) - X_{B\sigma} \cos \theta \right] p \right\} i_{sy} + \\ &+ \cos \theta \cdot k^2 X_m \cdot p i_{rx} - \sin \theta \cdot k^2 X_m \cdot p i_{ry} \end{aligned} \quad (5.70)$$

$$0 = (R_r + X_r \cdot p) i_{rx} + X_m p i_{sx} + v (X_m i_{sy} + X_r i_{ry})$$

$$0 = (R_r + X_r \cdot p) i_{ry} + X_m p i_{sy} - v (X_m i_{sx} + X_r i_{rx})$$

$$\frac{J \omega_1^2}{p} \cdot p v = 2 p \frac{X_m}{\omega_1} \cdot (i_{sy} i_{rx} - i_{sx} i_{ry}) - \frac{F_m \omega_1}{p} \cdot v - M_s$$

Dacă notăm cu  $\|X_4\|$  vectorul variabilelor de stare:

$$\|X_4\| = \begin{bmatrix} i_{sx} & i_{sy} & i_{rx} & i_{ry} & v \end{bmatrix}^T \quad (5.71)$$

și explicităm derivata lui, obținem:

$$p \|X_4\| = \|A_4\|^{-1} \cdot \|B_4\| \quad (5.72)$$

În u.r., matricile componente din ecuația (5.72) sînt:

$$\|A_4\| = \quad (5.73)$$

	sx	sy	rx	ry	v
	$\frac{x_{SA} - x_{AV} \cos\theta}{\sin\frac{1}{2}\theta}$	$\frac{\cos\theta}{\cos\frac{1}{2}\theta} \cdot x_{AV}$	$\frac{1}{\sin\frac{1}{2}\theta} \cdot x_m$	0	0
	$(x_{SB} - x_{BV}) \cos\theta$	$-\frac{\sin\frac{1}{2}\theta}{\cos\frac{1}{2}\theta} [x_{SB}(1 + \cos\theta) - x_{BV} \cos\theta]$	$\cos\theta \cdot k^2 x_m$	$-\sin\theta \cdot k^2 x_m$	0
	$x_m$	0	$x_r$	0	0
	0	$x_m$	0	$x_r$	0
	0	0	0	0	H

$$\|B_4\| = \begin{bmatrix} u - 2\sin\frac{1}{2}\theta \cdot r_A i_{sx} - \frac{\cos\theta}{\cos\frac{1}{2}\theta} \cdot r_A i_{sy} \\ \frac{\sin\frac{1}{2}\theta}{\cos\frac{1}{2}\theta} \cdot r_B i_{sy} \\ -r_r i_{rx} - v(x_m i_{sy} + x_r i_{ry}) \\ -r_r i_{ry} + v(x_m i_{sx} + x_r i_{rx}) \\ \dot{x}_m (i_{sy} i_{rx} - i_{sx} i_{ry}) - f_m v - m_s \end{bmatrix} \quad (5.74)$$

OBS. După deschiderea circuitului fazei statorice SB (obișnuit atunci cînd rotorul depășește viteza critică  $v_k \approx 0,8v_1$ ) procesul tranzitoriu care se desfășoară în continuare va fi descris de ecuațiile (5.64).

O dată cu formularea ecuațiilor de analiză a regimurilor tranzitorii a devenit posibil studiul regimului dinamic (electromecanic) de pornire al oricărui tip de motor asincron monofazat cu două înfășurări (general nesimetrice) pe stator.

5.8 Simularea pe calculatorul electronic numeric a proceselor tranzitorii electromecanice corespunzătoare pornirii motoarelor asincrone monofazate.

Ecuațiile diferențiale stabilite în paragrafele anterioare sînt neliniare. Ele conțin produse de variabile de tipul: curent x curent sau curent x

viteză. Pentru soluționarea lor vor fi utilizate metode numerice. In acest sens, datorită avantajelor pe care le oferă, metodele Runge - Kutta de ordinul patru sînt tot mai frecvent folosite. (De regulă, în cadrul acestor metode, valorile curenților, vitezei, momentului electromagnetic etc. sînt calculate la intervale egale de timp -din momentul pornirii motorului- plecîndu-se de la valorile inițiale care, în majoritatea cazurilor practice sînt nule.)

In cazul motoarelor cu structură variabilă în timpul pornirii, integrarea numerică este inițializată pe setul de ecuații corespunzător metodei de pornire după care, la schimbarea configurației (adică la decuplarea unor condensatoare, deschiderea unor circuite etc.) se comută rezolvarea pe noul set de ecuații. In astfel de situații, la fixarea noilor valori inițiale va fi respectat principiul continuității curenților prin înfășurările motorului.

Procedura care trebuie urmată la analiza proceselor tranzitorii de pornire, pentru orice tip de motor asincron monofazat (la care se cunosc:  $\theta$ ,  $k$  precum și parametrii înfășurării statorice de referință SA), va conține obligatoriu următoarele puncte:

1. Determinarea parametrilor circuitului echivalent operațional cu relațiile (5.8);
2. Determinarea reactanțelor totale ale înfășurărilor motorului:  $X_{SA}$ ,  $X_r$  cu (5.15) și respectiv  $X_{SB}$  cu (5.27);
3. Determinarea numerică (în funcție de tipul motorului) a tuturor elementelor matriciale  $\|A\|$  și  $\|B\|$ . Opțional, acestea pot fi calculate și în u.r. (Ansamblul mărimilor de bază la raportarea parametrilor motorului este descris de (5.18).)
4. Inversarea numerică a matricei  $\|A\|$  ;
5. Efectuarea numerică a produsului matricial  $\|A\|^{-1} \cdot \|B\|$  și explicitarea derivatelor variabilelor de stare;
6. Rezolvarea numerică a sistemului de ecuații diferențiale. In acest scop, se apelează la o rutină de tip Runge-Kutta și se fixează: valorile inițiale ale variabilelor, pasul de integrare și timpul final.
7. Determinarea, după fiecare pas de integrare, cu relațiile specifice fiecărui tip de motor asincron monofazat a următoarelor mărimi: viteza rotorului  $v$ ; curenții  $i_A$ ,  $i_B$  și  $i$ ; momentul electromagnetic  $m$ ; tensiunea la bornele condensatorului  $u_K$ ; tensiunile la bornele înfășurărilor statorice  $u_{SA}$  și  $u_{SB}$  etc. Procesul se repetă pînă cînd se ajunge la sfîrșitul intervalului de timp analizat.

#### 5.8.1 Exemplu numeric.

Pe baza modelului dinamic stabilit în interiorul capitoului, în continuare va fi simulat regimul tranzitoriu la pornirea în sarcină

a motorului de inducție monofazat cu înfășurare auxiliară capacitivă, general nesimetrică (dispusă la  $120^\circ$  el. față de înfășurarea principală).

Pentru evidențierea efectelor nesimetriei unghiulare, separat a fost simulat și regimul tranzitoriu corespunzător dispunerii în cuadratură a fazei auxiliare. (Se precizează că, din punct de vedere constructiv, înfășurarea principală, înfășurarea auxiliară cât și rotorul fiecărei mașini sînt aceleași.)

În plus, trebuie menționat că soluționarea regimurilor dinamice corespunzătoare celor două motoare a fost efectuată în condiții externe identice (aceeași constantă de inerție, același moment de sarcină, aceeași constantă de frecări etc.).

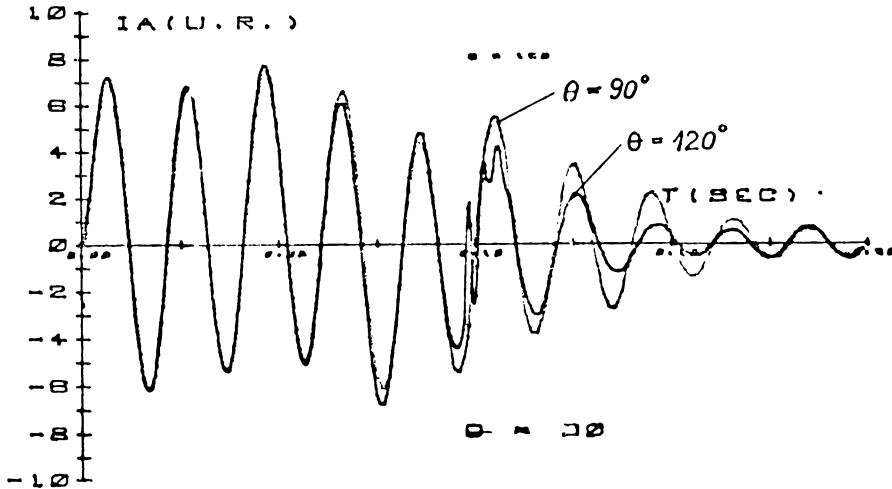


Fig.5.10 Variația în regim tranzitoriu a curenților din înfășurarea principală.

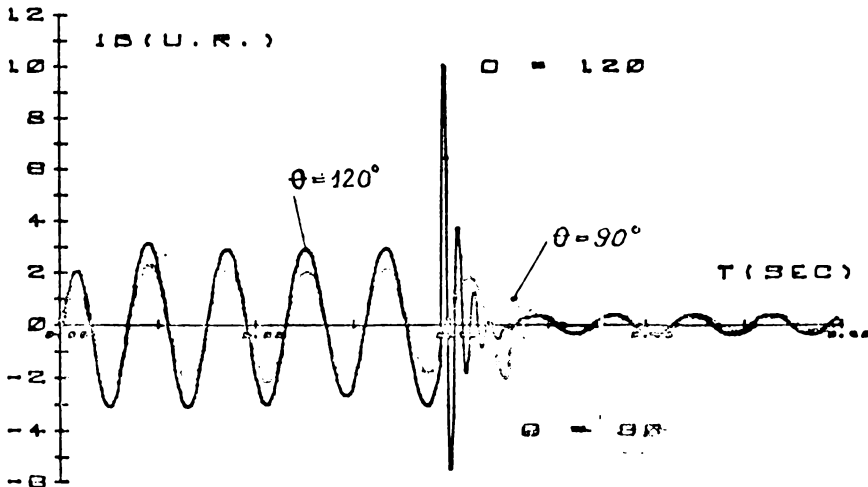


Fig.5.11 Variația în regim tranzitoriu a curenților din înfășurarea auxiliară.

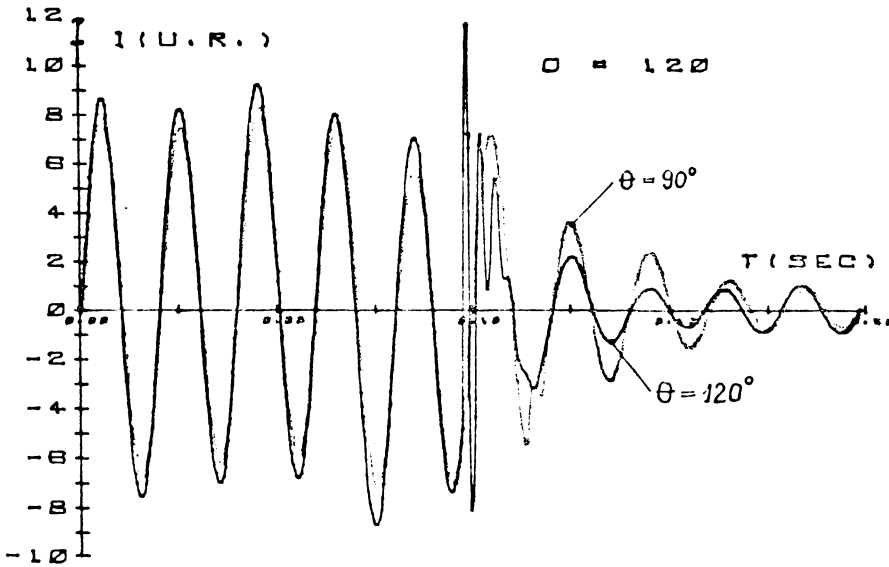


Fig.5.12 Variația în regim tranzitoriu a curentului absorbit de motor din rețea.

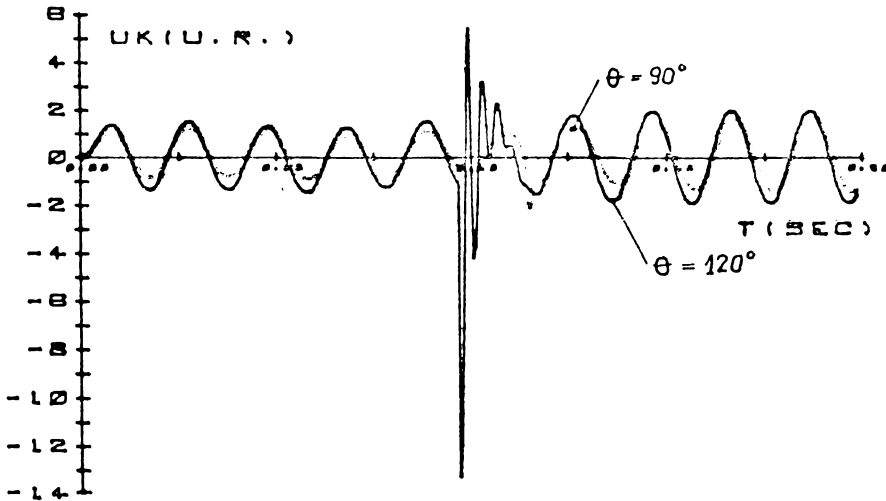


Fig.5.13 Variația în regim tranzitoriu a tensiunii la bornele condensatorului.

Datele mașinii:

Corespund unui motor asincron monofazat cu fază auxiliară /109/:

$P_N = 1,4 \text{ kW}$ ;  $U_N = 220 \text{ V}$ ;  $I_N = 8 \text{ A}$ ;  $2p = 2$ ;  $f_1 = 50 \text{ Hz}$ .

Parametrii înfășurărilor în u.r. (raportati la  $U_N/I_N$ ) sînt:

- inf. SA :  $r_A = 0,05491 \text{ u.r.}$ ;  $x_{A\sigma} = 0,04792 \text{ u.r.}$ ;  $x_{Am} = 3,586 \text{ u.r.}$
- inf. SB :  $r_B = 0,21854 \text{ u.r.}$ ;  $x_{B\sigma} = 0,09272 \text{ u.r.}$
- inf. rot:  $r'_2 = 0,05685 \text{ u.r.}$ ;  $x'_{2\sigma} = 0,06116 \text{ u.r.}$  (Parametrii rotorici au fost reduși la numărul efectiv de spire al înfășurării statorice de referință SA).

Raportul dintre numerele efective de spire ale celor două înfășurări statorice este  $k = 1,3151$ . În plus, s-a considerat:

- constanta de inerție mecanică  $H = 52,742$ ;
- constanta de frecări mecanice  $f_m = 0,04 \cdot v$ ;
- momentul de sarcină  $m_g = 0,02 + 0,363 \cdot v^2$ .

Pornirea motorului este asigurată cu un condensator de capacitate  $C_p = 250 \mu F$  ( $x_{Kp} = 0,463u.r.$ ). La depășirea vitezei  $0,8 \cdot v$ , acesta este decuplat, în circuitul fazei auxiliare rămânând numai condensatorul de funcționare, de capacitate  $C_f = 25 \mu F$  ( $x_{Kf} = 4,63u.r.$ ).

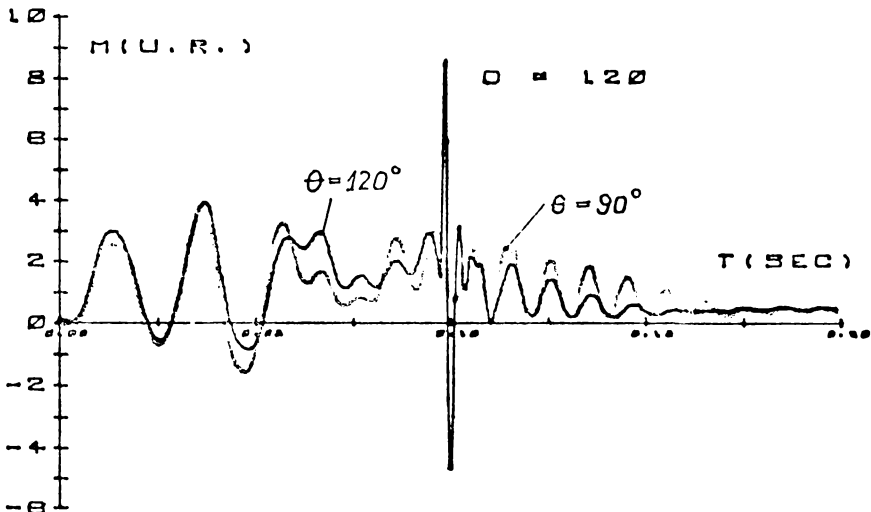


Fig.5.14 Variația în regim tranzitoriu a momentului electromagnetic.

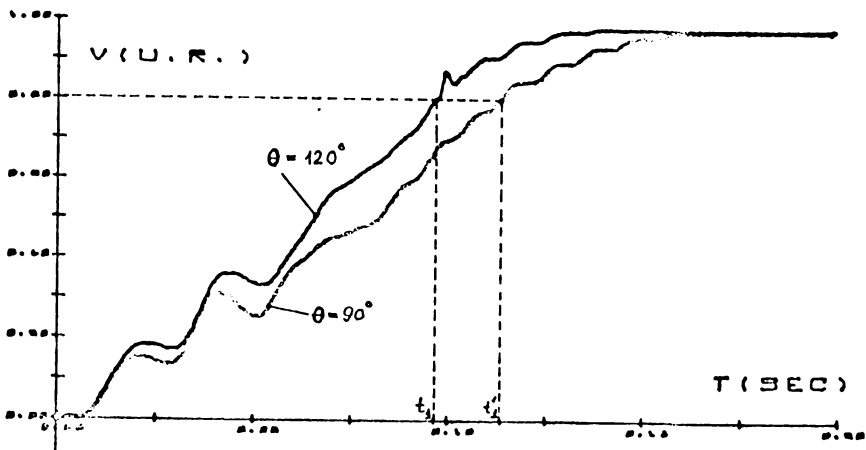


Fig.5.15 Variația în regim tranzitoriu a vitezei de rotație a rotorului.

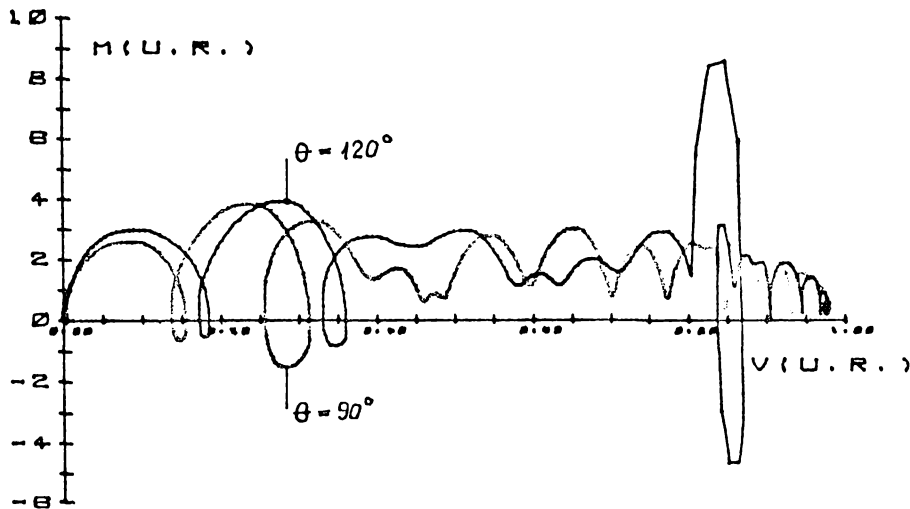


Fig.5.16 Caracteristica mecanică a motorului asincron monofazat în regim tranzitoriu.

Detalii privind soluționare numerică.

Ecuatiile diferențiale corespunzătoare modelului dinamic stabilit în paragraful 5.5 au fost rezolvate numeric pe calculatorul WANG 2200. În acest scop s-a apelat la programul metodei Runge-Kutta din biblioteca de programe matematice (de firmă) a calculatorului.

Acuratețea soluției s-a asigurat prin fixarea pasului de integrare  $\Delta t = 4 \cdot 10^{-4}$  s (adică a 50-a parte din perioadă de variație a curentului alternativ de frecvență industrială). Intervalul de timp analizat a fost de 0,2 secunde. După fiecare pas de integrare s-au calculat: valorile curenților statorici  $i_A, i_B, i$ ; tensiunea la bornele condensatorului  $u_K$ ; momentul electromagnetic  $m$  și viteza  $v$  a rotorului.

Sirurile de rezultate astfel obținute au fost segmentate în pachete de câte 250 valori numerice care s-au încărcat în fișiere (pe casetă magnetică). Cu aceste bănci de date s-a alimentat programul de trasare a graficelor.

Pentru comparație, curbele similare (corespunzătoare celor două motoare) au fost trasate în același sistem de axe, pe aceeași diagramă (cu "albstru" pentru  $\theta = 120^\circ$  și cu "roșu" pentru  $\theta = 90^\circ$ )

Comentarea rezultatelor.

Fig.5.10 indică variația curenților  $i_{A(120^\circ)}$  și  $i_{A(90^\circ)}$  prin înfășurarea principală SA a celor două motoare. Datorită cuplajului transformatoric cu înfășurarea auxiliară, la motorul cu  $\theta = 120^\circ$  apar mici oscilații ale curentului  $i_A$  în momentul decuplării condensatorului de pornire, oscilații care se amortizează cam după o jumătate de perioadă (0,01 s). Fenomenul este absent în cazul dispunerii în cuadratură a înfășurării auxiliare. Ca ordin de mărime, în primele perioade de variație  $i_{A(120^\circ)} \approx i_{A(90^\circ)}$ . În plus, se

constată și o diferență între constanțele de timp de amortizare a celor doi curenți.

Fig.5.11 reprezintă variația curenților din înfășurarea auxiliară a celor două motoare. De la început se remarcă valoarea mărită cu circa 25-30% a curențului  $i_{B(120^\circ)}$  față de  $i_{B(90^\circ)}$ . Decuplarea condensatorului  $C_p$  este însoțită de puternice oscilații ale curențului  $i_{B(120^\circ)}$ . Oscilații, mult mai mici, se simt și în curba de variație a curențului  $i_{B(90^\circ)}$ . În schimb, durata acestora este aproximativ aceeași.

Fig.5.12 indică variația variația curențului absorbit de motor din rețea. Se remarcă prezența simultană a aspectelor semnalate mai înainte și în curba de variație în timp a curenților  $i_{(120^\circ)}$  și  $i_{(90^\circ)}$ .

Fig.5.13 indică dependențele  $u_K(120^\circ)$ ,  $u_K(90^\circ) = f(t)$ . Două aspecte sînt pregnante aici:

- creșterea cu pînă la 15-20% a tensiunii la bornele condensatorului pentru  $\theta = 120^\circ$  și
- prezența oscilațiilor de comutație, de amplitudine mult mai mare în cazul motorului cu înfășurarea auxiliară la  $120^\circ$ .

Fig.5.14 indică variația momentului electromagnetic. În primul rînd se remarcă prezența momentului oscilatoriu (cauzat de interacțiunea cîmpurilor magnetice directe și inverse din întrefier), moment care nu poate fi evidențiat în regim staționar. La decuplarea condensatorului de pornire se înregistrează șocuri de moment în cazul  $\theta = 120^\circ$ . Din punctul de vedere al valorilor medii, se constată că  $\widetilde{m}_{(120^\circ)}^t > \widetilde{m}_{(90^\circ)}^t$ . Diferența se păstrează și în regim staționar.

Fig.5.15 indică dependențele vitezelor celor două motoare în timpul pornirii. Deosebirea dintre momentele acceleratoare conduce la timpi de pornire diferiți ( $t_p(120^\circ) < t_p(90^\circ)$ ). De fapt, acest lucru s-a evidențiat și pe figură cînd s-au marcat timpii  $t_1$  și  $t_1'$  pentru care cele două motoare ajung la viteza  $0,8 \cdot v_1$ .

Fig.5.16 indică caracteristicile mecanice în regim dinamic ale celor două motoare asincrone monofazate.

x   x   x

În mod cu totul asemănător pot fi soluționate numeric și procesele tranzitorii ale celorlalte tipuri de motoare asincrone monofazate pentru care, în interiorul capitolului, s-au stabilit modelele dinamice.

În final, se precizează că metoda poate fi extinsă și la analiza proceselor tranzitorii ale mașinii de inducție trifazate, nesimetrice, de tipul "modelului matematic" pentru orice conexiuni și mod de alimentare a înfășurărilor statorice de fază. (Ecuatiile mașinii asincrone trifazate simetrice pot fi obținute prin simpla particularizare:  $k_B = k_C = 1$  și  $\theta = 120^\circ \text{el.}$ )



CONCLUZII FINALE SI CONTRIBUTII ORIGINALE

6.1 Concluzii finale.

Subiectul dezvoltat în cadrul tezei de doctorat se înscrie printre preocupările -de mai mulți ani ale autorului- de a găsi căile și mijloacele de creștere a performanțelor și de reducere a consumurilor de materiale active la fabricarea motoarelor de inducție monofazate.

Pornind de la constatarea că, în prezent, majoritatea tipurilor de motoare asincrone monofazate sînt echipate cu înfășurări bifazate, nesimetrice (cu înfășurările statorice de fază diferite, dar plasate la  $90^{\circ}$ el.), de la care s-au scos aproape toate rezervele, s-a încercat mărirea gradului de nesimetrie a lor.

Astfel, au apărut mașinile de inducție cu înfășurări bifazate general nesimetrice pe stator la care, în plus, cele două înfășurări statorice de fază sînt dispuse spațial sub unghiul  $\theta \neq 90^{\circ}$ el.

De modul de conectare și de alimentare a celor două înfășurări statorice de fază la rețeaua monofazată depind, pe de o parte, soluțiile de dimensionare optimă a lor, iar, pe de altă parte, performanțele (la pornire și în funcționare) obținute de motoarele asincrone monofazate realizate în acest fel.

Deși problema a suscitat atenția cercetătorilor de mai multă vreme, totuși, s-a constatat că, din punct de vedere teoretic ea a fost abordată incomplet și uneori chiar simplist. (Se are în vedere metoda componentelor simetrice care, așa cum s-a demonstrat în Cap.1, este incorectă, reducîndu-se -pînă la un punct- la teoria cîmpurilor magnetice circulare învîrtitoare, sub toate aspectele analizate în paragraful 1.3.)

Plecînd de la constatările de mai sus, în lucrarea de față s-a stabilit o teorie originală a metodei componentelor simetrice. Compatibilitatea ei cu celelalte teorii de analiză ale mașinii de inducție cît și cu variantele clasice -trifazate și bifazate- ale metodei componentelor simetrice, corespunzătoare analizei mașinilor de inducție simetrice, este demonstrată în Anexa I a tezei de doctorat.

Cu această "unealtă" au fost investigate -în teză- posibilitățile motoarelor de inducție monofazate cu înfășurări bifazate, general nesimetrice

pe stator, atât în regim staționar cât și în regim dinamic. Rezultatele experimentale obținute -în regim staționar- la pornirea acestor tipuri de motoare asincrone monofazate au confirmat pe deplin justetea ei.

În ansamblu, din analiza lucrării, se desprind următoarele concluzii și rezultate generale:

1. Se consideră că mașina de inducție bifazată, cu înfășurări general nesimetrice pe stator, provine din regimul dezechilibrat al unei mașini de inducție trifazate, nesimetrice, la întreruperea sau nealimentarea unei înfășurări statorice de fază.

2. Pe baza adoptării unui model intuitiv de mașină de inducție trifazată nesimetrică, în lucrare sînt stabilite -prin calcule- particularitățile și structura definitivă a "modelului matematic" de mașină de inducție trifazată nesimetrică.

3. Teoria componentelor simetrice stabilită în teza de doctorat este generală, compatibilă în totalitate atât cu variantele clasice ale ei cât și cu celelalte metode de analiză ale mașinii de inducție. Ea se referă la mașinile de inducție trifazate, nesimetrice, de tipul "modelului matematic". Prin simple particularizări, din ea se pot obține metodele clasice ale componentelor simetrice fazoriale 1,2,0 sau instantanee +,-,0 (în variantele naturală sau normată) corespunzătoare analizei mașinilor asincrone trifazate și respectiv bifazate simetrice.

4. Sub aspectul modului de utilizare, teoria componentelor simetrice stabilită în Cap.2, nu ridică probleme deosebite. Prin definirea impedanțelor simetrice echivalente -complexe și operaționale- ale mașinii trifazate nesimetrice "model matematic", poate fi analizată -întocmai ca în teoria clasică a componentelor simetrice- orice schemă de conexiuni și de alimentare a înfășurărilor statorice de fază.

5. Pe baza conceptului de "simetrizare a înfășurărilor statorice de fază", motoarele asincrone monofazate cu înfășurări bifazate, general nesimetrice, pe stator sînt analizate -atît în regim staționar cât și în regim dinamic- ca situații de alimentare dezechilibrată a mașinii de inducție trifazate, nesimetrice, "model matematic" corespunzător.

6. Sînt analizate -teoretic și experimental- performanțele la pornire ale motoarelor asincrone monofazate cu fază auxiliară sau de pornire (de tip rezistiv, capacitiv sau complex) general nesimetrică. Pentru acestea sînt stabilite relații de dimensionare -din condiții de optim- referitoare atât la înfășurarea de pornire cât și la elementul de defazare inseriat cu ea.

7. Sînt analizate -teoretic și experimental- performanțele la pornire ale motoarelor asincrone monofazate fără înfășurare de pornire dar cu condensator de pornire.

8. Este propus un nou tip de motor asincron monofazat fără înfășurare

de pornire: motorul de inducție monofazat "hibrid". Pe baza analizei teoretice și a încercărilor experimentale sînt stabilite principalele elemente de dimensionare optimă a acestuia.

9. Pentru motoarele de inducție monofazate fără înfășurare de pornire sînt stabilite relații analitice de calcul a caracteristicilor de funcționare -cu și fără considerarea armonicilor spațiale- întocmai ca la motoarele polifazate simetrice.

10. Pe baza teoriei componentelor simetrice instantanee +,-,0 (stabilite în Cap.2 al tezei) s-a descris, pentru prima dată în literatură, o modalitate unitară de analiză a proceselor tranzitorii electromecanice ale motoarelor de inducție monofazate echipate cu înfășurări bifazate, general nesimetrice pe stator.

11. Metoda de analiză, dezvoltată în teza de doctorat, poate fi extinsă și la calculul altor motoare de inducție, nesimetrice, de tipul "modelului matematic".

12. Toate rezultatele stabilite în teza de doctorat au un grad sporit de generalitate. Dacă sînt particularizate pentru  $\Theta = 90^\circ$  se obțin exact relațiile date în literatură pentru motoarele de inducție monofazate cu înfășurările statorice de fază în cuadratură electrică.

13. Din punct de vedere teoretic, prin elaborarea metodei componentelor simetrice generalizate s-a demonstrat originea comună a teoriilor clasice corespunzătoare componentelor simetrice trifazate și respectiv bifazate. (Pînă acum, în literatura de specialitate acestea se demonstau și se utilizau ca forme complet independente.) Totodată s-a confirmat originea comună și a variantelor -naturală și normată- ale metodei componentelor simetrice -fazoriale și instantanee- folosite în prezent la analiza regimurilor nesimetrice ale mașinilor electrice simetrice.

14. Din punct de vedere practic, lucrarea pune la dispoziția proiectanților și constructorilor de mașini electrice de mică putere o metodologie completă de calcul a performanțelor motoarelor asincrone monofazate cu înfășurări bifazate general nesimetrice pe stator. De asemenea, omologarea și introducerea în fabricația de serie (cu eficiență economică deosebită) a motorului asincron monofazat "hibrid" la Intreprinderea Electroprecizia-Săcele, certifică aplicabilitatea imediată a rezultatelor stabilite în teza de doctorat.

## 6.2 Contribuții originale.

Capitolul 1 al tezei de doctorat conține, în sinteză, principalele rezultate stabilite pînă acum în domeniul construcției și teoriei mașinilor de inducție cu înfășurări bifazate, general nesimetrice pe stator.

Capitolele 2, 3, 4, 5 cît și Anexa I a tezei de doctorat sînt în întregime originale. De altfel, o parte din rezultatele stabilite aici au și fost

fructificate de autor, cu diferite prilejuri, /129/ - /141/, /205/ -/208/.

In continuare sînt punctate, pe capitole, principalele contribuții originale ale autorului:

In Capitolul 2:

2.1 Enunțarea ideii potrivit căreia mașina de inducție cu înfășurări bifazate, general nesimetrice pe stator, provine din regimul dezechilibrat al unei mașini de inducție trifazate, nesimetrice, la întreruperea sau nealimentarea unei înfășurări statorice de fază;

2.2 Precizarea și demonstrarea structurii mașinii trifazate nesimetrice "model matematic" precum și a restricțiilor impuse acestuia plecînd de la modelul intuitiv al mașinii trifazate nesimetrice echivalente;

2.3 Stabilirea expresiilor componentelor simetrice naturale fazoriale ale curenților și tensiunilor statorice de fază și a relațiilor de descompunere în componente simetrice fazoriale;

2.4 Definierea, demonstrarea și stabilirea impedanțelor echivalente -directă, inversă și omopolară- ale mașinii trifazate nesimetrice "model matematic";

2.5 Definierea și utilizarea coordonatelor  $d, q, 0$  respectiv  $+, -, 0$  generalizate. Acestea au permis stabilirea unitară a transformării  $A, B, C - d, q, 0$  în variantele: normală, naturală și normată, iar a transformării  $A, B, C - +, -, 0$  în variantele: naturală și normată;

2.6 Determinarea unitară a factorilor de scară corespunzători tipurilor uzuale de transformări de coordonate a mărimilor de fază ale mașinii trifazate nesimetrice "model matematic";

2.7 Stabilirea parametrilor mașinii echivalente energetic corespunzătoare diverselor tipuri de transformări  $d, q, 0$  și respectiv  $+, -, 0$ ;

2.8 Demonstrarea transformării  $A, B, C - +, -, 0$  generalizate cît și a formelor particulare: naturală și normată;

2.9 Stabilirea ecuațiilor mașinii trifazate, nesimetrice, "model matematic" în coordonate  $+, -, 0$  generalizate și respectiv: naturale și normate;

2.10 Stabilirea ecuațiilor și a impedanțelor echivalente operaționale;

2.11 Definierea conceptului de simetrizare a înfășurărilor statorice și precizarea modului de utilizare a teoriei componentelor simetrice la analiza mașinilor de inducție cu înfășurări bifazate, general nesimetrice, pe stator.

In Capitolul 3:

3.1 Reconsiderarea modului de utilizare a metodei componentelor simetrice la analiza motoarelor asincrone monofazate cu fază auxiliară sau de pornire, general nesimetrică;

3.2 Stabilirea expresiilor de calcul a performanțelor la pornire, co-

responsător diferitelor tipuri de motoare asincrone monofazate cu fază auxiliară sau de pornire general nesimetrică;

3.3 Analiza influenței raportului de transformare  $k$ , a impedanței convertorului static de fază și a decalajului spațial  $\theta$  asupra performanțelor la pornire;

3.4 Stabilirea de relații analitice de calcul corespunzătoare valorilor optime ale parametrilor de pornire;

3.5 Studiarea influenței decalajului spațial  $\theta$  asupra caracteristicilor de funcționare ale motoarelor asincrone monofazate cu condensatori;

3.6 Verificarea experimentală, pe motoare realizate practic, a concluziilor teoretice.

#### In Capitolul 4:

4.1 Analiza motoarelor de inducție monofazate fără înfășurare de pornire cu metoda componentelor simetrice;

4.2 Stabilirea expresiilor analitice de calcul a performanțelor la pornire;

4.3 Definirea mașinii de inducție bifazate simetrice echivalente și raportarea tuturor parametrilor de pornire la ea;

4.4 Analiza influenței diversilor parametri ai înfășurărilor statorice general nesimetrice asupra performanțelor la pornire;

4.5 Stabilirea de relații analitice de calcul corespunzătoare valorilor optime ale parametrilor de pornire;

4.6 Descrierea și analizarea motorului asincron monofazat fără înfășurare de pornire, de tip "hibrid";

4.7 Stabilirea de relații analitice pentru calculul caracteristicilor de funcționare ale motoarelor de inducție monofazate fără înfășurare de pornire;

4.8 Verificarea experimentală, pe motoare realizate practic, a concluziilor teoretice.

#### In Capitolul 5:

5.1 Precizarea modului de utilizare a teoriei componentelor simetrice instantanee  $+$ ,  $-$ ,  $0$  la analiza regimurilor tranzitorii electromecanice ale mașinii de inducție trifazate nesimetrice "model matematic";

5.2 Stabilirea ecuațiilor regimurilor tranzitorii electromecanice corespunzătoare mașinilor de inducție bifazate cu înfășurări general nesimetrice pe stator;

5.3 Stabilirea modelelor dinamice a proceselor tranzitorii electromecanice corespunzătoare diferitelor tipuri de motoare asincrone monofazate cu înfășurări bifazate, general nesimetrice, pe stator;

5.4 Soluționarea numerică a procesului tranzitoriu de pornire al moto-

rului asincron monofazat cu fază auxiliară -general nesimetrică- de tip capacitiv.

In Anexa I:

A.1 Demonstrarea compatibilității teoriei componentelor simetrice fazoriale -stabilită în Capitolul 2 al tezei- cu teoria câmpului transversal precum și cu teoria câmpurilor magnetice circulare învârtitoare;

A.2 Demonstrarea compatibilității teoriei componentelor simetrice fazoriale cu variantele clasice -trifazate și bifazate- ale metodei componentelor simetrice utilizate în prezent la analiza regimurilor nesimetrice ale mașinilor tri și bifazate simetrice;

A.3 Demonstrarea originii comune a formelor trifazate și bifazate ale teoriei componentelor simetrice clasice;

A.4 Stabilirea de relații între impedanțele echivalente -directă, inversă și omopolară- corespunzătoare diferitelor forme ale teoriei componentelor simetrice generalizate.

DEMONSTRAREA COMPATIBILITĂȚII TEORIEI COMPONENTELOR  
SIMETRICE -STABILITA IN CAPITOLUL 2- CU CELELALTE TEORII ALE  
MASINII DE INDUCTIE CIT SI CU VARIANTELE CLASICE ALE EI.

Teoria componentelor simetrice -fazoriale și instantanee- stabilită în Capitolul 2 al tezei de doctorat are un grad sporit de generalitate. Ea se pretează la analiza regimurilor staționare și dinamice ale mașinilor electrice trifazate, nesimetrice, de tipul "modelului matematic".

În particular, această teorie face posibilă și analiza comportării mașinilor de inducție cu două înfășurări -general nesimetrice- pe stator, alimentate monofazat și avînd orice schemă de conexiuni.

Ecuatiile teoriei componentelor simetrice clasice -corespunzătoare analizei mașinilor de inducție simetrice- se obțin ca situații particulare cînd:

a/  $k_B = 1$ ,  $k_C = 1$  și  $\theta = 120^\circ$  pentru mașinile trifazate;

b/  $k_B = 1$ ,  $k_C = 0$  și  $\theta = 90^\circ$  pentru mașinile bifazate.

Prin acest fapt este confirmat și caracterul unitar al teoriei componentelor simetrice deși, pînă acum în literatură /2/,/3/,/6/,/10/,/16/,/68/,/71/,/76/,/84/,/102/,/104/,/105/,/110/,/121/,/124/,/153/,/158/,/162/,/172/,/173/,/195/,/201/ etc. ecuațiile de transformare pentru mașinile simetrice -bifazate și trifazate- au fost formulate separat, în cadrul a două variante independente de sine stătătoare.

Cu toate aceste argumente, dispunînd în plus și de posibilitatea verificărilor intermediare (prin particularizarea lui  $\theta$ ), s-a considerat oportun efectuarea unei demonstrații de compatibilitate a teoriei stabilite cu teoriile clasice de analiză a mașinii de inducție:

1. Teoria cîmpului transversal;
2. Teoria cîmpurilor magnetice circulare învîrtitoare.

Ambele teorii pot fi aplicate direct la analiza mașinilor de inducție cu înfășurări statorice nesimetrice.

Cu scopul asigurării elementelor de comparație, în continuare vor fi prezentate succint relațiile de bază ale celor două teorii.

### 1.1 Teoria cîmpului transversal.

Conceptele de bază ale acestei teorii sînt prezentate frecvent în lite-

ratură /52/,/53/,/54/,/55/,/56/,/57/,/61/,/82/,/97/,/106/,/107/,/109/,/148/, /162/,/182/,/183/,/184/,/185/. Corespunzător acestora, mașini bifazate reale (reprezentate în fig.I.1) i se asociază modelul din fig.I.2:

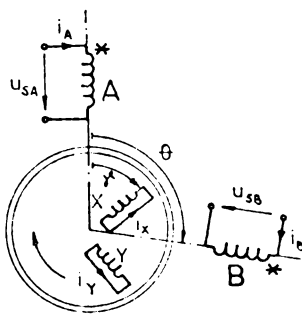


Fig. I.1

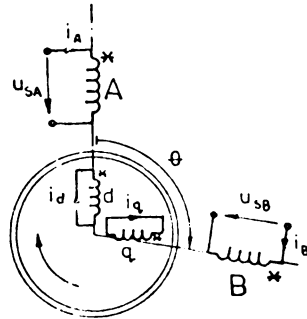


Fig. I.2

În sistemul coordonatelor de fază, ecuațiile de tensiuni ale mașinii bifazate reale sînt descrise de:

$$\|u_{xy}\| = \|z_{xy}\| \cdot \|i_{xy}\| \quad (I.1)$$

în care:

$$\|z_{xy}\| = \|R_{xy}\| + \frac{d}{dt} \|L_{xy}\| \quad (I.2)$$

Ecuațiile de tensiuni, în teoria cîmpului transversal, se obțin numai după efectuarea transformării definite de:

$$\|C\| = \begin{bmatrix} 1 & & & \\ & 1 & & \\ & & \cos \gamma & \sin \gamma \\ & & -\sin \gamma & \cos \gamma \end{bmatrix} \quad \|C\|^{-1} = \|C\|^T = \begin{bmatrix} i & & & \\ & 1 & & \\ & & \cos \gamma & -\sin \gamma \\ & & \sin \gamma & \cos \gamma \end{bmatrix} \quad (I.3)$$

Rezultă:  $\|u_{dq}\| = \|z_{dq}\| \cdot \|i_{dq}\| \quad (I.4)$

cu:  $\|u_{dq}\| = \|C\|^T \cdot \|u_{xy}\|$ ;  $\|i_{dq}\| = \|C\|^T \cdot \|i_{xy}\|$ ;  $\|z_{dq}\| = \|C\|^T \cdot \|z_{xy}\| \cdot \|C\| \quad (I.5)$

După efectuarea derivatelor matriciale, ecuația (I.4) poate fi rescrisă sub forma:

$$\|u_{dq}\| = (\|R_{dq}\| + \|L_{dq}\| \cdot \frac{d}{dt} + \omega_r \|G\|) \cdot \|i_{dq}\| \quad (I.6)$$

în care:

$$\begin{aligned} \|R_{dq}\| &= \|C\|^T \cdot \|R_{xy}\| \cdot \|C\| \\ \|L_{dq}\| &= \|C\|^T \cdot \|L_{xy}\| \cdot \|C\| \\ \omega_r \|G\| &= \|C\|^T \cdot \frac{d}{dt} \|C\| \cdot \|L_{dq}\| \quad \text{cu} \quad \omega_r = \frac{d\gamma}{dt} \end{aligned} \quad (I.7)$$

Formînd ecuația de bilanț a puterilor:

$$\|i_{dq}\|^T \cdot \|u_{dq}\| = \|i_{dq}\|^T \cdot \|R_{dq}\| \cdot \|i_{dq}\| + \|i_{dq}\|^T \cdot \|L_{dq}\| \cdot \frac{d}{dt} \|i_{dq}\| + \omega_r \|i_{dq}\|^T \cdot \|G\| \cdot \|i_{dq}\| \quad (I.8)$$



se poate identifica și expresia momentului electromagnetic:

$$m = \|\mathbf{i}_{dq}\|^T \cdot \|\mathbf{G}\| \cdot \|\mathbf{i}_{dq}\| \quad (I.9)$$

Forma finală, dezvoltată, a ecuației (I.6) este:

$u_{SA}$	$R_A + (l_{A\sigma} + L_{AA\sigma} + L_{Ah}) \frac{d}{dt}$	$k_B \cos\theta (L_{AA\sigma} + L_{Ah}) \frac{d}{dt}$	$L_{Ah} \frac{d}{dt}$		$i_A$
$u_{SB}$	$k_B \cos\theta (L_{AA\sigma} + L_{Ah}) \frac{d}{dt}$	$R_B + [l_{B\sigma} + k_B^2 (L_{AA\sigma} + L_{Ah})] \frac{d}{dt}$	$k_B \cos\theta L_{Ah} \frac{d}{dt}$	$k_B \sin\theta L_{Ah} \frac{d}{dt}$	$i_B$
0	$L_{Ah} \frac{d}{dt}$	$k_B \cos\theta L_{Ah} \frac{d}{dt} + k_B \sin\theta L_{Ah} \omega_r$	$R_2' + (L_{2\sigma}' + L_{Ah}) \frac{d}{dt}$	$\omega_r (L_{2\sigma}' + L_{Ah})$	$i_d$
0	$-\omega_r L_{Ah}$	$k_B \sin\theta L_{Ah} \frac{d}{dt} - k_B \cos\theta L_{Ah} \omega_r$	$-\omega_r (L_{2\sigma}' + L_{Ah})$	$R_2' + (L_{2\sigma}' + L_{Ah}) \frac{d}{dt}$	$i_q$

iar momentul electromagnetic, dat de (I.9), se calculează cu: (I.10)

$$m = p L_{Ah} [k_B i_B \sin\theta i_d - (i_A + k_B i_B \cos\theta) i_q] \quad (I.11)$$

În regim permanent sinusoidal, ecuațiile mașinii de inducție cu două înfășurări general nesimetrice pe stator - în teoria cîmpului transversal- sînt:

$\underline{U}_{SA}$	$R_A + j(X_{A\sigma} + X_{AA\sigma} + X_{Am})$	$j k_B \cos\theta \cdot (X_{AA\sigma} + X_{Am})$	$j X_{Am}$		$\underline{I}_A$
$\underline{U}_{SB}$	$j k_B \cos\theta \cdot (X_{AA\sigma} + X_{Am})$	$R_B + j [X_{B\sigma} + k_B^2 (X_{AA\sigma} + X_{Am})]$	$j k_B \cos\theta \cdot X_{Am}$	$j k_B \sin\theta \cdot X_{Am}$	$\underline{I}_B$
0	$j X_{Am}$	$j k_B \cos\theta \cdot X_{Am} + (1-s) k_B \sin\theta X_{Am}$	$R_2' + j(X_{2\sigma}' + X_{Am})$	$(1-s) \cdot (X_{2\sigma}' + X_{Am})$	$\underline{I}_d'$
0	$-(1-s) X_{Am}$	$j k_B \sin\theta \cdot X_{Am} - (1-s) k_B \cos\theta X_{Am}$	$-(1-s) \cdot (X_{2\sigma}' + X_{Am})$	$R_2' + j(X_{2\sigma}' + X_{Am})$	$\underline{I}_q'$

(I.12)

### I.2 Teoria cîmpurilor magnetice circulare învîrtitoare.

Conceptele de bază ale acestei teorii, frecvent utilizată în literatura de limbă engleză /14/, /49/, /59/, /60/, /85/, /112/, /136/, /139/, /140/, /189/, au fost deja prezentate și chiar utilizate în Capitolul 2 al tezei.

Ecuațiile de tensiuni -potrivit teoriei cîmpurilor magnetice circulare învîrtitoare (v.ec.2.35 și 2.36)- pot fi puse sub forma:

$$\begin{aligned} \underline{U}_{SA} &= \underline{Z}_{AA} \underline{I}_A + \underline{Z}_{AB} \underline{I}_B \\ \underline{U}_{SB} &= \underline{Z}_{BA} \underline{I}_A + \underline{Z}_{BB} \underline{I}_B \end{aligned} \quad (I.13)$$

in care:

$$\begin{aligned} \underline{Z}_{AA} &= R_A + jX_{AAV} + jX_{AAV} + \underline{Z}_f + \underline{Z}_b \\ \underline{Z}_{AB} &= k_B(\underline{Z}_f e^{+j\theta} + \underline{Z}_b e^{-j\theta} + jX_{AAV} \cos\theta) \\ \underline{Z}_{BA} &= k_B(\underline{Z}_f e^{-j\theta} + \underline{Z}_b e^{+j\theta} + jX_{AAV} \cos\theta) \\ \underline{Z}_{BB} &= R_B + jX_{BBV} + k_B^2(jX_{AAV} + \underline{Z}_f + \underline{Z}_b) \end{aligned} \quad (I.14)$$

In expresiile de mai sus,  $\underline{Z}_f$  și  $\underline{Z}_b$  sînt impedanțele asociate cîmpurilor magnetice învîrtitoare -direct (f), respectiv invers (b)- și sînt date de:

$$\underline{Z}_f = 0,5 \frac{jX_{Am} \left( \frac{R_2'}{s} + jX_{2V}' \right)}{\frac{R_2'}{s} + j(X_{2V}' + X_{Am})}; \quad \underline{Z}_b = 0,5 \frac{jX_{Am} \left( \frac{R_2'}{2-s} + jX_{2V}' \right)}{\frac{R_2'}{2-s} + j(X_{2V}' + X_{Am})} \quad (I.15)$$

Momentul electromagnetic mediu în cadrul acestei teorii -determinat tot din ecuația de bilanț a puterilor- se calculează cu:

$$M = \frac{P}{\omega_1} \left[ I_f^2 \operatorname{Re}(\underline{Z}_f) - I_b^2 \operatorname{Re}(\underline{Z}_b) \right] \quad (I.16)$$

in care:  $I_f = I_A + k_B I_B e^{+j\theta}; \quad I_b = I_A + k_B I_B e^{-j\theta} \quad (I.17)$

au semnificația unor curenți statorici fictivi corespunzători cîmpurilor magnetice circulare învîrtitoare direct și respectiv invers.

I.3 Teoria componentelor simetrice.

Conceptele de bază ale acestei teorii sînt dezvoltate pe larg în cadrul Capitolului 2 al tezei. Acolo sînt stabilite ecuațiile "modelului matematic" atât în c.s.f. cit și în c.s.i. Vom relua numai rezultatele finale, formulele matriciale.

1. Ecuațiile în mărimi instantanee:

(I.18)

$\underline{u}_{s+}$	$R_A + (l_{AV} + L_{AAV}) \frac{d}{dt} + 2\sin^2 \frac{1}{2}\theta \frac{d}{dt} + 2\sin^2 \frac{1}{2}\theta L_{Ah} \frac{d}{dt}$			$2\sin^2 \frac{1}{2}\theta L_{Ah}$		$\underline{i}_{s+}$
$\underline{u}_{s-}$	$R_A + (l_{AV} + L_{AAV}) \frac{d}{dt} + 2\sin^2 \frac{1}{2}\theta \frac{d}{dt} + 2\sin^2 \frac{1}{2}\theta L_{Ah} \frac{d}{dt}$				$2\sin^2 \frac{1}{2}\theta L_{Ah}$	$\underline{i}_{s-}$
$\underline{u}_{so}$			$R_A + l_{AV} \frac{d}{dt}$			$\underline{i}_{so}$
0	$2\sin^2 \frac{1}{2}\theta L_{Ah} \left( \frac{d}{dt} - j \frac{d}{dt} \right)$			$2\sin^2 \frac{1}{2}\theta \cdot R_2' + (2\sin^2 \frac{1}{2}\theta L_{2V}' + 2\sin^2 \frac{1}{2}\theta L_{Ah}) \left( \frac{d}{dt} - j \frac{d}{dt} \right)$		$\underline{i}_{r+}$
0	$2\sin^2 \frac{1}{2}\theta L_{Ah} \left( \frac{d}{dt} + j \frac{d}{dt} \right)$				$2\sin^2 \frac{1}{2}\theta \cdot R_2' + (2\sin^2 \frac{1}{2}\theta L_{2V}' + 2\sin^2 \frac{1}{2}\theta L_{Ah}) \left( \frac{d}{dt} + j \frac{d}{dt} \right)$	$\underline{i}_{r-}$

Momentul electromagnetic -în c.s.i. naturale- se determină cu:

$$m = 16 \cdot \sin^4 \frac{1}{2} \theta \cdot p L_{Ah} \cdot \operatorname{Re}(j \underline{I}_s - \underline{I}_{r+}) \quad (I.19)$$

2. Ecuatiile în mărimi fazoriale:

$\underline{U}_{s1}$	$R_A + j(X_{AV} + 2\sin^2 \frac{1}{2} \theta X_{AAV} + 2\sin^2 \frac{1}{2} \theta X_{Am})$		$j2\sin^2 \frac{1}{2} \theta X_{Am}$	$\underline{I}_{s1}$
$\underline{U}_{s2}$	$R_A + j(X_{AV} + 2\sin^2 \frac{1}{2} \theta X_{AAV} + 2\sin^2 \frac{1}{2} \theta X_{Am})$		$j2\sin^2 \frac{1}{2} \theta X_{Am}$	$\underline{I}_{s2}$
$\underline{U}_{s0}$		$R_A + jX_{AV}$		$\underline{I}_{s0}$
0	$j2\sin^2 \frac{1}{2} \theta \cdot X_{Am}$		$2\sin^2 \frac{1}{2} \theta \cdot \frac{R_2'}{s} + j2\sin^2 \frac{1}{2} \theta \cdot (X_{2r}' + X_{Am})$	$\underline{I}'_{r1}$
0	$j2\sin^2 \frac{1}{2} \theta X_{Am}$		$2\sin^2 \frac{1}{2} \theta \cdot \frac{R_2'}{2-s} + j2\sin^2 \frac{1}{2} \theta \cdot (X_{2r}' + X_{Am})$	$\underline{I}'_{r2}$

(I.20)

Momentul electromagnetic mediu -în c.s.f. naturale- se determină cu:

$$M = \frac{p \cdot 8 \sin^4 \frac{1}{2} \theta}{\omega_1} \left[ \underline{I}_{s1}^2 \cdot \frac{\frac{R_2'}{s} \cdot X_{Am}^2}{(\frac{R_2'}{s})^2 + (X_{2r}' + X_{Am})^2} - \underline{I}_{s2}^2 \cdot \frac{\frac{R_2'}{2-s} \cdot X_{Am}^2}{(\frac{R_2'}{2-s})^2 + (X_{2r}' + X_{Am})^2} \right] \quad (I.21)$$

Dar pentru aplicarea teoriei componentelor simetrice la analiza mașinii de inducție bifazate, general nesimetrice (fig.I.1), trebuie îndeplinite condițiile (2.1).

Dacă acestea nu sînt îndeplinite, atunci se evidențiază impedanța  $Z_{BS}$ , în serie cu înfășurarea (simetrizată) B', definită prin:

$$R_B + jX_{BV} = k_B^2 (R_A + jX_{AV}) + Z_{BS} \quad (I.22)$$

Ecuatiile mașinii de inducție bifazate nesimetrice (în cadrul teoriei componentelor simetrice) sînt descrise prin intermediul mașinii trifazate "model matematic", fig.I.3, alimentată dezechilibrat corespunzător relațiilor:

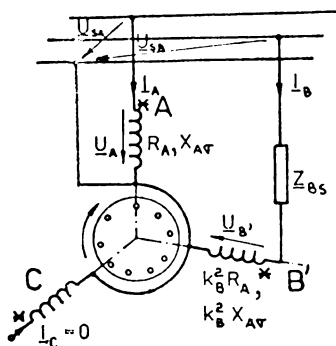


Fig.I.3

$$\begin{aligned} \underline{U}_{SA} &= \underline{U}_A \\ \underline{U}_{SB} &= \underline{U}_B + Z_{BS} \underline{I}_B \\ \underline{I}_C &= 0 \end{aligned} \quad (I.23)$$

Toate demonstrațiile de compatibilitate vor avea ca punct de plecare ecuațiile (I.20) și relațiile (I.23).

I.3.1 Compatibilitatea teoriei componentelor simetrice cu teoria cîmpului transversal.

La început, vom reaminti o proprietate a sistemelor algebrice de ecuații liniare care va fi utilizată frecvent în demonstrație:

"Dacă într-un sistem de ecuații algebrice, liniare, se multiplică/simplifică toți coeficienții necunoscutelor și termenul liber al uneia sau mai multor ecuații, cu aceeași constantă nenulă, se obține un sistem de ecuații echivalent cu cel dat".

În virtutea acestei proprietăți, vom efectua următoarele modificări în sistemul (I.20):

- multiplicăm ecuația a 4-a cu  $s$
- multiplicăm ecuația a 5-a cu  $2-s$

Se obține sistemul modificat:

$$\| \underline{u}_{1,2,0} \| = \| \underline{z}_{1,2,0}^m \| \cdot \| \underline{I}_{1,2,0} \| \quad (I.24)$$

Dacă în ecuația matricială modificată (I.24) efectuăm o transformare, în baza căreia introducem coordonate noi, definite de:

$$\begin{aligned} \| \underline{u}_{1,2,0} \| &= \| c \| \cdot \| \underline{u}'_{d,q} \| \\ \| \underline{I}_{1,2,0} \| &= \| c \| \cdot \| \underline{I}'_{d,q} \| \end{aligned} \quad (I.25)$$

vom obține:

$$\| \underline{u}'_{d,q} \| = \| \underline{z}'_{d,q} \| \cdot \| \underline{I}'_{d,q} \| \quad (I.26)$$

cu

$$\| \underline{z}'_{d,q} \| = \| c \|^{-1} \cdot \| \underline{z}_{1,2,0}^m \| \cdot \| c \| \quad (I.27)$$

Transformarea de coordonate, precizată de hypermatricea  $\| c \|$ , este:

$$\| c \| = \begin{array}{|c|c|} \hline \| c_s \| & \\ \hline & \| c_r \| \\ \hline \end{array} ; \| c \|^{-1} = \begin{array}{|c|c|} \hline \| c_s \|^{-1} & \\ \hline & \| c_r \|^{-1} \\ \hline \end{array} \quad (I.28)$$

în care, matricile componente  $\| c_s \|$  și  $\| c_r \|$  (v.ec. 2.18, 2.28, 2.103, 2.120, 2.122) sînt următoarele:

$$\| c_s \| = \frac{1}{4 \sin^2 \frac{1}{2} \theta} \cdot \begin{array}{|c|c|c|} \hline & 1 & e^{+j\theta} & e^{+j(\pi + \frac{1}{2}\theta)} \\ \hline & 1 & e^{-j\theta} & e^{-j(\pi + \frac{1}{2}\theta)} \\ \hline & 2 \cos(\pi - \theta) & 2 \cos(\pi - \theta) & 2 \cos \frac{1}{2} \theta \\ \hline \end{array} \quad (I.29)$$

a cărei inversă este:

$$\|C_s\|^{-1} = \begin{array}{|c|c|c|} \hline & 1 & & \\ \hline & e^{-j\theta} & & \\ \hline & & e^{+j\theta} & \\ \hline & & & 1 \\ \hline & 2\cos(\pi-\theta) \cdot e^{-j(\pi+\frac{1}{2}\theta)} & 2\cos(\pi-\theta) \cdot e^{+j(\pi+\frac{1}{2}\theta)} & 2\cos\frac{1}{2}\theta \\ \hline \end{array} \quad (I.30)$$

și respectiv:

$$\|C_r\| = \frac{1}{2} \cdot \begin{array}{|c|c|} \hline 1 & j \\ \hline 1 & -j \\ \hline \end{array} ; \quad \|C_r\|^{-1} = \begin{array}{|c|c|} \hline 1 & 1 \\ \hline -j & j \\ \hline \end{array} \quad (I.31)$$

Noile variabile, definite de (I.25) și calculate cu (I.28), sînt:

$$\|U'_{d,q}\| = \begin{array}{|c|c|c|c|c|c|} \hline \underline{U}_A & \frac{1}{k_B} \cdot \underline{U}_B & \frac{2\cos(\pi-\theta)}{k_C} \cdot \underline{U}_C & U'_d & U'_q & \\ \hline \end{array}^T \quad (I.32)$$

$$\|I'_{d,q}\| = \begin{array}{|c|c|c|c|c|} \hline \underline{I}_A & k_B \underline{I}_B & k_C \underline{I}_C & \underline{I}'_d & \underline{I}'_q \\ \hline \end{array}^T$$

Forma finală, dezvoltată, a ecuației (I.26) este:

$$\begin{array}{|c|} \hline \underline{U}_A \\ \hline \frac{1}{k_B} \cdot \underline{U}_B \\ \hline \frac{2\cos(\pi-\theta)}{k_C} \cdot \underline{U}_C \\ \hline 0 \\ \hline 0 \\ \hline \end{array} = \begin{array}{|c|c|c|c|c|c|} \hline R_A + j(X_{AAr} + X_{Am}) & j\cos\theta & j\cos(\pi+\frac{1}{2}\theta) & jX_{Am} & & \underline{I}_A \\ \hline j\cos\theta & R_A + j(X_{AAr} + X_{Am}) & j\cos(\pi-\frac{1}{2}\theta) & j\cos\theta \cdot X_{Am} & j\sin\theta \cdot X_{Am} & k_B \underline{I}_B \\ \hline j\cos(\pi+\frac{1}{2}\theta) & j\cos(\pi-\frac{1}{2}\theta) & \left[ \begin{array}{l} R_A + jX_{AAr} \\ 2\cos(\pi-\theta) \\ j(X_{AAr} + X_{Am}) \end{array} \right] & j\cos(\pi+\frac{1}{2}\theta) & j\sin(\pi+\frac{1}{2}\theta) & k_C \underline{I}_C \\ \hline 0 & j\cos\theta X_{Am} + (1-s)X_{Am} \cdot \sin\theta & j\cos(\pi+\frac{1}{2}\theta) X_{Am} + (1-s)X_{Am} \cdot \sin(\pi+\frac{1}{2}\theta) & R'_2 + j(X'_{2r} + X_{Am}) & (1-s) (X'_{2r} + X_{Am}) & \underline{I}'_d \\ \hline 0 & -(1-s)X_{Am} \cdot \cos\theta & j\sin\theta X_{Am} - (1-s)X_{Am} \cdot \cos\theta & -(1-s) (X'_{2r} + X_{Am}) & R'_2 + j(X'_{2r} + X_{Am}) & \underline{I}'_q \\ \hline \end{array} \quad (I.33)$$

În virtutea aceleiași proprietăți a sistemelor de ecuații algebrice liniare; vom modifica și sistemul (I.33) după cum urmează:

- multiplicăm ecuația a 2-a cu  $k_B$
- multiplicăm ecuația a 3-a cu  $\frac{k_C}{2\cos(\pi-\theta)}$

Rezultă sistemul echivalent modificat:

$$\|U'_{d,q}\| = \|Z'_{d,q}\| \cdot \|I'_{d,q}\| \quad (I.34)$$

$$\text{cu } \|U'_{d,q}\| = \begin{array}{|c|c|c|c|c|} \hline \underline{U}_A & \underline{U}_B & \underline{U}_C & 0 & 0 \\ \hline \end{array}^T \quad (I.35)$$

În plus, pe baza observației  $\|I'_{d,q}\| = \|C'\| \cdot \|I_{d,q}\|$  în care:

$$\|I_{d,q}\| = \begin{bmatrix} I_A \\ I_B \\ I_C \\ I'_d \\ I'_q \end{bmatrix} \quad \|C'\| = \begin{bmatrix} 1 & & & & \\ & k_B & & & \\ & & k_C & & \\ & & & 1 & \\ & & & & 1 \end{bmatrix} \quad (I.36)$$

ecuația (I.34) poate fi rescrisă sub forma:

$$\|U_{d,q}\| = \|Z_{d,q}\| \cdot \|I_{d,q}\| \quad (I.37)$$

$$\text{cu} \quad \|Z_{d,q}\| = \|Z_{d,q}^m\| \cdot \|C'\| \quad (I.38)$$

Matricea  $\|Z_{d,q}\|$  se poate obține direct din matricea  $\|Z_{d,q}^m\|$  (prezentă în ec.I.33) dacă asupra ei se operează modificările:

1. Se multiplică linia și coloana a 2-a cu  $k_B$ ;
2. Se multiplică linia și coloana a 3-a cu  $\frac{1}{2\cos(\pi-\theta)}k_C$  și respectiv cu  $k_C$ .

În final, se prezintă forma dezvoltată a ecuației (I.37):

$U_A$	$R_A + j(X_{AA} + X_{AA'}) + X_{AA''} + X_{AA''}$	$jk_B \cos\theta \cdot (X_{AA'} + X_{AA''})$	$jk_C \cos(\pi + \frac{1}{2}\theta) \cdot (X_{AA'} + X_{AA''})$	$jX_{AA'}$	$I_A$	
$U_B$	$jk_B \cos\theta \cdot (X_{AA'} + X_{AA''})$	$k_B^2 R_A + jk_B^2 (X_{AA'} + X_{AA''}) + X_{AA'} + X_{AA''}$	$jk_C \cos(\pi - \frac{1}{2}\theta) \cdot k_B (X_{AA'} + X_{AA''})$	$jk_B \cos\theta X_{AA'}$	$jk_B \sin\theta X_{AA'}$	$I_B$
$U_C$	$jk_C \cos(\pi + \frac{1}{2}\theta) \cdot (X_{AA'} + X_{AA''})$	$jk_C \cos(\pi - \frac{\theta}{2}) \cdot k_B (X_{AA'} + X_{AA''})$	$k_C^2 \frac{R_A + jX_{AA'}}{2\cos(\pi - \theta)} + jk_C^2 (X_{AA'} + X_{AA''})$	$j\cos(\pi + \frac{1}{2}\theta) \cdot k_C X_{AA'}$	$j\sin(\pi + \frac{1}{2}\theta) \cdot k_C X_{AA'}$	$I_C$
$O$	$jX_{AA'}$	$jk_B \cos\theta X_{AA'} + (1-s)X_{AA'} \cdot k_B \sin\theta$	$jk_C \cos(\pi + \frac{1}{2}\theta) \cdot X_{AA'} + (1-s)X_{AA'} \cdot k_C \sin(\pi + \frac{1}{2}\theta)$	$R_2' + j(X_{2\sigma}' + X_{AA'})$	$(1-s) \cdot (X_{2\sigma}' + X_{AA'})$	$I'_d$
$C$	$-(1-s)X_{AA'}$	$jk_B \sin\theta X_{AA'} - (1-s)X_{AA'} \cdot k_B \cos\theta$	$jk_C \sin(\pi + \frac{1}{2}\theta) \cdot X_{AA'} - (1-s)X_{AA'} \cdot k_C \sin(\pi + \frac{1}{2}\theta)$	$-(1-s) \cdot (X_{2\sigma}' + X_{AA'})$	$R_2' + j(X_{2\sigma}' + X_{AA'})$	$I'_q$

(I.39)

De fapt, sistemul (I.39) conține chiar ecuațiile mașinii trifazate nesimetrice "model matematic" în teoria cîmpului transversal. Ecuațiile mașinii de inducție bifazate, general nesimetrice pe stator, se obțin pe baza restricțiilor de alimentare (I.23) ale acestora. Matricial rezultă:

$$\begin{bmatrix} U_{SA} \\ U_{SB} \\ O \\ O \end{bmatrix} = \left[ \|Z_{d,q}^m\| + \begin{bmatrix} & & & \\ & Z_{BS} & & \\ & & & \\ & & & \end{bmatrix} \right] \cdot \begin{bmatrix} I_A \\ I_B \\ I'_d \\ I'_q \end{bmatrix} \quad (I.40)$$



și respectiv:

$$\begin{bmatrix} \underline{I}_{s1} \\ \underline{I}_{s2} \\ \underline{I}_{s0} \end{bmatrix} = \frac{1}{4\sin^2\frac{1}{2}\theta} \begin{bmatrix} 1 & k_B e^{+j\theta} \\ 1 & k_B e^{-j\theta} \\ 2\cos(\pi-\theta) & k_B 2\cos(\pi-\theta) \end{bmatrix} \cdot \begin{bmatrix} \underline{I}_A \\ \underline{I}_B \end{bmatrix} \quad (I.47)$$

ecuațiile de tensiuni (I.23), corespunzătoare mașinii asincrone bifazate general nesimetrice, împreună cu (I.42) pot fi scrise sub forma:

$$\begin{bmatrix} \underline{U}_{SA} \\ \underline{U}_{SB} \end{bmatrix} = \begin{bmatrix} 1 & 1 & 1 \\ k_B e^{-j\theta} & k_B e^{+j\theta} & k_B \end{bmatrix} \cdot \|\underline{Z}_{1,2,0}^s\| \cdot \begin{bmatrix} 1 & k_B e^{+j\theta} \\ 1 & k_B e^{-j\theta} \\ 2\cos(\pi-\theta) & k_B 2\cos(\pi-\theta) \end{bmatrix} + \begin{bmatrix} & \\ & \underline{Z}_{BS} \end{bmatrix} \cdot \begin{bmatrix} \underline{I}_A \\ \underline{I}_B \end{bmatrix} \quad (I.48)$$

După efectuarea calculului (cu  $\|\underline{Z}_{1,2,0}^s\|$  dat de (I.45) și  $\underline{Z}_{BS}$  din (I.22)), ecuația matricială (I.48) devine:

$$\begin{bmatrix} \underline{U}_{SA} \\ \underline{U}_{SB} \end{bmatrix} = \begin{bmatrix} R_A + jX_{AA'} + jX_{AA''} + \underline{Z}_f + \underline{Z}_b & jk_B \cos\theta X_{AA''} + k_B \underline{Z}_f e^{j\theta} + k_B \underline{Z}_b e^{-j\theta} \\ jk_B \cos\theta X_{AA''} + k_B \underline{Z}_f e^{-j\theta} + k_B \underline{Z}_b e^{j\theta} & R_B + jX_{BB'} + k_B^2 (jX_{AA''} + \underline{Z}_f + \underline{Z}_b) \end{bmatrix} \cdot \begin{bmatrix} \underline{I}_A \\ \underline{I}_B \end{bmatrix} \quad (I.49)$$

Așa cum se poate observa, ecuația (I.49) nu reprezintă altceva decât formularea matricială a sistemului (I.13).

Cu aceasta, s-a demonstrat compatibilitatea teoriei componentelor simetrice (stabilită de autor în Capitolul 2) și cu teoria cîmpurilor magnetice circulare învîrtitoare.

### I.3.3 Compatibilitatea teoriei componentelor simetrice -stabilită în Capitolul 2- cu variantele clasice ale ei.

Atît în teoria clasică cît și în cea modernă a mașinilor electrice, analiza regimurilor nesimetrice sau dezechilibrate este efectuată cu ajutorul teoriei componentelor simetrice.

Pentru mașinile trifazate, simetrice, se utilizează componentele simetrice Stokvis-Fortesque în forma naturală sau normată. În mod cu totul similar, analiza regimurilor nesimetrice ale mașinilor electrice bifazate cu înfășurările statorice în cuadratură electrică este efectuată în cadrul metodei componentelor simetrice bifazate (naturale sau normate).

Merită subliniat că cele două variante ale metodei componentelor simetrice -trifazate și respectiv bifazate- au apărut și s-au dezvoltat în mod



independent in literatură.

In Capitolul 2 al tezei de doctorat se propune un model de mașină trifazată, nesimetrică, cu o structură variabilă care poate reproduce atât mașina trifazată -prin fixarea unghiului  $\theta = 2\pi/3$ - cât și mașina bifazată (pentru  $\theta = \pi/2$ ).

In continuare sînt reluate, pe scurt, principalele rezultate stabilite acolo. (Din considerente de spațiu grafic, vor fi reproduse numai componentele simetrice fazoriale, varianta naturală.)

1. Descompunerile in componente simetrice:

$$\begin{bmatrix} \underline{I}_A \\ k_B \underline{I}_B \\ k_C \underline{I}_C \end{bmatrix} = \begin{bmatrix} 1 & 1 & 1 \\ e^{-j\theta} & e^{+j\theta} & 1 \\ 2\cos(\pi-\theta)e^{-j(\pi+\frac{1}{2}\theta)} & 2\cos(\pi-\theta)e^{+j(\pi+\frac{1}{2}\theta)} & 2\cos\frac{1}{2}\theta \end{bmatrix} \cdot \begin{bmatrix} \underline{I}_{A1} \\ \underline{I}_{A2} \\ \underline{I}_{A0} \end{bmatrix} \quad (I.50)$$

$$\begin{bmatrix} \underline{U}_A \\ \frac{1}{k_B} \underline{U}_B \\ \frac{2\cos(\pi-\theta)}{k_C} \underline{U}_C \end{bmatrix} = \begin{bmatrix} 1 & 1 & 1 \\ e^{-j\theta} & e^{+j\theta} & 1 \\ 2\cos(\pi-\theta)e^{-j(\pi+\frac{1}{2}\theta)} & 2\cos(\pi-\theta)e^{+j(\pi+\frac{1}{2}\theta)} & 2\cos\frac{1}{2}\theta \end{bmatrix} \begin{bmatrix} \underline{U}_{A1} \\ \underline{U}_{A2} \\ \underline{U}_{A0} \end{bmatrix} \quad (I.51)$$

ii. Expresiile componentelor simetrice:

$$\begin{bmatrix} \underline{I}_{A1} \\ \underline{I}_{A2} \\ \underline{I}_{A0} \end{bmatrix} = \frac{1}{4\sin^2\frac{1}{2}\theta} \cdot \begin{bmatrix} 1 & e^{+j\theta} & e^{+j(\pi+\frac{1}{2}\theta)} \\ 1 & e^{-j\theta} & e^{-j(\pi+\frac{1}{2}\theta)} \\ 2\cos(\pi-\theta) & 2\cos(\pi-\theta) & 2\cos\frac{1}{2}\theta \end{bmatrix} \begin{bmatrix} \underline{I}_A \\ k_B \underline{I}_B \\ k_C \underline{I}_C \end{bmatrix} \quad (I.52)$$

$$\begin{bmatrix} \underline{U}_{A1} \\ \underline{U}_{A2} \\ \underline{U}_{A0} \end{bmatrix} = \frac{1}{4\sin^2\frac{1}{2}\theta} \cdot \begin{bmatrix} 1 & e^{+j\theta} & e^{+j(\pi+\frac{1}{2}\theta)} \\ 1 & e^{-j\theta} & e^{-j(\pi+\frac{1}{2}\theta)} \\ 2\cos(\pi-\theta) & 2\cos(\pi-\theta) & 2\cos\frac{1}{2}\theta \end{bmatrix} \begin{bmatrix} \underline{U}_A \\ \frac{1}{k_B} \underline{U}_B \\ \frac{2\cos(\pi-\theta)}{k_C} \underline{U}_C \end{bmatrix} \quad (I.53)$$

iii. Expresiile impedanțelor echivalente:

$$\underline{Z}_{A1} = R_A + j(X_{AV} + 2\sin^2\frac{1}{2}\theta X_{AAV}) + \frac{j2\sin^2\frac{1}{2}\theta X_{Am} \cdot (2\sin^2\frac{1}{2}\theta \frac{R_2^1}{s} + j2\sin^2\frac{1}{2}\theta X_{2\sigma}^1)}{2\sin^2\frac{1}{2}\theta \cdot \frac{R_2^1}{s} + j(2\sin^2\frac{1}{2}\theta X_{2\sigma}^1 + 2\sin^2\frac{1}{2}\theta \cdot X_{Am})}$$

$$\underline{Z}_{A2} = R_A + j(X_{AV} + 2\sin^2\frac{1}{2}\theta X_{AAV}) + \frac{j2\sin^2\frac{1}{2}\theta X_{Am} \cdot (2\sin^2\frac{1}{2}\theta \frac{R_2^2}{2-s} + j2\sin^2\frac{1}{2}\theta X_{2\sigma}^2)}{2\sin^2\frac{1}{2}\theta \cdot \frac{R_2^2}{2-s} + j(2\sin^2\frac{1}{2}\theta X_{2\sigma}^2 + 2\sin^2\frac{1}{2}\theta X_{Am})}$$

$$\underline{Z}_{AO} = R_A + jX_{A\sigma} \quad (I.54)$$

1.3.3.1 Compatibilitatea cu teoria componentelor simetrice trifazate.

Pentru  $k_B = 1$ ;  $k_C = 1$  și  $\theta = 2\pi/3$ , mașina trifazată "model matematic" devine identică cu mașina de inducție trifazată simetrică, standard.

În acest caz, cu notația consacrată  $e^{j2\pi/3} = a$ , expresiile prezentate la punctele i., ii. și iii. devin:

$$\begin{bmatrix} \underline{I}_A \\ \underline{I}_B \\ \underline{I}_C \end{bmatrix} = \begin{bmatrix} 1 & 1 & 1 \\ a^2 & a & 1 \\ a & a^2 & 1 \end{bmatrix} \cdot \begin{bmatrix} \underline{I}_{A1} \\ \underline{I}_{A2} \\ \underline{I}_{A0} \end{bmatrix} ; \quad \begin{bmatrix} \underline{U}_A \\ \underline{U}_B \\ \underline{U}_C \end{bmatrix} = \begin{bmatrix} 1 & 1 & 1 \\ a^2 & a & 1 \\ a & a^2 & 1 \end{bmatrix} \cdot \begin{bmatrix} \underline{U}_{A1} \\ \underline{U}_{A2} \\ \underline{U}_{A0} \end{bmatrix} \quad (I.55)$$

$$\begin{bmatrix} \underline{I}_{A1} \\ \underline{I}_{A2} \\ \underline{I}_{A0} \end{bmatrix} = \frac{1}{3} \begin{bmatrix} 1 & a & a^2 \\ 1 & a^2 & a \\ 1 & 1 & 1 \end{bmatrix} \cdot \begin{bmatrix} \underline{I}_A \\ \underline{I}_B \\ \underline{I}_C \end{bmatrix} ; \quad \begin{bmatrix} \underline{U}_{A1} \\ \underline{U}_{A2} \\ \underline{U}_{A0} \end{bmatrix} = \frac{1}{3} \begin{bmatrix} 1 & a & a^2 \\ 1 & a^2 & a \\ 1 & 1 & 1 \end{bmatrix} \cdot \begin{bmatrix} \underline{U}_A \\ \underline{U}_B \\ \underline{U}_C \end{bmatrix} \quad (I.56)$$

și respectiv:

$$\begin{aligned} \underline{Z}_1^{(m=3)} &= R_A + j(X_{A\sigma} + \frac{3}{2}X_{AA\sigma}) + \frac{j\frac{3}{2}X_{Am}(\frac{3}{2}\frac{R_2'}{s} + j\frac{3}{2}X_{2\sigma}')}{\frac{3}{2}\frac{R_2'}{s} + j(\frac{3}{2}X_{2\sigma}' + \frac{3}{2}X_{Am})} \\ \underline{Z}_2^{(m=3)} &= R_A + j(X_{A\sigma} + \frac{3}{2}X_{AA\sigma}) + \frac{j\frac{3}{2}X_{Am}(\frac{3}{2}\frac{R_2'}{2-s} + j\frac{3}{2}X_{2\sigma}')}{\frac{3}{2}\frac{R_2'}{2-s} + j(\frac{3}{2}X_{2\sigma}' + \frac{3}{2}X_{Am})} \\ \underline{Z}_0^{(m=3)} &= R_A + jX_{A\sigma} \end{aligned} \quad (I.57)$$

Ecuatiile (I.55), (I.56) și (I.57) sînt identice cu cele folosite în teoria componentelor simetrice trifazate.

1.3.3.2 Compatibilitatea cu teoria componentelor simetrice bifazate.

Pentru  $k_B = 1$ ;  $\theta = \pi/2$  și  $\underline{I}_C = 0$ , mașina trifazată "model matematic" capătă exact structura unei mașini bifazate simetrice, standard.

Intrucît în acest caz:  $2\cos(\pi-\theta) \cdot \frac{1}{k_C} \underline{U}_C = 0$ ,  $\underline{I}_{A0} = 0$  și  $\underline{U}_{A0} = 0$ , matricile de transformare își reduc rangul cu o unitate. Cu această observație, expresiile prezentate la punctele i., ii. și iii. devin:

$$\begin{bmatrix} \underline{I}_A \\ \underline{I}_B \end{bmatrix} = \begin{bmatrix} 1 & 1 \\ -j & j \end{bmatrix} \cdot \begin{bmatrix} \underline{I}_{A1} \\ \underline{I}_{A2} \end{bmatrix} ; \quad \begin{bmatrix} \underline{U}_A \\ \underline{U}_B \end{bmatrix} = \begin{bmatrix} 1 & 1 \\ -j & j \end{bmatrix} \cdot \begin{bmatrix} \underline{U}_{A1} \\ \underline{U}_{A2} \end{bmatrix} \quad (I.58)$$

$$\begin{bmatrix} \underline{I}_{A1} \\ \underline{I}_{A2} \end{bmatrix} = \frac{1}{2} \begin{bmatrix} 1 & j \\ 1 & -j \end{bmatrix} \cdot \begin{bmatrix} \underline{I}_A \\ \underline{I}_B \end{bmatrix} \quad \begin{bmatrix} \underline{U}_{A1} \\ \underline{U}_{A2} \end{bmatrix} = \frac{1}{2} \begin{bmatrix} 1 & j \\ 1 & -j \end{bmatrix} \cdot \begin{bmatrix} \underline{U}_A \\ \underline{U}_B \end{bmatrix} \quad (I.59)$$

și respectiv:

$$\underline{Z}_1^{(m=2)} = R_A + j(X_{AV} + X_{AAV}) + \frac{jX_{Am} \left( \frac{R_2'}{s} + jX_{2V}' \right)}{\frac{R_2'}{s} + j(X_{2V}' + X_{Am})} \quad (I.60)$$

$$\underline{Z}_2^{(m=2)} = R_A + j(X_{AV} + X_{AAV}) + \frac{jX_{Am} \left( \frac{R_2'}{2-s} + jX_{2V}' \right)}{\frac{R_2'}{2-s} + j(X_{2V}' + X_{Am})}$$

Ecuatiile (I.58), (I.59) și (I.60) sînt identice cu cele folosite în teoria componentelor simetrice bifazate.

### I.3.3.3 Asupra impedanțelor echivalente.

Faptul că expresiile impedanțelor echivalente depind de sistemul de componente simetrice -trifazate sau bifazate- utilizate, este semnalat în literatură /3/, /14/ etc.

În acest context, expresiile generale ale impedanțelor simetrice echivalente (I.54) pot fi exprimate în funcție de mărimea impedanțelor echivalente trifazate:

$$\underline{Z}_{A1} = \frac{2}{3}(1-\cos\theta) \cdot \underline{Z}_1^{(m=3)} + \frac{1}{3}(1+2\cos\theta) \cdot \underline{Z}_{A0} \quad (I.61)$$

$$\underline{Z}_{A2} = \frac{2}{3}(1-\cos\theta) \cdot \underline{Z}_2^{(m=3)} + \frac{1}{3}(1+2\cos\theta) \cdot \underline{Z}_{A0}$$

sau în funcție de mărimea impedanțelor echivalente bifazate:

$$\underline{Z}_{A1} = (1-\cos\theta) \cdot \underline{Z}_1^{(m=2)} + \cos\theta \cdot \underline{Z}_{A0} \quad (I.62)$$

$$\underline{Z}_{A2} = (1-\cos\theta) \cdot \underline{Z}_2^{(m=2)} + \cos\theta \cdot \underline{Z}_{A0}$$

În particular, pe baza relațiilor (I.61) și (I.62), rezultă că:

$$\frac{\underline{Z}_{A1} + \underline{Z}_{A2} + 2\cos(\pi-\theta) \cdot \underline{Z}_{A0}}{4\sin^2 \frac{\theta}{2}} = \frac{\underline{Z}_1^{(m=3)} + \underline{Z}_2^{(m=3)} + \underline{Z}_0^{(m=3)}}{3} = \frac{\underline{Z}_1^{(m=2)} + \underline{Z}_2^{(m=2)}}{2} \quad (I.63)$$

Se menționează că ultima egalitate este stabilită și în literatură.

x      x      x

Din cele demonstrate mai înainte rezultă atât compatibilitatea cu variantele clasice precum și caracterul unitar al teoriei componentelor simetrice. În mod cu totul similar poate fi analizată și teoria componentelor simetrice instantanee.

TRANSFORMAREA A, B, C - d, q, o NORMALĂ

ANEXA II

Nr. crt.	MĂRIMEA	EXPRESIE GENERALĂ	θ=0	CAZURI PARTICULARE	
				$\theta = \frac{2\pi}{3}$	$\theta = \frac{\pi}{2}; i_c = 0$
1	$i_{ds}$	(269) $i_A + i_B k_B \cos \theta + i_C k_C \cos(\pi + \frac{\theta}{2})$	$i_A - \frac{1}{2}(i_B k_B - i_C k_C)$		$i_A$
2	$i_{qs}$	(269) $i_B k_B \sin \theta + i_C k_C \sin(\pi + \frac{\theta}{2})$	$\frac{\sqrt{3}}{2}(i_B k_B - i_C k_C)$		$i_B k_B$
3	$i_{os}$	(269) $\frac{1}{2 \sin \theta / 2} [i_A \cos(\pi - \theta) + i_B k_B \cos(\pi - \theta) + i_C k_C \cos \frac{\theta}{2}]$	$\frac{1}{2}(i_A + i_B k_B + i_C k_C)$		0
4	$i_A$	(270) $\frac{1}{2 \sin \theta / 2} i_B k_B + i_{os}$	$\frac{2}{3} i_{os} + i_{os}$		$i_{ds}$
5	$i_B$	(270) $\frac{1}{k_B} [ \frac{1}{2 \sin \theta / 2} (i_{os} \cos \theta + i_{qs} \sin \theta) + i_{os} ]$	$\frac{1}{k_C} [ -\frac{1}{3} i_{ds} - \frac{\sqrt{3}}{3} i_{os} ]$		$\frac{1}{k_B} i_{os}$
6	$i_C$	(270) $\frac{1}{k_C} [ \frac{\cos(\pi - \theta)}{\sin \theta / 2} (i_{os} \cos(\pi + \frac{\theta}{2}) + i_{qs} \sin(\pi + \frac{\theta}{2})) + i_{os} 2 \cos \frac{\theta}{2} ]$	$\frac{1}{k_C} [ -\frac{1}{3} i_{ds} - \frac{\sqrt{3}}{3} i_{os} ]$		0
7	$u_{ds}$	(272) $\frac{1}{2 \sin \theta / 2} [ u_A + u_B \frac{1}{k_B} \cos \theta + u_C \frac{2 \cos(\pi - \theta)}{k_C} \cos(\pi + \frac{\theta}{2}) ]$	$\frac{2}{3} (u_A - \frac{1}{2}(u_B \frac{1}{k_B} - u_C \frac{1}{k_C}))$		$u_A$
8	$u_{qs}$	(272) $\frac{1}{2 \sin \theta / 2} [ u_B \frac{1}{k_B} \sin \theta + u_C \frac{2 \cos(\pi - \theta)}{k_C} \sin(\pi + \frac{\theta}{2}) ]$	$\frac{2 \sqrt{3}}{3} (u_A \frac{1}{2} - u_C \frac{1}{k_C})$		$u_B \frac{1}{k_B}$
9	$u_{os}$	(272) $\frac{2 \cos(\pi - \theta)}{4 \sin \theta / 2} [ u_A + u_B \frac{1}{k_B} + u_C \frac{1}{k_C} 2 \cos \frac{\theta}{2} ]$	$\frac{1}{3} (u_A + u_B \frac{1}{k_B} + u_C \frac{1}{k_C})$		0
10	$u_A$	(273) $u_{ds} + u_{os}$			$u_{ds}$
11	$u_B$	(273) $k_B (u_{os} \cos \theta + u_{qs} \sin \theta + u_{os})$	$k_B (-\frac{1}{2} u_{ds} + \frac{\sqrt{3}}{2} u_{qs} + u_{os})$		$k_B u_{qs}$
12	$u_C$	(273) $k_C (u_{os} \cos(\pi + \frac{\theta}{2}) + u_{qs} \sin(\pi + \frac{\theta}{2}) + \frac{\cos \theta / 2}{\cos(\pi - \theta)} u_{os})$	$k_C (-\frac{1}{2} u_{ds} + \frac{\sqrt{3}}{2} u_{qs} + u_{os})$		-
13	$i_{dr}$	(280) $i_A \cos \gamma - i_Y \sin \gamma$	$i_A \cos \gamma - i_Y \sin \gamma$		$i_A \cos \gamma - i_Y \sin \gamma$
14	$i_{qr}$	(280) $i_A \sin \gamma + i_Y \cos \gamma$	$i_A \sin \gamma + i_Y \cos \gamma$		$i_A \sin \gamma + i_Y \cos \gamma$
15	$u_{dr}$	(281) $u_A \cos \gamma - u_Y \sin \gamma$	$u_A \cos \gamma - u_Y \sin \gamma$		$u_A \cos \gamma - u_Y \sin \gamma$
15	$u_{qr}$	(281) $u_A \sin \gamma + u_Y \cos \gamma$	$u_A \sin \gamma + u_Y \cos \gamma$		$u_A \sin \gamma + u_Y \cos \gamma$
17	m	(292) $P_{Lm} (i_{dr} i_{qs} - i_{ds} i_{qr})$	$P_{Lm} (i_{dr} i_{qs} - i_{ds} i_{qr})$		$P_{Lm} (i_{dr} i_{qs} + i_{ds} i_{qr})$
18	m	(292) $P (i_{os} i_{qs} - i_{qs} i_{os}) = P (i_{qr} i_{dr} - i_{dr} i_{qr})$	$P (i_{os} i_{qs} - i_{qs} i_{os})$		$P (i_{ds} i_{qs} - i_{qs} i_{ds})$

ANEXA III TRANSFORMAREA A. B. C - d.q.o NORMATA

Nr. crt	MARIMEA	EXPRESIE GENERALA	$\theta = 0$	CAZURI PARTICULARE	
				$\theta = \frac{2\pi}{3}$	$\theta = \frac{\pi}{2}; i_c = 0$
1	$i_{ds}$	$\frac{1}{\sqrt{2}} \frac{\sin \theta / 2}{\sin \theta / 2} (i_A + i_B k_B \cos \theta + i_C k_C \cos(\pi + \frac{\theta}{2}))$	$\frac{1}{\sqrt{2}} (i_A - \frac{1}{2}(i_B k_B + i_C k_C))$		$i_A$
2	$i_{qs}$	$\frac{1}{\sqrt{2}} \frac{\sin \theta / 2}{\sin \theta / 2} (i_B k_B \sin \theta + i_C k_C \sin(\pi + \frac{\theta}{2}))$	$\frac{1}{\sqrt{2}} \frac{\sqrt{3}}{2} (i_B k_B + i_C k_C)$		$i_B k_B$
3	$i_{os}$	$\frac{1}{\sin \theta / 2} (i_A \cos(\pi - \theta) + i_B k_B \cos(\pi - \theta) + i_C k_C \cos \frac{\theta}{2})$	$\frac{1}{\sqrt{3}} (i_A + i_B k_B + i_C k_C)$		0
4	$i_A$	$\frac{1}{\sqrt{2}} \frac{\sin \theta / 2}{\sin \theta / 2} (i_{ds} + \frac{1}{\sqrt{2}} i_{os})$	$\frac{1}{\sqrt{2}} (i_{ds} + \frac{1}{\sqrt{2}} i_{os})$		$i_{ds}$
5	$i_B$	$\frac{1}{k_B \sqrt{2}} \frac{\sin \theta / 2}{\sin \theta / 2} (i_{ds} \cos \theta + i_{qs} \sin \theta + \frac{1}{\sqrt{2}} i_{os})$	$\frac{1}{k_B \sqrt{3}} (\frac{1}{2} i_{ds} + \frac{\sqrt{3}}{2} i_{qs} + \frac{1}{\sqrt{2}} i_{os})$		$\frac{1}{k_B} i_{qs}$
6	$i_C$	$\frac{1}{k_C} \frac{1}{\sqrt{2}} \frac{\sin \theta / 2}{\sin \theta / 2} (\sqrt{2} \cos(\pi - \theta)   i_{ds} \cos(\pi + \frac{\theta}{2}) + i_{qs} \sin(\pi + \frac{\theta}{2}) + i_{os} \cos \frac{\theta}{2}  )$	$\frac{1}{k_C \sqrt{3}} (\frac{1}{2} i_{ds} + \frac{\sqrt{3}}{2} i_{qs} + \frac{1}{\sqrt{2}} i_{os})$		0
7	$u_{ds}$	$\frac{1}{\sqrt{2}} \frac{\sin \theta / 2}{\sin \theta / 2} (u_A + u_B \frac{1}{k_B} \cos \theta + u_C \frac{2 \cos(\pi - \theta)}{k_C} \cos(\pi + \frac{\theta}{2}))$	$\frac{1}{\sqrt{2}} (u_A - \frac{1}{2}(u_B \frac{1}{k_B} + u_C \frac{1}{k_C}))$		$u_A$
8	$u_{qs}$	$\frac{1}{\sqrt{2}} \frac{\sin \theta / 2}{\sin \theta / 2} (u_B \frac{1}{k_B} \sin \theta + u_C \frac{2 \cos(\pi - \theta)}{k_C} \sin(\pi + \frac{\theta}{2}))$	$\frac{1}{\sqrt{3}} (\frac{1}{2} u_B \frac{1}{k_B} - u_C \frac{1}{k_C})$		$u_B \frac{1}{k_B}$
9	$u_{os}$	$\frac{1}{2} \frac{\sin \theta / 2}{\sin \theta / 2} (u_A + u_B \frac{1}{k_B} + u_C \frac{2 \cos \frac{\theta}{2}}{k_C})$	$\frac{1}{\sqrt{3}} (u_A + u_B \frac{1}{k_B} + u_C \frac{1}{k_C})$		
10	$u_A$	$\frac{1}{\sqrt{2}} \frac{\sin \theta / 2}{\sin \theta / 2} (u_{ds} + u \sqrt{2} \cos(\pi - \theta))$	$\frac{1}{\sqrt{2}} (u_{ds} + \frac{1}{\sqrt{2}} u_{os})$		$u_{ds}$
11	$u_B$	$\frac{1}{k_B \sqrt{2}} \frac{\sin \theta / 2}{\sin \theta / 2} (u_{ds} \cos \theta + u_{qs} \sin \theta + u \sqrt{2} \cos(\pi - \theta))$	$\frac{k_B}{\sqrt{3}} (\frac{1}{2} u_{ds} + \frac{\sqrt{3}}{2} u_{qs} + \frac{1}{\sqrt{2}} u_{os})$		$k_B u_{qs}$
12	$u_C$	$\frac{1}{k_C \sqrt{2}} \frac{\sin \theta / 2}{\sin \theta / 2} (u_{ds} \cos(\pi + \frac{\theta}{2}) + u_{qs} \sin(\pi + \frac{\theta}{2}) + u \sqrt{2} \cos \frac{\theta}{2})$	$\frac{k_C}{\sqrt{3}} (\frac{1}{2} u_{ds} + \frac{\sqrt{3}}{2} u_{qs} + \frac{1}{\sqrt{2}} u_{os})$		
13	$i_{cr}$	$\frac{1}{\sqrt{2}} \frac{\sin \theta / 2}{\sin \theta / 2} (i_x \cos \chi - i_y \sin \chi)$	$\frac{1}{\sqrt{2}} (i_x \cos \chi - i_y \sin \chi)$		$i_x \cos \chi - i_y \sin \chi$
14	$i_{qr}$	$\frac{1}{\sqrt{2}} \frac{\sin \theta / 2}{\sin \theta / 2} (i_x \sin \chi + i_y \cos \chi)$	$\frac{1}{\sqrt{2}} (i_x \sin \chi + i_y \cos \chi)$		$i_x \sin \chi + i_y \cos \chi$
15	$u_{xr}$	$\frac{1}{\sqrt{2}} \frac{\sin \theta / 2}{\sin \theta / 2} (u_x \cos \chi - u_y \sin \chi)$	$\frac{1}{\sqrt{2}} (u_x \cos \chi - u_y \sin \chi)$		$u_x \cos \chi - u_y \sin \chi$
16	$u_{yr}$	$\frac{1}{\sqrt{2}} \frac{\sin \theta / 2}{\sin \theta / 2} (u_x \sin \chi + u_y \cos \chi)$	$\frac{1}{\sqrt{2}} (u_x \sin \chi + u_y \cos \chi)$		$u_x \sin \chi + u_y \cos \chi$
17	m	$2 \sin \frac{\theta}{2} p L_{\sigma} (i_{gr} i_{sr} - i_{qs} i_{qr})$	$\frac{3}{2} p L_{\sigma} (i_{gr} i_{sr} - i_{qs} i_{qr})$		$p L_{\sigma} (i_{gr} i_{sr} - i_{qs} i_{qr})$
18	m	$p (u_{ds} i_{qs} - \Psi_{gr} i_{os}) = p (i_{gr} i_{sr} - i_{qs} i_{qr})$	$p (i_{gr} i_{sr} - i_{qs} i_{qr})$		$p (i_{gr} i_{sr} - i_{qs} i_{qr})$

TRANSFORMAREA A, B, C-d,q,o NATURALĂ

ANEXA IV

Nr. crt.	MĂRIMEA	EXPRESIE GENERALĂ	$\theta = \theta$	CAZURI PARTICULARE	
				$\theta = \frac{2\pi}{3}$	$\theta = \frac{\pi}{2}$ $i_c = 0$
1	$i_{ds}$	$\frac{1}{2\sin\theta/2} [i_A + i_B k_B \cos\theta + i_C k_C \cos(\pi + \frac{\theta}{2})]$		$\frac{2}{3} (i_A - \frac{1}{2} i_B k_B + i_C k_C)$	$i_A$
2	$i_{qs}$	$\frac{1}{2\sin\theta/2} [i_B k_B \sin\theta + i_C k_C \sin(\pi + \frac{\theta}{2})]$		$\frac{2\sqrt{3}}{3} (i_B k_B + i_C k_C)$	$i_B k_B$
3	$i_{os}$	$\frac{1}{2\sin\theta/2} [i_A \cos(\pi - \theta) + i_B k_B (\pi - \theta) + i_C k_C \cos \frac{\theta}{2}]$		$\frac{1}{2} (i_A + i_B k_B + i_C k_C)$	0
4	$i_A$	$i_{ds} + i_{qs}$		$i_{ds} + i_{os}$	$i_{ds}$
5	$i_B$	$\frac{1}{k_B} [i_{ds} \cos\theta + i_{qs} \sin\theta + i_{os}]$		$\frac{1}{k_B} [i_{ds} - \frac{1}{2} i_{os} + \frac{\sqrt{3}}{2} i_{qs} + i_{os}]$	$\frac{1}{k_B} i_{qs}$
6	$i_C$	$\frac{1}{k_C} [2\cos(\pi - \theta) i_{ds} \cos(\pi + \frac{\theta}{2}) + i_{qs} \sin(\pi + \frac{\theta}{2}) + i_{os} \cos \frac{\theta}{2}]$		$\frac{1}{k_C} [i_{ds} - \frac{1}{2} i_{os} + \frac{\sqrt{3}}{2} i_{qs} + i_{os}]$	0
7	$u_{ds}$	$\frac{1}{2\sin\theta/2} [u_A + u_B \frac{1}{k_B} \cos\theta + u_C \frac{2\cos(\pi - \theta)}{k_C} \cos(\pi + \frac{\theta}{2})]$		$\frac{2}{3} (u_A - \frac{1}{2} u_B \frac{1}{k_B} + u_C \frac{1}{k_C})$	$u_A$
8	$u_{qs}$	$\frac{1}{2\sin\theta/2} [u_B \frac{1}{k_B} \sin\theta + u_C \frac{2\cos(\pi - \theta)}{k_C} \sin(\pi + \frac{\theta}{2})]$		$\frac{2\sqrt{3}}{3} (u_B \frac{1}{k_B} - u_C \frac{1}{k_C})$	$\frac{1}{k_B} u_B$
9	$u_{os}$	$\frac{\cos(\pi - \theta)}{2\sin\theta/2} [u_A + u_B \frac{1}{k_B} + u_C \frac{1}{k_C} 2\cos \frac{\theta}{2}]$		$\frac{1}{3} (u_A + u_B \frac{1}{k_B} + u_C \frac{1}{k_C})$	0
10	$u_A$	$u_{ds} + u_{os}$		$u_{ds} + u_{os}$	$u_{ds}$
11	$u_B$	$k_B [u_{ds} \cos\theta + u_{qs} \sin\theta + u_{os}]$		$k_B [-\frac{1}{2} u_{ds} + \frac{\sqrt{3}}{2} u_{qs} + u_{os}]$	$k_B u_{os}$
12	$u_C$	$k_C [u_{ds} \cos(\pi + \frac{\theta}{2}) + u_{qs} \sin(\pi + \frac{\theta}{2}) + u_{os} \cos(\frac{\theta}{2})]$		$k_C [-\frac{1}{2} u_{ds} - \frac{\sqrt{3}}{2} u_{qs} + u_{os}]$	—
13	$i_{dr}$	$\frac{1}{2\sin\theta/2} (i_x \cos\gamma - i_y \sin\gamma)$		$\frac{2}{3} (i_x \cos\gamma - i_y \sin\gamma)$	$i_x \cos\gamma - i_y \sin\gamma$
14	$i_{qr}$	$\frac{1}{2\sin\theta/2} (i_x \sin\gamma + i_y \cos\gamma)$		$\frac{2}{3} (i_x \sin\gamma + i_y \cos\gamma)$	$i_x \sin\gamma + i_y \cos\gamma$
15	$u_{dr}$	$u_x \cos\gamma - u_y \sin\gamma$		$u_x \cos\gamma - u_y \sin\gamma$	$u_x \cos\gamma - u_y \sin\gamma$
16	$u_{qr}$	$u_x \sin\gamma + u_y \cos\gamma$		$u_x \sin\gamma + u_y \cos\gamma$	$u_x \sin\gamma + u_y \cos\gamma$
17	m	$4\sin\frac{\theta}{2} p_{L_{AN}} (i_{dr} i_{qs} - i_{ds} i_{qr})$		$\frac{9}{2} p_{L_{AN}} (i_{dr} i_{qs} - i_{ds} i_{qr})$	$p_{L_{AN}} (i_{dr} i_{qs} - i_{ds} i_{qr})$
18	m	$2\sin\frac{\theta}{2} p (u_{ds} i_{qs} - u_{qs} i_{ds}) = 2\sin\frac{\theta}{2} p (u_{qr} i_{dr} - u_{dr} i_{qr})$		$\frac{3}{2} p (u_{ds} i_{qs} - u_{qs} i_{ds})$	$p (u_{ds} i_{qs} - u_{qs} i_{ds})$

## B I B L I O G R A F I E

1. ADAMENKO, A.I. Podformovka puskovih kondensatorov v rabocet rejime odno-faznih dvigatelei. Elektrotehnika, 1980, no.2, p.32-35.
2. ADAMENKO, A.I. Nesimmetricinije asinhronnie masini. Izd-vo Naukova Dumka Kiev, 1962.
3. ADAMENKO, A.I. Metodi issledovania nesimmetricinij asinhronnih masin. Akademia Nauk Ukrainskoi SSR, Kiev, 1969.
4. ADAMENKO, A.I., KISLENKO, V.I. Preobrazovanie odnofaznoe toka v mnogofaz-nii. Iz.Tehnika, Kiev, 1971.
5. ADAMENKO, A.I. Rele raznosti tokov v schemah odnofaznih dvigatelei. Ele-ktrotehnika, 1980, no.3, p.32-35.
6. ADAMENKO, A.I. Odnofaznie kondensatornie dvigatelii. Iz. Akademia Nauk USSR, Kiev, 1960.
7. ADAMENKO, A.I. Peregruzocinaia sposobnosti odnofaznih kondensatornih dvigatelei. Elektricestvo, 1963, no.10, p.32-39
8. ARTEMIUK, V.T. Uravnenia perehodnih protessov nesimmetricinij dvuhfaznih asinhronnih dvigatelei. V knizhi: Problemi tehniceskoi elektrodinamiki, Kiev, 1973, no.39, p.68-75.
9. AMBROSINI, M.L., TROILI, R. Il metodo dello interdizioni nello studio del motori elettrici a induzione. L'Elettrotecnica, 1967, p.927-942.
10. ARMENSKI, E., FALK, G. Micromachines electriques. Ed.Mir, Moscou, 1977.
11. x x x Elektriceskie mikromasini. Akademia Nauk, SSSR, Iz.Nauka, Leningrad, 1972.
12. BUTLER, O.J., WALLACE, A.K. Generalised theory of induction motors with asymmetrical primary windings. Proc.IEE, Vol.115, 1968, no.5, p.685-694.
13. BATTERSBY, G.A. Analysis of asymmetrical induction motor windings. Proc. IEE, Vol.112, 1965, no.11, p.2067-2073.
14. BROWN, J.E., JHA, C.S. Generalised rotating-field theory of polyphase in-duction motors and its relationship to symmetrical-component theory. Proc.IEE, Vol.109, 1962, no.2, p.59-69.
15. BUCHANAN, L.W. An equivalent circuit for a single-phase motor having space harmonics in its magnetic field. IEEE Trans.on PAS, 1965, no.11 p.999-1007.
16. BROWN, J.E., JHA, C.S. The starting of a thre phase induction motor con-nected to a single-phase supply-system. Proc.IEE, Vol.106, 1959, no.4 p.183-189.
17. BUTLER, O.I., BRADLEY, K.J. Experimental assessment of a single-phase winding induction motor. Electric Machines and Electromechanics, 1977, no.2, p.87-96.
18. BUTLER, O.I., WALLACE, A.K. Effect of parameter changes on the performan-ce of shated-pole motors. Proc.IEE, Vol.116, 1969, no.5, p.732-736.
19. BUCKMAN, J., McPHERSON, G. The 1975-76 IEEE Single-Phase Motor Calcula-tion and Test Project. IEEE Trans.on PAS, Vol.97, 1978, no.4. p.1272-1277.
20. BROADWAY, A.R.W., WEATHERLEY, M.R. PAM graded concentric windings for 2-speed single-phase induction motors. Proc.IEE, Vol.116, no.7, 1969, p.1169-1177.
21. BUSTAMANTE, E., GUTIERREZ, A. Design of the auxiliary phase for split-

- phase and capacitor start, single-phase induction motors. *Electric Machines and Electromechanics*, Vol.4, 1979, p.11-20.
22. BUTLER, O.I. Single-Phase motor Induction-Run Performance. *Electric Machines and Electromechanics*, Vol.3, 1979, p.333-340.
  23. BALA, C. *Maşini electrice*, EDP, Buc. 1979.
  24. BOLDEA, I., ATANASIU, GH. *Analiza unitară a maşinilor electrice*. Ed. Academiei RSR, 1983.
  25. BAŠTA, J., CHLÁDEK, J., MAYER, I. *Teorie elektrických strojů*. SNTL Praha, 1968.
  26. CHANG, S.S.L. Equivalence Theorems, Analysis and Synthesis of Single-Phase Induction Motors with Multiple Nonquadrature Windings. *Trans. AIEE*, 1956, no.10, p.913-916.
  27. CHOY, C.T., LING, W.S. AC Servomotors with concentrated stator windings. *Proc.IEE*, Vol.120, no.1, 1973, p.67-72.
  28. CIMPEANU, A. *Maşini electrice*, Ed. Scrisul Fomănesc, Craiova, 1977.
  29. DINOVA, V.P. *Issledovanie dvuhfaznih nesimmetrichnih maşin s ucetom vřiřih prostranstvennih garmonik*. *Elektricesstvo*, 1969, no.11, p.29-33.
  30. DESAI, B.G. Single-phase induction motor with asymmetrical-cage rotor. *Proc.IEE*, Vol.116, 1969, no.7, p.1179-1184.
  31. DESARKAR, A.K., BERG, G.J. Digital Simulation of three-phase Induction Motors. *IEEE Trans.on PAS*, Vol.89, 1970, no.6, p.1031-1037.
  32. DAS GUPTA, A.K. Possibility of reversing single-phase squirrel-cage induction motors by reversing terminal supply voltage. *Trans.AIEE*, Vol. 79, 1960, no.5, p.679-684.
  33. DORDEA, T. *Maşini electrice*, EDP Buc. 1977.
  34. DORDEA, T. Beitrag zur Zweiachsentheorie der elektrischen Maschinen. *A.f. E.*, B.50, 1966, p.362-371.
  35. DORDEA, T. Asupra ecuațiilor maşinilor electrice de curent alternativ. *St.şi cerc. energ.electr.* Tom.16, 1966, nr.1, p.17-31.
  36. DORDEA, T. Asupra culpului electromagnetic al maşinilor electrice. *St. şi cerc. energ.electr.* Tom.18, 1968, no.1, p.131-146.
  37. DORDEA, T., HERMAN, H. Die nutenscharagung der Induktionsmaschine. *Rev. Roum.S.T.E.E.*, 1979, no.3, p.487-493.
  38. DUNFIELD, J.C., BARTON, T.H. Axis Transformations for Practical Primitive Machines. *IEEE Trans.on PAS*, Vol.87, 1968, no.5, p.1346-1354.
  39. EFIMENKO, E.I. Obobščenie teorii elektriceskih maşin s magnitnoi asimmetrii. *Elektricesstvo*, 1980, no.4, p.36-44.
  40. EFIMENKO, E.I. Metod analiza asinhronnih maşin s magnitnoi asimmetrii. *Elektricesstvo*, 1978, no.9, p.59-63.
  41. EFIMENKO, E.I. K analizu elektriceskih maşin s prostranstvennoi nesimmetrii faz. *Elektricesstvo*, 1968, no.7, p.38-46.
  42. EASTHAM, J.F., WILLIAMSON, S. Generalised theory of induction motors with asymmetrical airgaps and primary windings. *Proc.IEE*, Vol.120, 1973, no. 7, p.767-775.
  43. EASTHAM, J.F., McLEAN, G.W. Single-phase, two-speed pole-change motors using phase-mixing techniques. *Proc.IEE*, Vol.112, 1965, no.6, p.1159-1172.
  44. EASTHAM, J.F., WILLIAMSON, S. Design and analysis of close-ratio two-speed shaded-pole induction motors. *Proc.IEE*, Vol.120, 1973, no.10, p.1243-1249.
  45. FONG, W. Universal winding for electrical-machine research. *Proc.IEE*,



Vol.114, 1967, no.8, p.1077-1083.

46. FEIGEL, J., FRANZ, P. Das dynamische Betriebsverhalten des zweisträngigen Asynchronmotors mit Käfigrotor bei Speisung aus einem Einphasennetz. A.f.E., 1978, B.60, no.6, p.327-336.
47. FRANSUA, Al., MAGUREANU, R., CIMPEANU, A. Maşini şi sisteme de acţionări electrice - probleme fundamentale. E.T. Buc. 1978.
48. GHEORGHIU, I.S., FRANSUA, Al. Tratat de maşini electrice. Vol.III, Maşini asincrone, Ed.Academiei RSR, 1971.
49. GURU, B.S. Revolving Field Analysis of Capacitor motors with Nonquadrature Windings. Electric Machines and Electromechanics, 1978, no.3, p. 11-20.
50. GURU, B.S. Revolving Field Analysis of T and L Connected Capacitor Motors with Arbitrarily Displaced Windings. IEEE Trans.on PAS, Vol.98, 1979, no.4, p.1198-1207.
51. GURU, B.S. Speed at Breakdown Torque of a Single-Phase Induction Motor. Electric Machines and Electromechanics, 1978, no.3, p.39-45.
52. GURU, B.S. Performance Equations and Calculations on T and L Connected Tapped-Winding Capacitor Motor by Cross-Field Theory. Electric Machines and Electromechanics, 1977, no.4, p.325-336.
53. GURU, B.S. Performance Equations and Calculations on T and L Connected Multi-Speed Capacitor Motors by Cross-Field Theory. Electric Machines and Electromechanics, 1977, no.1, p.37-47.
54. GURU, B.S. Cross-Field Analysis of Capacitor Motor with Windings Not in Quadrature. Extensions to 1-and 2 Phases Thereof. IEEE Trans.on PAS, Vol.98, 1979, no.1, p.110-115.
55. GURU, B.S. Two-Equations Analysis of a Capacitor Motor by Cross-Field Theory. Electric Machines and Electromechanics, 1978, no.2, p.147-153.
56. GURU, B.S. Cross-Field Analysis of Asymmetric Three-Phase Induction Motors. Extensions to Single-and-two-Phase Machines Thereof. IEEE Trans. on PAS, Vol.98, no.4, p.1251-1258.
57. GURU, B.S., TORREY, D. Performance Calculations on two-speed Shunted Capacitor Motor by Cross-Field Theory. Electric Machines and Electromechanics, 1977, no.4, p.315-324.
58. GURU, B.S. Correspondence: Discussion on "Design of Auxiliary Phase Windings for Single-Phase Capacitor Fractional-Horsepower Induction Motors". Electric Machines and Electromechanics, 1981, p.185-188.
59. GURU, B.S. Revolving-Field Analysis of a Shaded-Pole Motor. IEEE Trans. on PAS, Vol.102, 1983, no.4, p.918-927.
60. GURU, B.S. Revolving-Field Analysis of Two-Speed Shunted Capacitor Motors with Nonquadrature Windings. Electric Machines and Electromechanics, 1982, Vol.7, p.193-202.
61. GURU, B.S. Cross-field analysis of T and L-connected capacitor motors with arbitrarily displaced windings. IEEE Trans.on PAS, Vol.99, 1980, no.6, p.2460-2468.
62. GURU, B.S. A computer program to optimize design of permanent split-capacitor motors. Electric Machines and Electromechanics, 1978, p. 205-217.
63. GROSTOLLEN, H., SCHROEDER, J.W. Das Betriebsverhalten und die Kenngrößen des Einphasen-Induktionsmotors mit unvollständigem Käfig. A.f.E., B.51, 1968, no.6, p.364-377.
64. GIERAS, J. K rascetu odnofaznih asinhronnih dvigatelei s korotkozamknutim vitkom na poliuse. Elektrotechn. Cas. 29, 1978, no.3, p.169-181.

65. GIERAS, J. Projektowanie silników indukcyjnych jednofazowych o fazie pomocniczej wspomagane maszyną cyfrową. *Prezg. Electrotech.* 1977, no. 7, p. 299-302.
66. GOLUBKOV, N.E. Osnovnye uravneniia i vektornaiia diagramma dvigatel'ia s ekranirovannymi poliusami. *Elektritsstvo*, 1974, no. 9, p. 40-43.
67. GRISIN, E.N., ILINSKI, N.F., KOPILOV, I.P. Opredelenie spektra garmonik namagnicivaiushei sil' nesimmetricinih obmotok. *Elektritsstvo*, 1964, no. 1, p. 47-49.
68. ATANASIU, GH. *Maşini electrice speciale*, Vol. 1, 2 I.P.T.V.T. 1976.
69. GALAN, N., GHITA, C., CISTELECAN, M. *Maşini electrice*, EDP Buc. 1981.
70. HERSHBERGER, D.D., OLDENKAMP, J.L. A single-phase induction motor with one distributed winding. *IEEE Trans. on PAS*, Vol. 87, 1968, no. 10, p. 1862-1866.
71. HORA, O., NAVRÁTIL, S. s.a. *Regulace elektrických stroju*. SNTL Praha, 1976.
72. HELLER, B., HAMATA, V. Harmonic field effects in induction machines. *Academia Publishing House*, Prague, 1977.
73. IUFEROV, F.M., OSIN, I.L. Metod analiza trefaznih asinhronnih nesimmetricinih mašin. *Elektritsstvo*, 1968, no. 5, p. 45-49.
74. IUFEROV, F.M., OSIN, I.L. Analiz nesimmetricinih kondensatornih dvigatelei. *Elektritsstvo*, 1969, no. 7, p. 23-25.
75. IUFEROV, F.M. O namagnicivaiuscih silah i vrasciaiushcih momentah dvufaznih nesimmetricinih elektriceskih mašin. *Elektromehanika*, 1966, no. 2, p. 135-143.
76. IUFEROV, F.M. *Elektriceskie maşini avtomaticeskoi ustroistv*. Moskva, Vigaia skola, 1976.
77. IVANOV, V.V. Magnitnoe pole dvigatel'ia s ekranirovannymi poliusami. *Elektrotehnika*, 1980, no. 8, p. 22-24.
78. IVANOVA, G.V. Raschet asinhronnih dvigatelei s dvumia nesimmetricinimi obmotkami na statore. *Elektritsstvo*, 1966, no. 3, p. 27-33.
79. IVANOVA, G.V. Raschet parametrov odnofaznih asinhronnih dvigatelei v puskovom rejime. *Elektritsstvo*, 1972, no. 3, p. 77-79.
80. IVANOVA, G.V., IVANOVA, N.V. Moment i elektromagnitnaia moşnosti asinhronnogo upravliaemogo dvigatel'ia s dvumia nesimmetricinimi obmotkami na statore. *Elektromehanika*, 1968, no. 4, p. 369-372.
81. IVANOVA, G.V., IVANOVA, N.V. Metod simmetriceskih sostavliaiushcih v odnofaznih dvigatel'iah s ekranirovannymi poliusami. *Elektrotehnika*, 1981, no. 4, p. 10-14.
82. ISMAIL, M.K.E., ADKINS, B. Performance calculations of the capacitor motor using the transformer analogue analyser. *Proc. IEE*, 1959, no. 4, p. 175-182.
83. JHA, C.S. The starting of single-phase induction motors having asymmetrical stator windings not in quadrature. *Proc. IEE*, 1962, no. 2, p. 47-58.
84. JHA, C.S., DANIELS, A.R. The starting of single-phase induction motors having asymmetrical stator windings in quadrature. *Proc. IEE*, 1959, no. 8, p. 326-335.
85. JHA, C.S., MURTHY, S.S. Generalised rotating-field theory of wound-rotor induction machines having asymmetry in stator and/or rotor windings. *Proc. IEE*, 1973, no. 8, p. 867-873.
86. KISLENKO, V.I., RAKITKI, L.B., ONOPRICI, B.P. Proiektirovanie odnofaznih asinhronnih dvigatelei maloi moşnosti s raspredelennimi obmotkami statora. *Elektrotehnika*, 1980, no. 2, p. 7-10.

87. KADEEV, G.D., ZVEREVICI, V.E. *Differentsialnye upravleniia asinhronnoi mashiny ucitivaiuschie vishe prostranstvennye harmoniki namagnicivaiushei sily.* Elektromekhanika, 1968, no.11, p.1184-1189.
88. KAASIK, P.Iu., IVANOV, V.V. *Matematicheskaya modeli dvigatel'ia s ekranirovannymi poliisami.* Elektrotehnika, 1980, no.3, p.7-12.
89. KAASIK, P.Iu., IVANOV, V.V. *Novaya fizicheskaya modeli dvigatel'ia s ekranirovannymi poliisami.* Elektrotehnika, 1978, no.1, p.14-17.
90. KELIM, Iu.M., KARPOVA, M.V. *Raschet rabocikh karakteristik dvigatel'ia s polim rotorom pri upravlenii prostranstvennim sdvigom osei obmotok.* Elektrotehnika, 1967, no.3, p.57-61.
91. KRISHNAMURTHY, M.R., SASTRY, V.V. *Developements in speed-changing single-phase induction motors.* IEEE Trans.on PAS, 1968, no.4, p.1111-1125.
92. KRISHNAMURTHY, M.R., SASTRY, V.V. *Speed-changing, single-phase induction motor with single-layer windings.* IEEE Trans.on PAS, 1968, no.4 p. 1125-1129.
93. KRISHNAMURTHY, M.R., SASTRY, V.V. *Two-speed single winding single-phase induction motor using nonintegral cycle modulation techniques.* IEEE Trans.on PAS, 1969, no.7, p.1092-1103.
94. KRISHNAMURTHY, M.R., SRINIVASAN, R. *Speed-changing two-phase induction motors. Part I: Pole Amplitude Modulation Techniques.* IEEE Trans.on PAS, 1970, no.6, p.1321-1335.
95. KRISHNAMURTHY, M.R., RAJARAMAN, K.C. *Three-speed single-winding single-phase induction motor.* Proc.IEE, 1965, no.6, p.1135-1143.
96. KRAITBERG, M.I. *Issledovanie dvuhfaznoi asinhronnoi mashiny pri nesimmetrichnoi pitanii.* Elektrichestvo, 1953, no.3, p.31-36.
97. KUZINA, I.V. *Analiz dvuhfaznogo kondensatornogo dvigatel'ia tenzornim metodom.* Elektrichestvo, 1969, no.7, p.18-21.
98. KONONENKO, E.V., SIPAILOV, G.A., HORKOV, K.A. *Elektricheskie mashiny-sposobnyie kurs. Moskva, Vyshaia shkola, 1975.*
99. KATKAVICIUS, V.I., BUKSNAITIS, I.V., BANITE, D.K. *Magnitnoe pole i shema zameshchenaia asinhronnih dvigatelei s ekranirovannymi poliisami.* Elektrotehnika, 1984, no.5, p.14-16.
100. KURMANOVA, G.T. *Preobrazovanie po metodu dvuh reaktsii peremennih trekhfaznoi obmotki asinhronnih mashin pri nesimmetrichnom pitanii ot odnofaznoi seti.* Elektromekhanika, 1984, no.1, p.17-22.
101. LOPUHINA, E.M., SEMENCIUKOV, G.A., ILIN, B.I. *Analiz integralnoi funktsii telii i ee vliianie na vbor optimalnogo varianta asinhronnogo kondensatornogo dvigatel'ia.* Elektrotehnika, 1980, no.2, p.10-14.
102. LOPUHINA, E.M., SEMENCIUKOV, G.A. *Analiz odnositel'nykh parametrov asinhronnih kondensatornykh mikrodvigatelei.* Elektrotehnika, 1973, no.7, p.28-32.
103. LOPUHINA, E.M., SEMENCIUKOV, G.A. *Issledovanie mekhanicheskoi karakteristiki dvuhfaznogo asinhronnogo dvigatel'ia.* Elektrichestvo, 1968, no.10, p.21-24.
104. LOPUHINA, E.M., SOMIHINA, G.S. *Asinhronnye mikromashiny s polim rotorom.* Iz.Energhia, Moskva, 1967.
105. LYON, W., KINGSLEY, C.jr. *Analysis of Unsymmetric Machines.* Trans. AIEE, Vol.55, 1936, no.4, p.471-476.
106. LEUNG, W.S., CHOY, C.T. *Universal equivalent circuit for steady-state operations of induction motors.* Proc.IEE, 1973, no.12, p.1493-1498.
107. LEUNG, W.S., SZETO, W. *Generalised treatment on single-phase motor with the aid of a digital computer.* Proc.IEE, 1969, no.12, p.769-770.

108. LEUNG, W.S., MA, W.F. Investigations of induction motor with unbalanced secondary winding connections. Proc.IEE, 1967, no.7, p.974-977.
109. LASZLO, M.L., FERENC, S. Kondenzátoros motorok néhány üzemi aszimmetriakérdése. Elektrotehnika, 1977, no.10, p.374-383.
110. LAZAROIU, D.F. Maşini electrice cu inerţie redusă. Ed. Academiei RSR, 1969.
111. MORRILL, W.J. The revolving-field theory of the capacitor motor. Trans. AIEE, 1929, no.6, p.614-618.
112. MANIGRASSO, R., VISTOLI, I. Motori ad alimentazione monofase con avvolgimento ausiliario non in quadrature. L'Elettrotecnica, 1967, no.6, p.433-442.
113. McCORMICK, M., KUALE, P.A., FOSTER, K.A. Design of auxiliary phase windings for resistance-start split-phase fractional-horsepower induction motors. Proc.IEE, 1971, no.12, p.1755-1758.
114. MELESIN, M.I. Mehaničeskaia karakteristika kondensatornogo dvigatelja s polim rotorom. Elektricestvo, 1967, no.6, p.57-60.
115. MESCIERIAKOV, V.V. O rascete mehaničeskikh i regulirovannykh karakteristik ispolnitelnykh dvuhfaznykh asinhronnykh mikro dvigatelei. Elektromehanika, 1968, no.7, p.3-12.
116. MANICKAM, K., SRINIVASAN, R. Plugging of capacitor motors. Proc.IEE, 1978, no.9, p.848-852.
117. MURTHY, S.S., BERG, G.J., SINGH, B. Transient analysis of a three-phase induction motor with single-phase supply. IEEE Trans.on PAS, 1983, no.1, p.28-37.
118. MURTHY, S., SINGH, B., TANDON, A.K. Dynamic models for the transient analysis of induction machines with asymmetrical winding connections. Electric Machines and Electromechanics, 1981, Vol.6, p.479-492.
119. McCORMICK, M. Design of auxiliary phase windings for single-phase capacitor fractional-horsepower induction motors. Electric Machines and Electromechanics, 1980, Vol.5, p.135-142.
120. MADESCU, GH. Proiectarea înfăşurării de pornire la motorul asincron monofazat. EEA-Electrotehnika, 1983, no.5, p.177-184.
121. MAGUREANU, R. Maşini electrice speciale pentru sisteme automate. E.T. Buc. 1981.
122. MEŘIČKA, J., ZOUBEK, Z. Obecná teorie elektrického stroje. SNTL Praha, 1973.
123. NOVOTNY, D.W., GRAINGER, J.J. Digital computer analysis of the instantaneous reversal transient in a single-phase motor. IEEF Trans.on PAS, 1964, no.4, p.380-386.
124. NEDELICU, V.N. Teoria conversiei electromecanice. E.T. Buc. 1978.
125. NEDELICU, V.N. Regimurile de funcţionare ale maşinilor de curent alternativ. E.T. Buc. 1968.
126. NICOLAIDE, A. Maşini electrice, Vol.II, Ed. Scrisul Românesc, Craiova, 1975.
127. NOVAC, I. ş.a. Maşini şi acţionări electrice. LDP Buc. 1983.
128. NOVAC, I. Maşini electrice, I.P.T.V.T. 1969.
129. NICOLA, A.D. Asupra cuplului dezvoltat la pornire de motorul asincron monofazat fără înfăşurare auxiliară. An.Univ.Cv., Seria Mec.Elth., Vol. 5, 1978/1979, p.89-92.
130. NICOLA, A.D. Analiza motorului de inducţie monofazat cu condensator în derivaţie prin metoda cîmpurilor magnetice învîrtitoare. EEA-Electrotehnika, 1980, no.8, p.331-337.

131. NICOLA, A.D. Expresiile componentelor simetrice în cazul mașinilor trifazate, general nesimetrice. An.Univ.Cv., Seria Mec.Elth., Vol.6, 1980, p.57-61.
132. NICOLA, A.D. Motorul asincron monofazat fără înfășurare de pornire. Predeterminarea performanțelor la pornire. Sesiunea comună Univ.Cv.-CCSIT EP, 27-28 nov. 1981, p.D159-D166.
133. NICOLA, A.D. Motorul asincron monofazat fără înfășurare de pornire. Predeterminarea performanțelor de funcționare. Sesiunea comună Univ. Cv.-CCSIT EP, 27-28 nov. 1981, p.D25-D34.
134. NICOLA, A.D. Procedură de calcul a performanțelor motoarelor asincrone monofazate cu priză în bobinajul statoric. Lucrările "COMEP'82", 13-15 mai 1982, Pitești.
135. NICOLA, A.D. Asupra unei posibilități de eliminare a înfășurării de pornire la motoarele asincrone monofazate. Lucrările "COMEP'82", 13-15 mai 1982, Pitești.
136. NICOLA, A.D. Contribution at the defining of symmetrical components used to the calculation of the performance of two-phase drag-cup induction servo-motor, controlled by varying the angle between of the stator windings. Proc.CNAE, Craiova, sept.20-21, 1984, Sec.C, p.61-68.
137. NICOLA, A.D. Motorul de inducție monofazat cu faza auxiliară capacitivă dispusă în necuadratură electrică. Studiul caracteristicilor de funcționare. Lucrările "COMEP'84", 17-19 mai 1984, Pitești.
138. NICOLA, A.D. Motorul de inducție monofazat cu înfășurarea de pornire dispusă în necuadratură electrică. Analiza performanțelor la pornire. Lucrările "COMEP'84", 17-19 mai 1984, Pitești.
139. NICOLA, A.D. Contribuții la stabilirea teoriei componentelor simetrice fazoriale, corespunzătoare analizei mașinilor de inducție bi și monofazate cu înfășurări general nesimetrice pe stator. Partea I-a. Modelul matematic. Componentele simetrice. Lucrările CNEE, Craiova, 20-21 sept. 1984, Vol.4, p.211-218.
140. NICOLA, A.D. Contribuții la stabilirea teoriei componentelor simetrice fazoriale, corespunzătoare analizei mașinilor de inducție bi și monofazate cu înfășurări general nesimetrice pe stator. Partea a II-a. Impedanțele echivalente. Momentul electromagnetic. Lucrările CNEE, Craiova, 20-21 sept. 1984, Vol.4, p.219-229.
141. NICOLA, A.D. Analiza motoarelor asincrone monofazate cu înfășurări general nesimetrice pe stator în cadrul teoriei componentelor simetrice. Lucrările CNEE, Craiova, 20-21 sept. 1984, Vol.4, p.201-209.
142. PANASENKOV, M.A. Sovmestennie shem i zameshenia odnofaznoi i dvuhfaznoi asinhronnoi mašin. Elektrotehnika, 1969, no.5, p.30-33.
143. PUSTOLA, J., SLIWINSKI, T. Budowa i dzilanie silników jednofazowych. Warszawa, WNT, 1964.
144. PERRET, R., POLOUJADOFF, M. Influence de la saturation sur les performances d'un moteur monophasé à bobines écrans. RGE, 1977, no.5, p.399-405.
145. PERRET, R., POLOUJADOFF, M. Characteristics analysis of saturated shaded pole induction motors. IEEE Trans.on PAS, 1976, no.4, p.1347-1353.
146. POLOUJADOFF, M., PERRET, R. Measurements of iron losses in single-phase squirrel cage motors. Electric Machines and Electromechanics, 1979, Vol.4, p.165-175.
147. POLOUJADOFF, M. Considérations physiques sur le moteur a induction monophasé. RGE, 1964, no.4, p.217-226.
148. POLOUJADOFF, M. Contribution à l'étude des moteurs asynchrones monophasés. La théorie dite "du champ transversal". RGE, 1959, no.10, p.591-604.

149. POLOUJADOFF, M. Contribution à l'étude des moteurs asynchrones monophasés. Les moteurs à induction monophasés à bobines-écrans. RGE, 1959, no.11, p.641-656.
150. POLOUJADOFF, M. Contribution à l'étude des moteurs asynchrones monophasés. Les moteurs à induction à cage d'écureuil à entrefer non constant. RGE, 1959, no.12, p.696-701.
151. POLOUJADOFF, M. General rotating m.m.f. theory of squirrel cage induction machines with non-uniform air-gap and several non sinusoidally distributed windings. IEEE Trans.on PAS, 1982, no.3. p.583-591.
152. PERERA, W.R., POLOUJADOFF, M. A contribution to the 1975-1976 IEEE single phase motor. Calculation and test project. IEEE Trans.on PAS, 1982, no.3, p.592-601.
153. PLIUSCI, B.M., REIFMAN, D.I. K rascetu odnofaznogo kondensatornogo dvigatelia. Elektricesstvo, 1968, no.6, p.26-29.
154. POSTNIKOV, I.M. Obobschenaia teoria i perehodnie protsessi elektriceskikh mašin. Moskva, Višaja škola, 1975.
155. PAL, K.K. Analiza regimurilor tranzitorii ale mașinilor electrice. E.T. Buc. 1980.
156. POTAPCOV, L.A., IUFEROV, F.M. Izmerenie vrasciaiuscih momentov i skorostei vrascenia mikroelektrodvigateli. Iz.Energhia, Moskva, 1974.
157. REKUS, G.G. Pusk kondensatornogo dvigatelia s suntirovanie emkosti aktivniih soprotivleniem. Elektricesstvo, 1962, no.8, p.73-76.
158. REKUS, G.G. Uslovia simmetricinogo rejima raboti asinhronnogo kondensatornogo dvigatelia. Elektricesstvo, 1960, no.8, p.51-54.
159. RAFIAN, M. Transient analysis of capacitor motors using dynamic phase coordinates theory. Electric Machines and Electromechanics, 1981, Vol. 6, p.13-21.
160. RETTER, G.J. The dyadic analysis of partially asymmetrical machines. A.f.E., 1978, no.2, p.69-78.
161. REZNICENKO, V.Iu., KURILIN, S.P. Osobennosti differentsialnih uravnenii nesimmetriciniih elektriceskikh mašin peremennogo toka. Elektricesstvo, 1983, no.9, p.50-52.
162. RICHTER, R. Mașini electrice, Vol. II, IV. E.T. Buc. 1959, 1960.
163. SVET, L.M. Pulsatii uglovoi ciastoti vrascenia magnitnogo polia v dvuhfaznoi elektrodvigatelia. Elektrotehnika, 1978, no.2, p.31-34.
164. SOMIHINA, G.S. Obobsennii analiz i sravnitelnaia otenka shem zameščenja dvuhfaznih asinhronnih mašin. Elektricesstvo, 1971, no.7, p.22-29.
165. SEMENCIUKOV, G.A. Mostikovie shemi zameščenja dvuhfaznoi asinhronnoi mașini. Elektrotehnika, 1969, no.8, p.12-15.
166. SASTRY, V.V., KRISHNAMURTHY, M.R. Generalized theory for the starting performance of single-phase induction motor with asymmetrical windings. IEEE Trans.on PAS, 1970, no.4, p.652-663.
167. SAVIUC, V.D., LUCANU, M.T. Mașina asincronă difazată cu infășurări nesimetrice pe stator. Lucrările ICPE, 1970, no.25, p.29-37.
168. SAVIUC, V.D., ALEXA, D.I. The starting torque of the capacitor motors with asymmetric stator windings. Acta Technica ČSAV, 1971, no.2, p. 173-200.
169. SAVIUC, V.D., ALEXA, D.I. Der Einfluss der unsymmetrischen Konstruktion der Statorwicklungen auf die charakteristischen Größen des Anlassens eines Kondensatormotors. A.f.E., 1973, no.5, p.274-284.
170. SAVIUC, V.D., LUCANU, M.T. The capacitance calculation of the capacitor

- servo-motor with asymmetrical stator windings. *Bul.I.P.I.*, 1969, fasc. 3-4, p.85-96.
171. SOKOLOV, A.A., PASINSKAIA, N.I., CERTOK, B.N. Vibor cisel pazov unifitirovannogo rotora treh i odnofaznih asinhronnih dvigatelei. *Elektrotehnika*, 1978, no.9, p.31-33.
  172. SIROKOV, N.G. Opredelenie parametrov dvuhfaznih asinhronnih masin s polim rotorom. *Elektromechanika*, 1974, no.8, p.68-70.
  173. SIROKOV, N.G. Rezonansnyi metod opredelenia parametrov dvuhfaznih asinhronnih masin. *Elektromechanika*, 1961, no.5, p.79-85.
  174. SAFRONSKI, V.I. Vibor optimalnogo cisla vitkov puskovoi obmotki odnofaznogo asinhronnogo dvigatelya pri zadannom puskovom toke. *Elektrichestvo*, 1978, no.10, p.88-90.
  175. SRIDHARA, RAO, G., SASTRY, V.V., VENKATA, P.R. Two-speed single-winding shaded-pole single-phase induction motors. *IEEE Trans.on PAS*, 1970, no.6, p.1308-1321.
  176. SIRNIVASAN, R., KRISHNAMURTHY, M.R. Speed-changing two-phase induction motors. Part II: Phase modulation techniques. *IEEE Trans.on PAS*, 1970, no.6, p.1336-1346.
  177. SOMIHINA, G.S., IGLIKOV, A.S. Rascet mehanicheskikh harakteristik odnofaznih asinhronnih mikrosvigatelei obshchego primeneniia. *Elektrotehnika*, 1974, no.3, p.32-34.
  178. SAUERLANI, F., VASKE, P. Symmetriebedingungen für Einphasen-Asynchronmotoren mit Drehstrom-wicklung. *ETZ-A*, 1959, no.3, p.133-138.
  179. SIDELNIKOV, A.V., IVANOV, V.V. Rascet rabocikh harakteristik odnofaznogo asinhronnogo dvigatelya s nesimmetrichnoi magnitnoi sistemoi. *Elektrotehnika*, 1981, no.4, p.8-10.
  180. SORA, I., BABESCU, M. Micromotorul cu poli ecranati. E.T.Buc. 1979.
  181. SAAL, C., SZABO, W. Sisteme de actionare electrică. Determinarea parametrilor de functionare. E.T.Buc. 1981.
  182. SEN GUPTA, D.P., LYNN, J.W. Electrical machine dynamics. First published 1980, by THE MACMILLAN PRESS LTD. Printed in Hong Kong.
  183. TANG, K.Y., COSGRIFF, R.L. Two-axis method of analyzing electric machines. *Trans.AIEE*, 1956, no.2, p.1449-1455.
  184. THOMAS, A.N. Equivalent circuit model for a shaded-pole induction motor: I. One shading coil and a uniform air-gap. *IEEE Trans.on PAS*, 1981, no.4, p.1712-1717.
  185. THOMAS, A.N. Equivalent circuit model for a shaded-pole induction motor: II. One shading coil with stepped air-gap. *IEEE Trans.on PAS*, 1981, no.1, p.295-302.
  186. TEODORESCU, D. Maşini electrice - soluţii noi, tendinţe, orientări. Ed. Facla, Timişoara, 1981.
  187. VEINOTT, C.G. Performance calculations of the two-speed shunted capacitor motor. *IEEE Trans.on PAS*, 1977, no.4, p.1132-1136.
  188. VEINOTT, C.G. Performance calculations on L and T connected tapped-winding capacitor motors. *IEEE Trans.on PAS*, 1977, no.4, p.1137-1144.
  189. VEINOTT, C.G. Fractional and subfractional horse-power electric motors. McGraw Hill Book Company, N.Y., 1970.
  190. VAS, P., VAS, J. Transient and steady-state operation of induction motors with stator asymmetries. *A.f.E.*, 1977, no.2, p.121-127.
  191. VAS, P. Transient and steady-state operation of induction motors with general two-side asymmetry. *A.f.E.*, 1977, no.3, p.163-169.



192. VAS, P. Kétfázisú aszinkron gép szögaszimmetriáj. *Electrotechnica*, 1978, no.4, p.145-154.
193. VAS, P. Aszimmetrikus forgórészű aszinkron gépek allandósult és transziens állapotbeli viselkedése. *Electrotechnica*, 1976, no.10, p.383-395.
194. VAS, P. Generalised transient analysis of induction motors. *A.f.E.*, 1978, no.6, p.307-312.
195. VASKE, P. Über die Drehfeder und Drehmomenten Symmetrischer Komponenten in Induktionsmaschinen. *A.f.E.*, 1963, no.2, p.97-117.
196. VASKE, P. Beitrag zur Theorie des Spaltpolmotors. *A.f.E.*, 1962, no.1, p. 1-28.
197. WALLACE, A.K., BUTLER, O.I. Equivalent circuit for nonquadrature, tapped-quadrature and shaded-pole single-phase induction motor. *Proc.IEE*, 1968, no.12, p.1767-1771.
198. WALLACE, A.K. Novel method for reversal of single-phase squirrel-cage induction machines. *Proc.IEE*, 1971, no.3/4 p.550-554.
199. DUSA, V., GHEJU, P. Considerații asupra matricilor de transformare de la sistemul de fază la sistemul d,q,0. *Lucrările CNEE, Craiova*, 20-21 sept. 1984, Vol.3, p.53-60.
200. IVANOV-SMOLENSKI, A. *Machines électriques*. Tom.I,II. Ed.Mir, Moscou, 1983.
201. PUCHSTEIN, A.F., LLOYD, T.C. Capacitor Motor with Windings not in Quadrature. *Trans.AIEE*, 1935, no.11, p.1235-1239.
202. SVECIARNIK, D.V. Distanționnic peredaci, n.319-335. *Iz.Energhia, Moskva*, 1974.
203. IVANOV-SMOLENSKI, A., GOVGALENKO, V.P. K raspētu asinhronnih nesimetričnimi obmotkami. *Izvestia Akademii Nauk SSSR, Energhetika i Transport*, 1985, no.3, p.67-76.
204. x x x *Moteurs electriques; producteur: L'ENTREPRISE DE MOTEURS ÉLECTRIQUES, PITESTI-ROUMANIE.*
205. NICOLA, A.D. Asupra unui nou tip de motor de inducție monofazat fără înfășurare de pornire. *Lucrările "COMEP'86"*, 15-17 mai 1986, Pitesti.
206. NICOLA, A.D. Contribuții la stabilirea performanțelor în funcționare ale motoarelor de inducție monofazate fără înfășurare de pornire. *Lucrările "COMEP'86"*, 15-17 mai 1986, Pitesti.
207. NICOLA, A.D., ORSA, A. Motor asincron monofazat. *Dosar OSIM, 123867 din 26.06.1986.*
208. ORSA, A., NICOLA, A.D. Dispozitiv de pornire pentru un motor asincron monofazat. *Dosar OSIM, 123868 din 26.06.1986.*